

UNIVERSITÀ DEGLI STUDI DI ROMA
“TOR VERGATA”

FACOLTÀ DI SCIENZE MATEMATICHE, FISICHE E NATURALI
Dipartimento di Fisica

**Sulle interazioni dei campi di gauge di spin
arbitrario**

Tesi di laurea in Fisica

Relatore

Prof. *Augusto Sagnotti*

Laureando

Carlo Iazeolla

Relatore esterno

Prof. *Damiano Anselmi*

(Dipartimento di Fisica “E. Fermi”, Università di Pisa)

Anno Accademico 2003-2004

Ai miei genitori

Prefazione

Questo lavoro di Tesi è il risultato della formazione impartitami dal Corso di Laurea in Fisica e della mia prima attività di ricerca, condotta presso il Dipartimento di Fisica dell'Università di Roma "Tor Vergata", i cui membri desidero ringraziare per la disponibilità dimostratami durante il corso dei miei studi. Il lavoro è stato in parte svolto anche presso il Dipartimento di Fisica "E. Fermi" dell'Università di Pisa, che pure ringrazio per l'ospitalità e le risorse offerte.

Un particolare ringraziamento va al mio relatore Prof. Augusto Sagnotti, al cui insegnamento è legata una grande parte della mia formazione, segnata dal suo straordinario entusiasmo per la fisica. Egli mi ha inoltre introdotto alla ricerca scientifica, offrendomi la sua guida ed il suo essenziale aiuto nelle inevitabili difficoltà di approccio ad un campo affascinante, dandomi anche l'occasione di conoscerne da vicino altri protagonisti.

Tra questi, il Prof. Damiano Anselmi, dell'Università di Pisa, cui sono grato per l'importante e istruttiva collaborazione su tutti i risultati riportati nell'ultimo capitolo della Tesi, ed il Prof. Per Sundell, dell'Università di Uppsala, che ringrazio per molte utili discussioni che hanno costituito la base per il mio avvicinamento alla teoria interagente dei campi di spin arbitrario.

Desidero inoltre rivolgere un ringraziamento agli altri membri del gruppo di Teoria delle Stringhe, il Prof. Massimo Bianchi, il Dr. Gianfranco Pradisi e il Dr. Yassen Stanev per il contributo formativo da essi ricevuto riguardo a questo vasto campo di ricerca, e a tutti i dottorandi del gruppo per i loro utili e graditi suggerimenti: in particolare desidero menzionare Marco D'Alessandro e Gigi Genovese (anche per il loro aiuto nella composizione del testo), e soprattutto Dario Francia per le innumerevoli e sempre proficue discussioni sugli argomenti più disparati, e per la stimolante collaborazione su alcune delle questioni affrontate nel capitolo 7.

Non posso non ringraziare infine Alessandra, Lorenzo e Anna per la loro amicizia ed il

sostegno della loro compagnia, ed i miei genitori, cui questo lavoro è dedicato, per l'affetto e l'incoraggiamento che mi hanno sempre dato.

Roma, Luglio 2004

Carlo Iazeolla

Indice

1	Introduzione	1
2	Spazi-tempo di (Anti-)de Sitter	11
2.1	Introduzione	11
2.2	Spazio-tempo piatto: proprietà globali	16
2.3	Spazio-tempo dS: proprietà globali	21
2.4	Spazio-tempo AdS: proprietà globali	29
3	Formulazione geometrica della gravità	35
3.1	Formulazione di MacDowell-Mansouri	35
3.2	Formulazione di Stelle-West	39
4	Higher spins: teoria libera	44
4.1	Equazioni di Fronsdal nello spazio-tempo piatto	44
4.2	Geometria delle equazioni libere di HS	55
4.3	Equazioni “geometriche” nello spazio-tempo piatto	58
4.4	Equazioni di Fronsdal in $(A)dS$	65
5	Higher spins: teoria “unfolded” lineare	68
5.1	\star -prodotto e algebre di Higher Spin	68
5.2	Gravità con costante cosmologica	77
5.3	Equazioni di HS linearizzate in AdS_4	79
5.4	Esempi e classificazione dei campi HS	84

5.5	Alcune osservazioni	96
5.6	Formulazione “unfolded”	98
5.7	Free Differential Algebras	104
6	Higher spins: teoria “unfolded” non lineare	107
6.1	Algebre di HS estese e deformazioni della FDA lineare	107
6.2	Equazioni di HS non lineari nello spazio esteso (x, Z)	118
6.3	Espansione perturbativa da AdS	124
6.4	Unicità dei termini non lineari	130
A	Il teorema di Coleman-Mandula	138
B	Formalismo a due componenti	154
C	\star-prodotto e integrazione simplettica	159
	Bibliografia	162

Capitolo 1

Introduzione

Una teoria di gauge di spin elevato (*higher spin* o HS) è una teoria contenente campi di gauge di spin superiore a due. Non è dunque sorprendente che la costruzione di una teoria di questo tipo abbia stimolato l'interesse dei fisici e dei matematici sin dagli anni '30, con importanti contributi di Dirac [1], Fierz e Pauli [2], Rarita e Schwinger [3] e molti altri. Si tratta oggi di cercare generalizzazioni delle teorie di gauge note basate su campi di gauge di spin 1 (la teoria di Maxwell dell'elettromagnetismo e le teorie di Yang-Mills), di spin 2 (la Relatività Generale di Einstein), e di spin 3/2 (la supergravità).

La peculiarità di una teoria di gauge è la presenza di simmetrie locali, ovvero l'invarianza sotto trasformazioni i cui parametri sono funzioni arbitrarie delle coordinate spazio-temporali. La costruzione di teorie di gauge di HS consistenti corrisponde quindi alla scoperta di principi di simmetria più generali associati ai rispettivi campi di massa nulla.

L'interesse per queste teorie ha avuto, nel corso del tempo, molteplici motivazioni. Anzitutto, esistono rappresentazioni unitarie irriducibili (UIRs) di HS del gruppo di Poincaré, ed è perciò naturale lo studio di teorie di campo che descrivano particelle corrispondenti a tali rappresentazioni. Ciò spinse Fierz e Pauli a studiare equazioni libere di campi massivi di HS nello spaziotempo piatto già nel 1939; i loro risultati furono poi ulteriormente sviluppati da Singh e Hagen nel 1974 [4, 5], mentre il limite di massa nul-

la di tali equazioni venne studiato inizialmente da Fronsdal e da Fang e Fronsdal nel 1978 [7, 8, 9, 10]. Il risultato fu una formulazione della dinamica libera dei campi di spin elevato, che generalizzava quelle dell'elettromagnetismo e della gravità linearizzata, in termini di tensori totalmente simmetrici ma soggetti al vincolo di doppia traccia nulla, con parametri di gauge simmetrici e a singola traccia nulla. È stata poi recentemente scoperta da Francia e Sagnotti [12, 13] una formulazione equivalente ma più generale, che elimina i vincoli sui campi e sui corrispondenti parametri di gauge e, utilizzando una costruzione dovuta a de Wit e Freedman [11], esibisce la geometria che governa tali equazioni, in modo simile ai casi di Maxwell e Einstein.

Le difficoltà nel costruire una teoria interagente, evidenti già dai primi lavori, vennero formalizzate negli anni '60 in teoremi “no-go” come quello di Coleman-Mandula [20] ed alcune sue generalizzazioni [21], come vedremo meglio in seguito. Fu la sorprendente scoperta, nel 1976, della supergravità [14, 15], una teoria interagente di un campo di massa nulla e spin $3/2$, il gravitino, col campo gravitazionale di spin 2, a risvegliare l'interesse per la costruzione di interazioni consistenti fra campi di spin arbitrario. Come nelle altre teorie di gauge, nella supergravità la forma delle interazioni è fissata dal principio di gauge, ovvero dalla richiesta di invarianza sotto diffeomorfismi e trasformazioni di supersimmetria locali.

Nuove motivazioni vennero proprio dalle teorie di supergravità: la limitazione $s \leq 2$ sullo spin delle particelle nei supermultipletti di massa nulla delle supergravità estese induce infatti la restrizione $\mathcal{N} \leq 8$ sul numero delle cariche di supersimmetria, ovvero sul numero dei gravitini, un limite sui tipi di possibili candidati per teorie di grande unificazione. Inoltre, non era escluso che l'inclusione di campi di HS potesse migliorare il comportamento quantistico della teoria.

A partire dai lavori di Scherk e Schwarz [16, 17] e Yoneya [18, 19] negli anni '70, la Teoria delle Superstringhe è emersa quale miglior candidato per una teoria unificata delle interazioni fondamentali, il solo attualmente in grado di fondere, almeno potenzialmente, la gravità con il Modello Standard. In questa teoria l'oggetto fondamentale non è una particella puntiforme, ma una stringa unidimensionale chiusa o aperta di lunghezza tipica

estremamente piccola ($l_s \sim 10^{-33}cm$), i cui vari stati vibrazionali si manifestano come un'infinità di particelle. Le proprietà fondamentali di queste ultime, massa e spin, sono legate tra loro, alla frequenza dei modi vibrazionali e alla tensione della stringa da relazioni ben precise. In particolare, in unità $\hbar = c = 1$,

$$l_s = \sqrt{2\alpha'} = \frac{1}{\sqrt{\pi T}}, \quad (1.1)$$

dove α' è una costante detta *pendenza di Regge* e T la tensione, e, qualitativamente

$$m^2 \sim \frac{1}{\alpha'}(N - a), \quad m^2 \sim s, \quad (1.2)$$

dove m^2 è la massa degli stati vibrazionali di stringa, classificati dall'operatore numero N , ed s il loro spin. La Teoria delle Stringhe dunque descrive naturalmente una torre di infiniti stati eccitati *massivi*, con massa e spin via via crescenti. La tensione di stringa viene scelta dell'ordine della massa di Planck, $M_{Pl} \sim 10^{19}GeV$, sicché alle energie ordinarie soltanto i modi a frequenza più bassa possono essere eccitati, quelli corrispondenti a particelle di massa nulla di spin $s \leq 2$ ¹, mentre tutte le eccitazioni di HS hanno masse enormemente elevate e non possono essere osservate alle usuali basse energie. Tuttavia, esse sono essenziali per la consistenza della teoria.

Questa situazione cambia però drasticamente se ci mettiamo nel limite opposto, quello di altissime energie, rispetto alle quali anche le masse dei modi di HS risultano trascurabili, e ne risulta quindi una teoria di campi di massa nulla e spin arbitrariamente elevato, vale a dire una teoria di gauge di HS. Le diverse teorie di stringa, legate l'una all'altra da dualità, sembrano ammettere come comune origine una teoria più fondamentale, detta M-teoria, della quale attualmente conosciamo solo una serie di manifestazioni indirette. Le teorie

¹Più precisamente, la stringa bosonica vive in 26 dimensioni, e i suoi modi di massa nulla contengono sempre un bosone di spin 2 nello spettro di massa della stringa bosonica chiusa e un bosone vettore in quello della stringa bosonica aperta. Questo mostra come la Teoria delle Stringhe abbia le potenzialità di unificare gravità e Modello Standard, includendone naturalmente i campi di gauge fra le proprie eccitazioni, in quanto è possibile dimostrare che teorie di sole stringhe aperte sono inconsistenti, e l'introduzione delle stringhe chiuse è inevitabile. Il settore di massa nulla dello spettro delle superstringhe, che vivono in 10 dimensioni, include anche uno spinore di spin 3/2, sicché le teorie corrispondenti ammettono le supergravità come limiti di bassa energia.

di gauge di HS possono in questo senso offrire un principio guida per esplorare la fisica di questo regime ancora sconosciuto delle teorie di stringa. Secondo tale punto di vista, queste ultime potrebbero essere ottenute attraverso un meccanismo di rottura spontanea della simmetria a partire da una fase più simmetrica, con infinite simmetrie di gauge di spin arbitrario: i generatori delle simmetrie rotte a bassa energia corrisponderebbero alle rappresentazioni di HS del gruppo di Lorentz ed i campi di gauge ad essi legati apparirebbero massivi, mentre la simmetria residua, una sottoalgebra finita dell'algebra infinito-dimensionale di partenza, comprenderebbe le invarianze di gauge ordinarie, alle quali corrispondono campi di massa nulla e spin $s \leq 2$.

Le teorie di gauge di HS hanno recentemente suscitato ulteriore interesse nel contesto degli studi sulla cosiddetta corrispondenza AdS/CFT [23]. Si tratta di una congettura riguardante l'equivalenza, a livello delle rispettive funzioni di partizione, tra la teoria di superstringa di tipo IIB sullo spazio-tempo $AdS_5 \times S^5$ (dove AdS_5 è lo spazio-tempo di Anti-de Sitter pentadimensionale) e la teoria di Yang-Mills supersimmetrica (SYM) $\mathcal{N} = 4$ che vive sul bordo quadridimensionale di AdS_5 . Per poter esplorare il contenuto di questa congettura, è tuttavia necessario identificare opportuni limiti in cui essa diventi più trattabile (la quantizzazione di una teoria di superstringa su una varietà non piatta non è ancora compresa, se non in casi particolari). Nel suo senso più debole, la dualità riguarda il limite classico della supergravità di tipo IIB sullo spazio-tempo AdS_5 , legato al comportamento a bassa energia della teoria di superstringa di tipo IIB, e il limite di forte accoppiamento della $\mathcal{N} = 4$ SYM sul bordo quadridimensionale di AdS_5 . Si può infatti mostrare che l'espansione in potenze di α' dell'azione effettiva di stringa su AdS corrisponde all'espansione in potenze di $\lambda^{-1/2}$ della teoria di bordo, dove λ è la cosiddetta costante di 't Hooft della SYM, proporzionale al quadrato della costante di accoppiamento di gauge g_{YM} .

Tale corrispondenza (detta olografica, dal momento che riguarda due teorie che vivono in spazi-tempo con diversi numeri di dimensioni) si è già dimostrata feconda di risultati interessanti, ma ben poco si sa invece sulla fisica in AdS nel regime opposto, in cui la SYM di bordo è debolmente accoppiata o libera. Tuttavia si sa che in questo limite accadono due

cose: la massa degli stati di stringa ($\sim \alpha'^{-1}$) di HS diventa piccola, sicché la supergravità non è più una buona approssimazione della teoria che vive nel volume (*bulk*) di *AdS* e, d'altra parte, la teoria di YM di bordo libera ammette un numero infinito di correnti conservate di spin arbitrariamente alto. Ciò ha dunque condotto all'idea che la SYM libera sul bordo di *AdS*₅ sia, nello spirito della corrispondenza, duale olografico di una teoria di gauge interagente di HS nel *bulk*, basata su una estensione infinito-dimensionale della superalgebra di *AdS* [53]. Un ulteriore progresso in questa direzione è stato possibile notando che una costante di accoppiamento non nulla della SYM dà effettivamente origine ad un meccanismo di Higgs nel *bulk* in cui le simmetrie di HS sono spontaneamente rotte a quelle della supergravità ordinaria, ovvero alla suddetta superalgebra di *AdS*, di dimensione finita.

Alla luce di quanto detto appare dunque chiara l'importanza sempre maggiore che le teorie di gauge di HS hanno assunto nel corso degli anni, e come attualmente uno studio dettagliato delle loro proprietà sembri promettere risultati estremamente interessanti e la possibilità di far luce sulla ancora sconosciuta M-teoria. Come già accennato in precedenza, tuttavia, costruire una teoria interagente invariante sotto trasformazioni di gauge di HS è tutt'altro che banale, come testimoniato dal fatto che, storicamente, le ricerche sulla teoria libera hanno preceduto di molti anni i primi significativi progressi nel costruire interazioni tra campi di HS consistenti con le simmetrie suddette.

Una delle ragioni di questa difficoltà è contenuta nel già citato teorema no-go di Coleman-Mandula. Esso afferma che la matrice *S* unitaria di una teoria di campo non può essere invariante sotto trasformazioni i cui generatori abbiano spin $s \geq \frac{3}{2}$ (i quali si accoppiano, nel costruire una derivata covariante, a campi di spin $\frac{5}{2}$). Poiché la matrice *S* contiene informazioni sulle interazioni tra i campi della teoria, ciò implica che non è possibile costruire interazioni con campi di spin arbitrario. Bisogna precisare che tale teorema assume come ipotesi l'invarianza di Lorentz della teoria in questione e prende in esame soltanto un numero finito di campi, assunzioni comunque piuttosto naturali nel contesto delle teorie di gauge ordinarie.

Tuttavia, rilassando la seconda ipotesi ed includendo simultaneamente tutti gli spin,

interazioni cubiche consistenti tra campi di HS (ma non tra campi di HS ed il campo gravitazionale) nello spazio piatto vennero effettivamente costruite verso la metà degli anni '80 [33, 34, 35, 36]. Ogni tentativo di includere la gravità fu però vano, per una ragione semplice: per introdurre l'interazione con il campo gravitazionale rispettando l'invarianza per trasformazioni generali di coordinate, le derivate devono essere covariantizzate includendo un termine di accoppiamento con la connessione di spin 2: $\partial \rightarrow D = \partial + \Gamma$. Ma questo rompe l'invarianza sotto le trasformazioni di gauge di HS! La lagrangiana libera covariantizzata contiene infatti termini del tipo $\frac{1}{2}(D\varphi)^2 - \frac{s}{2}(D \cdot \varphi)^2$, ove φ è il campo di spin s , e la legge di trasformazione di quest'ultimo, anch'essa covariantizzata, è: $\delta\varphi_{\mu_1\mu_2\dots\mu_s} = D_{(\mu_1}\epsilon_{\mu_2\dots\mu_s)}$. Si può quindi mostrare che la variazione dovuta ad una trasformazione di gauge della lagrangiana in presenza della gravità si riduce ad un commutatore di derivate covarianti, che sappiamo essere proporzionale (in assenza di torsione) al tensore di Riemann, $[D\dots, D\dots] = \mathfrak{R}\dots$, sicché

$$\delta\mathcal{L} = \mathfrak{R}\dots(\epsilon\dots D\varphi\dots) \neq 0 . \quad (1.3)$$

Tale termine è diverso da zero e, per $s > 2$, contiene anche la parte a traccia nulla del tensore di Riemann, il tensore di Weyl², che non è possibile compensare con una modifica della lagrangiana stessa, poiché, almeno nello spazio piatto, non esiste alcun termine che sotto una variazione della metrica dia il tensore di Riemann (dal momento che questo porterebbe ad una equazione del moto tipo $\mathfrak{R}_{\mu\nu\rho}^\alpha = 0$, che implicherebbe l'assenza di gravità).

Queste difficoltà vennero superate da Fradkin e Vasiliev [41] riconsiderando il problema dell'interazione gravitazionale in un background non piatto, ma con curvatura costante, vale a dire negli spazi-tempo di de Sitter (dS) e Anti-de Sitter (AdS). Anzitutto, in questo modo il teorema di Coleman-Mandula non poneva ostacoli, poiché ne erano evitate le ipotesi: la simmetria della teoria era AdS e non Lorentz (e non esiste una matrice S

²È interessante notare come il caso di spin 3/2 sia l'ultimo, a parte $s = 2$, per il quale la variazione di gauge della lagrangiana covariantizzata dà origine soltanto al tensore di Ricci [11] e non all'intero tensore di Riemann, sicché l'equazione di Rarita-Schwinger per il gravitino ammette un'interazione consistente col campo gravitazionale, che soddisfa le equazioni di Einstein nel vuoto $\mathfrak{R}_{\mu\nu} = 0$, e dà luogo alla supergravità.

su AdS). In secondo luogo, lavorare con una costante cosmologica $\Lambda \neq 0$ consentiva di modificare la lagrangiana con termini cubici alto-derivativi come

$$\mathcal{L}^{int} = \sum_{A,B} \alpha(A, B) \Lambda^{-[\frac{A+B}{2}]} D^A \varphi D^B \varphi R, \quad (1.4)$$

una combinazione appropriata di derivate di ordine A e B del campo di spin s con certi coefficienti $\alpha(A, B)$, dove A e B sono limitati dalla condizione $A+B \leq s$, ed R rappresenta le fluttuazioni del tensore di Riemann rispetto alla curvatura $R_0 = \Lambda g$ del background AdS , nell'ambito di una espansione attorno ad R_0 . A differenza di un'espansione attorno ad un background piatto, infatti, in questo caso il tensore di Riemann non è piccolo, ma è $\mathfrak{R} = R + \Lambda g$, e l'espansione è in potenze di R . Ciò implica che, nella variazione di gauge di HS di \mathcal{L}^{int} , il commutatore di due derivate covarianti produce, all'ordine più basso, Λg . Questo, in ultima analisi, porta a termini del tipo $\delta \mathcal{L}^{int} \sim R D\varphi \epsilon$ con coefficienti indipendenti da Λ , che, con una scelta appropriata degli $\alpha(A, B)$, cancellano esattamente la variazione della lagrangiana libera covariantizzata del campo di spin s .

Risulta perciò chiaro che:

1. Come già evidenziato dall'analisi nello spazio-tempo piatto [33, 34], una teoria di gauge di HS interagente richiede, per essere consistente, l'introduzione simultanea di infiniti campi di HS di massa nulla.
2. Interazioni di HS consistenti richiedono derivate di ordine più alto del secondo dei campi fondamentali, dinamici. Questa proprietà di non località delle interazioni fra campi di HS è quanto mai interessante, specialmente perché, alla luce della connessione con la Teoria delle Stringhe, può essere un indizio del fatto che tali campi esistono come modi di vibrazione di oggetti fondamentali estesi, unidimensionali (stringhe) o p -dimensionali (p -brane) [26].
3. Se si vuole includere la gravità, la richiesta di simmetrie di HS non rotte ha come conseguenza la non analiticità delle interazioni di HS nella costante cosmologica Λ , ovvero la necessità che la costante cosmologica sia diversa da zero e che il limite piatto non sia ben definito.

Ovviamente le ultime due osservazioni sono strettamente collegate, dato che termini alto-derivativi nell'azione sono possibili solo se dimensionalmente riscaldati con potenze negative della costante cosmologica.

Importanti indicazioni dell'importanza di un background non piatto sono state fornite anche da Flato e Fronsdal [25] partendo da un'analisi delle proprietà delle rappresentazioni del gruppo di simmetria di AdS_4 , $SO(3,2)$: il prodotto diretto di due rappresentazioni dette singletoni si decompone, sotto l'azione di $SO(3,2)$, in una somma diretta di rappresentazioni unitarie irriducibili corrispondenti a campi di massa nulla e spin arbitrario, caratteristiche preservate dalla loro restrizione al sottogruppo di Poincaré. Ma prendere il limite piatto ($\Lambda \rightarrow 0$) della decomposizione del prodotto tensoriale di due singletoni non è equivalente a calcolare il prodotto tensoriale del limite piatto di due singletoni, che produce infatti stati con autovalore nullo di energia ed impulso, rappresentazioni banali del gruppo di Poincaré.

La conclusione fondamentale quindi è che Λ dev'essere diversa da zero nella fase con simmetrie di HS non rotte. Tuttavia, come già notato, ci si aspetta che tali simmetrie siano rotte da qualche meccanismo di rottura spontanea. Tale meccanismo potrebbe allora ridefinire anche il valore della costante cosmologica, attraverso i valori di vuoto che alcuni campi tipo-Higgs acquisterebbero. La non analiticità nella costante cosmologica non impedisce quindi a priori di ottenere, a partire dalla fase altamente simmetrica delle teorie di gauge di HS, una fase in cui i campi di HS abbiano masse non nulle e $\Lambda = 0$ o piccola.

In una serie di lavori [41, 40, 42], Fradkin e Vasiliev hanno costruito interazioni cubiche consistenti a livello di azione in AdS , e successivamente Vasiliev [45, 46, 47, 48, 49, 50] (per articoli di rassegna cfr. [37, 38, 39]) ha realizzato una teoria consistente a tutti gli ordini nelle interazioni a livello delle equazioni del moto, utilizzando un formalismo basato su un'estensione della formulazione del vielbein della gravità, che include campi di gauge di spin arbitrario in alcuni *master fields* a valori in un'algebra di HS ottenuta come un'appropriata estensione infinito-dimensionale della (super)algebra di simmetria

del background AdS ³. La simmetria di HS determina in gran parte la forma delle interazioni tra i campi di gauge di spin arbitrario e tra questi e i campi di materia di spin 0 e 1/2, includendole in alcune eleganti equazioni differenziali di primo ordine nei *master fields*, secondo lo schema dei cosiddetti *sistemi integrabili di Cartan* (o *free differential algebras* [61]), mentre una formulazione *off-shell* è tuttora oggetto di studio. La simmetria locale sotto l'algebra di HS richiede l'introduzione di infiniti campi ausiliari, equivalenti di HS della connessione di Lorentz della gravità di Einstein, eliminabili in termini di derivate dei campi fisici attraverso vincoli di torsione generalizzati. L'azione gauge-invariante che dà luogo alla corretta dinamica all'ordine cubico, la cui lagrangiana ha la forma $R \wedge R$, dove R è la curvatura di spin s , non contiene tali vincoli, che devono quindi essere imposti dall'esterno, mentre essi sono automaticamente inclusi nel sistema integrabile di equazioni sopra citato, che in tal senso sembra costituire un formalismo più generale per l'analisi di un sistema fisico complicato come quello delle teorie di gauge di HS. Tuttavia, sebbene le equazioni di Vasiliev contengano tutta l'informazione sulla dinamica dei campi di massa nulla e spin arbitrario, la proliferazione di campi ausiliari le rende estremamente difficili da trattare, e particolarmente complicato è, per esempio, estrarre i vertici di interazione tra soli campi fisici.

Per questo ed altri motivi si sta inoltre tentando di esplorare la fisica dei campi di gauge di spin elevato studiando la Teoria delle Stringhe nel limite di tensione nulla, in cui le eccitazioni di spin $s > 2$ hanno massa nulla, sia su un background piatto che su $(A)dS$. Tale linea di ricerca ha già dato luogo a risultati interessanti, come il fatto che le equazioni libere del campo di stringa descrivono, nel limite di tensione nulla $\alpha' \rightarrow \infty$, la propagazione di campi di spin arbitrario attraverso le equazioni per “tripletti” di campi (prendendo in esame i soli tensori totalmente simmetrici), che si riducono infatti alle equazioni libere di Francia e Sagnotti (cfr. [24], anche per generalizzazioni di questo risultato al caso di tensori a simmetria mista e al background $(A)dS$, oltre che per ulteriori referenze) piuttosto che alle equazioni di Fronsdal.

³A grandi linee tale estensione corrisponde, a parte alcune importanti sottigliezze che esamineremo, alla cosiddetta *enveloping algebra* dell'algebra di simmetria di AdS , i cui generatori sono dati da potenze arbitrarie dei generatori di quest'ultima.

La struttura di questo lavoro è la seguente. Nel capitolo 2 vengono introdotti gli spaziotempo di de Sitter e di Anti-de Sitter, importanti per le teorie di gauge di HS, trattando in dettaglio alcune conseguenze della presenza di una costante cosmologica non nulla. Il capitolo 3 è invece dedicato all'esposizione di una formulazione della teoria della gravità equivalente a quella di Einstein, che ha fornito il punto di partenza per l'approccio di Vasiliev. Nel capitolo 4 viene esaminata la dinamica dei campi di gauge di spin arbitrario partendo dalla teoria libera, esaminandone sia la formulazione "tradizionale" di Fronsdal che quella "geometrica" e completamente covariante dovuta a Francia e Sagnotti, per poi passare ad una rassegna dei risultati di Vasiliev che costituisce l'oggetto dei capitoli 5 e 6. In particolare, tutte le conclusioni raggiunte in questa Introduzione riemergono nell'ambito della teoria non lineare di Vasiliev. Vedremo anche come, da argomenti puramente algebrici ed indipendenti da quanto detto sulla Teoria delle Stringhe, risulterà che teorie di gauge di HS consistenti contengono necessariamente infiniti campi di spin $0 \leq s < \infty$: l'algebra di simmetria di HS è quindi infinito-dimensionale, come il corrispondente insieme di campi in mutua interazione. Completano la trattazione tre appendici: la prima contiene l'enunciato e la dimostrazione del teorema di Coleman e Mandula; nella seconda si richiama invece il linguaggio degli spinori ed il formalismo a due componenti, fondamentale per l'approccio di Vasiliev in $d = 4$; la terza, infine, è strettamente legata ai capitoli 5 e 6 e riporta alcune formule utili ivi utilizzate.

Il contenuto dell'ultimo capitolo della tesi, legato a proprietà delle correnti di spin arbitrario, viene omissso e verrà incluso in una pubblicazione in preparazione con D. Anselmi, D. Francia e A. Sagnotti.

Capitolo 2

Spazi-tempo di (Anti-)de Sitter

2.1 Introduzione

Gli spazi-tempo di de Sitter (dS) e Anti-de Sitter (AdS) sono due esempi notevoli di spazi massimamente simmetrici, spazi dotati del massimo numero possibile di isometrie della metrica, pari a $\frac{d(d+1)}{2}$ per una metrica in d dimensioni.

Assegnata la segnatura della metrica, che prendiamo minkowskiana, $\eta_{\mu\nu} = \text{diag}(- + \dots +)$, gli spazi massimamente simmetrici sono generalizzazioni dei tre spazi euclidei massimamente simmetrici a curvatura costante: il piano (curvatura costante nulla), la sfera S^d (curvatura costante positiva) e lo spazio iperbolico H^d (curvatura costante negativa).

È conveniente descrivere uno spazio massimamente simmetrico in d dimensioni in coordinate cartesiane, immergendolo in uno spazio piatto $(d+1)$ -dimensionale attraverso la condizione

$$k\eta_{\mu\nu}x^\mu x^\nu + z^2 = L^2 \quad \mu, \nu = 1, \dots, d, \quad (2.1)$$

un vincolo che restringe le variabili su una superficie non euclidea, e

$$ds^2 = \eta_{\mu\nu}dx^\mu dx^\nu + \frac{1}{k}dz^2, \quad (2.2)$$

la definizione della metrica dello spazio ambiente piatto a $d+1$ dimensioni.

Della costante k , detta costante di curvatura, conterà evidentemente solo il segno, poiché ogni riscalamento per un fattore positivo può esser riassorbito nelle variabili x^μ .

Ricavando z dalla (2.1), differenziando e sostituendo per dz^2 in (2.2) si ottiene

$$ds^2 = \eta_{\mu\nu} dx^\mu dx^\nu + k \frac{\eta_{\mu\alpha} \eta_{\nu\beta} x^\alpha x^\beta}{L^2 - k \eta_{\mu\nu} x^\mu x^\nu} dx^\mu dx^\nu, \quad (2.3)$$

e dunque la metrica di uno spazio massimamente simmetrico è

$$g_{\mu\nu} = \eta_{\mu\nu} + k \frac{\eta_{\mu\alpha} \eta_{\nu\beta} x^\alpha x^\beta}{L^2 - k \eta_{\mu\nu} x^\mu x^\nu}, \quad (2.4)$$

che ha per inversa

$$g^{\mu\nu} = \eta^{\mu\nu} - k \frac{x^\mu x^\nu}{L^2}. \quad (2.5)$$

A questo punto è semplice calcolare i simboli di Christoffel,

$$\Gamma_{\mu\nu}^\alpha = \frac{1}{2} g^{\alpha\beta} (\partial_\nu g_{\beta\mu} + \partial_\mu g_{\beta\nu} - \partial_\beta g_{\mu\nu}) = \frac{k}{L^2} x^\alpha g_{\mu\nu}, \quad (2.6)$$

ed il tensore di Riemann,

$$R_{\beta\mu\nu}^\alpha = \partial_\mu \Gamma_{\beta\nu}^\alpha - \partial_\nu \Gamma_{\beta\mu}^\alpha + \Gamma_{\rho\mu}^\alpha \Gamma_{\beta\nu}^\rho - \Gamma_{\rho\nu}^\alpha \Gamma_{\beta\mu}^\rho = \frac{k}{L^2} (\delta_\mu^\alpha g_{\beta\nu} - \delta_\nu^\alpha g_{\beta\mu}), \quad (2.7)$$

sicché

$$R_{\alpha\beta\mu\nu} = \frac{k}{L^2} (g_{\alpha\mu} g_{\beta\nu} - g_{\alpha\nu} g_{\beta\mu}). \quad (2.8)$$

Contraendo il primo e il terzo indice del tensore di Riemann si ottiene il tensore di Ricci,

$$R_{\mu\nu} \equiv R_{\mu\alpha\nu}^\alpha = \frac{k}{L^2} (d-1) g_{\mu\nu}. \quad (2.9)$$

Contraendo ulteriormente i due indici del tensore di Ricci si ottiene infine la curvatura scalare,

$$R \equiv R_\mu^\mu = \frac{k}{L^2} d(d-1). \quad (2.10)$$

Si vede quindi che, per uno spazio a curvatura costante, il tensore di Riemann è completamente determinato dalla curvatura scalare R , e

$$R_{\alpha\beta\mu\nu} = \frac{1}{d(d-1)} R (g_{\alpha\mu} g_{\beta\nu} - g_{\alpha\nu} g_{\beta\mu}), \quad (2.11)$$

il che implica che la curvatura di Weyl per questi spazi sia identicamente nulla:

$$\begin{aligned} C_{\alpha\beta\mu\nu} &= R_{\alpha\beta\mu\nu} + \frac{1}{d-2} (g_{\alpha\nu} R_{\mu\beta} - g_{\alpha\mu} R_{\nu\beta} + g_{\beta\mu} R_{\nu\alpha} - g_{\beta\nu} R_{\mu\alpha}) \\ &+ \frac{1}{(d-1)(d-2)} R (g_{\alpha\mu} g_{\beta\nu} - g_{\alpha\nu} g_{\beta\mu}) = 0. \end{aligned} \quad (2.12)$$

Inoltre, la curvatura scalare R , che abbiamo detto essere costante, risulta $\sim k$, e il segno di k individua univocamente tre diversi tipi di spazio-tempo massimamente simmetrico. Per $k = 0$ riotteniamo lo spazio-tempo piatto di Minkowski M_d , a curvatura nulla. Il valore $k = 1$ definisce lo spazio-tempo di de Sitter (dS), una generalizzazione nel minkowskiano della sfera euclidea (curvatura costante positiva). Infine, $k = -1$ definisce lo spazio-tempo di Anti-de Sitter(AdS), una generalizzazione nel minkowskiano dello spazio iperbolico euclideo.

Tali spazi sono soluzioni delle equazioni di Einstein nel vuoto in presenza di una costante cosmologica,

$$R_{\mu\nu} - \frac{1}{2}g_{\mu\nu}R = -\Lambda g_{\mu\nu} , \quad (2.13)$$

ottenibili estremizzando rispetto alla metrica l'azione di Einstein-Hilbert con termine cosmologico

$$S = \frac{1}{16\pi G_d} \int d^d x \sqrt{-g}(R - 2\Lambda) . \quad (2.14)$$

Infatti, per le (2.9) e (2.10)

$$R_{\mu\nu} - \frac{1}{2}g_{\mu\nu}R = -k \frac{(d-1)(d-2)}{2L^2} g_{\mu\nu} , \quad (2.15)$$

sicché, per confronto con la (2.13), si deduce che deve essere

$$\Lambda = k \frac{(d-1)(d-2)}{2L^2} , \quad (2.16)$$

da cui risulta evidente la relazione tra Λ e k : il segno della costante cosmologica segue quello di k , ovvero della curvatura, in $d > 2$ ¹, sicché allo spazio-tempo dS resta associata una costante cosmologica positiva, e allo spazio AdS una costante cosmologica negativa.

È interessante notare che questi spazi possono essere visti come soluzioni delle equazioni di Einstein per un fluido perfetto con densità costante $\rho = \frac{\Lambda}{8\pi G_d}$ e pressione costante $p = -\frac{\Lambda}{8\pi G_d}$. Infatti il tensore di energia-impulso per un fluido perfetto ha la forma

¹I casi $d = 1, 2$ sono banali dal punto di vista della gravità, poiché in $d = 1$ non esiste curvatura, mentre in $d = 2$, sebbene sia possibile definire una curvatura, l'azione di Einstein-Hilbert, che codifica la dinamica del campo gravitazionale, definisce un invariante topologico, la caratteristica di Eulero.

$T_{\mu\nu} = (\rho + p)u_\mu u_\nu - pg_{\mu\nu}$ (ove u_μ rappresenta la quadrivelocità, ρ la densità di energia e p la pressione) e compare nelle equazioni di Einstein in presenza di materia come

$$R_{\mu\nu} - \frac{1}{2}g_{\mu\nu}R = -8\pi G_d T_{\mu\nu} . \quad (2.17)$$

Per confronto con la (2.13) si comprende l'analogia suddetta. Essa suggerisce l'importanza che la costante cosmologica assume nel determinare l'evoluzione dell'Universo.

È ben noto infatti che l'Universo, pensato come omogeneo ed isotropo su grande scala (come indicato dalla legge di Hubble), può essere descritto come uno spazio-tempo di Friedmann-Robertson-Walker (FRW). Per un siffatto spazio-tempo è possibile scegliere un sistema di coordinate in cui la metrica appaia nella forma

$$ds^2 = -dt^2 + a^2(t/L)d\sigma^2 , \quad (2.18)$$

dove $d\sigma^2$ è la metrica di uno spazio massimamente simmetrico tridimensionale ed è indipendente dal tempo. La metrica di FRW corrisponde ad una ipersuperficie spaziale a curvatura costante che si espande o si contrae a seconda dell'andamento nel tempo del fattore di scala cosmologico $a^2(t/L)$. Tale curvatura costante, positiva, negativa o nulla è parametrizzata dal segno della costante k già introdotta, essendo sempre possibile assorbire fattori di normalizzazione in $a^2(t/L)$. La formula (2.4) fornisce la metrica di questa ipersuperficie spaziale,

$$d\sigma^2 = d\vec{x} \cdot d\vec{x} + k \frac{(\vec{x} \cdot d\vec{x})^2}{L^2 - k\vec{x} \cdot \vec{x}} . \quad (2.19)$$

In coordinate polari

$$d\sigma^2 = \frac{dr^2}{1 - k\frac{r^2}{L^2}} + r^2 d\Omega^2 , \quad (2.20)$$

(ove $d\Omega^2 = d\theta^2 + \sin^2\theta d\phi^2$) ed in termini della variabile adimensionale $r' \equiv \frac{r}{L}$

$$d\sigma^2 = L^2 \left\{ \frac{dr'^2}{1 - kr'^2} + r'^2 d\Omega^2 \right\} . \quad (2.21)$$

È conveniente passare infine alla forma trigonometrica,

$$d\sigma^2 = L^2 \{ d\chi^2 + f^2(\chi) d\Omega^2 \} , \quad (2.22)$$

dove la variabile χ è definita in modo tale che $\frac{dr'^2}{1-kr'^2} = d\chi^2$, $k = 0, \pm 1$, ovvero

$$f(\chi) = \begin{cases} \sin \chi & \text{se } k = +1 , \\ \chi & \text{se } k = 0 , \\ \sinh \chi & \text{se } k = -1 , \end{cases} \quad (2.23)$$

con $0 \leq \chi < \infty$ per $k = 0, -1$, mentre $0 \leq \chi < 2\pi$ per $k = +1$.

La metrica di FRW in coordinate trigonometriche è dunque

$$ds^2 = -dt^2 + R^2(t/L)\{d\chi^2 + f^2(\chi)d\Omega^2\} , \quad (2.24)$$

dove $R^2(t/L) \equiv L^2 a^2(t/L)$. Le equazioni di Einstein per uno spazio-tempo di FRW danno luogo a due equazioni differenziali ordinarie per il fattore di scala $R^2(t/L)$ che ne governa l'evoluzione,

$$\left(\frac{\dot{R}}{R}\right)^2 + \frac{k}{R^2} = \frac{8\pi G}{3}\rho + \frac{1}{3}\Lambda \quad (2.25)$$

(ove stiamo specializzando a $d = 4$ e abbiamo posto $G_4 \equiv G$), detta *equazione di Friedmann*, e

$$\frac{\ddot{R}}{R} = -\frac{4\pi G}{3}(\rho + 3p) + \frac{1}{3}\Lambda . \quad (2.26)$$

È naturale assumere, per il fluido perfetto col quale schematizziamo la distribuzione di materia nell'Universo su grande scala, che ρ sia positiva e p non negativa. La fondamentale conseguenza di queste equazioni è dunque che, se $\Lambda = 0$, $R(t/L)$ non può essere costante, ovvero che le equazioni di Einstein non ammettono soluzioni statiche, ma descrivono universi in espansione o contrazione.

Questo fu precisamente il motivo che indusse Einstein ad introdurre il termine di costante cosmologica nelle sue equazioni, poiché solo per un valore critico di Λ esiste una soluzione statica, che chiameremo nel seguito *universo statico di Einstein*, descritto dalla metrica

$$d\bar{s}^2 = -dt^2 + d\chi^2 + \sin^2 \chi d\Omega^2 , \quad (2.27)$$

Una discussione dettagliata delle diverse soluzioni delle equazioni di Einstein ci porterebbe troppo lontano. Qui ci limitiamo a far notare come l'introduzione di $\Lambda \neq 0$, caratteristica

degli spazi dS ed AdS che stiamo trattando, abbia notevoli conseguenze sull'evoluzione cosmologica. Ad esempio, è evidente da (2.26) che una $\Lambda > 0$ agisce come una repulsione che contrasta l'attrazione gravitazionale, rendendo possibile, tra l'altro, un'espansione accelerata e l'assenza della singolarità iniziale tipica dei modelli FRW senza costante cosmologica.

dS ed AdS non sono che casi particolari di spazi FRW. Nel vuoto, vale a dire con $\rho = p = 0$, una costante cosmologica non nulla comporta un andamento esponenziale del fattore di scala (qualitativamente $R(t) \sim \exp[a\sqrt{\Lambda}t]$) che si traduce evidentemente in un'espansione accelerata e infinita nel caso $\Lambda > 0$ e in una soluzione oscillante per $\Lambda < 0$.

Esaminiamo ora dS_4 e AdS_4 in maggior dettaglio, mettendone in evidenza alcune proprietà globali, dopo aver introdotto alcuni concetti e strumenti necessari facendo riferimento al caso più semplice dello spazio-tempo minkowskiano.

2.2 Spazio-tempo piatto: proprietà globali

Riprendiamo in considerazione l'universo statico di Einstein, che può esser rappresentato come il cilindro $x^2 + y^2 + z^2 + w^2 = 1$ immerso nello spazio di Minkowski pentadimensionale con metrica $ds^2 = -dt^2 + dx^2 + dy^2 + dz^2 + dw^2$. Sopprimendo due dimensioni, lo mostriamo in fig. 2.1, dove a ciascun punto sulla superficie cilindrica corrisponde metà² di una 2-sfera di area $4\pi \sin^2 \chi$ (χ è sostituito da r' in figura, come spiegato più avanti).

Un cilindro è una superficie conformemente piatta, ovvero esiste una trasformazione conforme che porta la metrica piatta minkowskiana $ds^2 = -dt^2 + dr^2 + r^2 d\Omega^2$ nella (2.27) a meno di un fattore conforme. Ricordiamo che, in generale, una trasformazione conforme è un diffeomorfismo $x \rightarrow x'(x)$ che lascia immutata la forma funzionale della metrica a meno di un riscalamento locale (trasformazione di Weyl):

$$g'_{\mu\nu}(x') = \frac{\partial x^\alpha}{\partial x'^\mu}(x') \frac{\partial x^\beta}{\partial x'^\nu}(x') g_{\alpha\beta}(x(x')) = \lambda^2(x') g_{\mu\nu}(x') . \quad (2.28)$$

Il cambio di coordinate in questione è

$$t' = \arctan(t+r) + \arctan(t-r) , \quad r' = \arctan(t+r) - \arctan(t-r) , \quad (2.29)$$

²Questo perché in fig. 2.1 ciascun valore di χ è rappresentato due volte.

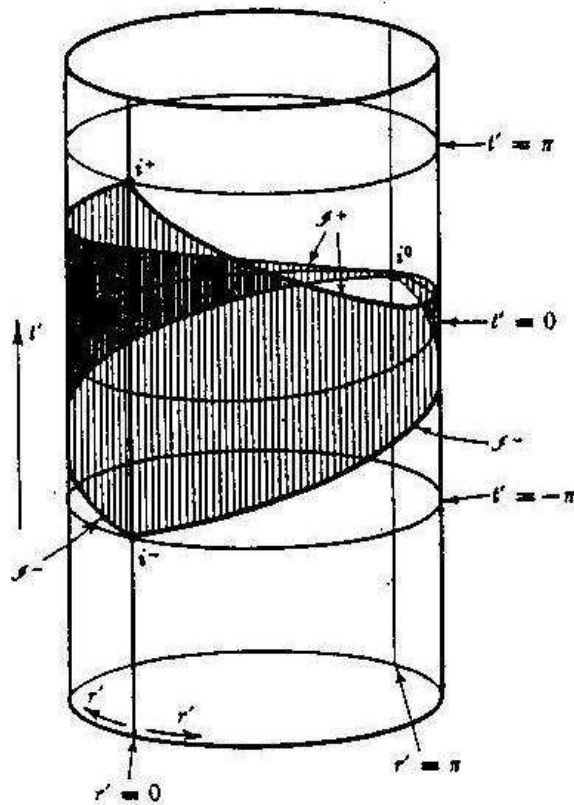


Figura 2.1: L'universo statico di Einstein rappresentato da un cilindro immerso in uno spazio piatto con una dimensione in più. Le coordinate θ e ϕ sono state soppresse. Ogni punto sulla superficie corrisponde a metà di una 2-sfera di area $4\pi \sin^2 r'$. La regione ombreggiata è conforme all'intero spazio di Minkowski, e sul suo bordo sono mappati i punti all'infinito di quest'ultimo [27].

con t' ed r' che variano sul dominio

$$-\pi < t' + r' < \pi, \quad -\pi < t' - r' < \pi, \quad r' > 0. \quad (2.30)$$

La metrica piatta diventa quindi

$$ds'^2 = \frac{1}{4} \sec^2 \left(\frac{1}{2}(t' + r') \right) \sec^2 \left(\frac{1}{2}(t' - r') \right) d\bar{s}^2, \quad (2.31)$$

dove $d\bar{s}^2$ è dato dalla (2.27) con le sostituzioni $t \rightarrow t'$ e $\chi \rightarrow r'$. Questo significa che l'intero spazio-tempo di Minkowski è conforme alla regione (2.30) dell'universo statico di Einstein (la regione ombreggiata in fig. 2.1). Attraverso la trasformazione di Weyl

$$d\bar{s}^2 = 4 \left[\sec^2 \left(\frac{1}{2}(t' + r') \right) \sec^2 \left(\frac{1}{2}(t' - r') \right) \right]^{-1} ds'^2 \quad (2.32)$$

è inoltre possibile estendere in modo massimale il sistema di coordinate a coprire l'intero universo statico di Einstein, con $-\infty < t' < +\infty$ e compattificando la parte spaziale con l'aggiunta del punto all'infinito $r' = \pi$. La conclusione è dunque che l'universo statico di Einstein è la compattificazione conforme e massimamente estesa dello spazio-tempo piatto di Minkowski.

Ricordiamo, a questo punto, alcune definizioni. Una metrica con segnatura minkowskiana, $g_{\mu\nu} = \text{diag}(- + + \dots +)$ separa i vettori V^μ diversi dal vettore nullo in tre classi, a seconda che $V^\mu g_{\mu\nu} V^\nu$ sia positivo, negativo o nullo: nel primo caso il vettore si dirà *di tipo spazio*, nel secondo *di tipo tempo* e nel terzo *di tipo luce*. Una curva viene dunque detta *di tipo spazio*, *di tipo tempo* o *di tipo luce* se il suo versore tangente v^μ è tale che $v^\mu g_{\mu\nu} v^\nu = 1, 0, -1$, rispettivamente. La classificazione delle ipersuperfici procede in modo analogo, ove naturalmente il vettore n^μ che si prende in considerazione è normale alla ipersuperficie stessa: se $n^\mu g_{\mu\nu} n^\nu = 1, 0, -1$ la superficie si dirà, rispettivamente, *di tipo tempo*, *di tipo luce* e *di tipo spazio*.

Si noti che una trasformazione conforme non altera la struttura causale di uno spazio-tempo, poiché il riscaldamento per un fattore positivo $g' = \lambda^2 g$ non altera gli angoli né il tipo (spazio, tempo o luce) di un vettore ³.

³È chiaro infatti che $V^\mu g_{\mu\nu} V^\nu > 0, = 0, < 0 \Rightarrow V^\mu g'_{\mu\nu} V^\nu > 0, = 0, < 0$.

In Relatività Generale si assume la validità del postulato di causalità locale, secondo cui, dal momento che nessun segnale può viaggiare con velocità superiore a quella della luce, i valori dei campi in un punto p dello spazio-tempo possono essere influenzati da quelli in un punto q (e dalle loro derivate, sino ad un opportuno ordine finito) soltanto se esiste una curva di tipo tempo o luce che congiunge p e q , ovvero soltanto se p non giace esternamente al cono di luce che ha vertice in q . Data allora una ipersuperficie S di tipo spazio, il suo sviluppo di Cauchy nel futuro (passato) $D^+(S)$ ($D^-(S)$) è definito come l'insieme di tutti i punti q della varietà spaziotemporale M tali che ogni curva di tipo tempo o luce che li attraversa diretta verso il passato (futuro) interseca S . In altri termini, $D^+(S)$ costituisce l'evoluzione causale di S . Se $D^+(S) \cup D^-(S) = M$, ovvero se ogni curva di tipo tempo o luce in M interseca S , S viene detta *superficie di Cauchy*. Ad esempio, nello spazio-tempo di Minkowski le superfici di tipo spazio $\{x_0 = \text{cost}\}$ costituiscono una famiglia di superfici di Cauchy che copre l'intero spazio-tempo.

Il confine della regione (2.30) rappresenta la struttura conforme dell'infinito nello spazio di Minkowski. Esso è costituito dalle superfici di tipo luce $p \equiv \frac{1}{2}(t' + r') = \frac{1}{2}\pi$ (I^+) e $q \equiv \frac{1}{2}(t' - r') = -\frac{1}{2}\pi$ (I^-), insieme con i punti $p = q = \frac{1}{2}\pi$ (i^+), $p = \frac{1}{2}\pi, q = -\frac{1}{2}\pi$ (i^0) e $p = -\frac{1}{2}\pi, q = -\frac{1}{2}\pi$ (i^-).

Quello di Minkowski è inoltre un esempio di spazio-tempo *geodeticamente completo*, il che significa che qualsiasi geodetica è completa, ovvero *esiste per valori arbitrariamente grandi del parametro affine*. Secondo la mappa (2.29) ogni geodetica di tipo tempo diretta verso il futuro si avvicina ad i^+ (i^-) per valori arbitrariamente grandi e positivi (negativi) del suo parametro affine. Si può dunque pensare a questi due punti come all'immagine, tramite la suddetta mappa, dell'infinito di tipo tempo nel futuro e nel passato. Le geodetiche di tipo luce nel piano, invece, partono da I^- e terminano su I^+ , superfici che rappresentano quindi l'infinito di tipo luce sul cilindro. Infine, le geodetiche di tipo spazio iniziano e finiscono in i^0 , immagine sul cilindro dell'infinito di tipo spazio sul piano.

Aperto il cilindro con un taglio lungo le generatrici $r' = 0, \pi$, si può inoltre stendere tale regione su un piano di coordinate (t', r') (fig. 2.2 (ii)), ogni punto del quale corrisponde ad una 2-sfera, con l'eccezione di i^+ , i^- ed i^0 , e sul quale geodetiche di tipo luce corrispondono a rette a $\pm 45^\circ$. Tale diagramma viene detto *diagramma di Penrose*.

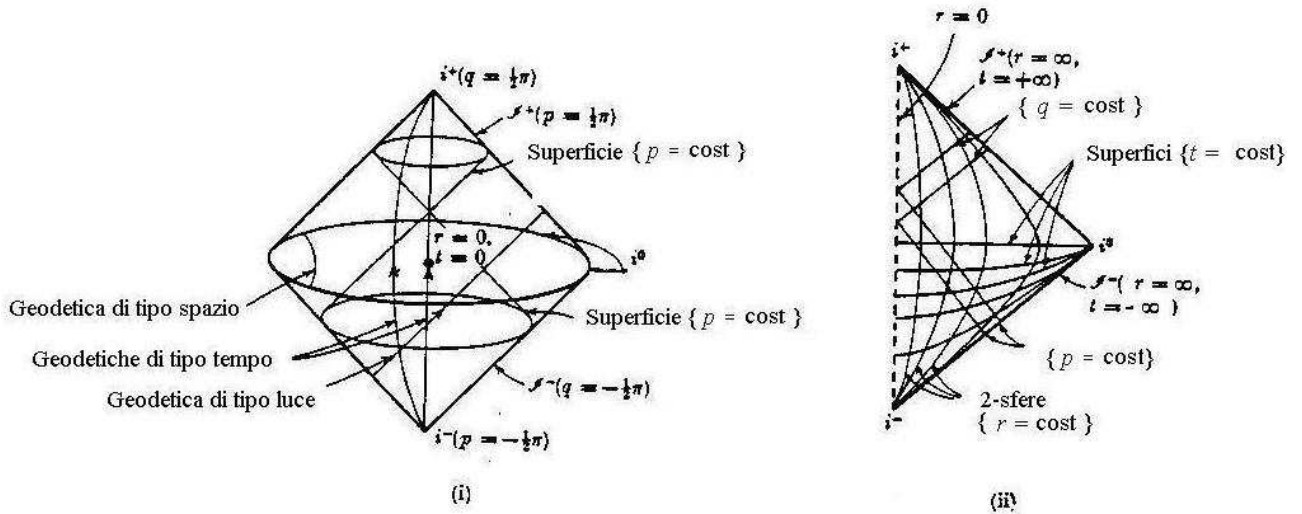


Figura 2.2: (i) La regione ombreggiata di fig. 2.1, con una sola coordinata soppressa. (ii) Il diagramma di Penrose per lo spazio-tempo di Minkowski; ogni punto rappresenta una 2-sfera, ad eccezione di i^+ , i^- ed i^0 , ciascuno dei quali rappresenta un singolo punto, e dei punti sulla linea $r = 0$ (dove le coordinate polari sono singolari) [27].

Il fatto che una trasformazione conforme non alteri i coni di luce di uno spazio-tempo fa sì che la sua rappresentazione in termini di una regione dell'universo statico di Einstein o il suo diagramma di Penrose contengano in effetti tutta l'informazione sulla struttura causale, anche se le distanze sono altamente distorte.

Possiamo a questo punto rivolgere la nostra attenzione agli spazi dS e AdS , sottoponendoli ad un'analisi analoga e mettendo in luce le novità introdotte dalla presenza di una costante cosmologica .

2.3 Spazio-tempo dS: proprietà globali

Lo spazio-tempo quadridimensionale di de Sitter, dS_4 , può essere facilmente visualizzato come l'iperboloide

$$-v^2 + w^2 + x^2 + y^2 + z^2 = L^2 \quad (2.33)$$

immerso in uno spazio-tempo minkowskiano pentadimensionale con metrica

$$-dv^2 + dw^2 + dx^2 + dy^2 + dz^2 = ds^2 \quad (2.34)$$

(fig. 2.3). L'iperboloide può essere parametrizzato con le coordinate (t, χ, θ, ϕ) , definite dalle relazioni

$$\begin{aligned} v &= L \sinh(L^{-1}t) , \\ w &= L \cosh(L^{-1}t) \cos \chi , \\ x &= L \cosh(L^{-1}t) \sin \chi \cos \theta , \\ y &= L \cosh(L^{-1}t) \sin \chi \sin \theta \cos \phi , \\ z &= L \cosh(L^{-1}t) \sin \chi \sin \theta \sin \phi . \end{aligned} \quad (2.35)$$

In questo sistema di coordinate la metrica assume la forma

$$ds^2 = -dt^2 + L^2 \cosh^2(L^{-1}t) \{d\chi^2 + \sin^2 \chi d\Omega^2\} , \quad (2.36)$$

ed ha apparenti singolarità per $\chi = 0, \pi$ e $\theta = 0, \pi$; esse tuttavia non sono singolarità vere dello spazio-tempo (come si può controllare dal fatto che lo scalare di curvatura R non diverge in questi punti), ma sono legate alla scelta del sistema di coordinate polari⁴. A parte queste singolarità, le coordinate (t, χ, θ, ϕ) con $-\infty < t < \infty$, $0 \leq \chi \leq \pi$, $0 \leq \theta \leq \pi$ e $0 \leq \phi \leq 2\pi$ coprono tutto lo spazio.

⁴Lo stesso accade nella descrizione dello spazio-tempo piatto minkowskiano con coordinate polari: la metrica assume la forma $ds^2 = -dt^2 + dr^2 + r^2 d\Omega^2$ ed ha singolarità apparenti per $r = 0$ e $\theta = 0, \pi$. Per ottenere una descrizione regolare in coordinate polari si deve restringere le variabili a $0 < r < \infty$, $0 < \theta < \pi$, $0 < \phi < 2\pi$, utilizzando almeno due parametrizzazioni locali di questo tipo per coprire interamente lo spazio di Minkowski.

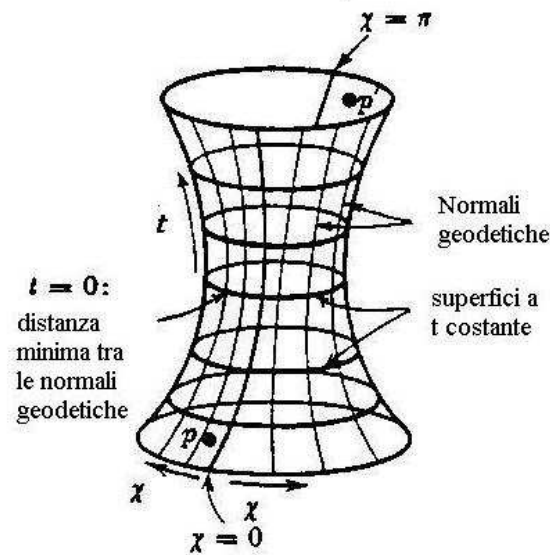


Figura 2.3: Lo spazio-tempo di de Sitter rappresentato da un iperboloido immerso in uno spazio-tempo piatto a cinque dimensioni (nella figura due dimensioni sono sopprese). Le sezioni $\{t = cost\}$ sono superfici con curvatura $k = 1$ [27].

È evidente che dS_4 ha la topologia $R^1 \times S^3$. Le ipersuperfici spaziali a $t = cost$ sono 3-sfere di curvatura costante $k = +1$ e la (2.36) descrive tale spazio-tempo come una 3-sfera di raggio $L \cosh(L^{-1}t)$ variabile nel tempo : esso si contrae da $t = -\infty$ fino ad un valore minimo, pari ad L , raggiunto a $t = 0$, per poi espandersi indefinitamente per $t \rightarrow \infty$.

Tali 3-sfere, sezioni spaziali a t costante di dS_4 , sono superfici di Cauchy e la distanza relativa tra le loro normali geodetiche si contrae monotonamente per t crescente fino ad un minimo, raggiunto in corrispondenza di $t = 0$, e poi torna a crescere all'infinito (fig. 2.3).

Come lo spazio-tempo di Minkowski, anche quello di de Sitter è geodeticamente completo.

Per studiare la struttura globale di dS è utile definire una nuova coordinata temporale t' , detta *tempo conforme*, per mezzo del cambio di variabili

$$t' = 2 \arctan(\exp L^{-1}t) - \frac{1}{2}\pi, \quad -\frac{1}{2}\pi < t' < \frac{1}{2}\pi, \quad (2.37)$$

che trasforma i punti all'infinito in valori finiti di t' . Inoltre, in termini delle variabili (t', χ, θ, ϕ) , la metrica prende la forma

$$ds^2 = L^2 \cosh^2(L^{-1}t') d\bar{s}^2, \quad (2.38)$$

dove $d\bar{s}^2$ è dato dalla (2.27).

Questo mostra che lo spazio-tempo di de Sitter è conforme alla regione definita da (2.37) dell'universo statico di Einstein (fig. 2.4 (i))⁵. Il bordo della suddetta regione rappresenta dunque la struttura conforme dell'infinito nello spazio-tempo di de Sitter, e consiste delle superfici di tipo spazio $t' = \frac{1}{2}\pi$ (I^+) e $t' = -\frac{1}{2}\pi$ (I^-). Il corrispondente diagramma di Penrose è mostrato in fig. 2.4 (ii).

La principale differenza rispetto al caso minkowskiano sta nel fatto che in dS l'infinito di tipo tempo e luce, sia nel futuro che nel passato, corrisponde sul cilindro alle superfici di tipo spazio I^+ ed I^- , ove hanno origine e termine tutte le geodetiche di tipo tempo o luce. Per lo spazio-tempo piatto si era invece visto che l'infinito di tipo tempo e luce corrisponde alle superfici I^+ ed I^- di tipo luce insieme con i punti i^+ ed i^- . Questo fatto è all'origine di un fenomeno del tutto peculiare dello spazio-tempo di de Sitter: la presenza di un *orizzonte delle particelle* e di un *orizzonte degli eventi* per famiglie di osservatori geodetici.

Data infatti in dS una famiglia di particelle, le cui storie sono rappresentate da geodetiche di tipo tempo, che hanno inizio su I^- e fine su I^+ , prendiamo un evento p sulla linea d'universo di una particella O di questa famiglia (sia p un dato istante di tempo proprio misurato lungo tale linea d'universo). In accordo con il postulato di causalità locale, gli eventi nello spazio-tempo che O può osservare, al tempo p , sono tutti e soli quelli compresi nel cono di luce del passato con vertice in p . Ovvero, solo le particelle le

⁵Entrambi sono inoltre conformemente piatti, come era evidente per dS dal fatto che la curvatura di Weyl, invariante sotto trasformazioni conformi, è nulla (vedi (2.12)).

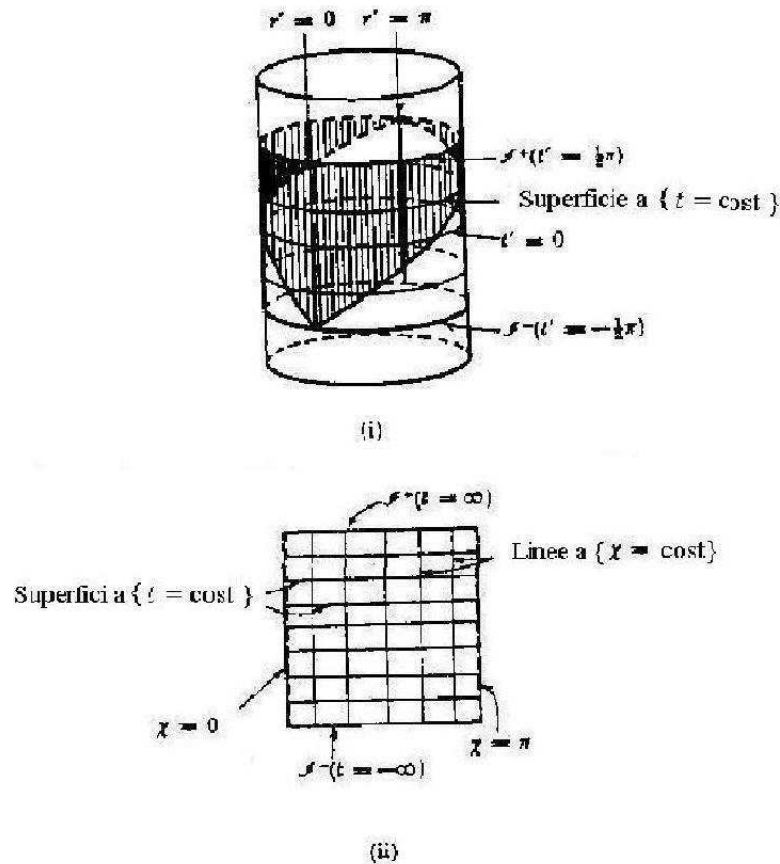


Figura 2.4: (i) Lo spazio-tempo di de Sitter è conforme alla regione $-\frac{1}{2}\pi < t' < \frac{1}{2}\pi$ dell'universo statico di Einstein. (ii) Il diagramma di Penrose dello spazio-tempo di de Sitter [27].

cui linee d'universo intersecano tale cono di luce sono visibili ad O . Ma possono evidentemente esistere particelle le cui linee d'universo non lo intersecano: esse non sono quindi visibili ad O in p , ma possono naturalmente diventarlo in qualche istante successivo q . Tuttavia, ci saranno ancora, in q , particelle non visibili ad O . Definiamo allora *orizzonte delle particelle* per l'osservatore O in p la separazione tra particelle visibili e non visibili

ad O in p , vale a dire la geodetica che rappresenta la storia delle particelle che giacciono ai limiti del cono di luce del passato di O in p , all'intersezione di questo con I^- (vedi fig. 2.5 (i)). Per contrasto, notiamo che non esiste alcun orizzonte delle particelle per un osservatore geodetico nello spazio-tempo di Minkowski e tutte le particelle sono per lui visibili. Questo è conseguenza del fatto che, in questo caso, I^- è una superficie di tipo luce e tutte le geodetiche di tipo tempo hanno origine in un punto, i^- (vedi fig. 2.5 (ii)).

Inoltre, in dS esiste un limite alla linea d'universo di O sulla superficie I^+ . Questo significa che il cono luce del passato con vertice nel punto in cui tale linea d'universo interseca I^+ costituisce una superficie di separazione tra gli eventi che, per qualche $p < \infty$, saranno osservabili da parte di O e quelli che non lo saranno mai. Tale superficie viene chiamata *orizzonte degli eventi futuro*. Ancora, notiamo che nello spazio-tempo di Minkowski la linea d'universo dell'osservatore geodetico O finisce in i^+ e la superficie I^+ è di tipo luce: la conseguenza è che il cono di luce con vertice in i^+ include l'intero spazio-tempo, e nessun evento ne è al di fuori. Ovvero, non esiste alcun orizzonte degli eventi futuro, nello spaziotempo piatto. Questo però non è vero per un osservatore che si muova con un'accelerazione uniforme: la sua linea d'universo allora non è più una geodetica e può, ad esempio, terminare su I^+ anziché in i^+ , dando luogo ad un orizzonte degli eventi futuro anche nello spazio-tempo piatto (vedi fig. 2.6 (ii)).

Questa considerazione ci suggerisce la ragione fisica dell'esistenza dell'orizzonte. Rappresentando dS come una ben determinata regione dell'universo statico di Einstein abbiamo osservato che, almeno per quanto riguarda un osservatore geodetico, l'orizzonte delle particelle e quello degli eventi futuro hanno origine dal fatto che I^- ed I^+ sono superfici di tipo spazio. Tuttavia, abbiamo visto in precedenza che una costante cosmologica positiva conduce ad un'espansione esponenziale dello spazio-tempo. È chiaro quindi che l'esistenza dell'orizzonte è dovuta al fatto che lo spazio-tempo si espande con velocità superiori a quella della luce, sicché esisteranno alcuni eventi, quelli all'esterno dell'orizzonte, la cui luce non raggiunge mai l'osservatore. In altri termini, una data regione di spazio-tempo si espande più rapidamente di quanto non faccia il cono di luce di un osservatore, le cui falde non potranno quindi mai contenere al loro interno tutti i punti della suddetta regione: anche per tempi arbitrariamente grandi, resteranno sempre eventi non causalmente

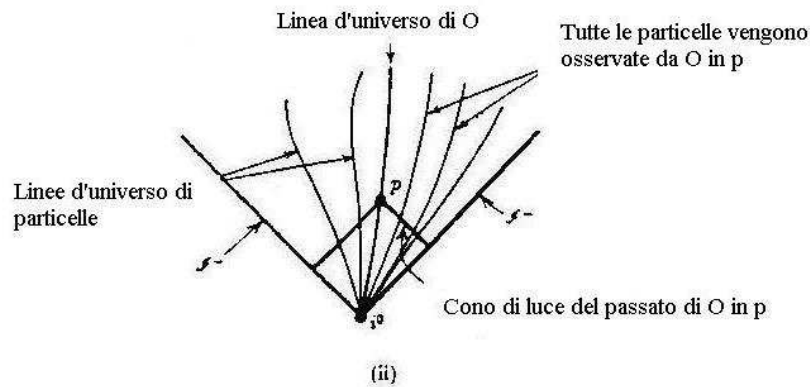
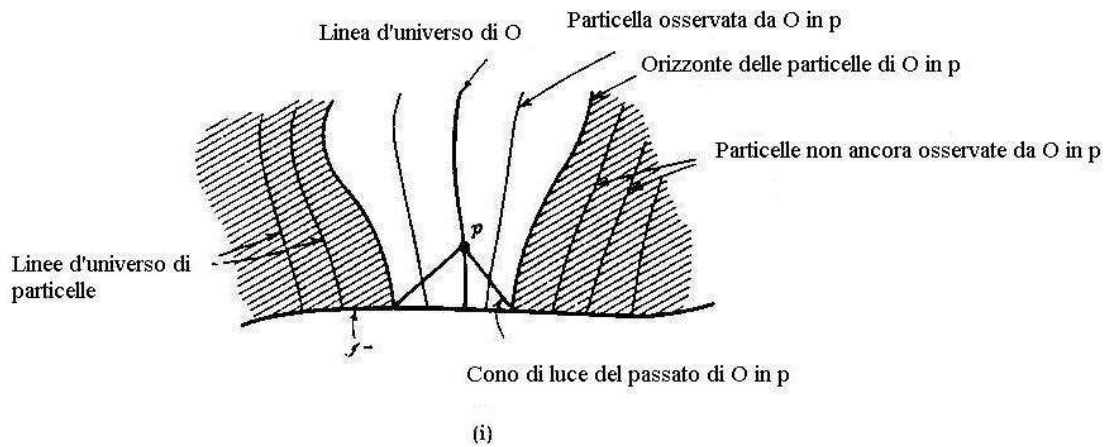


Figura 2.5: (i) L'orizzonte delle particelle per l'osservatore geodetico O in p , come conseguenza del fatto che l'infinito nella direzione temporale nel passato corrisponde ad una superficie di tipo spazio. (ii) Assenza dell'orizzonte delle particelle se tale superficie è di tipo luce [27].

connessi all'osservatore.

Diamo un'ulteriore caratterizzazione dell'orizzonte degli eventi futuro. Consideriamo la linea d'universo della particella Q ed il punto r in cui essa interseca l'orizzonte degli eventi futuro di O . Per definizione di quest'ultimo, O vede l'evento r solo dopo un tempo proprio infinito (cioè una volta giunto su I^+), mentre solo un intervallo finito di tempo proprio trascorre lungo la linea d'universo di Q tra un qualsiasi altro evento ed r . O vede in un tempo infinito una parte finita della storia di Q , ovvero la luce degli eventi lungo la linea d'universo di Q gli giunge con un redshift che tende ad infinito per eventi arbitrariamente vicini ad r .

Dal momento che in dS anche I^- è una superficie di tipo spazio, si comprende con ragionamenti analoghi l'esistenza di un *orizzonte degli eventi passato* di O : esso consiste della superficie del cono di luce del futuro con vertice nel punto in cui la linea d'universo di O interseca I^- . I punti interni costituiscono l'insieme massimale di eventi che O può influenzare, secondo il postulato di causalità locale. L'interno della regione ottenuta dall'intersezione dell'orizzonte degli eventi futuro con l'orizzonte degli eventi passato contiene dunque l'insieme massimale degli eventi causalmente connessi ad O (vedi fig. 2.6 (i)).

Nessuna di queste osservazioni dipende dalla dimensionalità $d + 1$ dello spazio-tempo: tutte le proprietà di dS_4 sin qui esposte si generalizzano in modo analogo al caso dS_{d+1} , con topologia $R \times S^d$, avendo cura soltanto di sostituire, nella metrica, all'elemento di angolo solido bidimensionale $d\Omega^2$ quello $(d - 1)$ -dimensionale $d\Omega_{d-1}^2$. Le (2.35) andranno inoltre conseguentemente modificate nella parte angolare:

$$\begin{aligned} x_0 &= L \sinh(L^{-1}t) , \\ x_i &= L \cosh(L^{-1}t) \Omega_i , \quad i = 1, 2, \dots, d + 1 , \end{aligned} \tag{2.39}$$

con le variabili angolari Ω_i tali che $\sum_i \Omega_i^2 = 1$.

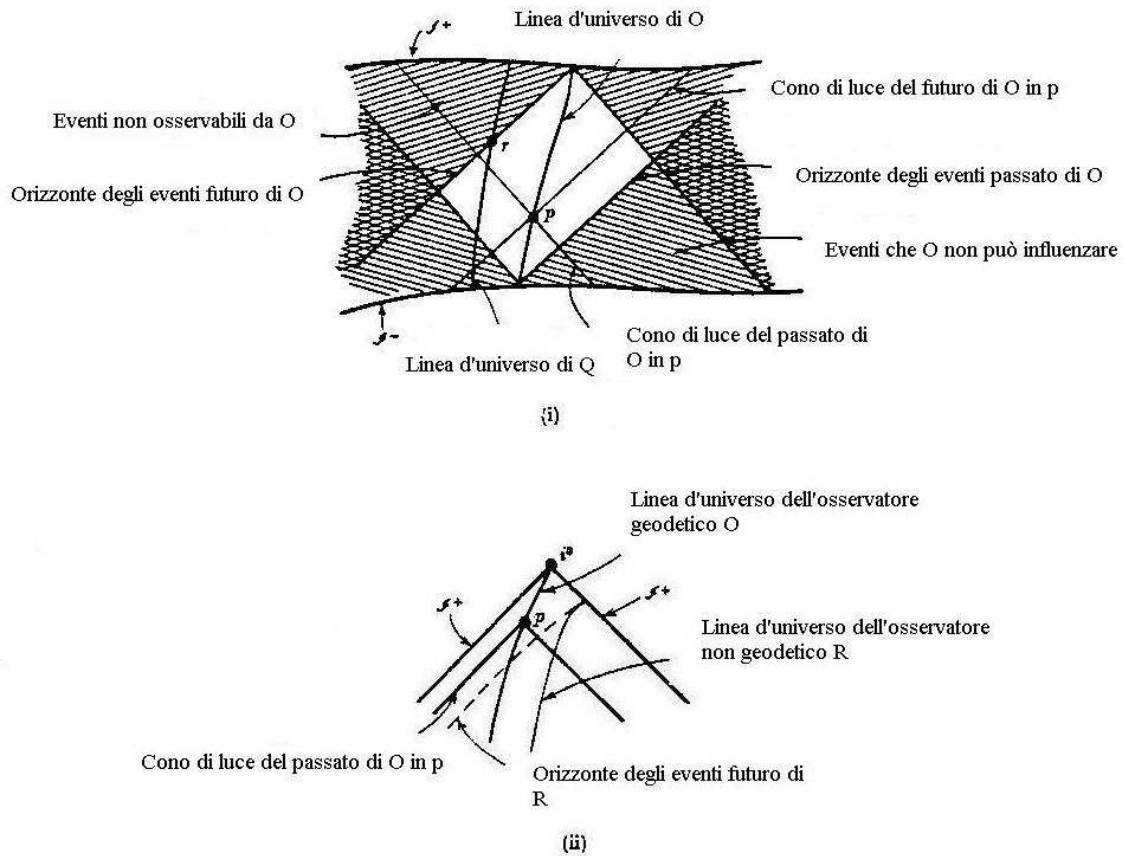


Figura 2.6: (i) L'orizzonte degli eventi futuro per l'osservatore geodetico O esiste in quanto l'infinito temporale futuro corrisponde, in dS , ad una superficie di tipo spazio; così anche l'orizzonte degli eventi passato è conseguenza del fatto che I^- è una superficie di tipo spazio. (ii) Assenza dell'orizzonte degli eventi futuro per un osservatore geodetico nello spazio-tempo piatto. Anche in questo caso, tuttavia, un osservatore accelerato può avere un orizzonte degli eventi futuro [27].

2.4 Spazio-tempo AdS: proprietà globali

Lo spazio-tempo quadridimensionale di Anti-de Sitter, AdS_4 , può convenientemente esser descritto come l'iperboloide

$$-u^2 - v^2 + x^2 + y^2 + z^2 = 1 \quad (2.40)$$

(dove prendiamo $L = 1$ per semplicità) immerso nello spazio-tempo piatto pentadimensionale con metrica

$$-du^2 - dv^2 + dx^2 + dy^2 + dz^2 = ds^2 . \quad (2.41)$$

Evidentemente la (2.40) descrive una superficie non semplicemente connessa, dal momento che non esistono valori di u e v reali che la soddisfino per $(x^2 + y^2 + z^2)^{1/2} < 1$. Sopprimendo due dimensioni spaziali, è possibile rappresentare AdS_4 come l'iperboloide a due falde in fig. 2.7 ⁶.

Trattandosi di uno spazio-tempo con ipersuperfici spaziali a $t = cost$ a curvatura negativa $k = -1$ e con costante cosmologica $\Lambda < 0$, per quanto detto nella sezione 2.1 è chiaro che esso è descritto dalla metrica

$$ds^2 = -dt^2 + \cos^2 t \{d\chi^2 + \sinh^2 \chi d\Omega^2\} , \quad (2.42)$$

corrispondente ad un iperboloide tridimensionale (dunque una ipersuperficie non compatta, a differenza di quanto accadeva per dS) il cui raggio di curvatura varia nel tempo come $\cos t$ per $-\frac{1}{2}\pi < t < \frac{1}{2}\pi$. Tuttavia, per $t = \pm\frac{1}{2}\pi$ la metrica ha singolarità soltanto apparenti. Un sistema di coordinate globale per AdS_4 è definito dalle relazioni

$$\begin{aligned} u &= \sinh r \cos t' , \\ v &= \sinh r \sin t' , \\ x &= \cosh r \cos \theta , \\ y &= \cosh r \sin \theta \cos \phi , \\ z &= \cosh r \sin \theta \sin \phi , \end{aligned} \quad (2.43)$$

⁶Ovviamente sopprimendo due dimensioni spaziali AdS si riduce alla superficie $-u^2 - v^2 + x^2 = 1$, l'iperboloide a due falde disegnato, una superficie non connessa.

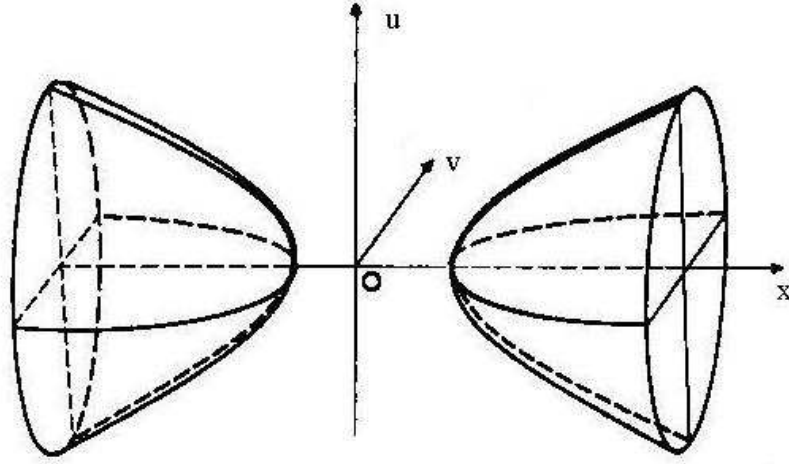


Figura 2.7: Lo spazio-tempo di Anti-de Sitter rappresentato come un iperboloide a due falde immerso in uno spazio-tempo piatto a cinque dimensioni (due dimensioni spaziali sono soppresses nella figura).

con $r \geq 0$ e $0 \leq t' < 2\pi$, e nelle coordinate (t', r, θ, ϕ) la metrica si scrive

$$ds^2 = -\cosh^2 r dt'^2 + dr^2 + \sinh^2 r d\Omega^2 . \quad (2.44)$$

Nel limite $r \rightarrow 0$, la metrica (2.44) tende a $ds^2 = -dt'^2 + dr^2 + r^2 d\Omega^2$, sicché questo spazio-tempo ha la topologia $S^1 \times R^3$ e presenta curve chiuse di tipo tempo. Tuttavia, la causalità è recuperata se si apre il cerchio S^1 e si prende il suo ricoprimento R^1 , ovvero se si ammette $-\infty < t' < +\infty$, ottenendo così il ricoprimento universale dello spazio-tempo di Anti-de Sitter, con topologia R^4 . D'ora in poi con AdS_4 si intenderà sempre questo ricoprimento.

Quindi in AdS sia la coordinata r che la coordinata t' variano su intervalli infiniti. Il cambio di coordinate che porta l'infinito nella direzione r di AdS in punti al finito è dato da

$$r' = 2 \arctan(\exp r) - \frac{1}{2}\pi , \quad 0 \leq r' < \frac{1}{2}\pi , \quad (2.45)$$

e riduce la metrica a

$$ds^2 = \cosh^2 r d\bar{s}^2 . \quad (2.46)$$

A meno di un riscaldamento di Weyl, abbiamo riscritto la metrica di AdS come la (2.27): tuttavia, la variabile r' varia nell'intervallo $0 \leq r' < \frac{1}{2}\pi$, e quindi AdS è conforme a metà dell'universo statico di Einstein. In fig. 2.8 viene mostrata tale regione, coperta dalle variabili (t', r', θ, ϕ) e pari a metà del cilindro, insieme con quella, a forma di diamante, coperta dalle coordinate (t, χ, θ, ϕ) ; viene inoltre mostrato il corrispondente diagramma di Penrose.

Si vede come AdS risulti avere proprietà in qualche modo opposte a quelle di dS : intuitivamente (e trascurando le differenze introdotte dal prendere per AdS il ricoprimento universale) possiamo dire che le caratteristiche di dS nelle direzioni t' e $\chi \equiv r'$ diventano, rispettivamente, quelle delle direzioni r' e t' di AdS . Per esempio, in questo caso l'infinito di tipo luce e quello di tipo spazio corrispondono ad una superficie di tipo tempo (I) sul cilindro: essa corrisponde al bordo di AdS , che si raggiunge nel limite $r \rightarrow \infty$, ovvero per $r' = \frac{1}{2}\pi$. Inoltre la regione (2.45) sul cilindro è infinitamente sviluppata nella direzione tempo. Rappresenteremo l'infinito di tipo tempo nel diagramma di Penrose attraverso i due punti disgiunti i^+ ed i^- .

Notiamo inoltre che ogni ipersuperficie di AdS_4 a $t' = cost$ viene mappata in una semisfera tridimensionale⁷: per ogni t' , quindi, ciascun punto appartenente ad I corrisponderà al bordo bidimensionale S^2 di ciascuna semisfera, il suo equatore. Nella sua evoluzione temporale, tale 2-sfera descrive, in effetti, il bordo di AdS_4 , ovvero lo spazio-tempo tridimensionale $R \times S^2$. Questo significa che il bordo di AdS_4 , o meglio della sua compattificazione conforme, coincide con la compattificazione conforme massimamente estesa dello spazio-tempo piatto di Minkowski tridimensionale. Questa osservazione, estendibile a dimensione d arbitraria, gioca un ruolo cruciale nella corrispondenza AdS_{d+1}/CFT_d .

Le curve $\chi, \theta, \phi = cost$, geodetiche ortogonali alle superfici $t = cost$, convergono nei punti q , nel futuro, e p , nel passato, vertici del diamante. Questo rende ragione della

⁷Coerentemente col fatto che le sezioni spaziali a tempo costante sono superfici non compatte, con bordo, la trasformazione conforme le manda in semisfere, anch'esse dotate di bordo. In dS si avevano invece sezioni a tempo costante compatte, 3-sfere, che rimanevano tali dopo la trasformazione.

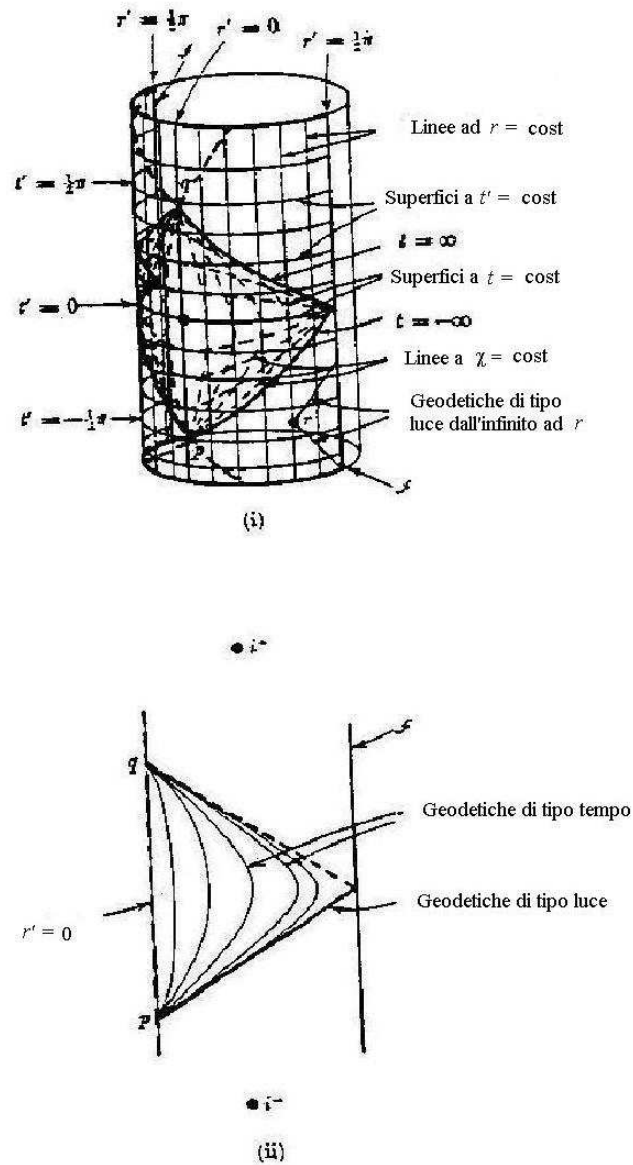


Figura 2.8: (i) Il ricoprimento universale dello spazio-tempo di Anti-de Sitter è conforme a metà dell'universo statico di Einstein. Mentre le coordinate (t', r, θ, ϕ) coprono l'intero spazio, le coordinate (t, χ, θ, ϕ) coprono soltanto la regione a forma di diamante mostrata. (ii) Il diagramma di Penrose del ricoprimento universale dello spazio di Anti-de Sitter. L'infinito è rappresentato dalla superficie di tipo tempo I e dai punti disgiunti i^+ e i^- [27].

singularità apparente del sistema di coordinate (t, χ, θ, ϕ) . Esso copre soltanto la regione a forma di diamante compresa tra la superficie $t = 0$ e le superfici di tipo luce su cui tali normali geodetiche diventano degeneri. Tutte le geodetiche di tipo tempo, in AdS , sono fatte in questo modo: partono divergendo da un punto per poi riconvergere in un punto immagine, sia nel passato che nel futuro, dal quale divergono ancora per tornare a congiungersi in un secondo punto immagine, e così via, disegnando una successione di regioni a diamante, come in fig. 2.8. Le geodetiche di tipo tempo, dunque, non raggiungono mai il bordo di $AdS I$, al contrario delle geodetiche di tipo luce, che delimitano il futuro di p . Questo comporta, ad esempio, che in AdS particelle massive non possono mai arrivare sino al bordo, mentre un raggio di luce impiega un tempo finito per andare da p al bordo e dal bordo a q secondo ogni osservatore geodetico. Il comportamento peculiare delle geodetiche in AdS ha come conseguenza anche l'esistenza di regioni, nel futuro di p (ovvero, i cui punti possono essere congiunti a p da una generica curva di tipo tempo), che non possono essere raggiunte da p attraverso una geodetica di tipo tempo. I punti nel futuro di p raggiungibili lungo geodetiche di tipo tempo costituiscono l'interno della catena di regioni a forma di diamante già citate.

L'infinito sviluppo lungo la direzione tempo, insieme con l'esistenza di un bordo, mappato a $r' = \frac{1}{2}\pi$, fa sì che non esistano superfici di Cauchy in AdS . In particolare, sebbene si possano trovare famiglie di superfici di tipo spazio che coprono tutto AdS (come le superfici $\{t' = cost\}$), ciascuna delle quali seziona completamente lo spazio-tempo, esistono sempre geodetiche di tipo luce che arrivano al bordo senza intersecarle. Questo fatto non ha riscontro in nessuno dei casi precedentemente esaminati: sia nello spazio-tempo di Minkowski che in quello di de Sitter, infatti, superfici di tipo spazio che siano sezioni dell'intero spazio-tempo sono sempre anche superfici di Cauchy. Ciò ha conseguenze importanti. Data una superficie di Cauchy, si può predire lo stato dell'universo in ogni istante nel passato o nel futuro, noti i dati iniziali sulla superficie stessa, poiché ogni curva di tipo tempo e di tipo luce la interseca. In AdS , invece, forniti i dati iniziali su una superficie a $t' = cost$, si può al massimo predire lo sviluppo di Cauchy della superficie stessa: ad esempio, partendo sulla superficie $t' = 0$, la regione massimale in cui è possibile fare predizioni, in quanto causalmente determinata dai dati iniziali su di essa, corrisponde

al diamante coperto dalle coordinate (t, χ, θ, ϕ) . Al di fuori di questa regione, sull'intero spazio-tempo di Anti-de Sitter, il problema di Cauchy è mal definito, viziato dal fatto che ulteriore informazione viaggia lungo geodetiche di tipo luce provenienti da $t' = \pm\infty$. È necessario quindi dare anche condizioni al contorno sul bordo $R \times S^2$ a $r' = \frac{1}{2}\pi$.

Anche in questo caso tutte le proprietà descritte per AdS_4 si estendono naturalmente ad AdS_{d+1} , con le modifiche alla parte angolare di cui si è già parlato nella sezione precedente.

Capitolo 3

Formulazione geometrica della gravità

3.1 Formulazione di MacDowell-Mansouri

Nel seguito ci occuperemo soprattutto di AdS, lo spazio-tempo più interessante dal punto di vista delle teorie di gauge di spin elevato, poiché consente estensioni supersimmetriche delle algebre di simmetria.

Come osservato in precedenza, uno spazio-tempo AdS_d d -dimensionale può essere descritto semplicemente, in termini delle coordinate cartesiane di immersione in uno spazio-tempo minkowskiano M_{d+1} $(d+1)$ -dimensionale, come l'iperboloide

$$x_\alpha x^\alpha = -x_0^2 + x_1^2 + x_2^2 + \dots + x_{d-1}^2 - x_d^2 = L^2 . \quad (3.1)$$

La componente connessa del gruppo di trasformazioni lineari che preserva la forma $x_\alpha x^\alpha$ è $SO(d-1, 2)$, la cui algebra $so(d-1, 2)$ è dunque l'algebra di isometria dello spazio-tempo AdS_d . Ad essa faremo dunque riferimento, d'ora in poi, col nome di algebra AdS_d .

Specializzando al caso $d = 4$, l'algebra di AdS_4 , $so(3, 2)$, è

$$[J_{AB}, J_{CD}] = i(\eta_{AC} J_{BD} + \eta_{BD} J_{AC} - \eta_{AD} J_{BC} - \eta_{BC} J_{AD}) , \quad (3.2)$$

dove

$$J_{AB} = -J_{BA} , \quad \eta_{AB} = \text{diag}(-, +, +, +, -) , \quad A, B = 0, 1, \dots, 4 .$$

La sottoalgebra generata dai J_{ab} con $a, b = 0, 1, 2, 3$ può evidentemente essere identificata con l'algebra di Lorentz, mentre i J_{a4} con i generatori delle traslazioni P_a , a meno di un riscalamento con l'inverso del raggio di curvatura di AdS_4 , necessario per dar loro le giuste dimensioni: $P_a = L^{-1}J_{a4}$. L'algebra di AdS_4 si riscrive dunque, in termini dei $J_{ab} \equiv M_{ab}$ e $J_{a4} \equiv P_a$, come

$$\begin{aligned} [M_{ab}, M_{cd}] &= i(\eta_{ac}M_{bd} + \eta_{bd}M_{ac} - \eta_{ad}M_{bc} - \eta_{bc}M_{ad}) , \\ [P_a, M_{bc}] &= i(\eta_{ac}P_b - \eta_{ab}P_c) , \\ [P_a, P_b] &= -iL^{-2}M_{ab} \sim i\Lambda M_{ab} . \end{aligned} \tag{3.3}$$

L'ultima equazione mostra come, su uno spazio a curvatura costante non nulla, due traslazioni non commutino, ma il loro commutatore sia equivalente ad una trasformazione di Lorentz. Allo stesso tempo, tuttavia, risulta chiaro come sia possibile recuperare l'algebra di Poincaré da $so(3, 2)$ attraverso una contrazione di Inonü-Wigner, vale a dire nel limite piatto $L \rightarrow \infty$ che corrisponde a $\Lambda \rightarrow 0$.

Tale procedimento consente di collegare un'algebra di Lie non semisemplice, quale l'algebra di Poincaré, ad una famiglia a un parametro (il raggio di AdS , L) di algebre di Lie semplici.

Teorie di gauge di spin "basso", come la teoria di Yang-Mills (YM), possono essere costruite rendendo locali (*gauging*) algebre di simmetria semplici.

Similmente, la gravità einsteiniana può essere interpretata come una teoria invariante sotto diffeomorfismi (a livello infinitesimo traslazioni dipendenti dal punto) e trasformazioni di Lorentz locali, ovvero come una teoria di gauge corrispondente ad un'opportuna algebra di simmetria, di solito identificata con l'algebra di Poincaré $iso(3, 1)$.

Tuttavia, per quanto detto sopra, tale algebra può essere ottenuta a partire da un'algebra di Lie semplice, con il vantaggio che il *gauging* di quest'ultima rende manifeste, a livello della costruzione della teoria e dell'azione, alcune somiglianze con la teoria di YM che sono invece meno evidenti nella formulazione einsteiniana.

Questa formulazione "geometrica" della gravità, dovuta a MacDowell e Mansouri [28], è basata sull'algebra di simmetria spazio-temporale $so(3, 2)$ e conduce ad una azione,

scritta in termini del prodotto esterno di curvatures, simile a quella di YM, che riproduce l'azione di Einstein-Hilbert con termine cosmologico (2.14).

Una generalizzazione appropriata di questa formulazione della gravità sarà la chiave dell'approccio ad una teoria di gauge di campi di spin arbitrario. È dunque istruttivo esaminarla in dettaglio.

Introduciamo la 1-forma di connessione a valori nell'algebra AdS_4 , $A^{AB} = -A^{BA} = dx^\mu A_\mu^{AB}$, con $\mu = 0, 1, 2, 3$ indice di spazio-tempo (di base, nel linguaggio dei fibrati) ed $A, B = 0, 1, \dots, 4$, indice dell'algebra di simmetria $so(3, 2)$ (di fibra). A_μ^{AB} è il campo di gauge necessario per promuovere $so(3, 2)$ a simmetria locale, come accade per YM. Possiamo espandere nei generatori, rispetto alla base (P_a, M_{ab}) , come

$$A = A^{AB} J_{AB} = i(e^a P_a + \frac{1}{2} \omega^{ab} M_{ab}) , \quad (3.4)$$

dove la 1-forma ω^{ab} è la connessione di spin, campo di gauge associato alla sottoalgebra di Lorentz $so(3, 1)$, mentre la 1-forma e^a è il vielbein, associato alle traslazioni P_a su AdS_4 , vale a dire al quoziente $so(3, 2)/so(3, 1)$, e legato alla connessione di $so(3, 2)$ da $e^a = LA^{a4}$.

Con la connessione A^{AB} possiamo costruire la 2-forma di curvatura

$$\mathfrak{R}^{AB} = dA^{AB} + A^{AC} \wedge A_C^B , \quad (3.5)$$

dove $d = dx^\mu \frac{\partial}{\partial x^\mu}$ è la derivata esterna e $\mathfrak{R}^{AB} = dx^\mu \wedge dx^\nu \mathfrak{R}_{\mu\nu}^{AB}$. Osserviamone la decomposizione sui generatori:

$$\mathfrak{R} = \frac{i}{2} dx^\mu \wedge dx^\nu [T_{\mu\nu}^a P_a + \frac{1}{2} (R_{\mu\nu}^{ab} + 2L^{-2} e_\mu^a e_\nu^b) M_{ab}] , \quad (3.6)$$

dove

$$T_{\mu\nu}^a = \partial_\mu e_\nu^a + \omega_\mu^a{}_c e_\nu^c - (\mu \leftrightarrow \nu) , \quad (3.7)$$

$$R_{\mu\nu}^{ab} = \partial_\mu \omega_\nu^{ab} + \omega_\mu^a{}_c \omega_\nu^{cb} - (\mu \leftrightarrow \nu) . \quad (3.8)$$

$T_{\mu\nu}^a$ è il tensore di torsione, ed il vincolo

$$T_{\mu\nu}^a = 0 \quad (3.9)$$

consente di esprimere la connessione di spin (o connessione di Lorentz) $\omega_\mu{}^{ab}$ in termini di derivate del vielbein e_μ^a . In virtù di questo vincolo si può dunque distinguere tra un campo fondamentale, e_μ^a , che contiene i gradi di libertà fisici, ed un campo ausiliario, $\omega_\mu{}^{ab}$, che non descrive gradi di libertà indipendenti, poiché $\omega \sim e^{-1}\partial e$.

$R_{\mu\nu}^{ab}$ invece è l'usuale tensore di Riemann, che compare in \mathfrak{R} assieme al termine cosmologico $L^{-2}ee \sim \Lambda ee$. Quest'ultimo nasce dal fatto che il commutatore di due traslazioni su uno spazio AdS è non nullo e scompare nel limite piatto.

Come già accennato nell'introduzione, le equazioni:

$$T_{\mu\nu}^a = 0, \quad (3.10)$$

$$\mathfrak{R}_{\mu\nu}^{ab} = R_{\mu\nu}^{ab} + 2L^{-2}e_\mu^a e_\nu^b = 0, \quad (3.11)$$

descrivono uno spazio-tempo AdS di raggio L^{-2} , ovvero di costante cosmologica Λ .

L'azione di MacDowell e Mansouri, scritta in termini delle curvature in modo simile a quella delle YM e che riproduce l'azione di Einstein-Hilbert col termine cosmologico, è

$$S_{MM} = -\frac{1}{4\kappa^2\Lambda} \int_{M_4} \mathfrak{R}^{ab} \wedge \mathfrak{R}^{cd} \varepsilon_{abcd} = -\frac{1}{4\kappa^2\Lambda} \int d^4x \epsilon^{\mu\nu\rho\sigma} \varepsilon_{abcd} \mathfrak{R}_{\mu\nu}{}^{ab} \mathfrak{R}_{\rho\sigma}{}^{cd}. \quad (3.12)$$

Sostituendo nella (3.12) la (3.6), tenendo conto della (3.9), e ricordando che $L^{-2} \sim \Lambda$ si ottiene

$$S_{MM} = -\frac{1}{4\kappa^2\Lambda} \int d^4x \epsilon^{\mu\nu\rho\sigma} \varepsilon_{abcd} (R_{\mu\nu}{}^{ab} R_{\rho\sigma}{}^{cd} + 4L^{-2} e_\mu^a e_\nu^b R_{\rho\sigma}{}^{cd} + 4L^{-4} e_\mu^a e_\nu^b e_\rho^c e_\sigma^d). \quad (3.13)$$

Esaminiamo uno ad uno i termini appena ricavati:

1. Il primo termine a secondo membro è proporzionale a Λ^{-1} e alto-derivativo (coinvolge cioè più di due derivate del campo fondamentale, il vielbein). Tuttavia, è proporzionale ad un termine topologico, la caratteristica di Eulero della varietà

$$\chi = \frac{1}{32\pi^2} \int_{M_4} R^{ab} \wedge R^{cd} \varepsilon_{abcd}, \quad (3.14)$$

e non contribuisce alle equazioni del moto.

2. Il secondo è un termine indipendente da Λ e produce la curvatura scalare ed il determinante del vielbein e . Ricordando infatti che $e \sim \varepsilon^{\mu\nu\rho\sigma} \varepsilon_{abcd} e_\mu^a e_\nu^b e_\rho^c e_\sigma^d$, è semplice vedere che esso si riarrangia in $e e_a^\mu e_b^\nu R_{\mu\nu}^{ab}$.
3. Infine compare un termine proporzionale ad $e\Lambda$, ovvero un termine cosmologico.

Come preannunciato, gli ultimi due termini ricostruiscono quindi l'azione di Einstein-Hilbert gravitazionale in presenza di costante cosmologica.

Il primo costituisce invece un termine ulteriore di interazione, che qui non influisce poiché è una derivata totale. Termini di questo tipo saranno tuttavia caratteristici delle teorie di HS, e vale la pena di riassumerne le caratteristiche:

- è bilineare nelle curvature R^{ab} di fluttuazione rispetto al background AdS , sicché nell'ottica di un'espansione perturbativa attorno a quest'ultimo tali termini non contribuiscono all'ordine lineare,
- contiene più di due derivate del campo fondamentale, in virtù del vincolo di torsione (3.9),
- ha un coefficiente proporzionale all'inverso della costante cosmologica, e dunque il suo limite piatto non è ben definito. Ciò significa che questo è un termine intrinsecamente associato allo spazio-tempo curvo e che, specialmente in vista di un'estensione di questo formalismo ai campi di HS, per i quali non è un termine topologico, è necessario lavorare con $\Lambda \neq 0$.

3.2 Formulazione di Stelle-West

È anche possibile costruire una versione $so(3,2)$ -covariante dell'azione di MacDowell-Mansouri, dovuta a Stelle e West [29], al prezzo di introdurre un campo $V^A(x)$ che non descrive gradi di libertà fisici, detto *compensatore*. Tale azione è simile, in forma, alla (3.12), essendo quadratica nelle curvature \mathfrak{R}^{AB} , tensori antisimmetrici di $so(3,2)$. Ha

dunque bisogno del compensatore per saturare l'ulteriore indice del tensore totalmente antisimmetrico ε_{ABCDE} . Si introduce quindi il vettore di tipo tempo di $so(3, 2)$ V^A (una 0-forma dal punto di vista spazio-temporale), con la normalizzazione

$$V^A V_A = -1 . \quad (3.15)$$

L'algebra di Lorentz corrisponderà alla sottoalgebra di stabilità di V^A . Utilizzando il compensatore diamo definizioni covarianti del vielbein ¹ e della connessione di Lorentz:

$$L^{-1}E^A = DV^A \equiv dV^A + A^{AB}V_B , \quad (3.16)$$

$$\omega^{AB} = A^{AB} + L^{-1}(E^A V^B - E^B V^A) . \quad (3.17)$$

Tenendo conto della (3.15), è facile vedere che queste definizioni implicano

$$E^A V_A = 0 , \quad (3.18)$$

$$\nabla V^A \equiv dV^A + \omega^{AB}V_B = 0 . \quad (3.19)$$

La 2-forma di curvatura di $so(3, 2)$, definita in (3.5), ammette la decomposizione covariante

$$\mathfrak{R}^{AB} = R^{AB} - L^{-1}(T^A V^B - T^B V^A) + 2L^{-2}(E^A \wedge E^B) , \quad (3.20)$$

dove abbiamo introdotto la 2-forma di torsione T^A , definita come

$$T^A \equiv DE^A = L \mathfrak{R}^{AB} V_B . \quad (3.21)$$

L'azione di Stelle-West per la gravità è quindi

$$S_{SW} = -\frac{1}{4\kappa^2 \Lambda} \int_{M_4} \varepsilon_{ABCDE} \mathfrak{R}^{AB} \wedge \mathfrak{R}^{CD} V^E . \quad (3.22)$$

Ricordando che

$$\delta \mathfrak{R}^{AB} = D\delta A^{AB} \quad , \quad V_A \delta V^A = 0 , \quad (3.23)$$

e utilizzando l'identità

$$\varepsilon_{ABCDE} = V^A V_F \varepsilon_{FBCDE} + \dots + V^E V_F \varepsilon_{ABCDF} , \quad (3.24)$$

¹Naturalmente, il vielbein E_μ^A deve essere una matrice non degenere per dar luogo ad un tensore metrico non degenere, secondo la $g_{\mu\nu} = E_\mu^A E_\nu^B \eta_{AB}$.

si può verificare che

$$\begin{aligned} \delta S_{SW} = & -\frac{1}{4\kappa^2\Lambda} \int_{M_4} \varepsilon_{ABCDE} \mathfrak{R}^{AB} \wedge \delta A^{CD} \wedge 2L^{-1} E^E \\ & - \frac{1}{4\kappa^2\Lambda} \int_{M_4} \varepsilon_{ABCDE} \mathfrak{R}^{AB} \wedge T^C L^{-1} 4V^D \delta V^E . \end{aligned} \quad (3.25)$$

Si noti che il contributo alla variazione dell'azione dovuto alla variazione del compensatore contiene la torsione.

Come già sottolineato in precedenza, la condizione

$$\mathfrak{R}^{AB} = 0 \quad (3.26)$$

descrive lo spazio-tempo AdS_4 . Consideriamo invece $\mathfrak{R}^{AB} \neq 0$ ma piccolo, ovvero poniamoci nell'ambito di un'espansione perturbativa attorno al background AdS . Tenendo conto della (3.21), possiamo allora concludere che, almeno perturbativamente, esiste una variazione dei campi del tipo

$$\delta A^{AB} = \eta^{AB}(\mathfrak{R}, \epsilon) , \quad \delta V^A = \epsilon^A , \quad (3.27)$$

con $\epsilon^A V_A = 0$ e dove $\eta^{AB}(\mathfrak{R}, \epsilon)$ è una funzione bilineare in \mathfrak{R}^{AB} ed ϵ^A , sotto cui l'azione è invariante. Questo significa che oltre alla manifesta simmetria locale $so(3, 2)$

$$\delta A^{AB} = D\epsilon^{AB} , \quad \delta V^A = \epsilon^{AB} V_B , \quad (3.28)$$

S_{SW} possiede un'ulteriore simmetria di gauge sotto le (3.27), che può essere utilizzata per fissare un valore di V^A che soddisfi la (3.15). Risulta inoltre evidente dalla sua trasformazione (3.27), proporzionale al parametro, che il compensatore è pura gauge, un campo di Stueckelberg, e non trasporta gradi di libertà fisici, come anticipato. Ovviamente, una volta fissato un valore per V^A , la simmetria residua della teoria si riduce alle combinazioni di trasformazioni di $so(3, 2)$ e del tipo (3.27) che non alterano tale scelta particolare, vale a dire alle trasformazioni caratterizzate da parametri tali che

$$0 = \delta V^A = \epsilon^A(x) + \epsilon^{AB}(x) V_B . \quad (3.29)$$

L'origine della ulteriore simmetria (3.27) dell'azione di Stelle e West può essere facilmente compresa tenendo conto del fatto che quest'ultima è esplicitamente invariante, oltre che

sotto trasformazioni di gauge di $so(3,2)$, anche sotto diffeomorfismi, essendo costruita in termini di forme differenziali. A livello infinitesimo, l'azione dei diffeomorfismi sulla 1-forma di connessione, indotta dalla trasformazione di coordinate $x^\mu \rightarrow x^\mu + \xi^\mu(x)$, è data da

$$\delta A_\mu^{AB} = -\xi^\nu \partial_\nu A_\mu^{AB} - (\partial_\mu \xi^\nu) A_\nu^{AB} = -\xi^\nu \mathfrak{R}_{\nu\mu}^{AB} - D_\mu \epsilon^{AB}, \quad (3.30)$$

mentre quella sulla 0-forma V^A è

$$\delta V^A = -\xi^\nu \partial_\nu V^A = -\xi^\nu L^{-1} E_\nu^A + \epsilon^{AB} V_B, \quad (3.31)$$

dove $\epsilon^{AB} = \xi^\nu A_\nu^{AB}$. Per confronto con la (3.27) è ora chiaro che la simmetria di gauge aggiuntiva, di parametro $\epsilon^A(x) = -\xi^\nu L^{-1} E_\nu^A(x)$, corrisponde ad una combinazione di diffeomorfismi e trasformazioni di $so(3,2)$ locali.

La scelta di gauge $V^a = 0$ rompe $so(3,2)$ alla sottoalgebra di stabilità $so(3,1)$, ed in questa gauge l'azione di Stelle e West diventa quella di MacDowell e Mansouri. C'è quindi una completa equivalenza tra le due formulazioni. La prima rende manifesta l'intera simmetria $so(3,2)$ per mezzo del compensatore, un campo puramente ausiliario; un'opportuna scelta di gauge per quest'ultimo consente poi di recuperare la seconda come fase spontaneamente rotta dell'azione S_{SW} .

Nella formulazione di Stelle e West della gravità compare inoltre una caratteristica che ritroveremo nella trattazione delle teorie di HS. Dalla (3.30) possiamo infatti osservare che, per la soluzione dell'equazione di curvatura nulla (3.26), i diffeomorfismi si riducono ad una trasformazione di gauge: in altri termini, l'equazione di curvatura nulla incorpora i diffeomorfismi nel gruppo di gauge. A posteriori, questo può esser visto come il motivo per cui (o, se si preferisce, costituisce la miglior prova del fatto che) tale formulazione geometrica della gravità porta la simmetria locale sotto riparametrizzazioni della gravità einsteiniana sullo stesso piano ² delle simmetrie locali interne, di tipo YM, attraverso il *gauging* dell'algebra di simmetria globale di un opportuno background gravitazionale, *AdS*.

²Nel senso inteso all'inizio di questo capitolo, cioè per quanto riguarda il tipo di algebra di simmetria coinvolta, semplice, e la costruzione della teoria attraverso la promozione dell'algebra stessa a simmetria locale.

Quanto detto sulla formulazione di Stelle e West può essere esteso a dimensione d arbitraria, per l'algebra $so(d-1, 2)$, con le necessarie modifiche all'azione, introducendo un numero opportuno di potenze di E^A .

Nel capitolo seguente esporremo la costruzione delle teorie di gauge di HS come generalizzazioni dell'approccio geometrico alla gravità, sottolineando le caratteristiche da esso ereditate.

Capitolo 4

Higher spins: teoria libera

4.1 Equazioni di Fronsdal nello spazio-tempo piatto

In questo capitolo iniziamo lo studio delle proprietà dei campi di gauge di spin arbitrario prendendo le mosse dalla teoria libera, la cui struttura costituisce un'importante generalizzazione di quella delle teorie di gauge di spin "basso" intero (la teoria di Maxwell dell'elettromagnetismo e la teoria di Einstein della gravità linearizzata) e semi-intero (la teoria libera del campo di gauge di spin $3/2$, dovuta a Rarita e Schwinger). Le equazioni di moto libere per campi di gauge di spin arbitrario rappresentati da tensori e spinor-tensori totalmente simmetrici furono ottenute per la prima volta da Fronsdal nel 1978, studiando il limite di massa nulla delle corrispondenti equazioni massive formulate da Fierz e Pauli nel 1939 e successivamente derivate da un principio di azione da Singh e Hagen nel 1974. In uno spazio-tempo a quattro dimensioni i tensori totalmente simmetrici esauriscono, a meno di dualità, tutte le rappresentazioni irriducibili di spin arbitrario del gruppo di Lorentz, e nel seguito ci ridurremo quindi a questo caso, sebbene la trattazione rimanga valida in generale, con la sola differenza che in $d > 4$ anche i tensori a simmetria mista giocano un ruolo e devono essere tenuti in considerazione.

Si può mostrare che l'equazione

$$(\square - m^2)\Phi^{(s)} = 0, \quad \partial \cdot \Phi^{(s)} = 0, \quad (4.1)$$

dove il campo reale $\Phi^{(s)} \equiv \Phi_{\mu_1 \dots \mu_s}$ (per semplicità di notazione gli indici saranno sottintesi dove ciò non crei confusione) è rappresentato da un tensore di rango s totalmente simmetrico e a traccia nulla,

$$\Phi^\nu{}_{\nu\mu_3 \dots \mu_s} = 0 , \quad (4.2)$$

descrive un campo bosonico libero di spin s e massa m , ovvero propaga esattamente il numero di gradi di libertà, $2s + 1$, corrispondenti alle polarizzazioni indipendenti di un campo massivo di spin s in quattro dimensioni. Infatti, un tensore totalmente simmetrico con s indici in d dimensioni ha $\binom{s+d-1}{d-1}$ componenti indipendenti, cui si devono sottrarre gli $\binom{s+d-3}{d-1}$ vincoli indipendenti (4.2), per giungere alla conclusione che, in $d = 4$, $(s + 1)^2$ è il numero di componenti indipendenti di un tensore ad s indici totalmente simmetrico e a traccia nulla. La condizione di divergenza nulla della (4.1) comprende altri s^2 vincoli indipendenti, sicché si rimane esattamente con $2s + 1$ componenti indipendenti per $\Phi^{(s)}$ (per una dimostrazione più precisa si veda, ad esempio, [6]).

L'eq. (4.1) è una diretta generalizzazione di quella di Proca del fotone massivo,

$$\square \Phi_\mu - \partial_\mu (\partial \cdot \Phi) - m^2 \Phi_\mu = 0 , \quad (4.3)$$

che si ottiene come condizione di stazionarietà della lagrangiana

$$\mathcal{L} = -\frac{1}{2}(\partial_\mu \Phi_\nu)^2 + \frac{1}{2}(\partial \cdot \Phi)^2 - \frac{m^2}{2}(\Phi_\mu)^2 . \quad (4.4)$$

Poiché $m^2 \neq 0$, prendere la divergenza della (4.3) implica, per consistenza, il vincolo $\partial \cdot \Phi = 0$, e come conseguenza l'equazione di Proca si riduce all'equazione di Klein-Gordon insieme al vincolo di divergenza nulla per il campo del fotone, ovvero equivale alle (4.1) per $s = 1$. Una generalizzazione “ingenua” dell'equazione di Proca al caso di spin 2,

$$\square \Phi_{\mu\nu} - \partial_\mu (\partial \cdot \Phi_\nu) - m^2 \Phi_{\mu\nu} = 0 , \quad (4.5)$$

sebbene conduca alle (4.1), non corrisponde ad un'equazione lagrangiana, dal momento che il secondo termine non ha la stessa simmetria del campo (come dovrebbe, poiché in generale le equazioni di Eulero-Lagrange si ottengono come derivata funzionale dell'azione rispetto al campo stesso, $\frac{\delta S}{\delta \Phi^{(s)}}$). La corretta equazione del moto per spin 2 è

$$\square \Phi_{\mu\nu} - \alpha \left[\frac{1}{2} \partial_\mu (\partial \cdot \Phi_\nu) + \frac{1}{2} \partial_\nu (\partial \cdot \Phi_\mu) - \frac{1}{4} \eta_{\mu\nu} (\partial \cdot \partial \cdot \Phi) \right] - m^2 \Phi_{\mu\nu} = 0 , \quad (4.6)$$

il cui secondo termine è simmetrico e a traccia nulla, ottenibile dalla lagrangiana

$$\mathcal{L} = -\frac{1}{2}(\partial_\mu \Phi_{\nu\rho})^2 + \frac{\alpha}{2}(\partial \cdot \Phi)_\mu^2 - \frac{m^2}{2}(\Phi_{\mu\nu})^2. \quad (4.7)$$

Prendendo la divergenza della (4.6) si ottengono le (4.1) per $s = 2$ soltanto se $\alpha = 2$ e $\partial \cdot \partial \cdot \Phi = 0$, un vincolo che non può essere ottenuto dall'eq. (4.6) stessa.

L'osservazione cruciale è dunque che una formulazione lagrangiana richiede in generale la presenza di ulteriori campi, detti *ausiliari*, le cui equazioni, combinate con quelle dei campi fisici, forniscano i vincoli necessari per arrivare alle (4.1) ed annullino i campi ausiliari stessi. Illustriamo questo procedimento nel semplice caso di spin 2. Dal momento che il vincolo che si vuole ottenere, $\partial \cdot \partial \cdot \Phi = 0$, è scalare, è naturale introdurre in questo caso un campo scalare Φ , il cui accoppiamento col campo di spin 2 è del tipo $\Phi_{\mu\nu} \partial^\mu \partial^\nu \Phi$. In particolare, si considera la lagrangiana

$$\begin{aligned} \mathcal{L}^{\text{tot}} &= \mathcal{L} + \mathcal{L}^{\text{aux}} = -\frac{1}{2}(\partial_\mu \Phi_{\nu\rho})^2 + (\partial \cdot \Phi)_\mu^2 - \frac{m^2}{2}(\Phi_{\mu\nu})^2 \\ &\quad + \frac{2}{3} \left[\frac{1}{2}(\partial_\mu \Phi)^2 + m^2 \Phi^2 + \Phi_{\mu\nu} \partial^\mu \partial^\nu \Phi \right], \end{aligned} \quad (4.8)$$

da cui discendono le equazioni del moto per i campi $\Phi_{\mu\nu}$ e Φ , rispettivamente,

$$(\square - m^2)\Phi_{\mu\nu} - 2\{\partial_\mu(\cdot\Phi)_\nu\}_{S.T.} + \frac{2}{3}\{\partial_\mu\partial_\nu\Phi\}_{S.T.} = 0, \quad (4.9)$$

$$(\square - 2m^2)\Phi - \partial \cdot \partial \cdot \Phi = 0, \quad (4.10)$$

dove seguiamo la notazione di Singh e Hagen indicando con $\{A_{\mu_1\dots\mu_s}\}_{S.T.}$ la parte simmetrica e a traccia nulla di $A_{\mu_1\dots\mu_s}$. Contraendo la prima equazione con $\partial^\mu \partial^\nu$ si ottiene l'equazione scalare

$$\left(-\frac{1}{2}\square - m^2\right)(\partial \cdot \partial \cdot \Phi) + \frac{1}{2}\square^2\Phi = 0, \quad (4.11)$$

che, insieme alla (4.10), costituisce un sistema di due equazioni lineari nelle incognite Φ e $\partial \cdot \partial \cdot \Phi$, a determinante algebrico e non nullo,

$$\det \begin{pmatrix} (\square - 2m^2) & -1 \\ \frac{1}{2}\square^2 & (-\frac{1}{2}\square - m^2) \end{pmatrix} = 2m^4 \neq 0, \quad (4.12)$$

in conseguenza della scelta dei coefficienti numerici dei termini di \mathcal{L}^{aux} . L'unica soluzione del sistema è quindi $\Phi = 0$ e $\partial \cdot \partial \cdot \Phi = 0$, come richiesto, e le equazioni lagrangiane (4.9) e (4.10) si riducono alla (4.6).

Questa costruzione procede analogamente per spin arbitrario. Nel caso bosonico [4], le equazioni del moto (4.1) sono ottenute tramite l'introduzione, accanto al campo $\Phi^{(s)}$ di spin s simmetrico e a traccia nulla, dei campi ausiliari $\Phi^{(s-\lambda)}$, $\lambda = 2, 3, \dots, s$, rappresentati da tensori di rango $s - \lambda$ simmetrici e a traccia nulla: le loro equazioni, combinate con divergenze di ordine opportuno di quella per $\Phi^{(s)}$, danno luogo ai vincoli

$$\Phi_{\mu_{\lambda+1} \dots \mu_s}^{(s-\lambda)} \equiv \partial^{\mu_1} \dots \partial^{\mu_\lambda} \Phi_{\mu_1 \dots \mu_s}^{(s)}, \quad (4.13)$$

oltre ad annullare i campi ausiliari stessi. La lagrangiana che descrive questo sistema di campi è

$$\begin{aligned} \mathcal{L}^{\text{tot}} = & -\frac{1}{2}(\partial_\mu \Phi^{(s)})^2 + \frac{s}{2}(\partial \cdot \Phi^{(s)})^2 - \frac{m^2}{2}(\Phi^{(s)})^2 \\ & + c(s) \left\{ \Phi^{(s-2)}(\partial \cdot \partial \cdot \Phi^{(s)}) + \frac{1}{2}(\partial_\mu \Phi^{(s-2)})^2 + a_2(s) \frac{m^2}{2}(\Phi^{(s-2)})^2 \right. \\ & + \frac{1}{2}b_2(s)(\partial \cdot \Phi^{(s-2)})^2 - \sum_{q=3}^s \left(\prod_{k=2}^{q-1} c_k \right) \left[-\frac{1}{2}(\partial_\mu \Phi^{(s-q)})^2 - \frac{1}{2}a_q(s)m^2(\Phi^{(s-q)})^2 \right. \\ & \left. \left. - \frac{1}{2}b_q(s)(\partial \cdot \Phi^{(s-q)})^2 - m\Phi^{(s-q)}(\partial \cdot \Phi^{(s-q+1)}) \right] \right\}, \quad (4.14) \end{aligned}$$

dove i coefficienti $c(s)$, $a_q(s)$, $b_q(s)$, $c_q(s)$ dipendono dallo spin, e vengono determinati in modo unico imponendo la realizzazione dei vincoli (4.13), come nei casi di spin "basso" (per la loro forma si veda [4]).

Analogamente procede l'analisi delle equazioni dei campi di gauge di spin semi-intero arbitrario [5]. L'equazione che propaga le $2s + 1$ polarizzazioni indipendenti di un campo reale massivo di spin $s = n + \frac{1}{2}$ è

$$(i\partial\!\!\!/ - m)\Psi^{(n)} = 0, \quad \partial \cdot \Psi^{(n)} = 0, \quad (4.15)$$

dove $\partial\!\!\!/ \equiv \gamma \cdot \partial$, e $\Psi^{(n)} \equiv \Psi_{\mu_1 \dots \mu_n}$ (l'indice spinoriale è implicito) è uno spinor-tensore di rango n totalmente simmetrico negli indici vettoriali e che soddisfa la condizione di γ -traccia nulla

$$\gamma \cdot \Psi_{\mu_2 \dots \mu_n}^{(n)} = 0. \quad (4.16)$$

La lagrangiana da cui derivano le equazioni (4.15) è formulata in termini di $\Psi^{(n)}$, di un campo ausiliario $\Psi^{(n-1)}$, anch'esso uno spinor-tensore totalmente simmetrico negli $n - 1$ indici vettoriali e a γ -traccia nulla, e due insiemi di campi ausiliari $\Psi^{(n-\lambda)}$ e $\chi^{(n-\lambda)}$, con $\lambda = 2, 3, \dots, n$, tutti spinor-tensori totalmente simmetrici e a γ -traccia nulla. Non riportiamo i dettagli della costruzione, simile ma più complicata di quella del caso bosonico, rimandando a [5] e [6] per maggiori dettagli.

Fronsdal studiò il limite di massa nulla delle equazioni dei campi di spin arbitrario. Facendo riferimento ai casi semplici di spin 1 e spin 2, è evidente che per $m = 0$ le equazioni

$$\square\Phi_\mu - \partial_\mu(\partial \cdot \Phi) = 0 , \quad (4.17)$$

ovvero le equazioni di Maxwell, ammettono la simmetria di gauge

$$\delta\Phi_\mu = \partial_\mu\epsilon , \quad (4.18)$$

e analogamente, nel limite di massa nulla, le (4.9) e (4.10),

$$\begin{aligned} \square\Phi_{\mu\nu} - \partial_\mu(\partial \cdot \Phi)_\nu - \partial_\nu(\partial \cdot \Phi)_\mu + \frac{1}{2}\eta_{\mu\nu}(\partial \cdot \partial \cdot \Phi) \\ + \frac{2}{3}(\partial_\mu\partial_\nu - \frac{1}{4}\eta_{\mu\nu}\square)\Phi = 0 , \end{aligned} \quad (4.19)$$

$$\square\Phi - \partial \cdot \partial \cdot \Phi = 0 , \quad (4.20)$$

acquistano l'invarianza sotto le trasformazioni di gauge

$$\delta\Phi_{\mu\nu} = \partial_\mu\epsilon_\nu + \partial_\nu\epsilon_\mu - \frac{1}{2}\eta_{\mu\nu}(\partial \cdot \epsilon) , \quad (4.21)$$

$$\delta\Phi = \frac{3}{2}\partial \cdot \epsilon . \quad (4.22)$$

Si noti che nel caso di spin 2 è possibile ottenere una semplificazione lavorando con un solo tensore simmetrico, definito come la combinazione

$$h_{\mu\nu} = \Phi_{\mu\nu} + \alpha\eta_{\mu\nu}\Phi , \quad (4.23)$$

dove il coefficiente α viene determinato dalla richiesta che la variazione di gauge di $h_{\mu\nu}$ sia

$$\delta\Phi_{\mu\nu} = \partial_\mu\epsilon_\nu + \partial_\nu\epsilon_\mu , \quad (4.24)$$

sicch  $\alpha = \frac{1}{3}$ e

$$\Phi_{\mu\nu} = h_{\mu\nu} - \frac{1}{4}\eta_{\mu\nu}h' , \quad (4.25)$$

$$\Phi = \frac{3}{4}h' , \quad (4.26)$$

dove $h' \equiv h'_\mu$. Si noti inoltre che il campo $h_{\mu\nu}$   simmetrico, ma non ha traccia nulla. Scrivendo le due equazioni (4.19) e (4.20) in termini di $h_{\mu\nu}$ e combinandole si ottiene una nuova equazione, con lo stesso contenuto fisico ma pi  semplice,

$$\square h_{\mu\nu} - \partial_\mu(\partial \cdot h)_\nu - \partial_\nu(\partial \cdot h)_\mu + \partial_\mu\partial_\nu h' = 0 , \quad (4.27)$$

che coincide con la linearizzazione delle equazioni di Einstein nel vuoto $R_{\mu\nu} = 0$.

Questo schema si generalizza a spin arbitrario. In particolare, facendo riferimento alla lagrangiana bosonica di Singh e Hagen (4.14), si pu  notare che nel limite di massa nulla i campi $\Phi^{(s)}$ e $\Phi^{(s-2)}$ si disaccoppiano da tutti gli altri campi ausiliari, e si ottiene la lagrangiana

$$\begin{aligned} \mathcal{L}^{\text{tot}} = & -\frac{1}{2}(\partial_\mu\Phi^{(s)})^2 + \frac{s}{2}(\partial \cdot \Phi^{(s)})^2 \\ & + \frac{s(s-1)^2}{2s-1} \left\{ \Phi^{(s-2)}(\partial \cdot \partial \cdot \Phi^{(s)}) + \frac{1}{2}(\partial_\mu\Phi^{(s-2)})^2 \right. \\ & \left. \frac{1}{2} \frac{(s-2)^2}{2s-1} (\partial \cdot \Phi^{(s-2)})^2 \right\} , \end{aligned} \quad (4.28)$$

le cui equazioni del moto, opportunamente combinate, conducono all'equazione di Fronsdal per un campo di gauge di spin s intero

$$\mathcal{F}^{(s)} \equiv \square\varphi^{(s)} - \sum_{i=1}^s \partial_{\mu_i}(\partial \cdot \varphi^{(s)}) + \sum_{i<j}^s \partial_{\mu_i}\partial_{\mu_j}\varphi^{(s)'} = 0 , \quad (4.29)$$

dove

$$\varphi^{(s)} = \Phi^{(s)} + \frac{1}{2s-1} \sum_{i<j}^s \eta_{\mu_i\mu_j}\varphi^{(s)'} \quad (4.30)$$

e

$$\varphi^{(s)'} = \varphi^{(s)\mu}_{\mu\mu_3\dots\mu_s} . \quad (4.31)$$

Il fattore $\frac{1}{2s-1}$ viene fissato in modo tale che la trasformazione di gauge sotto cui (4.29) è invariante sia

$$\delta\varphi^{(s)} = \sum_{i=1}^s \partial_{\mu_i} \epsilon^{(s-1)} , \quad (4.32)$$

dove il parametro di gauge $\epsilon^{(s-1)}$ è un tensore totalmente simmetrico di rango $s-1$ e a traccia nulla,

$$\epsilon^{(s-1)\mu}_{\mu\mu_3\dots\mu_s} = 0 . \quad (4.33)$$

Questa proprietà del parametro di gauge è essenziale, poiché, sotto la variazione (4.32),

$$\delta\mathcal{F}_{\mu_1\dots\mu_s}^{(s)} = \frac{s(s-1)(s-2)}{2} \partial_{(\mu_1} \partial_{\mu_2} \partial_{\mu_3} \epsilon_{\mu_4\dots\mu_s)}^{(s-1)'} , \quad (4.34)$$

dove gli indici inclusi nelle parentesi tonde si intendono totalmente simmetrizzati con normalizzazione all'unità, sicché per spin $s \geq 3$ l'equazione di Fronsdal ammette la simmetria di gauge (4.32) soltanto se il parametro ha traccia nulla. La (4.30) implica che

$$\Phi^{(s)} = \varphi^{(s)} - \frac{1}{2s} \sum_{i<j}^s \eta_{\mu_i\mu_j} \varphi^{(s)'} , \quad (4.35)$$

$$\Phi^{(s-2)} = \frac{2s-1}{2s} \varphi^{(s)'} . \quad (4.36)$$

Inoltre, poiché $\Phi^{(s-2)}$ è a traccia nulla, il tensore totalmente simmetrico $\varphi^{(s)}$ non è a traccia nulla, ma a *doppia traccia* nulla,

$$\varphi^{(s)''} = \varphi^{(s)\mu}_{\mu}{}^{\nu}_{\nu\mu_5\dots\mu_s} = 0 , \quad (4.37)$$

condizione preservata dalla trasformazione di gauge (4.32), in conseguenza della (4.33).

L'equazione di Fronsdal (4.29) propaga il corretto numero di polarizzazioni indipendenti associate ad un campo di spin s e massa nulla. Introduciamo infatti la condizione di gauge di de Donder generalizzata

$$\mathcal{D}_{\mu_2\dots\mu_s} = \partial \cdot \varphi_{\mu_2\dots\mu_s}^{(s)} - \frac{s-1}{2} \partial_{(\mu_2} \varphi_{\mu_3\dots\mu_s)}^{(s)'} = 0 , \quad (4.38)$$

che riduce la (4.29) all'equazione delle onde ordinaria

$$\square\varphi^{(s)} = 0 . \quad (4.39)$$

La variazione della condizione (4.38),

$$\delta(\partial \cdot \varphi_{\mu_2 \dots \mu_s}^{(s)} - \frac{s-1}{2} \partial_{(\mu_2} \varphi_{\mu_3 \dots \mu_s)}^{(s)'}) = \square \epsilon_{\mu_2 \dots \mu_s}^{(s-1)} , \quad (4.40)$$

è tale da consentire ulteriori trasformazioni locali che non alterano il gauge di de Donder scelto, purché il parametro soddisfi l'equazione delle onde

$$\square \epsilon_{\mu_2 \dots \mu_s}^{(s-1)} = 0 . \quad (4.41)$$

Le componenti indipendenti di un tensore di rango s totalmente simmetrico e a doppia traccia nulla, in d dimensioni, sono $\binom{s+d-1}{d-1} - \binom{s+d-5}{d-1}$. Si noti ora che la condizione (4.38) ha traccia nulla, in virtù della (4.37),

$$\mathcal{D}'_{\mu_4 \dots \mu_s} = -\frac{s-3}{2} \partial_{(\mu_4} \varphi_{\mu_5 \dots \mu_s)}^{(s)''} = 0 , \quad (4.42)$$

e pertanto contiene un numero di vincoli indipendenti pari ai gradi di libertà del parametro di gauge $\epsilon_{\mu_2 \dots \mu_s}^{(s-1)}$, ovvero $\binom{s+d-2}{d-1} - \binom{s+d-4}{d-1}$. Le componenti del campo di gauge non ancora fissate soddisfano l'equazione delle onde, e ciò consente di utilizzare gli $\binom{s+d-2}{d-1} - \binom{s+d-4}{d-1}$ parametri indipendenti che determinano la residua libertà di gauge (4.40) per annullare altrettante componenti di $\varphi^{(s)}$ [6]. In conclusione, si trova che i gradi di libertà fisici di un campo di spin s e massa nulla in d dimensioni sono pari a $2\binom{s+d-5}{d-4} - \binom{s+d-5}{d-5}$. In quattro dimensioni, ad esempio, un tensore totalmente simmetrico a traccia nulla ha $2(s^2+1)$ componenti indipendenti, $2s^2$ delle quali vengono fissate utilizzando la condizione di gauge di de Donder e la residua libertà di gauge, ottenendo infine $2s^2 + 2 - 2s^2 = 2$ gradi di libertà, corrispondenti alle elicità $\pm s$.

In termini del campo di Fronsdal $\varphi^{(s)}$ la lagrangiana (4.28) si scrive

$$\begin{aligned} \mathcal{L}^{\text{tot}} = & -\frac{1}{2}(\partial_\mu \varphi^{(s)})^2 + \frac{s}{2}(\partial \cdot \varphi^{(s)})^2 + \frac{s(s-1)}{4}(\partial_\mu \varphi^{(s)'})^2 \\ & + \frac{s(s-1)(s-2)}{8}(\partial \cdot \varphi^{(s)'})^2 + \frac{s(s-1)}{2}\varphi^{(s)'}(\partial \cdot \partial \cdot \varphi^{(s)}) , \end{aligned} \quad (4.43)$$

ed è interessante notare che la (4.29) non è la condizione di stazionarietà di questa lagrangiana, ma una opportuna combinazione della corrispondente equazione di Eulero-Lagrange e della sua traccia. Ciò accade già per spin 2, poiché l'equazione che si ricava

dalla variazione della lagrangiana di Einstein-Hilbert linearizzata non è $R_{\mu\nu}^{(lin)} = 0$, ma

$$G_{\mu\nu}^{(lin)} = 0 , \quad (4.44)$$

dove

$$G_{\mu\nu} = R_{\mu\nu}^{(lin)} - \frac{1}{2}\eta_{\mu\nu}R^{(lin)} \quad (4.45)$$

è il tensore di Einstein linearizzato. Analogamente si può introdurre un tensore di Einstein generalizzato per spin arbitrario,

$$\mathcal{G}_{\mu_1\dots\mu_s} = \mathcal{F}_{\mu_1\dots\mu_s} - \frac{s(s-1)}{2}\eta_{(\mu_1\mu_2}\mathcal{F}'_{\mu_3\dots\mu_s)} \quad (4.46)$$

(omettendo l'indice (s)), in termini del quale la variazione di gauge della lagrangiana (4.43) si scrive

$$\delta\mathcal{L}^{\text{tot}} = \delta\varphi^{\mu_1\dots\mu_s}\mathcal{G}_{\mu_1\dots\mu_s} . \quad (4.47)$$

È molto conveniente lavorare, d'ora in poi, con una notazione introdotta in [12, 13], nella quale tutti gli indici impliciti sono da intendersi totalmente simmetrizzati. Valgono le proprietà

$$(\partial^p \varphi)' = \square \partial^{p-2} \varphi + 2\partial^{p-1} \partial \cdot \varphi + \partial^p \varphi' \quad (4.48)$$

$$\partial^p \partial^q = \binom{p+q}{p} \partial^{p+q} \quad (4.49)$$

$$\partial \cdot (\partial^p \varphi) = \square \partial^{p-1} \varphi + \partial^p \partial \cdot \varphi \quad (4.50)$$

$$\partial \cdot \eta^k = \partial \eta^{k-1} \quad (4.51)$$

$$\left(\eta^k T_{(s)}\right)' = k [d + 2(s + k - 1)] \eta^{k-1} T_{(s)} + \eta^k T'_{(s)} , \quad (4.52)$$

dove indichiamo, al solito, con $T_{(s)}$ un generico tensore totalmente simmetrico di rango s .

Per guadagnare familiarità con questa notazione riscriviamo alcuni dei risultati ottenuti.

L'equazione di Fronsdal per spin s intero (4.29) diventa

$$\mathcal{F} \equiv \square\varphi - \partial\partial \cdot \varphi + \partial^2 \varphi' = 0 , \quad (4.53)$$

mentre la trasformazione di gauge del campo φ (4.32) si riscrive

$$\delta\varphi = \partial \epsilon . \quad (4.54)$$

Se $s = 1, 2$, l'operatore di Fronsdal \mathcal{F} è invariante, ma in generale

$$\delta \mathcal{F} = 3 \partial^3 \epsilon' , \quad (4.55)$$

che coincide con la (4.34).

La proprietà cruciale che, per spin 2, distingue il tensore di Einstein da quello di Ricci è che il primo ha divergenza nulla, e questo assicura l'invarianza della lagrangiana di Einstein-Hilbert sotto trasformazioni di gauge, a meno di derivate totali. Tuttavia, il suo analogo di spin s

$$\mathcal{G} = \mathcal{F} - \frac{1}{2} \eta \mathcal{F} \quad (4.56)$$

soddisfa invece un'identità di Bianchi "anomala",

$$\partial \cdot \mathcal{G} = -\frac{3}{2} \partial^3 \varphi'' - \frac{1}{2} \eta \partial \cdot \mathcal{F} , \quad (4.57)$$

che fa sì che la variazione della lagrangiana (4.43), a meno di derivate totali, sia data da

$$\delta \mathcal{L}^{\text{tot}} \sim \epsilon \left[-\frac{3}{2} \partial^3 \varphi'' - \frac{1}{2} \eta \partial \cdot \mathcal{F} \right] , \quad (4.58)$$

il cui ultimo termine genera la traccia del parametro di gauge. Si scopre così che mentre l'invarianza di gauge dell'equazione (non lagrangiana) di Fronsdal richiede che il parametro sia a traccia nulla, la simmetria del corrispondente principio d'azione richiede, in più, il vincolo di doppia traccia nulla sui campi di gauge.

Simili considerazioni possono essere applicate anche al caso fermionico. Nella corrispondente lagrangiana di Singh e Hagen, i campi $\Psi^{(n)}$, $\Psi^{(n-1)}$ e $\Psi^{(n-2)}$ si disaccoppiano da tutti gli altri campi ausiliari nel limite di massa nulla, e le relative equazioni acquistano un'invarianza di gauge sotto opportune trasformazioni con parametro locale a γ -traccia nulla,

$$\gamma \cdot \epsilon^{(n-1)} = 0 . \quad (4.59)$$

La combinazione lineare

$$\psi^{(n)} = \Psi^{(n)} + \alpha \sum_{i=1}^n \gamma_{\mu_i} \Psi^{(n-1)} + \beta \sum_{i<j}^n \eta_{\mu_i \mu_j} \Psi^{(n-2)} , \quad (4.60)$$

con coefficienti scelti in modo tale che la sua variazione di gauge sia

$$\delta\psi^{(n)} = \sum_{i=1}^n \partial_{\mu_i} \epsilon^{(n-1)} , \quad (4.61)$$

soddisfa il vincolo

$$(\gamma \cdot \psi)' = 0 , \quad (4.62)$$

in virtù del vincolo di γ -traccia nulla imposto su $\Psi^{(n-2)}$. L'equazione di Fang-Fronsdal per spin semi-intero arbitrario, scritta nella notazione di [12, 13], è

$$\mathcal{S} \equiv i[\not{\partial}\psi - \partial\psi] = 0 , \quad (4.63)$$

dove $\not{\psi} = \gamma \cdot \psi$, ed ammette l'invarianza di gauge sotto la (4.61), ovvero

$$\delta\psi = \partial\epsilon , \quad (4.64)$$

soltanto se il parametro di gauge soddisfa il vincolo (4.59), poiché

$$\delta\mathcal{S} = i\partial\epsilon . \quad (4.65)$$

Si noti che la (4.63) è una generalizzazione a spin semi-intero arbitrario dell'equazione di Rarita-Schwinger per un campo a massa nulla di spin 3/2,

$$\gamma^{\mu\nu\rho} \partial_\nu \psi_\rho = 0 , \quad (4.66)$$

che infatti, prendendone la γ -traccia ed usando la relazione

$$\gamma^{\mu\nu\rho} = \gamma^\mu \gamma^{\nu\rho} - \eta^{\mu\nu} \gamma^\rho + \eta^{\mu\rho} \gamma^\nu , \quad (4.67)$$

conduce alla condizione

$$\gamma^{\mu\nu} \partial_\nu \psi_\rho = 0 , \quad (4.68)$$

dove $\gamma^{\mu\nu}$ è antisimmetrica in μ e ν , ed equivale al prodotto $\gamma^\mu \gamma^\nu$ quando $\mu \neq \nu$. Sostituendo infine quest'ultima nella (4.66), tenendo conto della (4.67), si ottiene

$$\not{\partial}\psi_\mu - \partial_\mu \psi = 0 . \quad (4.69)$$

La (4.59) ed il vincolo sul campo (4.62) giocano lo stesso ruolo dei vincoli (4.33) e (4.37) del caso bosonico: in particolare, la (4.63) non è l'equazione di Eulero-Lagrange per la corrispondente lagrangiana di Fang-Fronsdal, ma una combinazione opportuna di tale equazione con la sua traccia e la sua γ -traccia, e si può definire un analogo fermionico del tensore di Einstein generalizzato,

$$\mathcal{T} \equiv \mathcal{S} - \frac{1}{2}(\eta \mathcal{S} + \gamma \mathcal{S}) , \quad (4.70)$$

in termini del quale la variazione di gauge della lagrangiana risulta

$$\delta \mathcal{L} = \delta \bar{\psi} \mathcal{T} . \quad (4.71)$$

Tuttavia, la divergenza di quest'ultimo tensore è nulla solo per spin semi-intero $s < 7/2$, poiché vale

$$\partial \cdot \mathcal{S} - \frac{1}{2} \partial \mathcal{S} - \frac{1}{2} \not{\partial} \mathcal{S} = i \partial^2 \not{\psi}' , \quad (4.72)$$

sicché il vincolo (4.62) è necessario per assicurare l'invarianza di gauge della lagrangiana di Fang-Fronsdal fermionica.

Un'altra osservazione importante fatta in [12, 13] è che la semplice relazione tra gli operatori di Klein-Gordon e di Dirac si generalizza a spin arbitrario in quella che lega l'operatore di Fronsdal bosonico \mathcal{F}_s di spin s e quello fermionico $\mathcal{S}_{s+1/2}$ di spin $s + 1/2$:

$$\mathcal{S}_{s+1/2} - \frac{1}{2} \frac{\partial}{\square} \not{\partial} \mathcal{S}_{s+1/2} = i \frac{\not{\partial}}{\square} \mathcal{F}_s(\psi) . \quad (4.73)$$

4.2 Geometria delle equazioni libere di HS

L'analogia tra le teorie di gauge di spin elevato e di spin "basso" può essere resa ancor più evidente attraverso l'introduzione di alcuni tensori dalle semplici proprietà di trasformazione sotto le (4.54), che generalizzano i simboli di Christoffel della gravità. Seguendo [11] possiamo anzitutto definire il simbolo di Christoffel di primo ordine per spin s come la quantità

$$\Gamma_{\alpha; \beta_1 \dots \beta_s}^{(1)} = \frac{1}{2} \left(\partial_\alpha \varphi_{\beta_1 \dots \beta_s} - s \partial_{(\beta_1} \varphi_{\alpha | \beta_2 \dots \beta_s)} \right) , \quad (4.74)$$

la cui variazione sotto una trasformazione di gauge del campo φ è data da

$$\delta\Gamma_{\alpha;\beta_1\dots\beta_s}^{(1)} = -\frac{s(s-1)}{2} \partial_{(\beta_1} \partial_{\beta_2} \epsilon_{\alpha|\beta_3\dots\beta_s)} . \quad (4.75)$$

Si noti che per spin 2 tale definizione coincide con quella degli ordinari simboli di Christoffel linearizzati, mentre è possibile generare ricorsivamente un'intera gerarchia di simboli di Christoffel generalizzati di rango più alto, come

$$\Gamma_{\alpha_1\dots\alpha_m;\beta_1\dots\beta_s}^{(m)} = \frac{1}{m+1} \left(m \partial_{\alpha_1} \Gamma_{\alpha_2\dots\alpha_m;\beta_1\dots\beta_s}^{(m-1)} - s \partial_{(\beta_1} \Gamma_{\alpha_2\dots\alpha_m;\alpha_1|\beta_2\dots\beta_s)}^{(m-1)} \right) , \quad (4.76)$$

simmetrico sia negli indici β_i (manifestamente) che negli α_i , come si può vedere, ad esempio, sostituendo iterativamente nella (4.76) sino ad ottenerne l'espressione in termini del campo di gauge,

$$\Gamma^{(m)} = \frac{1}{m+1} \sum_{k=0}^m \frac{(-1)^k}{\binom{m}{k}} \partial^{m-k} \nabla^k \varphi , \quad (4.77)$$

che riportiamo, per brevità, nella notazione con indici simmetrici impliciti e dove, seguendo [12, 13], indichiamo con ∂ le derivate che portano gli indici α_i (introdotti dalle derivate nel primo passo (4.74)) e con ∇ quelle che portano gli indici β_i (che provengono dal campo di gauge). La trasformazione di gauge di $\Gamma^{(m)}$ è

$$\delta\Gamma^{(m)} = (-)^m \nabla^{m+1} \epsilon , \quad (4.78)$$

dove il parametro porta tutti gli m indici α_i , insieme ad ulteriori $s - (m+1)$ indici β_i . Il secondo membro contiene tutte le simmetrizzazioni di questi ultimi indici con i restanti $m+1$ indici β_i delle derivate ∇^{m+1} , ed è pertanto chiaro che si riduce ad un solo termine per $m = s - 1$,

$$\delta\Gamma_{\alpha_1\dots\alpha_{s-1};\beta_1\dots\beta_s}^{(s-1)} = \partial_{\beta_1} \dots \partial_{\beta_s} \epsilon_{\alpha_1\dots\alpha_{s-1}} , \quad (4.79)$$

caratterizzando in tal modo $\Gamma^{(s-1)}$ come l'analogo della connessione di Christoffel per un campo di gauge di spin s arbitrario. Non solo, ma la (4.78) mostra anche che tutte le $\Gamma^{(m)}$ della gerarchia con $m \geq s$ sono invarianti di gauge, e che $\Gamma_{\alpha_1\dots\alpha_s;\beta_1\dots\beta_s}^{(s)} \equiv \mathcal{R}_{\alpha_1\dots\alpha_s;\beta_1\dots\beta_s}$,

$$\Gamma^{(s)} = \frac{1}{s+1} \sum_{k=0}^s \frac{(-1)^k}{\binom{s}{k}} \partial^{s-k} \nabla^k \varphi , \quad (4.80)$$

definisce una generalizzazione a spin arbitrario del tensore di curvatura di Riemann. Tale curvatura di spin s eredita la proprietà dei $\Gamma^{(m)}$ di simmetria sotto lo scambio di qualsiasi coppia di indici di tipo α o di tipo β , separatamente, mentre sotto lo scambio dei due insiemi di indici vale

$$\mathcal{R}_{\alpha_1 \dots \alpha_s; \beta_1 \dots \beta_s} = (-1)^s \mathcal{R}_{\beta_1 \dots \beta_s; \alpha_1 \dots \alpha_s} . \quad (4.81)$$

Si può inoltre verificare l'identità ciclica

$$\mathcal{R}_{\alpha_1 \dots \alpha_s; \beta_1 \dots \beta_s} + s \mathcal{R}_{(\beta_1 | \alpha_2 \dots \alpha_s; \alpha_1 | \beta_2 \dots \beta_s)} = 0 . \quad (4.82)$$

Questa gerarchia di connessioni generalizzate suggerisce la “geometria” che governa le teorie di gauge di spin arbitrario, un'estensione dei casi familiari di spin “basso”. Per spin 1, la $\Gamma^{(1)}$, al primo ordine della gerarchia, è già la curvatura gauge-invariante,

$$\mathcal{R}_{\alpha; \beta} = \partial_\alpha \varphi_\beta - \partial_\beta \varphi_\alpha , \quad (4.83)$$

che coincide con la usuale *field-strength* di Maxwell. Questo è il solo caso in cui si riesce a costruire un oggetto gauge-invariante di primo ordine nelle derivate, e già per spin 2, come è ben noto, il tensore di Riemann contiene due derivate del campo di gauge. In particolare, la curvatura $\mathcal{R}_{\alpha_1 \alpha_2; \beta_1 \beta_2}$ è uguale ad una combinazione simmetrica di due tensori di Riemann ordinari (antisimmetrici sotto lo scambio degli indici entro ciascun insieme, e simmetrici sotto lo scambio dei due insiemi di indici) linearizzati,

$$\mathcal{R}_{\alpha_1 \alpha_2; \beta_1 \beta_2} = \frac{1}{2} (R_{\alpha_1 \beta_1; \alpha_2 \beta_2}^{(lin)} + R_{\alpha_1 \beta_2; \alpha_2 \beta_1}^{(lin)}) . \quad (4.84)$$

Analogamente, per spin s l'oggetto gauge-invariante ha s derivate del campo, ed in tal senso il numero di ordini della gerarchia che precedono la curvatura di spin s misura la “distanza” che c'è tra quest'ultima ed il campo fondamentale. Il fatto che già il primo caso non banale, quello della gravità, presenti (qualora si includano interazioni) una struttura altamente non lineare, lascia pensare che interazioni tra campi di HS diano luogo ad una teoria estremamente ricca e complicata, come vedremo nei capitoli seguenti.

Poiché le equazioni di campo devono essere gauge-invarianti, esse conterranno, in generale, combinazioni della curvatura di spin s . Tuttavia, richiedendo che il parametro di

gauge abbia traccia nulla (specializzando al caso bosonico) è possibile ottenere invarianti di ordine più basso, come

$$W_{\alpha_1 \dots \alpha_s; \beta_1 \dots \beta_s}^{(m)} \equiv \Gamma_{\sigma \alpha_1 \dots \alpha_m; \beta_1 \dots \beta_s}^{(m+2)\sigma} , \quad (4.85)$$

che contiene, per $m = 0$, ovvero al secondo livello della gerarchia dei Γ , l'equazione di Fronsdal,

$$W = \Gamma^{(2)'} = \square \varphi - \partial \partial \cdot \varphi + \partial^2 \varphi' = 0 , \quad (4.86)$$

che, come abbiamo sottolineato nella sezione precedente, è infatti gauge-invariante soltanto se il parametro è a traccia nulla.

Nulla ci impedisce però, in linea di principio, di mirare ad ottenere equazioni gauge-invarianti senza porre alcun vincolo sui parametri, al prezzo di introdurre derivate di ordine superiore al secondo dei campi fondamentali, come suggerisce la gerarchia di connessioni generalizzate. Vedremo nella sezione seguente come ciò sia in effetti possibile e porti alle equazioni libere non locali scritte in termini delle curvature generalizzate proposte da Francia e Sagnotti [12, 13].

4.3 Equazioni “geometriche” nello spazio-tempo piatto

Ci concentreremo nel seguito sul caso bosonico, per brevità. Tra le equazioni libere di spin $s = 1, 2$

$$\square A_\mu - \partial_\mu \partial \cdot A = 0 , \quad (4.87)$$

$$\square h_{\mu\nu} - \partial_\mu \partial \cdot h_\nu - \partial_\nu \partial \cdot h_\mu + \partial_\mu \partial_\nu h' = 0 , \quad (4.88)$$

e la loro generalizzazione a spin arbitrario (4.53) c'è un'importante differenza: le prime contengono infatti tutti i costrutti di spin più basso ottenuti come divergenze e tracce del campo di gauge, che sono invece assenti dall'equazione di Fronsdal per spin $s > 2$. Questo fatto è all'origine della variazione (4.55) dell'operatore di Fronsdal, e dunque del vincolo di traccia nulla sul parametro, che può quindi essere eliminato modificando l'equazione

di Fronsdal con l'aggiunta di nuovi opportuni costrutti di spin più basso la cui variazione di gauge cancelli quella (4.55) dei termini "canonici". Evidentemente, per consistenza con questi ultimi, tali nuovi costrutti dovranno contenere derivate del campo di gauge di ordine più alto del secondo che ne portino gli indici e sarà dunque necessario riscalarli con potenze inverse dell'operatore Lorentz-invariante di d'Alembert per ristabilire le giuste dimensioni, ottenendo così equazioni *non locali*.

Ad esempio, nel caso semplice di spin 3 si possono scrivere due equazioni gauge-invarianti senza alcun vincolo sul parametro,

$$\mathcal{F}_{\mu_1\mu_2\mu_3} - \frac{1}{3\Box} \left(\partial_{\mu_1} \partial_{\mu_2} \mathcal{F}'_{\mu_3} + \partial_{\mu_2} \partial_{\mu_3} \mathcal{F}'_{\mu_1} + \partial_{\mu_3} \partial_{\mu_1} \mathcal{F}'_{\mu_2} \right) = 0, \quad (4.89)$$

$$\mathcal{F}_{\mu_1\mu_2\mu_3} - \frac{\partial_{\mu_1} \partial_{\mu_2} \partial_{\mu_3}}{\Box^2} \partial \cdot \mathcal{F}' = 0, \quad (4.90)$$

che sono, in realtà, due forme diverse di un'unica equazione, l'una potendo essere ottenuta dall'altra combinandola con la sua traccia. La variazione del secondo termine di entrambe le equazioni (4.89) e (4.90) produce esattamente $3\partial^3 \epsilon'$, rendendole pertanto gauge-invarianti, come anticipato. Si noti inoltre che

$$\delta \left(\frac{\partial \cdot \mathcal{F}'}{\Box^2} \right) = 3\epsilon', \quad (4.91)$$

che mostra come la non località di queste equazioni sia *pura gauge*, essendo sufficiente fissare opportunamente la traccia del parametro di gauge per tornare alla forma locale delle equazioni, conservando in tal modo la libertà di gauge parametrizzata dalla sola parte a traccia nulla del parametro.

Le stesse conclusioni si possono raggiungere per spin arbitrario, costruendo degli opportuni operatori di Fronsdal modificati, analoghi di quelli che compaiono nelle (4.89) e (4.90), mediante la definizione ricorsiva

$$\mathcal{F}^{(n+1)} = \mathcal{F}^{(n)} + \frac{1}{(n+1)(2n+1)} \frac{\partial^2}{\Box} \mathcal{F}^{(n)'} - \frac{1}{n+1} \frac{\partial}{\Box} \partial \cdot \mathcal{F}^{(n)}, \quad (4.92)$$

dove $\mathcal{F}^{(1)} = \mathcal{F}$, ed il cui termine generico ha la variazione di gauge

$$\delta \mathcal{F}^{(n)} = (2n+1) \frac{\partial^{2n+1}}{\Box^{n-1}} \epsilon^{[n]}, \quad (4.93)$$

dove con $\epsilon^{[n]}$ indichiamo la traccia del parametro su n coppie di indici. Ma quest'ultima è non banale soltanto se $s \geq 2n + 1$, e dunque per ogni s si ottiene un operatore cinetico non locale gauge-invariante (sotto trasformazioni di gauge di parametro completamente arbitrario, non vincolato) dopo almeno $\left\lceil \frac{s-1}{2} \right\rceil$ iterazioni.

Anche il vincolo di doppia traccia nulla sui campi scompare dopo un numero sufficiente di iterazioni, poiché l' n -mo operatore cinetico modificato soddisfa l'identità di Bianchi

$$\partial \cdot \mathcal{F}^{(n)} - \frac{1}{2n} \partial \mathcal{F}^{(n)'} = - \left(1 + \frac{1}{2n}\right) \frac{\partial^{2n+1}}{\square^{n-1}} \varphi^{[n+1]}, \quad (4.94)$$

“anomala” solo se $s \geq 2n + 2$. Per n sufficientemente grande, la k -upla traccia della (4.94) fornisce

$$\partial \cdot \mathcal{F}^{(n)[k]} - \frac{1}{2(n-k)} \partial \mathcal{F}^{(n)[k+1]} = 0, \quad (k \leq n-1) \quad (4.95)$$

il cui secondo termine si annulla per $k = n - 1$ e spin dispari $s = 2n - 1$,

$$\partial \cdot \mathcal{F}^{(n)[k]} = 0. \quad (4.96)$$

In base a questi risultati si può allora definire un tensore di Einstein generalizzato completamente gauge-invariante, combinando gli $\mathcal{F}^{(n)}$ con le loro tracce, come

$$\mathcal{G}^{(n)} = \sum_{p \leq n} \frac{(-1)^p}{2^p p!} \binom{n}{p} \eta^p \mathcal{F}^{(n)[p]}, \quad (4.97)$$

che ha divergenza nulla per n sufficientemente grande, caratteristica che assicura l'invarianza di gauge, senza alcun vincolo sul campo, della lagrangiana di spin s ottenibile integrando

$$\delta \mathcal{L} \sim \delta \varphi \mathcal{G}^{(n)}. \quad (4.98)$$

Le equazioni di spin s completamente gauge-invarianti assumono una forma compatta in termini delle variabili

$$\hat{\Phi}(x, \xi) = \frac{1}{s!} \xi^{\mu_1} \dots \xi^{\mu_s} \varphi_{\mu_1 \dots \mu_s}, \quad (4.99)$$

ottenute contraendo gli indici del campo di gauge con i vettori ξ^{μ_i} , in termini delle quali tracce e divergenze di φ si realizzano con gli operatori $\partial_\xi \cdot \partial_\xi$ e $\partial_\xi \cdot \partial$, dove con ∂_ξ indichiamo la derivata rispetto a ξ . In questo formalismo, l'operatore di Fronsdal ha l'espressione

$$\hat{\mathcal{F}}(\hat{\Phi}) = \left[\square - \xi \cdot \partial \partial \cdot \partial_\xi + (\xi \cdot \partial)^2 \partial_\xi \cdot \partial_\xi \right] \hat{\Phi}, \quad (4.100)$$

e dopo l' n -ma iterazione si arriva ad equazioni della forma

$$\prod_{k=0}^{n-1} \left[1 + \frac{1}{(k+1)(2k+1)} \frac{(\xi \cdot \partial)^2}{\square} \partial_\xi \cdot \partial_\xi - \frac{1}{k+1} \frac{\xi \cdot \partial}{\square} \partial_\xi \cdot \partial \right] \hat{\mathcal{F}}(\hat{\Phi}) = 0, \quad (4.101)$$

che per $n = \left\lceil \frac{s+1}{2} \right\rceil$ danno luogo all'equazione completamente gauge-invariante per spin s . Analogamente a quanto accade per spin 3, questa equazione, combinata con la sua traccia, ne genera una sempre riducibile alla forma

$$\mathcal{F} = \partial^3 \mathcal{H}, \quad (4.102)$$

dove \mathcal{H} contiene tutti i termini non locali che le successive iterazioni aggiungono, e trasforma proporzionalmente alla traccia del parametro,

$$\delta \mathcal{H} = 3 \epsilon'. \quad (4.103)$$

Ciò dimostra che, in generale, i termini non locali delle equazioni completamente invarianti sono pura gauge, e possono quindi essere annullati fissando $\epsilon' = -\frac{1}{3}\mathcal{H}$, il che equivale a scegliere una “gauge di Fronsdal” $\mathcal{H} = 0$ che riporta le equazioni in forma locale e lascia non vincolata soltanto la parte a traccia nulla del parametro di gauge.

Che esistesse, in linea di principio, la possibilità di giungere ad equazioni gauge-invarianti senza restrizioni sul campo o sul parametro di gauge era stato sottolineato già alla fine della precedente sezione, insieme al fatto che queste equazioni sarebbero state naturalmente scritte in termini delle curvature ivi introdotte, generalizzando così i casi di spin 1 e spin 2. Il legame con la geometria emerge osservando che le proprietà di trasformazione delle Γ^m con $m = 2n$ pari implicano che la variazione della traccia $\Gamma^{(2n)[n]}$ su tutte le coppie di indici α_i è data da

$$\delta \left(\frac{1}{\square^{n-1}} \Gamma^{(2n)[n]} \right) = \frac{\partial^{2n+1}}{\square^{n-1}} \epsilon^{[n]}, \quad (4.104)$$

che coincide, a meno di un fattore, con la legge di trasformazione (4.93) degli operatori di Fronsdal modificati con i termini non locali $\mathcal{F}^{(n)}$! Questo significa che le equazioni di spin arbitrario completamente gauge-invarianti scritte in termini dei campi di gauge ammettono, come accade per spin 1 e 2, una riformulazione in termini di curvature, che

non è invece manifesta a partire dalle equazioni di Fronsdal, prive dei termini contenenti tutti i costrutti di spin più basso. Infatti, per spin $s = 2n$, $\Gamma^{(2n)[n]}$ è la traccia su n coppie di indici del tensore di Riemann generalizzato di spin s , e l'equazione geometrica completamente gauge-invariante per spin pari è

$$\frac{1}{\square^{n-1}} \mathcal{R}^{[n]}_{;\mu_1 \dots \mu_{2n}} = 0, \quad (4.105)$$

che contiene come caso particolare ($n = 1$) le equazioni di Einstein linearizzate, che costituiscono anche l'ultimo caso di equazioni di spin pari locali.

Per spin intero dispari $s = 2n + 1$, tuttavia, gli indici della curvatura $\Gamma^{(2n+1)}$ non vengono completamente saturati dalla traccia su n coppie di indici, ma per analogia con il sottocaso delle equazioni di Maxwell si può saturare l'indice rimanente mediante una divergenza, ottenendo quindi

$$\frac{1}{\square^n} \partial \cdot \mathcal{R}^{[n]}_{;\mu_1 \dots \mu_{2n+1}} = 0, \quad (4.106)$$

di cui il caso elettromagnetico ($n=0$) è l'ultimo locale.

Una combinazione di ciascuna di queste due equazioni con la sua traccia ha la forma (4.102), e si riduce quindi all'equazione di Fronsdal tramite una scelta di gauge (*gauge fixing*). Questa procedura tuttavia non garantisce banalmente l'equivalenza con la formulazione locale, poiché il *gauge fixing* $\epsilon' = -\frac{1}{3}\mathcal{H}$ porta all'equazione di Fronsdal ma non implica alcun vincolo sui campi, mentre abbiamo visto nella sezione 4.1 che il vincolo di doppia traccia nulla è essenziale affinché tale equazione propaghi il corretto numero di polarizzazioni associato ad un campo di massa nulla. Inoltre, se $\varphi'' \neq 0$ la condizione di de Donder generalizzata

$$\mathcal{D} \equiv \partial \cdot \varphi - \frac{1}{2} \partial \varphi' = 0 \quad (4.107)$$

non è una buona condizione di gauge, nel senso che non è possibile utilizzare la libertà di gauge residua, quella sotto trasformazioni parametrizzate dalla sola parte a traccia nulla di ϵ , per far sì che essa possa sempre essere soddisfatta. Infatti, in generale,

$$\delta \mathcal{D} = \square \epsilon - \partial^2 \epsilon', \quad (4.108)$$

dove ϵ' è fissato, mentre la traccia della (4.107), $\mathcal{D}' = -\frac{1}{2}\partial\varphi''$, non lo è affatto, e viene quindi a mancare l'uguaglianza tra il numero di condizioni indipendenti contenute nella gauge di de Donder e quello delle componenti libere del parametro.

La via di uscita consiste nel modificare la condizione di de Donder in modo che sia a traccia *identicamente nulla*. Non imponendo $\varphi'' = 0$, questo risultato può essere ottenuto soltanto aggiungendo alla (4.107) dei costrutti di spin più basso ottenuti mediante tracce multiple del campo, secondo una procedura simile a quella utilizzata per giungere ad equazioni del moto gauge-invarianti senza necessità di alcun vincolo sul parametro. Nel primo caso non banale, $s = 4$, si può rendere (4.107) identicamente a traccia nulla aggiungendo il termine Δ , ovvero imponendo la condizione (in d dimensioni)

$$\mathcal{D} + \Delta \equiv \partial \cdot \varphi - \frac{1}{2} \partial \varphi' + \frac{1}{2(d+2)} \eta \partial \varphi'' = 0, \quad (4.109)$$

che riduce l'equazione di Fronsdal a

$$p^2 \varphi_{\mu\nu\rho\sigma} + \frac{1}{(d+2)} [\eta_{\mu\nu} p_\rho p_\sigma + \dots] \varphi'' = 0, \quad (4.110)$$

scritta nello spazio degli impulsi. Poiché il secondo termine non contiene alcun parametro dimensionale, per invarianza di Lorentz quest'ultima equazione evidentemente ammette come sole soluzioni non banali quelle con autovalore $p^2 = 0$, e ciò a sua volta implica $\varphi'' = 0$ [13], ovvero è l'equazione del moto stessa ad annullare la doppia traccia del campo di gauge, facendo sì che le equazioni non locali propaghino effettivamente il giusto numero di gradi di libertà di un campo a massa nulla.

Questo procedimento si generalizza a spin arbitrario, definendo Δ ricorsivamente richiedendo che soddisfi $(\mathcal{D} + \Delta)' = 0$ [13]. Per ogni s , la condizione di gauge modificata $\mathcal{D} + \Delta = 0$, sostituita nelle equazioni del moto, fornisce

$$\square\varphi + \partial\Delta = 0, \quad (4.111)$$

e l'esistenza di soluzioni non banali richiede che $p^2 = 0$. Ma allora, utilizzando ancora la condizione di de Donder modificata,

$$\partial\mathcal{D} = 0, \quad (4.112)$$

che implica [13]

$$\mathcal{D} = 0 , \quad (4.113)$$

e quindi, per la traccia, $\varphi'' = 0$. A questo punto l'equivalenza con la formulazione locale di Fronsdal, ottenuta mediante un parziale *gauge fixing*, è completa, ed il conteggio dei gradi di libertà procede esattamente come nella sezione 4.1.

Non ci occupiamo in dettaglio delle equazioni geometriche per spin semi-intero, tuttavia sottolineiamo il fatto che il legame (4.73) tra gli operatori cinetici bosonici e fermionici si estende anche agli operatori modificati $\mathcal{S}_{s+1/2}^{(n)}$ e $\mathcal{F}_s^{(n)}$, rendendo in tal modo evidente la possibilità di scrivere equazioni del moto completamente gauge-invarianti anche per campi di gauge fermionici.

L'importanza delle equazioni geometriche sta, oltre che nel possedere un'invarianza di gauge completa (ovvero sotto trasformazioni di parametro completamente arbitrario, senza necessità dei vincoli algebrici della formulazione di Fronsdal), anche nello stabilire un contatto con la Teoria delle Stringhe nel suo limite di tensione nulla. Come accennato infatti nell'Introduzione, le equazioni del campo di stringa danno luogo, per $\alpha' \rightarrow \infty$ e nel settore dei soli tensori simmetrici, ad un sistema di equazioni per un tripletto di campi invarianti sotto trasformazioni di gauge senza alcun vincolo di traccia e che, opportunamente combinate, producono le equazioni non locali (4.102) [24]. È notevole anche il fatto che queste ultime possono sempre essere portate in una forma locale *senza dover introdurre vincoli sul parametro* per mezzo di un *compensatore*, ovvero un campo di Stueckelberg che trasforma proporzionalmente alla traccia del parametro,

$$\delta \alpha = \epsilon' . \quad (4.114)$$

In questo modo, tutti i termini non locali, che, come già detto, sono pura gauge, possono essere assorbiti in α , e le equazioni geometriche assumono la forma locale

$$\mathcal{F}(\varphi) = 3 \partial^3 \alpha , \quad (4.115)$$

rimanendo invarianti sotto le trasformazioni di gauge (4.114) e

$$\delta \varphi = \partial \epsilon . \quad (4.116)$$

4.4 Equazioni di Fronsdal in $(A)dS$

Abbiamo già avuto modo di commentare l'importanza degli spazi-tempo a curvatura costante per la costruzione di interazioni consistenti fra campi di spin arbitrario. È utile quindi esaminare la forma delle equazioni di Fronsdal in uno spazio-tempo $(A)dS$, anche alla luce di quanto verrà esposto nei capitoli seguenti.

L'interazione con il campo gravitazionale di background viene introdotta, al solito, covariantizzando le derivate, $\partial \rightarrow \nabla \equiv \partial + \Gamma$, dove Γ rappresenta la connessione di Christoffel di $(A)dS$, introdotta nel capitolo 2. Inoltre,

$$\varphi'_{\mu_3 \dots \mu_s} = g^{\mu_1 \mu_2} \varphi_{\mu_1 \dots \mu_s} , \quad (4.117)$$

dove g è il tensore metrico di $(A)dS$, e assumiamo $\varphi'' = 0$ ed $\epsilon' = 0$.

Trattiamo in dettaglio il caso bosonico. Abbiamo mostrato che, in uno spazio-tempo piatto, l'operatore cinetico di Fronsdal è invariante sotto la trasformazione di gauge (4.32) o (4.54),

$$\mathcal{F}(\delta\varphi) = 0 , \quad (4.118)$$

purché $\epsilon' = 0$. Questa proprietà non è più verificata in $(A)dS$, a causa della non commutatività delle derivate covarianti: vale infatti la relazione

$$[\nabla_\mu, \nabla_\nu] \varphi_{\rho_1 \dots \rho_s} = \frac{s}{L^2} \left(g_{\nu(\rho_1} V_{\mu|\rho_2 \dots \rho_s)} - g_{\mu(\rho_1} V_{\nu|\rho_2 \dots \rho_s)} \right) , \quad (4.119)$$

dove L rappresenta il raggio di curvatura di AdS , mentre l'analoga relazione per lo spazio-tempo dS può essere ottenuta dalla (4.119) cambiando il segno della curvatura, ovvero continuando formalmente L a valori immaginari. La trasformazione di gauge del campo di spin s diventa inoltre

$$\delta \varphi_{\mu_1 \dots \mu_s} = s \nabla_{(\mu_1} \epsilon_{\mu_2 \dots \mu_s)} , \quad (4.120)$$

e l'operatore di Fronsdal covariantizzato è

$$\mathcal{F}_{\mu_1 \dots \mu_s}^{\text{COV}}(\varphi) = \square \varphi_{\mu_1 \dots \mu_s} - s \nabla_{(\mu_1} \nabla \cdot \varphi_{\mu_2 \dots \mu_s)} + \frac{s(s-1)}{4} \left\{ \nabla_{(\mu_1}, \nabla_{\mu_2} \right\} \varphi'_{\mu_3 \dots \mu_s)} , \quad (4.121)$$

dove $\square = g^{\mu\nu} \nabla_\mu \nabla_\nu$. Ma questo operatore non annulla la variazione di gauge del campo, e anzi la sostituzione diretta di (4.120) in \mathcal{F}^{COV} produce i termini

$$s \left[\square, \nabla_{(\mu_1} \right] \epsilon_{\mu_2 \dots \mu_s)} + \frac{1}{L^2} s(s-1)(d+s-3) \nabla_{(\mu_1} \epsilon_{\mu_2 \dots \mu_s)} . \quad (4.122)$$

Per eliminarli è necessario quindi modificare l'operatore cinetico di Fronsdal aggiungendo termini opportuni di ordine $1/L^2$ che cancellino la variazione di (4.121) e scompaiano nel limite piatto $L \rightarrow \infty$. Calcolando il commutatore che compare nella (4.122) si può verificare che l'operatore cinetico invariante in AdS è

$$\mathcal{F}_L = \mathcal{F}^{\text{cov}} - \frac{1}{L^2} \{[(3-d-s)(2-s)-s] \varphi + 2g \varphi'\} , \quad (4.123)$$

scritto con indici simmetrici impliciti, e dove d rappresenta la dimensionalità dello spazio-tempo. Si noti che, sebbene si abbia a che fare con campi a massa nulla, la richiesta di invarianza delle equazioni di Fronsdal su uno spazio-tempo curvo ha come conseguenza l'introduzione di un "termine di massa" associato alla curvatura, una caratteristica che ritroveremo nel capitolo successivo. Anche in questo caso, le equazioni

$$\mathcal{F}_L = 0 \quad (4.124)$$

non sono equazioni lagrangiane, e si può definire un corrispondente tensore di Einstein generalizzato

$$\mathcal{G}_L = \mathcal{F}_L - \frac{1}{2} g \mathcal{F}'_L , \quad (4.125)$$

in termini del quale si scrivono le equazioni $\mathcal{G}_L = 0$, che seguono da un principio variazionale.

Analoghe considerazioni valgono anche per il caso fermionico. L'operatore di Fang-Fronsdal covariantizzato in modo "ingenuo",

$$\mathcal{S}^{\text{cov}} = i(\not{\nabla} \psi - \nabla \not{\psi}) \quad (4.126)$$

non è invariante sotto la trasformazione di un fermione di spin $s = n + \frac{1}{2}$,

$$\delta\psi = \nabla \epsilon + \frac{1}{2L} \gamma \epsilon , \quad (4.127)$$

e deve quindi venire anch'esso modificato, con l'aggiunta di termini che assorbano la variazione di gauge di ordine $1/L^2$ di \mathcal{S}^{cov} , dovuta ai commutatori di derivate covarianti, che agiscono su uno spinore come

$$[\nabla_\mu, \nabla_\nu] \eta = - \frac{1}{2L^2} \gamma_{\mu\nu} \eta . \quad (4.128)$$

Il risultato è

$$\mathcal{S}_L = \mathcal{S}^{\text{cov}} + \frac{i}{2L} [d + 2(n - 2)] \psi + \frac{i}{2L} \gamma \not{\psi}. \quad (4.129)$$

Anche le equazioni completamente gauge-invarianti di Francia e Sagnotti, nella formulazione che utilizza i compensatori, sono state scritte in $(A)dS$ [24], mentre la corrispondente versione non locale delle equazioni non è attualmente nota.

Capitolo 5

Higher spins: teoria “unfolded” lineare

5.1 \star -prodotto e algebre di Higher Spin

È conveniente riproporre quanto esposto nel capitolo 3 circa la gravità su AdS_4 nella formulazione di MacDowell e Mansouri nel formalismo a due componenti, sostituendo gli indici di Lorentz $a, b = 0, 1, 2, 3$ con gli indici spinoriali $\alpha, \beta = 1, 2$ e $\dot{\alpha}, \dot{\beta} = 1, 2$ della rappresentazione fondamentale del ricoprimento universale del gruppo di Lorentz, $SL(2, C)$, e della coniugata. Questo riflette l’isomorfismo esistente a livello delle corrispondenti algebre (vedi Appendice B). La connessione tra gli indici di $so(3, 1)$ e di $sl(2, C)$ è resa manifesta con l’uso dei simboli di van der Waerden $(\sigma^a)_{\alpha\dot{\alpha}}$ definiti nell’Appendice A, che comprendono le tre matrici di Pauli e la matrice identità, poiché

$$V_a \longleftrightarrow V_a(\sigma^a)_{\alpha\dot{\alpha}} \equiv V_{\alpha\dot{\alpha}} . \quad (5.1)$$

Ad una coppia di indici di Lorentz antisimmetrici corrispondono inoltre due coppie di indici, una non puntata e l’altra puntata, ciascuna simmetrica (dato che le rappresentazioni irriducibili di $sl(2, C)$ corrispondono a multispinori separatamente simmetrici nei loro indici di ciascun tipo),

$$J_{[ab]} \longleftrightarrow \varepsilon^{\alpha\beta} \bar{J}^{(\dot{\alpha}\dot{\beta})} + \varepsilon^{\dot{\alpha}\dot{\beta}} J^{(\alpha\beta)} , \quad (5.2)$$

dove $\varepsilon^{\alpha\beta}$ è il tensore invariante di $sl(2, C)$, totalmente antisimmetrico e proporzionale a σ_2 , mentre $J^{\alpha\beta} \equiv -\frac{1}{2}J_{[ab]}(\sigma^{ab})^{\alpha\beta}$ e $\bar{J}^{\dot{\alpha}\dot{\beta}} \equiv -\frac{1}{2}J_{[ab]}(\bar{\sigma}^{ab})^{\dot{\alpha}\dot{\beta}}$ ($(\sigma^{ab})^{\alpha\beta}$ e $(\bar{\sigma}^{ab})^{\dot{\alpha}\dot{\beta}}$ sono definite in Appendice B).

Riscriviamo dunque alcuni dei risultati ottenuti nella precedente sezione nel formalismo a due componenti.

Ai generatori di Lorentz M_{ab} corrisponde la coppia $M_{\alpha\beta}, \bar{M}_{\dot{\alpha}\dot{\beta}}$, mentre ai generatori di traslazione AdS corrispondono i $P_{\alpha\dot{\alpha}}$. In questa notazione l'algebra di $so(3, 2)$ diventa

$$\begin{aligned} [M_{\alpha\beta}, M_{\gamma\delta}] &= -i(\varepsilon_{\alpha\gamma}M_{\beta\delta} + \varepsilon_{\beta\delta}M_{\alpha\gamma} + \varepsilon_{\alpha\delta}M_{\beta\gamma} + \varepsilon_{\beta\gamma}M_{\alpha\delta}) , \\ [P_{\alpha\dot{\alpha}}, M_{\beta\gamma}] &= -i(\varepsilon_{\alpha\beta}P_{\gamma\dot{\alpha}} + \varepsilon_{\alpha\gamma}P_{\beta\dot{\alpha}}) , \\ [P_{\alpha\dot{\alpha}}, P_{\beta\dot{\beta}}] &= -iL^{-2}(\varepsilon_{\alpha\beta}\bar{M}_{\dot{\alpha}\dot{\beta}} + \varepsilon_{\dot{\alpha}\dot{\beta}}M_{\alpha\beta}) , \end{aligned} \quad (5.3)$$

insieme con i coniugati di questi commutatori,

$$\begin{aligned} [\bar{M}_{\dot{\alpha}\dot{\beta}}, \bar{M}_{\dot{\gamma}\dot{\delta}}] &= -i(\varepsilon_{\dot{\alpha}\dot{\gamma}}\bar{M}_{\dot{\beta}\dot{\delta}} + \varepsilon_{\dot{\beta}\dot{\delta}}\bar{M}_{\dot{\alpha}\dot{\gamma}} + \varepsilon_{\dot{\alpha}\dot{\delta}}\bar{M}_{\dot{\beta}\dot{\gamma}} + \varepsilon_{\dot{\beta}\dot{\gamma}}\bar{M}_{\dot{\alpha}\dot{\delta}}) , \\ [P_{\alpha\dot{\alpha}}, \bar{M}_{\dot{\beta}\dot{\gamma}}] &= -i(\varepsilon_{\dot{\alpha}\dot{\beta}}P_{\gamma\dot{\alpha}} + \varepsilon_{\dot{\alpha}\dot{\gamma}}P_{\beta\dot{\alpha}}) , \\ [P_{\alpha\dot{\alpha}}, P_{\beta\dot{\beta}}] &= -iL^{-2}(\varepsilon_{\alpha\beta}\bar{M}_{\dot{\alpha}\dot{\beta}} + \varepsilon_{\dot{\alpha}\dot{\beta}}M_{\alpha\beta}) , \end{aligned} \quad (5.4)$$

mentre tutte gli altri commutatori sono nulli.

Ai generatori di Lorentz e delle traslazioni di AdS_4 associamo le 1-forme di connessione $\omega_\mu^{\alpha\beta}, \bar{\omega}_\mu^{\dot{\alpha}\dot{\beta}}$ ed $e_\mu^{\alpha\dot{\alpha}}$, rispettivamente, e con esse costruiamo la 2-forma di curvatura

$$\begin{aligned} \mathfrak{R} &= d(e + \omega) + (e + \omega) \wedge (e + \omega) \\ &= \frac{1}{2i} dx^\mu \wedge dx^\nu [T_{\mu\nu}^{\alpha\dot{\alpha}} P_{\alpha\dot{\alpha}} + \frac{1}{2}(R_{\mu\nu}^{\alpha\beta} + 2L^{-2}e_\mu^{\alpha\dot{\alpha}} e_\nu^{\dot{\beta}\alpha}) M_{\alpha\beta} \\ &\quad + \frac{1}{2}(\bar{R}_{\mu\nu}^{\dot{\alpha}\dot{\beta}} + 2L^{-2}e_\mu^{\alpha\dot{\alpha}} e_\nu^{\dot{\beta}\alpha}) \bar{M}_{\dot{\alpha}\dot{\beta}}] , \end{aligned} \quad (5.5)$$

dove

$$T_{\mu\nu}^{\alpha\dot{\alpha}} = \partial_\mu e_\nu^{\alpha\dot{\alpha}} + \omega_\mu^{\alpha\beta} e_{\nu\beta}^{\dot{\alpha}} + \bar{\omega}_\mu^{\dot{\alpha}\dot{\beta}} e_{\nu\dot{\beta}}^\alpha - (\mu \leftrightarrow \nu) , \quad (5.6)$$

$$R_{\mu\nu}^{\alpha\beta} = \partial_\mu \omega_\nu^{\alpha\beta} + \omega_\mu^{\alpha\gamma} \omega_{\nu\gamma}^\beta - (\mu \leftrightarrow \nu) , \quad (5.7)$$

$$\bar{R}_{\mu\nu}^{\dot{\alpha}\dot{\beta}} = \partial_\mu \bar{\omega}_\nu^{\dot{\alpha}\dot{\beta}} + \bar{\omega}_\mu^{\dot{\alpha}\dot{\gamma}} \bar{\omega}_{\nu\dot{\gamma}}^{\dot{\beta}} - (\mu \leftrightarrow \nu) . \quad (5.8)$$

La curvatura $\mathfrak{R} \equiv d(e + \omega) + (e + \omega) \wedge (e + \omega)$ soddisfa l'identità di Bianchi

$$d\mathfrak{R} = [\mathfrak{R}, e + \omega] , \quad (5.9)$$

ovvero $D\mathfrak{R} = 0$, che segue dalla condizione $d^2 = 0$.

Il vincolo di torsione è

$$T_{\mu\nu}^{\alpha\dot{\alpha}} = 0 , \quad (5.10)$$

che, con le equazioni

$$\mathfrak{R}_{\mu\nu}^{\alpha\beta} = R_{\mu\nu}^{\alpha\beta} + 2L^{-2}e_{\mu}^{\alpha\dot{\alpha}}e_{\nu\dot{\alpha}}^{\beta} = 0 , \quad (5.11)$$

$$\bar{\mathfrak{R}}_{\mu\nu}^{\dot{\alpha}\dot{\beta}} = \bar{R}_{\mu\nu}^{\dot{\alpha}\dot{\beta}} + 2L^{-2}e_{\mu}^{\alpha\dot{\alpha}}e_{\nu\alpha}^{\dot{\beta}} = 0 , \quad (5.12)$$

descrive uno spaziotempo *AdS*.

I generatori di $so(3, 2)$ ammettono una realizzazione come bilineari in oscillatori (simile in forma alla cosiddetta realizzazione di Schwinger delle relazioni di commutazione di $su(2)$), per la quale

$$M_{\alpha\beta} = -\frac{1}{4}\{\hat{y}_{\alpha}, \hat{y}_{\beta}\} , \quad \bar{M}_{\dot{\alpha}\dot{\beta}} = -\frac{1}{4}\{\hat{y}_{\dot{\alpha}}, \hat{y}_{\dot{\beta}}\} , \quad P_{\alpha\dot{\alpha}} = \frac{1}{2}\hat{y}_{\alpha}\hat{y}_{\dot{\alpha}} , \quad (5.13)$$

dove gli $\hat{y}_{\alpha}, \hat{y}_{\dot{\alpha}} = (\hat{y}_{\alpha})^{\dagger}$ sono spinori di Weyl commutanti, a valori nelle rappresentazioni $(1/2, 0)$ e $(0, 1/2)$ del gruppo di Lorentz, che soddisfano l'algebra di Heisenberg definita dalle regole di commutazione

$$[\hat{y}_{\alpha}, \hat{y}_{\beta}] = 2i\varepsilon_{\alpha\beta} , \quad [\hat{y}_{\dot{\alpha}}, \hat{y}_{\dot{\beta}}] = 2i\varepsilon_{\dot{\alpha}\dot{\beta}} , \quad [\hat{y}_{\alpha}, \hat{y}_{\dot{\beta}}] = 0 . \quad (5.14)$$

In questo modo i campi gravitazionali sono 1-forme bilineari negli oscillatori:

$$e_{\mu} + \omega_{\mu} = \frac{1}{2}e_{\mu}^{\alpha\dot{\beta}}\hat{y}_{\alpha}\hat{y}_{\dot{\beta}} + \omega_{\mu}^{\alpha\beta}\frac{1}{4}\{\hat{y}_{\alpha}, \hat{y}_{\beta}\} + \bar{\omega}_{\mu}^{\dot{\alpha}\dot{\beta}}\frac{1}{4}\{\hat{y}_{\dot{\alpha}}, \hat{y}_{\dot{\beta}}\} . \quad (5.15)$$

Il formalismo fin qui sviluppato consente una naturale estensione ai campi di HS ed alle relative simmetrie: per includerli nella teoria, infatti, si comincia con il considerare potenze arbitrariamente elevate degli oscillatori $\hat{y}_{\alpha}, \hat{y}_{\dot{\alpha}}$ e quindi l'algebra associativa infinito-dimensionale generata da polinomi di grado arbitrario negli oscillatori stessi. In particolare

$$\hat{P}(\hat{y}, \hat{y}) = \sum_{n,m=0}^{\infty} \frac{i}{2n!m!} P^{\alpha_1 \dots \alpha_n \dot{\alpha}_1 \dots \dot{\alpha}_m} \hat{y}_{\alpha_1} \dots \hat{y}_{\alpha_n} \hat{y}_{\dot{\alpha}_1} \dots \hat{y}_{\dot{\alpha}_m} , \quad (5.16)$$

dove i coefficienti $P^{\alpha_1 \dots \alpha_n \dot{\alpha}_1 \dots \dot{\alpha}_m}$ sono totalmente simmetrici separatamente negli indici α_i e $\dot{\alpha}_i$.

Questo implica che il prodotto degli oscillatori \hat{y}_{α_i} è sempre Weyl-ordinato e lo stesso vale per gli oscillatori $\hat{y}_{\dot{\alpha}_j}$. Il prodotto Weyl-ordinato di n oscillatori \hat{y}_{α_i} è, per definizione, la parte totalmente simmetrica del prodotto ordinario normalizzata all'unità, ovvero

$$(\hat{y}_{\alpha_1} \dots \hat{y}_{\alpha_n})_W \equiv \hat{y}_{(\alpha_1 \dots \alpha_n)} = \frac{1}{n!} (\hat{y}_{\alpha_1} \dots \hat{y}_{\alpha_n} + \text{permutazioni}) \quad (5.17)$$

e analogamente per gli $\hat{y}_{\dot{\alpha}_j}$.

Nella (5.16) il pedice W è omissso per brevità. Inoltre spesso nel seguito useremo, per brevità, le notazioni $\hat{y}_{\alpha_1} \dots \hat{y}_{\alpha_n} \equiv \hat{y}_{\alpha_1 \dots \alpha_n} \equiv \hat{y}_{\alpha(n)}$.

Si noti che il prodotto di due funzioni Weyl-ordinate degli oscillatori non è Weyl-ordinato. Se ad esempio consideriamo il caso più semplice, il prodotto di due singoli oscillatori, abbiamo

$$\hat{y}_\alpha \hat{y}_\beta = \frac{1}{2} \{\hat{y}_\alpha, \hat{y}_\beta\} + \frac{1}{2} [\hat{y}_\alpha, \hat{y}_\beta] = (\hat{y}_\alpha \hat{y}_\beta)_W + i\epsilon_{\alpha\beta} . \quad (5.18)$$

In generale, il prodotto di due funzioni Weyl-ordinate degli oscillatori produce un termine Weyl-ordinato, associato alla potenza più alta negli y , seguito da ulteriori termini Weyl-ordinati, non nulli per il fatto che l'algebra degli oscillatori (5.14) è non commutativa, contenenti potenze via via più basse di due unità per volta.

Possiamo a questo punto dare una prima definizione delle algebre di HS $shs(4)$ (dove l'argomento si riferisce al loro ruolo in teorie in quattro dimensioni), in termini dell'algebra di Lie associativa \mathcal{A} la cui operazione di composizione è il commutatore di funzioni Weyl-ordinate degli oscillatori $\hat{y}_\alpha, \hat{y}_{\dot{\alpha}}$, soddisfacenti le relazioni di commutazione (5.14), che possono essere espresse come formali serie di potenze (5.16).¹ Preciseremo in seguito tale definizione.

È molto conveniente ai fini pratici del calcolo, ed è ormai una procedura standard nella letteratura, sostituire agli operatori i loro simboli. Questo significa che al posto di ciascun $\hat{P}(\hat{y}, \hat{\bar{y}}) \in \mathcal{A}$, che si espande in potenze degli operatori $\hat{y}_\alpha, \hat{y}_{\dot{\alpha}}$, si utilizzano i simboli $P(y, \bar{y})$

¹Sono state costruite estensioni anche supersimmetriche delle algebre di HS, estendendo superalgebre di Lie, la cui operazione di composizione è il supercommutatore $[\hat{P}_1, \hat{P}_2] = \hat{P}_1 \hat{P}_2 - (-1)^{\pi_1 \pi_2} \hat{P}_2 \hat{P}_1$.

che sono, per definizione, funzioni delle variabili commutanti $y_\alpha, \bar{y}_{\dot{\alpha}}$ della stessa forma (e ammettono quindi un’espansione in serie di potenze degli $y_\alpha, \bar{y}_{\dot{\alpha}}$ con identici coefficienti):

$$P(y, \bar{y}) = \sum_{n,m=0}^{\infty} \frac{i}{2n!m!} P^{\alpha_1 \dots \alpha_n \dot{\alpha}_1 \dots \dot{\alpha}_m} y_{\alpha_1} \dots y_{\alpha_n} \bar{y}_{\dot{\alpha}_1} \dots \bar{y}_{\dot{\alpha}_m} . \quad (5.19)$$

Tuttavia, per riprodurre l’algebra \mathcal{A} in termini di simboli degli operatori è necessario riprodurre anzitutto le (5.14), introducendo una nuova definizione di prodotto, dal momento che y_α e $\bar{y}_{\dot{\alpha}}$ sono variabili commutanti nell’ordinario prodotto tra funzioni.

A tale scopo si definisce lo \star -prodotto in modo tale che, date due qualsiasi funzioni P_1, P_2 , simboli degli operatori \hat{P}_1, \hat{P}_2 , $P_1 \star P_2$ sia il simbolo dell’operatore $\hat{P}_1 \hat{P}_2$. Si può mostrare che questo conduce a

$$P(y, \bar{y}) \star Q(y, \bar{y}) = P(y, \bar{y}) e^{-i(\overleftarrow{\partial}^\alpha \overrightarrow{\partial}_{\alpha+} \overleftarrow{\partial}^{\dot{\alpha}} \overrightarrow{\partial}_{\dot{\alpha}})} Q(y, \bar{y}) , \quad (5.20)$$

dove $\partial_\alpha \equiv \frac{\partial}{\partial y^\alpha}$, e $\partial^\alpha \equiv \varepsilon^{\alpha\beta} \partial_\beta = -\frac{\partial}{\partial y_\alpha}$, semplicemente perché i termini successivi dell’espansione producono le successive contrazioni.

Si noti che lo \star -prodotto è evidentemente non locale negli oscillatori, ovvero nelle coordinate interne, poiché include derivate di ordine arbitrariamente elevato rispetto a questi ultimi. Questa legge di prodotto è inoltre associativa

$$(P \star (Q \star R)) = ((P \star Q) \star R) , \quad (5.21)$$

ed è normalizzata in modo tale che 1 sia l’elemento neutro dell’algebra, ovvero $P \star 1 = 1 \star P = P$. La definizione (5.30) implica inoltre che, dati due polinomi $P(y, \bar{y})$ e $Q(y, \bar{y})$, $(P \star Q)(y, \bar{y})$ è anch’esso un polinomio, ovvero che la suddetta definizione dà luogo ad una legge di prodotto regolare.

Nel caso più semplice, $P(y, \bar{y}) = y_\alpha$, $Q(y, \bar{y}) = y_\beta$, si ottiene:

$$y_\alpha \star y_\beta = y_\alpha y_\beta + i\varepsilon_{\alpha\beta} , \quad (5.22)$$

che implica

$$[y_\alpha, y_\beta]_\star = y_\alpha \star y_\beta - y_\beta \star y_\alpha = 2i\varepsilon_{\alpha\beta} , \quad (5.23)$$

e analogamente si possono provare le relazioni

$$\bar{y}_{\dot{\alpha}} \star \bar{y}_{\dot{\beta}} = \bar{y}_{\dot{\alpha}} \bar{y}_{\dot{\beta}} + i \varepsilon_{\dot{\alpha}\dot{\beta}} , \quad y_{\alpha} \star \bar{y}_{\dot{\beta}} = y_{\alpha} \bar{y}_{\dot{\beta}} , \quad (5.24)$$

che conducono alle

$$[\bar{y}_{\dot{\alpha}}, \bar{y}_{\dot{\beta}}]_{\star} = 2i \varepsilon_{\dot{\alpha}\dot{\beta}} , \quad [y_{\alpha}, \bar{y}_{\dot{\beta}}]_{\star} = 0 , \quad (5.25)$$

tutti casi particolari delle regole di contrazione generali (cfr. anche (C.3))

$$\begin{aligned} y_{\alpha_1 \dots \alpha_n} \star y_{\beta_1 \dots \beta_m} &= y_{\alpha_1 \dots \alpha_n \beta_1 \dots \beta_m} + i n m y_{\alpha_1 \dots \alpha_{n-1} \beta_1 \dots \beta_{m-1}} \varepsilon_{\alpha_n \beta_m} \\ &+ i^2 \frac{n(n-1)m(m-1)}{2!} y_{\alpha_1 \dots \alpha_{n-2} \beta_1 \dots \beta_{m-2}} \varepsilon_{\alpha_{n-1} \beta_{m-1}} \varepsilon_{\alpha_n \beta_m} + \dots \\ &+ i^k k! \binom{n}{k} \binom{m}{k} y_{\alpha_1 \dots \alpha_{n-k} \beta_1 \dots \beta_{m-k}} \varepsilon_{\alpha_{n-k+1} \beta_{m-k+1}} \dots \varepsilon_{\alpha_n \beta_m} + \dots , \end{aligned} \quad (5.26)$$

$$(y_{\alpha_1 \dots \alpha_n} \bar{y}_{\dot{\alpha}_1 \dots \dot{\alpha}_m}) \star (y_{\beta_1 \dots \beta_p} \bar{y}_{\dot{\beta}_1 \dots \dot{\beta}_q}) = (y_{\alpha_1 \dots \alpha_n} \star y_{\beta_1 \dots \beta_p}) (\bar{y}_{\dot{\alpha}_1 \dots \dot{\alpha}_m} \star \bar{y}_{\dot{\beta}_1 \dots \dot{\beta}_q}) . \quad (5.27)$$

Lo \star -prodotto descrive dunque il prodotto di polinomi Weyl-ordinati negli oscillatori in termini dei simboli degli operatori, come testimoniato dalla struttura del secondo membro di (5.26): questo presenta infatti un termine Weyl-ordinato (il prodotto ordinario degli y, \bar{y} è totalmente simmetrico per costruzione) che contiene la potenza più alta, seguito da altri termini Weyl-ordinati di grado via via più basso derivanti da tutte le possibili contrazioni degli n oscillatori y_{α_i} con gli m y_{β_j} a coppie, secondo le (5.22) e (5.24).

In altri termini, la \star -algebra \mathcal{A}^{\star} di funzioni $P(y, \bar{y})$ delle variabili commutanti y, \bar{y} è isomorfa all'algebra \mathcal{A} di funzioni Weyl-ordinate $\hat{P}(\hat{y}, \hat{\bar{y}})$ degli operatori $\hat{y}, \hat{\bar{y}}$, a loro volta soddisfacenti l'algebra di Heisenberg (5.14), ottenute dalle $P(y, \bar{y})$ sostituendo $y \rightarrow \hat{y}$.

Possiamo ora mostrare come l'algebra \mathcal{A} e le algebre di HS siano infinito-dimensionali. Notiamo anzitutto che lo spin s del generatore che costituisce il termine generico dell'espansione (5.19), $y_{\alpha(n)} \bar{y}_{\dot{\beta}(m)}$, è dato da $s = \frac{n+m}{2}$. Dati allora due generatori P_s e $P_{s'}$, di spin $s, s' \geq 1$ rispettivamente ², il loro \star -commutatore dà

$$[P_s, P_{s'}]_{\star} = P_{s+s'-1} + P_{s+s'-3} + P_{s+s'-5} + \dots + P_{|s-s'|+1} , \quad (5.28)$$

come è evidente da (5.26) considerando che nel commutatore si elidono i termini con un numero pari di contrazioni. Questo implica che:

²Il caso in cui almeno uno dei due generatori ha spin 0 è invece banale, poiché non dà luogo a contrazioni ed il commutatore è nullo.

1. il commutatore di due generatori almeno uno dei quali abbia spin $s > 1$ produce generatori di spin superiore e inferiore a quelli di partenza, ovvero l'algebra non si chiude se non includendo tutti gli spin. Questo fatto, ricavato qui per via puramente algebrica, è importantissimo perché riflette i risultati di [20, 33, 34]: per costruire una teoria di HS consistente è necessario includere campi di spin arbitrariamente elevato. Inoltre, questo risultato mostra una stimolante connessione con la Teoria delle Stringhe, che descrive naturalmente infinite eccitazioni (massive) di spin via via crescente.
2. se $s, s' \leq 1$ il commutatore non produce spin più alti: le simmetrie di gauge di HS, infinito-dimensionali, contengono quindi le simmetrie di gauge ordinarie come sottoalgebra massimale finita. I generatori di tale sottoalgebra hanno spin 0, 1/2 ed 1, rispettivamente corrispondenti a simmetrie di gauge interne, sia abeliane che non abeliane ³, alla supersimmetria locale e all'invarianza sotto $so(3, 2)$.

I generatori di spin 1/2, le cariche di supersimmetria, sono proporzionali ad un singolo oscillatore, $Q_\alpha \sim y_\alpha$ ⁴, mentre quelli di $so(3, 2)$, in termini di simboli degli operatori, diventano

$$M_{\alpha\beta} = -\frac{1}{2}y_\alpha y_\beta, \quad M_{\dot{\alpha}\dot{\beta}} = -\frac{1}{2}\bar{y}_{\dot{\alpha}}\bar{y}_{\dot{\beta}}, \quad P_{\alpha\dot{\alpha}} = \frac{1}{2}y_\alpha\bar{y}_{\dot{\alpha}}. \quad (5.29)$$

³È possibile infatti dotare i generatori di spin 0 di ulteriori indici interni legati ad opportune algebre di simmetria non abeliane compatibili con le simmetrie di HS, e questo dà luogo alle teorie di YM come generalizzazioni della teoria di Maxwell. Tuttavia, come per le stringhe aperte [30, 31] (per una rassegna si veda [32]), questa estensione delle algebre di HS si realizza mediante matrici di Chan-Paton e dà luogo solo alle algebre classiche, ovvero ai gruppi di gauge $U(n)$, $O(n)$ e $USp(2n)$.

⁴Questo vale per $N = 1$. Si noti tuttavia il ruolo importante giocato da altri due operatori, chiamati da Vasiliev *operatori di Klein* k e \bar{k} , con le proprietà

$$k^2 = \bar{k}^2 = 1, \quad \{k, \hat{y}_\alpha\} = \{\bar{k}, \hat{y}_{\dot{\alpha}}\} = 0,$$

nella costruzione di algebre di supersimmetria estese. Ad esempio, le cariche di supersimmetria $N = 2$ sono realizzate come

$$Q_\alpha^1 = \hat{y}_\alpha, \quad Q_\alpha^2 = ik\bar{k}\hat{y}_\alpha, \quad \bar{Q}_{\dot{\alpha}}^1 = \hat{y}_{\dot{\alpha}}, \quad \bar{Q}_{\dot{\alpha}}^2 = ik\bar{k}\hat{y}_{\dot{\alpha}}.$$

Lo \star -prodotto ha anche una realizzazione integrale, come

$$(P \star Q)(Y) = \frac{1}{(2\pi)^4} \int d^4U d^4V P(Y+U)Q(Y+V) \exp i(U^\alpha \underline{C}_{\alpha\beta} V^\beta) , \quad (5.30)$$

dove Y, U, V sono spinori di Majorana di $so(3, 2)$ tali che $Y_\alpha = (y_\alpha, \bar{y}^{\dot{\alpha}})$, e analogamente per gli altri, mentre C è la matrice di coniugazione di carica,

$$\underline{C}_{\alpha\beta} = \begin{pmatrix} \varepsilon_{\alpha\beta} & 0 \\ 0 & \varepsilon^{\dot{\alpha}\dot{\beta}} \end{pmatrix} . \quad (5.31)$$

Le definizioni (5.20) e (5.30) sono completamente equivalenti. Dimostriamo, ad esempio, come la seconda segua dalla prima, esprimendo anzitutto $P(Y)$ e $Q(Y)$ in forma integrale,

$$\begin{aligned} P(Y) &= \int \frac{d^4\xi}{(2\pi)^4} e^{i\xi^\alpha \underline{C}_{\alpha\beta} Y^\beta} \tilde{P}(\xi) , \\ Q(Y) &= \int \frac{d^4\xi}{(2\pi)^4} e^{i\xi^\alpha \underline{C}_{\alpha\beta} Y^\beta} \tilde{Q}(\xi) , \end{aligned} \quad (5.32)$$

dove $\tilde{P}(\xi)$ e $\tilde{Q}(\xi)$ sono le loro trasformate di Fourier nella variabile ξ , uno spinore di Majorana anch'esso,

$$\begin{aligned} \tilde{P}(\xi) &= \int d^4Y e^{-i\xi^\alpha \underline{C}_{\alpha\beta} Y^\beta} P(Y) , \\ \tilde{Q}(\xi) &= \int d^4Y e^{-i\xi^\alpha \underline{C}_{\alpha\beta} Y^\beta} Q(Y) . \end{aligned} \quad (5.33)$$

Sostituendo le (5.32) nella (5.20) si ottiene

$$P(Y) \star Q(Y) = \int \frac{d^4\xi d^4\eta}{(2\pi)^8} e^{i\xi^\alpha \underline{C}_{\alpha\beta} Y^\beta} e^{-i\xi^\alpha \underline{C}_{\alpha\beta} \eta^\beta} e^{i\eta^\alpha \underline{C}_{\alpha\beta} Y^\beta} \tilde{P}(\xi) \tilde{Q}(\eta) . \quad (5.34)$$

Inserendo in quest'ultima espressione le (5.33), con variabili di integrazione U e V , e facendo uso di

$$\int \frac{d^4\xi}{(2\pi)^4} e^{i\xi^\alpha \underline{C}_{\alpha\beta} (Y^\beta - Z^\beta)} = \delta(Y - Z) , \quad (5.35)$$

$$\int d^4Z \delta(Y - Z) F(Z) = F(Y) , \quad (5.36)$$

si arriva infine a

$$P(Y) \star Q(Y) = \int \frac{d^4U d^4V}{(2\pi)^4} e^{i(Y-U)^\alpha \underline{C}_{\alpha\beta} (Y-V)^\beta} P(U)Q(V) , \quad (5.37)$$

riconducibile alla (5.30) attraverso il cambio di variabili $U \rightarrow U + Y$, $V \rightarrow V + Y$.

Possiamo introdurre la 1-forma di connessione dell'algebra di HS $shs(4)$ (*master 1-form*)

$$\begin{aligned} w(x|y, \bar{y}) &= dx^\mu w_\mu(x|y, \bar{y}) \\ &= \sum_{n,m=0}^{\infty} \frac{i}{2n!m!} dx^\mu w_\mu^{\alpha_1 \dots \alpha_n \dot{\alpha}_1 \dots \dot{\alpha}_m}(x) y_{\alpha_1} \dots y_{\alpha_n} \bar{y}_{\dot{\alpha}_1} \dots \bar{y}_{\dot{\alpha}_m} , \end{aligned} \quad (5.38)$$

dove la componente $w_\mu^{\alpha_1 \dots \alpha_n \dot{\alpha}_1 \dots \dot{\alpha}_m}(x)$ corrisponde, come vedremo in dettaglio in seguito, ad un campo di gauge di spin $1 + \frac{n+m}{2}$, intero se $n+m$ è pari e semi-intero se è dispari. I campi con spin semi-intero, fermionici, sono anticommutanti, secondo l'usuale relazione tra spin e statistica.

Costruiamo anche la 2-forma di curvatura

$$R(x|y, \bar{y}) = dw(x|y, \bar{y}) + w(x|y, \bar{y}) \wedge \star w(x|y, \bar{y}) , \quad (5.39)$$

dove l'ultimo termine a secondo membro è generato dalla non commutatività dello \star -prodotto e si traduce automaticamente in un anticommutatore, anziché in un commutatore, quando coinvolge due componenti fermioniche dello sviluppo in oscillatori.

Possiamo ora dare una definizione più precisa dell'algebra di HS $shs(4)$: essa è la \star -(super)algebra di Lie costituita dal sottospazio di \mathcal{A}^\star formato dagli elementi P_i antihermitiani,

$$P_i^\dagger = -P_i , \quad (5.40)$$

(dove la coniugazione hermitiana agisce come un'anti-involuzione della \star -algebra, $(F \star G)^\dagger = G^\dagger \star F^\dagger$) e la cui parentesi di Lie è data dallo \star -commutatore

$$[P_i, P_j]_\star = P_i \star P_j - P_j \star P_i . \quad (5.41)$$

Si è visto come l'algebra di HS sia un'estensione infinito-dimensionale dell'algebra di AdS_4 che ha per generatori polinomi di grado arbitrario negli oscillatori. La (5.28) indica in particolare che, per descrivere un campo di spin s , si deve introdurre l'intera collezione di 1-forme $w^{\alpha_1 \dots \alpha_n \dot{\alpha}_1 \dots \dot{\alpha}_m}(x)$ con spin arbitrario, legato ad n ed m da: $n+m = 2(s-1)$. Non tutti questi campi portano gradi di libertà fisici: tramite alcuni vincoli, è infatti possibile

determinare algebricamente alcuni campi, detti *ausiliari*, in termini di altri, detti *fisici* o *dinamici*, analogamente a quanto accade in gravità, dove il vincolo di torsione (3.9) consente di esprimere la connessione di spin in termini del vielbein.

Questo complica notevolmente la dinamica, e tuttora la formulazione di una teoria di gauge di HS coerente è nota soltanto a livello delle equazioni del moto, formulate in termini degli infiniti campi inclusi in $w(x|y, \bar{y})$ come un sistema di infinite equazioni differenziali di primo ordine tra loro consistenti, secondo lo schema delle cosiddette *free differential algebras* (o *sistemi integrabili di Cartan*).

Esaminiamo tale formulazione partendo dalla teoria libera e seguendo l’analogia con la gravità in AdS_4 da cui siamo partiti.

5.2 Gravità con costante cosmologica

Le equazioni di Einstein che descrivono il campo gravitazionale con costante cosmologica implicano che il tensore di Ricci si annulla a meno di un termine costante proporzionale alla costante cosmologica stessa, ovvero che le sole componenti non nulle del tensore di Riemann appartengono al tensore di Weyl. Nel formalismo a due componenti, il tensore di Riemann generalizzato *à la* MacDowell-Mansouri come nella (5.5) si spezza nelle 2-forme di curvatura

$$\mathfrak{R}_{\alpha_1\alpha_2} = d\omega_{\alpha_1\alpha_2} + \omega_{\alpha_1}{}^\gamma \wedge \omega_{\alpha_2\gamma} + L^{-2} e_{\alpha_1}{}^{\dot{\gamma}} \wedge e_{\alpha_2\dot{\gamma}}, \quad (5.42)$$

$$\bar{\mathfrak{R}}_{\dot{\alpha}_1\dot{\alpha}_2} = d\bar{\omega}_{\dot{\alpha}_1\dot{\alpha}_2} + \bar{\omega}_{\dot{\alpha}_1}{}^{\dot{\gamma}} \wedge \bar{\omega}_{\dot{\alpha}_2\dot{\gamma}} + L^{-2} e^{\gamma}{}_{\dot{\alpha}_1} \wedge e_{\gamma\dot{\alpha}_2}, \quad (5.43)$$

mentre il tensore di Weyl è descritto dai due multispinori (0-forme) $C_{\alpha_1\alpha_2\alpha_3\alpha_4}$ e $\bar{C}_{\dot{\alpha}_1\dot{\alpha}_2\dot{\alpha}_3\dot{\alpha}_4}$, tra loro complessi coniugati e corrispondenti rispettivamente alle rappresentazioni (2, 0) e (0, 2) del gruppo di Lorentz.

Le equazioni di Einstein con costante cosmologica assumono quindi la forma:

$$T_{\alpha\dot{\beta}} = 0, \quad (5.44)$$

$$\mathfrak{R}_{\alpha_1\alpha_2} = e^{\beta_1\dot{\gamma}} \wedge e^{\beta_2}{}_{\dot{\gamma}} C_{\alpha_1\alpha_2\beta_1\beta_2}, \quad (5.45)$$

$$\bar{\mathfrak{R}}_{\dot{\alpha}_1\dot{\alpha}_2} = e^{\gamma\dot{\beta}_1} \wedge e_{\gamma}{}^{\dot{\beta}_2} \bar{C}_{\dot{\alpha}_1\dot{\alpha}_2\dot{\beta}_1\dot{\beta}_2}. \quad (5.46)$$

Affinché queste siano tra loro consistenti, è necessario che le 0-forme $C_{\alpha(4)}$ e $\bar{C}_{\dot{\alpha}(4)}$ soddisfino alcune relazioni differenziali, come conseguenza delle identità di Bianchi (5.9) per le curvature \mathfrak{R} e $\bar{\mathfrak{R}}$ che compaiono a primo membro,

$$\nabla C_{\alpha(4)} = e^{\beta\dot{\gamma}} C_{\alpha(4)\beta\dot{\gamma}}, \quad (5.47)$$

$$\nabla \bar{C}_{\dot{\alpha}(4)} = e^{\beta\dot{\gamma}} \bar{C}_{\beta\dot{\alpha}(4)\dot{\gamma}}, \quad (5.48)$$

dove $C_{\alpha(4)\beta\dot{\gamma}} \equiv C_{\alpha(5)\dot{\gamma}}$ e $\bar{C}_{\beta\dot{\alpha}(4)\dot{\gamma}} \equiv \bar{C}_{\beta\dot{\alpha}(5)}$ sono nuovi campi multispinoriali totalmente simmetrici separatamente negli indici puntati e non puntati, ovvero appartenenti alle rappresentazioni $(5/2, 1/2)$ e $(1/2, 5/2)$, rispettivamente. In queste equazioni $\nabla = e^{\alpha\dot{\alpha}} \nabla_{\alpha\dot{\alpha}}$ è la derivata esterna Lorentz-covariante, che agisce su un generico tensore di Lorentz $A_{\alpha\dots\dot{\beta}\dots}$ come

$$\nabla A_{\alpha\dots\dot{\beta}\dots} = dA_{\alpha\dots\dot{\beta}\dots} + \omega_{\alpha}{}^{\gamma} \wedge A_{\gamma\dots\dot{\beta}\dots} + \dots + \bar{\omega}_{\dot{\beta}}{}^{\dot{\gamma}} \wedge A_{\alpha\dots\dot{\gamma}\dots} + \dots \quad (5.49)$$

Anche le nuove 0-forme $C_{\alpha(5)\dot{\gamma}}$ e $\bar{C}_{\beta\dot{\alpha}(5)}$ devono essere soggette ad un vincolo, per mantenere la consistenza del primo membro delle (5.47) e (5.48) con l'identità di Bianchi. Tenendo presente che

$$\nabla \wedge \nabla A_{\alpha\dots\dot{\beta}\dots} = \frac{1}{2} R_{\alpha}{}^{\gamma} A_{\gamma\dots\dot{\beta}\dots} + \dots + \frac{1}{2} \bar{R}_{\dot{\beta}}{}^{\dot{\gamma}} A_{\alpha\dots\dot{\gamma}\dots} + \dots, \quad (5.50)$$

dove R ed \bar{R} sono stati definiti nelle (5.7) e (5.8), esprimendo questi ultimi in termini di \mathfrak{R} e $\bar{\mathfrak{R}}$ come

$$R_{\alpha\beta} = \mathfrak{R}_{\alpha\beta} - 2L^{-2} e_{\alpha}{}^{\dot{\gamma}} \wedge e_{\beta\dot{\gamma}}, \quad (5.51)$$

$$\bar{R}_{\dot{\alpha}\dot{\beta}} = \bar{\mathfrak{R}}_{\dot{\alpha}\dot{\beta}} - 2L^{-2} e^{\gamma}{}_{\dot{\alpha}} \wedge e_{\gamma\dot{\beta}}, \quad (5.52)$$

dove $\mathfrak{R}_{\alpha\beta}$ ed $\bar{\mathfrak{R}}_{\dot{\alpha}\dot{\beta}}$ non contribuiscono che a livello non lineare, ed usando infine le equazioni di Einstein, tale vincolo può essere scritto

$$\nabla C_{\alpha(5)\dot{\beta}} = e^{\beta\dot{\gamma}} C_{\alpha(5)\beta\dot{\beta}\dot{\gamma}} - 5L^{-2} e_{\{\alpha\dot{\beta}} C_{\alpha(4)\}_{\alpha\dot{\beta}}} + O(C^2), \quad (5.53)$$

$$\nabla \bar{C}_{\alpha\dot{\beta}(5)} = e^{\beta\dot{\gamma}} \bar{C}_{\alpha\beta\dot{\beta}(5)\dot{\gamma}} - 5L^{-2} e_{\{\alpha\dot{\beta}} \bar{C}_{\dot{\beta}(4)\}_{\alpha\dot{\beta}}} + O(\bar{C}^2), \quad (5.54)$$

dove sono state introdotte le variabili $C_{\alpha(5)\beta\dot{\beta}\dot{\gamma}} \equiv C_{\alpha(6)\dot{\beta}(2)}$ e $\bar{C}_{\alpha\beta\dot{\beta}(5)\dot{\gamma}} \equiv \bar{C}_{\alpha(2)\dot{\beta}(6)}$ e sono stati trascurati termini non lineari, dal momento che siamo per ora interessati a costruire

la teoria linearizzata. La notazione $\{\dots\}_{\alpha\dot{\beta}}$ indica che gli indici α e $\dot{\beta}$ sono simmetrizzati con gli altri indici dello stesso tipo inclusi all'interno della parentesi. La normalizzazione all'unità che la simmetrizzazione porta con sé dà ragione del fattore che compare davanti al secondo termine a secondo membro.

Iterando tale procedimento si giunge alla catena di infinite equazioni differenziali

$$\begin{aligned} \nabla C_{\alpha(n+4)\dot{\beta}(n)} &= e^{\beta\dot{\gamma}} C_{\alpha(n+4)\beta\dot{\beta}(n)\dot{\gamma}} \\ &\quad - n(n+4)L^{-2}e_{\{\alpha\dot{\beta}} C_{\alpha(n+3)\dot{\beta}(n-1)\}_{\alpha\dot{\beta}}} + O(C^2) , \end{aligned} \quad (5.55)$$

$$\begin{aligned} \nabla \bar{C}_{\alpha(n)\dot{\beta}(n+4)} &= e^{\beta\dot{\gamma}} \bar{C}_{\alpha(n)\beta\dot{\beta}(n+4)\dot{\gamma}} \\ &\quad - n(n+4)L^{-2}e_{\{\alpha\dot{\beta}} \bar{C}_{\alpha(n-1)\dot{\beta}(n+3)\}_{\alpha\dot{\beta}}} + O(\bar{C}^2) . \end{aligned} \quad (5.56)$$

Ogni equazione rappresenta la condizione di consistenza della precedente, in virtù dell'identità di Bianchi, e non aggiunge quindi informazioni sulla dinamica a quelle contenute nelle equazioni di Einstein. Il sistema di equazioni (5.44), (5.45), (5.46), (5.55) e (5.56) è quindi dinamicamente equivalente alle equazioni di Einstein con costante cosmologica.

Le (5.55) e (5.56) legano tra loro le 0-forme $C_{\alpha(n)\dot{\beta}(m)}$ e $\bar{C}_{\alpha(n)\dot{\beta}(m)}$ con $|n-m|=4$ in modo ben preciso, e rendono possibile esprimere i multispinori di rango più alto in termini di derivate di $C_{\alpha(4)}$ e $\bar{C}_{\dot{\beta}(4)}$, da cui parte la catena. Tutte le 0-forme di diverso rango non sono pertanto indipendenti da queste ultime, ma anzi formano una rappresentazione di dimensione infinita dell'algebra $so(3,2)$, detta *twisted adjoint*.

5.3 Equazioni di HS linearizzate in AdS_4

Vasiliev ha mostrato che la dinamica libera dei campi di HS può essere codificata da una generalizzazione del sistema di equazioni che descrive la gravità in AdS_4 appena esaminato, ottenuta sostituendo all'algebra di $so(3,2)$ l'algebra $shs(4)$.

Riscriviamo anzitutto le equazioni di Einstein (5.44), (5.45) e (5.46) in modo compatto come

$$\mathfrak{R}_{\alpha(n)\dot{\beta}(m)} = \delta_{n0}e^{\gamma\dot{\delta}} \wedge e^{\gamma\dot{\delta}} C_{\alpha(n)\gamma(2)} + \delta_{m0}e^{\eta\dot{\delta}} \wedge e_{\eta\dot{\delta}} \bar{C}_{\dot{\beta}(m)\dot{\delta}(2)} , \quad (5.57)$$

con $|n+m|=2(s-1)=2$. Come abbiamo visto, il tensore di Weyl ha $2s=4$ indici spinoriali, e prendendo k derivate Lorentz-covarianti del secondo membro vengono introdotte,

nella catena di equazioni (5.55) e (5.56), nuove 0-forme con ulteriori coppie di indici $\alpha, \dot{\alpha}$, del tipo $C_{\alpha(2s+k)\dot{\beta}(k)}$ e $\bar{C}_{\alpha(k)\dot{\beta}(2s+k)}$. Questo schema si generalizza a tutti gli spin $s \geq 1$.

A tale scopo estendiamo la connessione per $so(3, 2)$, definita come

$$\omega_0(x|y, \bar{y}) = \frac{i}{8} [\omega_{0\alpha\beta} y^\alpha y^\beta + \bar{\omega}_{0\dot{\alpha}\dot{\beta}} \bar{y}^{\dot{\alpha}} \bar{y}^{\dot{\beta}} + 2L^{-1} e_{0\alpha\dot{\alpha}} y^\alpha \bar{y}^{\dot{\alpha}}] \quad (5.58)$$

ad una generica connessione w a valori nella \star -algebra $shs(4)$, come nella definizione (5.38).

Inoltre, la *master 0-form*

$$C(x|y, \bar{y}) = \sum_{n,m=0}^{\infty} \frac{1}{n!m!} C^{\alpha_1 \dots \alpha_n \dot{\alpha}_1 \dots \dot{\alpha}_m}(x) y_{\alpha_1} \dots y_{\alpha_n} \bar{y}_{\dot{\alpha}_1} \dots \bar{y}_{\dot{\alpha}_m} \quad (5.59)$$

contiene il tensore di Weyl di spin 2, i campi fisici di spin 0 e 1/2, i tensori di Weyl generalizzati $C_{\alpha(2s)}$, $\bar{C}_{\dot{\alpha}(2s)}$ e le loro derivate. Un’espansione perturbativa in potenze di C , ovvero attorno alla soluzione di vuoto AdS , può essere ottenuta ponendo

$$w = w_0 + w_1 , \quad (5.60)$$

dove $w_0 \equiv \omega_0$ e $w_1 \equiv \omega$ contiene le fluttuazioni di tutti i campi di spin arbitrario rispetto al background.

Si noti che ω_0 è una soluzione particolare dell’equazione di curvatura nulla

$$d\Omega + \Omega \star \Omega = 0 , \quad (5.61)$$

(dove il prodotto esterno \wedge è sottinteso), che generalizza le (5.10), (5.11) e (5.12). La (5.61) è invariante sotto le trasformazioni di gauge di HS

$$\delta\Omega = D\epsilon = d\epsilon + [\Omega, \epsilon]_{\star} , \quad (5.62)$$

con $\epsilon(x|y, \bar{y})$ arbitrario elemento dell’algebra locale di HS, sicché la soluzione di vuoto AdS è invariante sotto trasformazioni di gauge di parametro ϵ_0 tali che

$$\delta\omega_0 = D_0\epsilon_0 = d\epsilon_0 + [\omega_0, \epsilon_0]_{\star} = 0 , \quad (5.63)$$

un’equazione di Killing generalizzata. Si può mostrare [56] che le soluzioni di questa equazione generano un’algebra isomorfa a $shs(4)$, ovvero che la soluzione di vuoto AdS ammette in effetti l’intera simmetria $shs(4)$ e non soltanto $so(3, 2)$.

Le equazioni linearizzate di HS che generalizzano le equazioni di Einstein (5.57) sono riassunte in

$$R_{1\alpha(n)\dot{\beta}(m)} = \delta_{m0}e^{\gamma\dot{\delta}} \wedge e^\gamma{}_{\dot{\delta}} C_{\alpha(n)\gamma(2)} + \delta_{n0}e^{n\dot{\delta}} \wedge e_\eta{}^{\dot{\delta}} \bar{C}_{\dot{\beta}(m)\dot{\delta}(2)} , \quad (5.64)$$

con $n + m = 2(s - 1)$. Le curvature $R_1^{\alpha(n)\dot{\beta}(m)}$ sono le componenti della curvatura di HS linearizzata

$$\begin{aligned} R_1(x|y, \bar{y}) &\equiv d\omega(x|y, \bar{y}) + \omega_0(x|y, \bar{y}) \star \omega(x|y, \bar{y}) + \omega(x|y, \bar{y}) \star \omega_0(x|y, \bar{y}) \\ &= \sum_{n,m=0}^{\infty} \frac{i}{2n!m!} R_1^{\alpha_1 \dots \alpha_n \dot{\beta}_1 \dots \dot{\beta}_m}(x) y_{\alpha_1} \dots y_{\alpha_n} \bar{y}_{\dot{\beta}_1} \dots \bar{y}_{\dot{\beta}_m} , \end{aligned} \quad (5.65)$$

che soddisfa l'identità di Bianchi

$$dR_1 = [R_1, \omega_0]_\star . \quad (5.66)$$

Sviluppando gli \star -prodotti (vedi Appendice C), si ottiene

$$R_1(x|y, \bar{y}) = \nabla_0 \omega(x|y, \bar{y}) - L^{-1} e_0^{\alpha\dot{\beta}} (y_\alpha \bar{\partial}_{\dot{\beta}} + \bar{y}_{\dot{\beta}} \partial_\alpha) \omega(x|y, \bar{y}) , \quad (5.67)$$

dove ∇_0 contiene la sola connessione di Lorentz. In analogia con il caso di spin 2, la condizione di compatibilità delle (5.64) è costituita dalla catena infinita di equazioni

$$\nabla_0 C_{\alpha(n)\dot{\beta}(m)} = \frac{1}{2} e_0^{\beta\dot{\gamma}} C_{\alpha(n)\beta\dot{\beta}(m)\dot{\gamma}} - \frac{mn}{2} L^{-2} e_{0\{\alpha\dot{\beta}} C_{\alpha(n-1)\dot{\beta}(m-1)\}_{\alpha\dot{\beta}}} , \quad (5.68)$$

con $|n - m| = 2s$ (il valore assoluto include automaticamente la catena ottenuta per complessa coniugazione). Come nel caso della gravità, tutte le 0-forme sono esprimibili come derivate di quelle che compaiono a secondo membro delle (5.64) $C_{\alpha(2s)}$ e $\bar{C}_{\dot{\beta}(2s)}$, interpretabili come tensori di Weyl generalizzati. La *master 0-form* C , che li contiene unitamente alle loro derivate e ai campi di materia, realizza una rappresentazione dell'algebra *shs(4)* detta *twisted adjoint*, che generalizza quella vista in precedenza per il caso di spin 2.

In termini della *master 0-form* C le (5.68) si scrivono, in modo compatto,

$$\mathcal{D}_0 C \equiv dC + \omega_0 \star C - C \star \bar{\pi}(\omega_0) = 0 , \quad (5.69)$$

dove \mathcal{D}_0 è la derivata covariante per la rappresentazione *twisted adjoint*, caratterizzata dal *twisting* dato dalla mappa $\bar{\pi}$.

Le mappe π e $\bar{\pi}$ possono essere definite in termini della loro azione su un generico elemento dell'algebra $shs(4)$

$$\pi(P(y, \bar{y})) = P(-y, \bar{y}) , \quad \bar{\pi}(Q(y, \bar{y})) = Q(y, -\bar{y}) . \quad (5.70)$$

Sono entrambe automorfismi involutivi della \star -algebra, ovvero mappe iniettive e suriettive di \mathcal{A}^* in se stessa, che rispettano la struttura di \star -algebra,

$$\pi(P \star Q) = \pi(P) \star \pi(Q) \quad (5.71)$$

(analogamente per $\bar{\pi}$), e sono di ordine 2,

$$\pi^2 = \bar{\pi}^2 = 1 . \quad (5.72)$$

I *twists* π e $\bar{\pi}$ invertono il segno dei generatori delle traslazioni AdS , dispari in y e \bar{y} , e trasformano così il commutatore con il vielbein in un anticommutatore, peculiarità della *twisted adjoint* rispetto all'aggiunta:

$$\mathcal{D}_0 C = \nabla_0 C + \frac{i}{4} L^{-1} \{e_{0\alpha\dot{\alpha}} y^\alpha \bar{y}^{\dot{\alpha}}, C\}_\star , \quad (5.73)$$

e hanno un simile effetto su tutti i generatori di $shs(4)$ associati a potenze dispari delle y o \bar{y} . Calcolando gli \star -prodotti il vincolo diventa

$$\mathcal{D}_0 C = \nabla_0 C + \frac{i}{2} L^{-1} e_0^{\alpha\dot{\beta}} \left(y_\alpha \bar{y}_{\dot{\beta}} - \frac{\partial}{\partial y^\alpha} \frac{\partial}{\partial \bar{y}^{\dot{\beta}}} \right) C = 0 , \quad (5.74)$$

poiché l'anticommutatore con due oscillatori produce soltanto due contrazioni, e sostituendo infine lo sviluppo in componenti di C si ottiene

$$\nabla_0 C_{\alpha(n)\dot{\beta}(m)} = \frac{i}{2} L^{-1} e_0^{\beta\dot{\gamma}} C_{\alpha(n)\beta\dot{\beta}(m)\dot{\gamma}} - i \frac{mn}{2} L^{-1} e_{0\{\alpha\dot{\beta}} C_{\alpha(n-1)\dot{\beta}(m-1)\}_{\alpha\dot{\beta}}} , \quad (5.75)$$

che differisce dalla (5.68) nei soli fattori di proporzionalità i ed L , e quindi è nuovamente la condizione di compatibilità delle (5.64)⁵. Benché in questo senso equivalente alla (5.68),

⁵Come preciseremo ulteriormente in seguito, quest'ultima proprietà dipende infatti dalla struttura indiciale comune alle (5.68) e (5.75), e non dai fattori che moltiplicano i termini che le costituiscono.

riportiamo la (5.75) poiché la utilizzeremo per ricavare le usuali equazioni del moto in AdS_4 dei diversi spin. La prima può comunque essere ottenuta dalla (5.69) sostituendovi uno sviluppo in componenti della *master 0-form* che includa opportunamente fattori di L , come [51]

$$C(x|y, \bar{y}) = \sum_{n,m=0}^{\infty} \frac{L^{-(2-\frac{n+m}{2})}}{n!m!} C^{\alpha_1 \dots \alpha_n \dot{\alpha}_1 \dots \dot{\alpha}_m}(x) y_{\alpha_1} \dots y_{\alpha_n} \bar{y}_{\dot{\alpha}_1} \dots \bar{y}_{\dot{\alpha}_m} , \quad (5.76)$$

accompagnato da

$$\omega(x|y, \bar{y}) = \sum_{n,m=0}^{\infty} \frac{iL^{-(1-|\frac{n-m}{2}|)}}{2n!m!} \omega^{\alpha_1 \dots \alpha_n \dot{\alpha}_1 \dots \dot{\alpha}_m}(x) y_{\alpha_1} \dots y_{\alpha_n} \bar{y}_{\dot{\alpha}_1} \dots \bar{y}_{\dot{\alpha}_m} . \quad (5.77)$$

La (5.69) è invariante sotto la simmetria di Killing

$$\delta C = -\epsilon_0 \star C + C \star \bar{\pi}(\epsilon_0) , \quad (5.78)$$

che costituisce un'altra definizione della *twisted adjoint*, se il parametro ϵ_0 soddisfa la (5.63).

Notiamo ancora che, oltre alle simmetrie di Killing (5.63) e (5.78), le equazioni (5.64) e (5.69) ammettono anche le simmetrie di gauge dei vari campi fluttuanti rispetto al fondo AdS ,

$$\delta \omega = d\epsilon + [\omega_0, \epsilon]_{\star} , \quad \delta C = 0 , \quad (5.79)$$

dove ϵ è un parametro locale arbitrario a valori nell'algebra $shs(4)$.

Come osservato nell'esempio della gravità, il sistema di equazioni linearizzate (5.69) si decompone in sottosistemi indipendenti con $|n-m|$ fissato; ciascuno di questi è costituito da infinite equazioni che, come verificheremo, descrivono la dinamica di un campo di spin s e massa nulla. Per $s > 1$, la (5.69) è la condizione di consistenza del sistema (5.64). Per $s = 1$ la (5.69) costituisce invece un vincolo indipendente e contiene le equazioni di Maxwell. Per i campi di materia di spin $s = 0, 1/2$ ovviamente non esiste un analogo delle equazioni di Einstein, poiché non esiste un campo di gauge ad essi associato; tuttavia le loro equazioni sono contenute nei settori con $|n-m| = 0, 1$, rispettivamente, della (5.69).

5.4 Esempi e classificazione dei campi HS

Il modo in cui le usuali equazioni di moto libere di un campo di spin s sono incorporate in un sistema di infinite equazioni coinvolgenti infiniti campi $C_{\alpha(n)\dot{\beta}(m)}$ con $|n - m| = 2s$, generalizzando quanto visto per spin 2, è singolare e merita di essere esaminato in dettaglio [38, 55, 56].

Consideriamo anzitutto il caso di spin $s = 0$, ovvero il settore $|n - m| = 0$ della (5.69). Per $n = m = 0$ la (5.75) diventa (omettendo d’ora in poi l’indice 0)

$$C_{\alpha\dot{\beta}} = iL e_{\alpha\dot{\beta}}^{\mu} \nabla_{\mu} C , \quad (5.80)$$

che semplicemente esprime $C_{\alpha\dot{\beta}}$ come derivata covariante della 0-forma C di rango più basso del settore in questione. Qui $e_{\alpha\dot{\beta}}^{\mu}$ è il vielbein inverso, che ha le usuali proprietà

$$e_{\alpha\dot{\beta}}^{\mu} e_{\mu,\gamma\dot{\delta}} = -2\varepsilon_{\alpha\gamma}\varepsilon_{\dot{\beta}\dot{\delta}} , \quad g^{\mu\nu} = -\frac{1}{2}e_{\alpha\dot{\beta}}^{\mu} e^{\nu,\alpha\dot{\beta}} . \quad (5.81)$$

La seconda equazione della catena, con $n = m = 1$, è

$$\nabla_{\mu} C_{\alpha\dot{\beta}} = \frac{i}{2}L^{-1}e_{\mu}^{\gamma\dot{\delta}}C_{\alpha\gamma\dot{\beta}\dot{\delta}} - \frac{i}{2}L^{-1}e_{\mu,\alpha\dot{\beta}}C , \quad (5.82)$$

la quale, contraendo ovunque gli indici con $e^{\mu,\alpha\dot{\beta}}$ e ricordando la totale simmetria delle 0-forme negli indici di ciascun tipo, conduce a

$$e^{\mu,\alpha\dot{\beta}}\nabla_{\mu}C_{\alpha\dot{\beta}} - 4iL^{-1}C = 0 . \quad (5.83)$$

Usando infine la (5.80) otteniamo l’equazione di Klein-Gordon in AdS_4

$$\square C + 2L^{-2}C = 0 , \quad (5.84)$$

dove il termine di massa è quello associato ad un campo scalare di “massa nulla” in AdS_4 . La (5.82) non contiene ulteriori informazioni sulla dinamica, ma lega soltanto il campo $C_{\alpha\alpha\dot{\beta}\dot{\beta}}$ alla derivata seconda di C :

$$C_{\alpha\alpha\dot{\beta}\dot{\beta}} = (iL)^2 e_{\alpha\dot{\beta}}^{\nu} \nabla_{\nu} e_{\alpha\dot{\beta}}^{\mu} \nabla_{\mu} C . \quad (5.85)$$

Allo stesso modo, tutte le altre equazioni del settore scalare con $n = m > 1$ esprimono le 0-forme di rango più alto della catena in termini di derivate di ordine n del campo C , senza imporre su quest'ultimo nuove condizioni:

$$C_{\alpha(n)\dot{\beta}(n)} = (iL)^n e_{\alpha\dot{\beta}}^{\mu_1} \nabla_{\mu_1} \dots e_{\alpha\dot{\beta}}^{\mu_n} \nabla_{\mu_n} C . \quad (5.86)$$

Questo mostra come il sottosistema $n = m$ della (5.69) descriva effettivamente un campo scalare ed abbia esattamente lo stesso contenuto fisico dell'equazione di Klein-Gordon. Riassumendo, un campo di spin 0 è descritto da una collezione infinita di 0-forme totalmente simmetriche separatamente nei due tipi di indici, soggette al vincolo di costanza covariante (5.69). Tale vincolo ha inoltre la sua condizione di consistenza nell'equazione di curvatura nulla (5.61), la quale da un lato definisce, attraverso la sua soluzione di vuoto ω_0 , la connessione che compare in \mathcal{D}_0 , e dall'altro implica $(\mathcal{D}_0)^2 = 0$, sicché le successive equazioni della catena non forniscono ulteriori condizioni. Questo equivale a dire che la collezione di 0-forme che tale catena coinvolge genera una rappresentazione dell'intera algebra $shs(4)$ (ciò risulta a maggior ragione evidente dal solo fatto che la (5.61) implica la consistenza formale di (5.69) indipendentemente dalla sua soluzione particolare AdS).

Il fatto che le 0-forme che descrivono il campo siano soggette al vincolo, puramente algebrico e non differenziale, di totale simmetria negli indici spinoriali interni di ciascun tipo svolge un ruolo cruciale nel codificare la dinamica del campo stesso. È infatti soltanto in virtù di questa condizione che la (5.82) contiene l'equazione di Klein-Gordon, come sopra sottolineato. Questo fatto è importante e completamente generale: senza questo vincolo algebrico, l'intero sistema (5.69) sarebbe ancora consistente ma dinamicamente vuoto! I suoi diversi settori non conterrebbero altro che equazioni che esprimono multi-spinori di rango sempre più alto come derivate di alcune variabili dinamiche indipendenti. In questo senso si può affermare che in questa formulazione i vincoli algebrici sulle 0-forme contengono l'informazione dinamica fondamentale.

In modo analogo, un fermione di spin 1/2 viene descritto dalla catena di campi $C_{\alpha(n)\dot{\beta}(m)}$ con $|n - m| = 1$. La prima equazione è data dalla (5.75) per $n = 1, m = 0$:

$$\nabla_{\mu} C_{\alpha} = \frac{i}{2} L^{-1} e_{\mu}^{\gamma\delta} C_{\alpha\gamma\delta} . \quad (5.87)$$

Grazie alla totale simmetria di $C_{\alpha\gamma\delta}$ negli indici spinoriali α e γ , essa contiene l'equazione di Dirac (o meglio, l'equazione di Weyl di uno spinore sinistro C_α , mentre quella per lo spinore destro $C_{\dot{\alpha}}$ segue dalla complessa coniugata della (5.87)) in AdS_4 , come diviene evidente contraendo con $e_{\alpha\dot{\beta}}^\mu$ (in virtù della (5.81))

$$e_{\alpha\dot{\beta}}^\mu \nabla_\mu C^\alpha = 0 , \quad (5.88)$$

mentre le restanti equazioni della catena non aggiungono ulteriori condizioni sul campo fisico C_α , limitandosi ad esprimere attraverso derivate di ordine via via crescente di quest'ultimo i tensori di rango più alto della catena.

Il caso di spin $s = 1$ è il primo in cui le equazioni del moto seguono dall'analisi combinata di (5.75) e (5.64), quest'ultima non essendo altro che la definizione delle curvature linearizzate di spin 1. La prima, nel settore $|n - m| = 2$ ed in particolare all'inizio della catena ($n = 2, m = 0$), fornisce

$$\nabla_{\alpha\dot{\alpha}} C_{\beta_1\beta_2} = -iL^{-1} C_{\alpha\beta_1\beta_2\dot{\alpha}} , \quad (5.89)$$

insieme alla complessa coniugata ($n = 0, m = 2$), mentre la seconda dà

$$R_{\mu\nu}^1 = e_{[\mu}^{\alpha\dot{\delta}} e_{\nu]}^{\beta} \delta C_{\alpha\beta} + e_{[\mu}^{\eta\dot{\alpha}} e_{\nu]\eta}^{\dot{\beta}} \bar{C}_{\dot{\alpha}\dot{\beta}} . \quad (5.90)$$

Prendendo la derivata Lorentz-covariante di ambo i membri, ricordando il vincolo di torsione nulla e usando la (5.89) si ottiene

$$\nabla_\rho R_{\mu\nu}^1 = -iL^{-1} \{ e_{[\mu}^{\alpha\dot{\delta}} e_{\nu]}^{\beta} \delta e_\rho^{\gamma\dot{\gamma}} C_{\alpha\beta\gamma\dot{\gamma}} + e_{[\mu}^{\eta\dot{\alpha}} e_{\nu]\eta}^{\dot{\beta}} e_\rho^{\gamma\dot{\gamma}} \bar{C}_{\dot{\gamma}\dot{\alpha}\dot{\beta}} \} . \quad (5.91)$$

Contraendo ambo i membri con $g^{\mu\rho}$ ed usando le identità

$$g^{\mu\rho} e_{[\mu}^{\alpha\dot{\delta}} e_{\nu]}^{\beta} \delta e_\rho^{\gamma\dot{\gamma}} = 0 , \quad g^{\mu\rho} e_{[\mu}^{\eta\dot{\alpha}} e_{\nu]\eta}^{\dot{\beta}} e_\rho^{\gamma\dot{\gamma}} = 0 , \quad (5.92)$$

si giunge infine all'equazione di moto per la curvatura $R_1^{\mu\nu}$ di spin 1,

$$\nabla^\mu R_{\mu\nu}^1 = 0 . \quad (5.93)$$

Notiamo che anche in questo caso la totale simmetria delle componenti della *master 0-form* C negli indici spinoriali di ciascun tipo gioca un ruolo cruciale, rendendo possibile

l'utilizzo delle identità sopra citate che annullano il secondo membro delle (5.91). Dalla (5.67) per $s = 1$, tenendo conto che il generatore corrispondente al campo di gauge di spin 1 ha spin 0, si ottiene

$$R_{\mu\nu}^1 = \nabla_{[\mu}\omega_{\nu]} , \quad (5.94)$$

che, sostituita in (5.93), determina le equazioni del moto per la connessione di spin 1 in AdS_4 ,

$$\square\omega_\nu - \nabla_\nu(\nabla \cdot \omega) + \frac{3}{L^2}\omega_\nu = 0 , \quad (5.95)$$

ove $\square = \nabla^\mu \nabla_\mu$ e l'ultimo termine, contenente la scala caratteristica di AdS , proviene da $-\nabla_{[\mu} \nabla_{\nu]} \omega_\mu$, in cui il commutatore produce il tensore di Ricci di AdS_4 , $R_\nu^\mu = -\frac{3}{L^2}\delta_\nu^\mu$. Il termine di massa è, nuovamente, quello corretto per un campo di spin 1 e “massa nulla” in AdS_4 . Contraendo ambo i membri della (5.91) con il tensore totalmente antisimmetrico $\varepsilon^{\sigma\rho\mu\nu}$ ed usando le identità

$$\varepsilon^{\sigma\mu\nu\rho} e_{[\mu}^{(\alpha|\delta} e_{\nu]}^{|\beta} \delta e_{\rho}^{\gamma)\dot{\gamma}} = 0 , \quad \varepsilon^{\sigma\mu\nu\rho} e_{[\mu}^{\eta(\dot{\alpha}} e_{\nu]\eta}^{\dot{\beta}|} e_{\rho}^{\gamma|\dot{\gamma}} = 0 , \quad (5.96)$$

si ottengono anche le identità di Bianchi

$$\varepsilon^{\sigma\rho\mu\nu} \nabla_\rho R_{\mu\nu}^1 = 0 , \quad (5.97)$$

che completano le equazioni di Maxwell in AdS_4 . Al solito, le successive equazioni della catena non forniscono ulteriori condizioni indipendenti sul campo fisico.

Da spin $s \geq 3/2$ in poi, le (5.69), come osservato nel caso della gravità, non contengono vincoli indipendenti dalle (5.64), ma esprimono soltanto i multispinori $C_{\alpha(n)\dot{\beta}(m)}$ come derivate dei tensori di Weyl di HS, definiti dalle (5.64)

$$C_{\alpha(n)\dot{\beta}(m)} = (iL)^{\frac{1}{2}(n+m-2s)} e_{\alpha\dot{\beta}}^{\mu_1} \nabla_{\mu_1} \dots e_{\alpha\dot{\beta}}^{\mu_{\frac{1}{2}(n+m-2s)}} \nabla_{\mu_{\frac{1}{2}(n+m-2s)}} C_{\alpha(2s)} , \quad n \geq m \quad (5.98)$$

o

$$C_{\alpha(n)\dot{\beta}(m)} = (iL)^{\frac{1}{2}(n+m-2s)} e_{\alpha\dot{\beta}}^{\mu_1} \nabla_{\mu_1} \dots e_{\alpha\dot{\beta}}^{\mu_{\frac{1}{2}(n+m-2s)}} \nabla_{\mu_{\frac{1}{2}(n+m-2s)}} C_{\dot{\beta}(2s)} , \quad m \geq n . \quad (5.99)$$

Per spin $s \geq 3/2$ si procede nello stesso modo, anche se l'analisi dei vincoli è in generale più complicata, e l'eliminazione dei campi ausiliari richiede l'uso combinato dei vincoli

di torsione generalizzati (contenuti nelle (5.64), come visto nel caso della gravità), delle simmetrie di gauge e dell'identità di Bianchi.

Esaminiamo questo procedimento nel caso di spin $s = 3$. È conveniente anzitutto decomporre i campi di gauge, le loro derivate, le curvature e le trasformazioni di gauge in tensori Lorentz-irriducibili (n, m) . I campi di gauge di spin 3 contengono:

$$\omega_{\mu\alpha(2)\dot{\beta}(2)} = \omega(3, 3) + \omega(3, 1) + \omega(1, 3) + \omega(1, 1) , \quad (5.100)$$

$$\omega_{\mu\alpha(3)\dot{\beta}(1)} = \omega(4, 2) + \omega(4, 0) + \omega(2, 2) + \omega(2, 0) , \quad (5.101)$$

$$\omega_{\mu\alpha(4)\dot{\beta}(0)} = \omega(5, 1) + \omega'(3, 1) , \quad (5.102)$$

$$\omega_{\mu\alpha(1)\dot{\beta}(3)} = \overline{\omega_{\mu\alpha(3)\dot{\beta}(1)}} , \quad (5.103)$$

$$\omega_{\mu\alpha(0)\dot{\beta}(4)} = \overline{\omega_{\mu\alpha(4)\dot{\beta}(0)}} , \quad (5.104)$$

dove $\overline{\omega_{\mu\alpha(n)\dot{\beta}(m)}}$ indica naturalmente il complesso coniugato di $\omega_{\mu\alpha(n)\dot{\beta}(m)}$ e la complessa coniugazione scambia le etichette (n, m) nelle rappresentazioni irriducibili in cui decomponiamo i campi. Procediamo analogamente con le curvature linearizzate di spin 3, ricordando che

$$R_{\mu\nu\alpha(n)\dot{\beta}(m)}^1 = -\frac{1}{4}(\sigma_{\mu\nu})^{\alpha\beta} R_{\alpha\beta,\alpha(n)\dot{\beta}(m)}^1 - \frac{1}{4}(\bar{\sigma}_{\mu\nu})^{\dot{\alpha}\dot{\beta}} R_{\dot{\alpha}\dot{\beta},\alpha(n)\dot{\beta}(m)}^1 , \quad (5.105)$$

come segue dalla (B.26). Si ottiene quindi

$$R_{\alpha\beta,\alpha(2)\dot{\beta}(2)}^1 = R(4, 2) + R(2, 2) + R(0, 2) , \quad (5.106)$$

$$R_{\dot{\alpha}\dot{\beta},\alpha(2)\dot{\beta}(2)}^1 = \overline{R_{\alpha\beta,\alpha(2)\dot{\beta}(2)}^1} , \quad (5.107)$$

$$R_{\alpha\beta,\alpha(3)\dot{\beta}(1)}^1 = R(5, 1) + R(3, 1) + R(1, 1) , \quad (5.108)$$

$$R_{\dot{\alpha}\dot{\beta},\alpha(3)\dot{\beta}(1)}^1 = R(3, 3) + R'(3, 1) , \quad (5.109)$$

$$R_{\alpha\beta,\alpha(4)\dot{\beta}(0)}^1 = R(6, 0) + R(4, 0) + R'(2, 0) , \quad (5.110)$$

$$R_{\dot{\alpha}\dot{\beta},\alpha(4)\dot{\beta}(0)}^1 = R'(4, 2) . \quad (5.111)$$

Iniziamo la nostra analisi dalla componente $n = m = s - 1 = 2$ della (5.64), ovvero dal vincolo

$$R_{\mu\nu\alpha(2)\dot{\beta}(2)}^1 = 2\nabla_{[\mu}\omega_{\nu]\alpha(2)\dot{\beta}(2)} + 2e_{[\mu|\alpha}{}^{\dot{\alpha}}\omega_{|\nu]\alpha(1)\dot{\beta}(2)\dot{\alpha}} + 2e_{[\mu|\dot{\alpha}}{}^{\beta}\omega_{|\nu]\alpha(2)\beta\dot{\beta}(1)} = 0 \quad (5.112)$$

(ove stiamo sottintendendo, per semplicità di notazione, la totale simmetria tra indici spinoriali dello stesso tipo). Tenendo presenti le (5.106) e (5.107) e chiamando $\lambda(n, m)$ le rappresentazioni irriducibili contenute in $\nabla_{[\mu}\omega_{\nu]\alpha(2)\dot{\beta}(2)}$, $\omega(n, m)$ ed $\bar{\omega}(n, m)$ quelle contenute in $\omega_{\alpha\dot{\alpha},\beta(3)\dot{\beta}(1)}$ e $\omega_{\alpha\dot{\alpha},\beta(1)\dot{\beta}(3)}$, rispettivamente, possiamo riscrivere in modo schematico tale vincolo come

$$R(4, 2) = \lambda(4, 2) + \omega(4, 2) = 0, \quad (5.113)$$

$$R(2, 2) = \lambda(2, 2) + \omega(2, 2) + \bar{\omega}(2, 2) = 0, \quad (5.114)$$

$$R(0, 2) = \lambda(0, 2) + \bar{\omega}(0, 2) = 0, \quad (5.115)$$

insieme alle complesse coniugate. Questo significa che il vincolo $R^1_{\mu\nu\alpha(2)\dot{\beta}(2)} = 0$ determina le componenti Lorentz-irriducibili $\omega(4, 2)$, $\omega(2, 2)$, $\omega(2, 0)$ di $\omega_{\mu\alpha(3)\dot{\beta}(1)}$ (e le corrispondenti complesse coniugate di $\omega_{\mu\alpha(1)\dot{\beta}(3)}$) in termini di quelle del rotore Lorentz-covariante di $\omega_{\mu\alpha(2)\dot{\beta}(2)}$. Resta tuttavia indeterminata la componente $\omega(4, 0)$ ($\omega(0, 4)$) di $\omega_{\mu\alpha(3)\dot{\beta}(1)}$ ($\omega_{\mu\alpha(1)\dot{\beta}(3)}$), che non compare nel vincolo. Ma le equazioni (5.64) e (5.75) ammettono la simmetria di gauge (5.79) e la trasformazione delle 1-forme si riscrive esplicitamente

$$\delta\omega_{\mu\alpha(n)\dot{\beta}(m)} = \nabla_{\mu}\epsilon_{\alpha(n)\dot{\beta}(m)} + ne_{\mu\alpha}{}^{\dot{\alpha}}\epsilon_{\alpha(n-1)\dot{\beta}(m)\dot{\alpha}} + me_{\mu\dot{\alpha}}{}^{\beta}\epsilon_{\alpha(n)\beta\dot{\beta}(m-1)} \quad (5.116)$$

dove la simmetrizzazione degli indici dello stesso tipo è nuovamente implicita. Risulta quindi chiaro che la componente indeterminata $\omega(4, 0)$ ha una trasformazione di gauge proporzionale al parametro $\epsilon(4, 0)$, il quale, d'altra parte, lascia inalterato il campo $\omega_{\mu\alpha(2)\dot{\beta}(2)}$ (poiché quest'ultimo non contiene alcuna rappresentazione irriducibile del tipo $(4, 0)$). In altri termini, $\omega(4, 0)$ è un campo di Stueckelberg, pura gauge, e può essere eliminato utilizzando $\epsilon(4, 0)$, il che equivale a porsi in una gauge “fisica”. Identiche considerazioni valgono per il caso complesso coniugato, e tralascieremo d'ora in poi riferimenti espliciti ad esso.

A questo punto possiamo dire di aver interamente determinato il campo $\omega_{\mu\alpha(3)\dot{\beta}(1)}$ in termini del rotore del campo $\omega_{\mu\alpha(2)\dot{\beta}(2)}$, ovvero di aver eliminato il campo ausiliario $\omega_{\mu\alpha(3)\dot{\beta}(1)}$.

Ulteriori vincoli vengono forniti dall'identità di Bianchi,

$$D_{[\mu}R^1_{\nu\rho]\alpha(n)\dot{\beta}(m)} = \nabla_{[\mu}R^1_{\nu\rho]\alpha(n)\dot{\beta}(m)} + ne_{[\mu\alpha}{}^{\dot{\alpha}}R^1_{\nu\rho]\alpha(n-1)\dot{\beta}(m)\dot{\alpha}}$$

$$+ m e_{[\mu|\dot{\alpha}}{}^{\beta} R_{|\nu\rho]\alpha(n)\beta\dot{\beta}(m-1)}^1 = 0 , \quad (5.117)$$

usando il precedente vincolo di curvatura $R_{\mu\nu\alpha(2)\dot{\beta}(2)}^1 = 0$. Decomponiamo anche l'identità di Bianchi in termini di tensori irriducibili. Moltiplicando ambo i membri per $\varepsilon^{\lambda\mu\nu\rho}(\sigma_{\lambda})_{\gamma\dot{\gamma}}$ ed utilizzando le identità (5.105), (B.15) e (B.16), la (5.117) si può anzitutto riscrivere come

$$\begin{aligned} & \nabla_{\dot{\alpha}}{}^{\gamma} R_{\gamma\alpha,\beta(n)\dot{\beta}(m)}^1 - \nabla_{\alpha}{}^{\dot{\gamma}} R_{\dot{\gamma}\dot{\alpha},\beta(n)\dot{\beta}(m)}^1 \\ &= n \left[R_{\alpha\beta(1),\beta(n-1)\dot{\alpha}\dot{\beta}(m)}^1 - \varepsilon_{\alpha\beta(1)} R_{\dot{\alpha}}{}^{\dot{\gamma}}{}_{,\beta(n-1)\dot{\gamma}\dot{\beta}(m)}^1 \right] \\ & \quad - m \left[R_{\dot{\alpha}\dot{\beta}(1),\alpha\beta(n)\dot{\beta}(m-1)}^1 - \varepsilon_{\dot{\alpha}\dot{\beta}(1)} R_{\alpha}{}^{\gamma}{}_{,\gamma\beta(n)\dot{\beta}(m-1)}^1 \right] . \end{aligned} \quad (5.118)$$

Inoltre

$$\begin{aligned} (DR^1)_{\gamma\dot{\gamma},\alpha(2)\dot{\beta}(2)} &= DR(3,3) + DR(3,1) + \overline{DR}(1,3) \\ & \quad + DR(1,1) , \end{aligned} \quad (5.119)$$

$$\begin{aligned} (DR^1)_{\gamma\dot{\gamma},\alpha(3)\dot{\beta}(1)} &= DR(4,2) + DR(4,0) + DR(2,2) \\ & \quad + DR(2,0) , \end{aligned} \quad (5.120)$$

$$(DR^1)_{\gamma\dot{\gamma},\alpha(4)\dot{\beta}(0)} = DR(5,1) + DR(3,1) , \quad (5.121)$$

e, come possiamo leggere dalla (5.118) sostituendovi il vincolo di curvatura suddetto, le condizioni fornite dall'identità di Bianchi sono, schematicamente,

$$DR(3,3) = 0 \Rightarrow R'(3,3) - \bar{R}'(3,3) = 0 , \quad (5.122)$$

$$DR(3,1) = 0 \Rightarrow R'(3,1) + R(3,1) = 0 , \quad (5.123)$$

$$DR(1,1) = 0 \Rightarrow R(1,1) - \bar{R}(1,1) = 0 , \quad (5.124)$$

da cui deduciamo, tra l'altro, che $R'(3,3)$ ed $R(1,1)$ sono entrambi reali.

La decomposizione in tensori irriducibili dell'ulteriore vincolo di curvatura $R_{\mu\nu\alpha(3)\dot{\beta}(1)}^1 = 0$ si traduce nelle condizioni

$$R'(3,3) = 0 , \quad (5.125)$$

$$R(1,1) = 0 , \quad (5.126)$$

$$R'(3,1) + R(3,1) = 0 , \quad (5.127)$$

$$R(5,1) = 0 . \quad (5.128)$$

Si può mostrare inoltre che la (5.127) annulla una combinazione lineare di $R'(3, 1)$ ed $R(3, 1)$ indipendente da quella che appare nell'identità di Bianchi (in particolare nella (5.123)), rendendo in tal modo possibile annullare separatamente i due tensori irriducibili. Esplicitando allora il contenuto in rappresentazioni irriducibili dei campi di gauge dei vincoli appena ottenuti,

$$R(5, 1) = \lambda(5, 1) + \omega(5, 1) = 0 , \quad (5.129)$$

$$R(1, 1) = \lambda(1, 1) + \omega(1, 1) = 0 , \quad (5.130)$$

$$R'(3, 1) = \lambda'(3, 1) + \omega'(3, 1) = 0 , \quad (5.131)$$

$$R(3, 1) = \lambda(3, 1) + \omega(3, 1) = 0 , \quad (5.132)$$

è evidente che possiamo esprimere entrambe le componenti irriducibili del campo $\omega_{\mu\alpha(4)\dot{\beta}(0)}$ in termini di quelle del rotore di $\omega_{\mu\alpha(3)\dot{\beta}(1)}$, e che queste ultime sono a loro volta esprimibili in termini di quelle di $\omega_{\mu\alpha(2)\dot{\beta}(2)}$. Scopriamo così che anche $\omega_{\mu\alpha(4)\dot{\beta}(0)}$ è un campo ausiliario, e $\omega_{\mu\alpha(2)\dot{\beta}(2)}$ è il solo campo fisico, sul quale i rimanenti vincoli di curvatura non pongono ulteriori condizioni. Tuttavia, non tutte le rappresentazioni irriducibili in esso contenute corrispondono a gradi di libertà fisici: basta infatti osservare la trasformazione di gauge di $\omega_{\mu\alpha(2)\dot{\beta}(2)}$, secondo la (5.116), per notare che la componente $\omega(3, 1)$ trasforma proporzionalmente al parametro $\epsilon(3, 1)$ e può dunque essere annullata.

Troviamo dunque che le componenti fisiche corrispondono ai tensori irriducibili $\omega(3, 3)$ ed $\omega(1, 1)$, entrambi reali. Le equazioni del moto per tali componenti dinamiche sono le (5.125) e (5.126), che possono esser riscritte come

$$e_{\{\dot{\beta}_1\}}^{(0)\beta} \wedge R_{\beta\alpha_1\alpha_2|\dot{\beta}_2\}_{\dot{\beta}}}^1 = 0 , \quad (5.133)$$

dove abbiamo esplicitato l'indice 0 sinora soppresso.

Si può mostrare che la (5.133) corrisponde effettivamente all'equazione di Fronsdal su AdS_4 per il campo di spin 3 $\omega_{\mu\nu\rho}$, reale e totalmente simmetrico, dato da

$$\omega_{\mu\nu\rho} = e_{(\nu}^{(0)\alpha_1\dot{\beta}_1} e_{\rho}^{(0)\alpha_2\dot{\beta}_2} \omega_{\mu)\alpha_1\alpha_2\dot{\beta}_1\dot{\beta}_2} , \quad (5.134)$$

vale a dire

$$\square\omega_{\mu\nu\rho} - 3\nabla_{(\mu}\nabla \cdot \omega_{\nu\rho)} + \frac{3}{2}\{\nabla_{(\mu}, \nabla_{\nu)}\omega^{\sigma}_{\sigma\rho)} - \frac{1}{L^2}\omega_{\mu\nu\rho} + \frac{2}{L^2}g_{(\mu\nu}\omega^{\sigma}_{\sigma\rho)} = 0 . \quad (5.135)$$

Si noti che il campo $\omega_{\mu\nu\rho}$ costruito come in (5.134) non è a traccia nulla. Inoltre, la sua variazione sotto la trasformazione di gauge data dall'unico parametro di spin $s - 1 = 2$ non ancora fissato, $\epsilon(2, 2)$, corrisponde alla simmetria locale dell'equazione di Fronsdal covariantizzata (rispetto al background AdS) per spin 3,

$$\delta\omega_{\mu\nu\rho} = 3\nabla_{(\mu}\epsilon_{\nu\rho)} , \quad (5.136)$$

dove $\epsilon_{\nu\rho} = e_{\nu}^{(0)\alpha_1\dot{\beta}_1} e_{\rho}^{(0)\alpha_2\dot{\beta}_2} \epsilon_{\alpha_1\alpha_2\dot{\beta}_1\dot{\beta}_2}$ è simmetrico e a traccia nulla, in conseguenza, al solito, della totale simmetria tra gli $\alpha_1\alpha_2$ e $\dot{\beta}_1\dot{\beta}_2$, separatamente.

L'analisi procede analogamente per spin arbitrario. Le componenti dei vincoli (5.64) che non vengono usate per determinare i campi ausiliari in termini di quelli fisici contengono le equazioni del moto per questi ultimi. Per ogni $s \geq 3/2$ le equazioni del moto linearizzate hanno quindi la forma

$$e_{\{\dot{\beta}_1\}}^{(0)\beta} \wedge R_{\beta\alpha_1\dots\alpha_{s-1}|\dot{\beta}_2\dots\dot{\beta}_{s-1}\dot{\beta}}^1 = 0 , \quad s = 2, 3, \dots , \quad (5.137)$$

$$e_{\{\dot{\beta}_1\}}^{(0)\beta} \wedge R_{\beta\alpha_1\dots\alpha_{s-1/2}|\dot{\beta}_2\dots\dot{\beta}_{s-3/2}\dot{\beta}}^1 = 0 , \quad s = \frac{3}{2}, \frac{5}{2}, \dots . \quad (5.138)$$

Per spin intero, le (5.137) sono equazioni di secondo ordine nei campi fisici $\omega_{\mu\alpha(s-1)\dot{\beta}(s-1)}$, come si vede notando che la curvatura linearizzata $R_{\alpha(s)\dot{\beta}(s-2)}^1$ contiene il rotore del campo ausiliario $\omega_{\mu\alpha(s)\dot{\beta}(s-2)}$, che a sua volta è esprimibile attraverso il rotore del campo fisico $\omega_{\mu\alpha(s-1)\dot{\beta}(s-1)}$ per mezzo del vincolo di curvatura $R_{\alpha(s-1)\dot{\beta}(s-1)}^1 = 0$. Le equazioni (5.138) sono invece di primo ordine per i campi fisici $\omega_{\mu\alpha(s-1/2)\dot{\beta}(s-3/2)}$, di spin semi-intero.

Da spin $s = 4$ in poi (nel settore bosonico) la condizione di doppia traccia nulla, caratteristica dei campi di spin arbitrario nella formulazione di Fronsdal, è non banale. I campi fisici $\omega_{\mu\alpha(s-1)\dot{\beta}(s-1)}$ danno luogo, analogamente a quanto visto nell'esempio di spin 3, ai campi totalmente simmetrici

$$\omega_{\mu_1\dots\mu_s} = e_{(\mu_2}^{(0)\alpha_1\dot{\beta}_1} \dots e_{\mu_s}^{(0)\alpha_{s-1}\dot{\beta}_{s-1}} \omega_{\mu_1)\alpha_1\dots\alpha_{s-1}\dot{\beta}_1\dots\dot{\beta}_{s-1}} , \quad (5.139)$$

che sono effettivamente a doppia traccia nulla:

$$g^{\mu\nu} g^{\rho\sigma} \omega_{\mu\nu\rho\sigma\lambda(s-4)} = 0 . \quad (5.140)$$

Le loro equazioni del moto (5.137) contengono le equazioni di Fronsdal e sono invarianti sotto le trasformazioni di gauge

$$\delta\omega_{\mu_1\dots\mu_s} = s\nabla_{(\mu_1}\epsilon_{\mu_2\dots\mu_s)} \quad (5.141)$$

dove i parametri $\epsilon_{\mu_1\dots\mu_{s-1}}$ hanno tracce nulle.

Le equazioni del moto libere per tutti i campi di massa nulla e spin arbitrario in AdS_4 possono dunque essere raccolte nelle tre condizioni

$$d\omega_0 + \omega_0 \star \omega_0 = 0 , \quad (5.142)$$

$$R_1(x|y, \bar{y}) = \frac{i}{4} \left[e^{\alpha\dot{\gamma}} \wedge e^{\beta}_{\dot{\gamma}} \frac{\partial}{\partial y^\alpha} \frac{\partial}{\partial y^\beta} C(x|y, 0) + e^{\gamma\dot{\alpha}} \wedge e_{\dot{\gamma}}^{\beta} \frac{\partial}{\partial \bar{y}^{\dot{\alpha}}} \frac{\partial}{\partial \bar{y}^{\dot{\beta}}} C(x|0, \bar{y}) \right] , \quad (5.143)$$

$$\mathcal{D}_0 C(x|y, \bar{y}) = 0 , \quad (5.144)$$

dove la seconda equazione è una riscrittura della (5.64) in termini della *master 2-form* R_1 e della *master 0-form* C . Questo è il contenuto del cosiddetto *Central On-Mass-Shell Theorem* di Vasiliev [38].

Come abbiamo osservato, ciascuna di queste tre equazioni è consistente. In particolare, (5.142) costituisce la condizione di compatibilità di se stessa e di (5.144), mentre quest'ultima garantisce la consistenza del sistema (5.143). L'identità di Bianchi (5.66) implica infatti che il secondo membro sia covariantemente costante,

$$\begin{aligned} 0 &= D_0 \left(e^{\alpha\dot{\gamma}} \wedge e^{\beta}_{\dot{\gamma}} \frac{\partial}{\partial y^\alpha} \frac{\partial}{\partial y^\beta} C(x|y, 0) + \text{h.c.} \right) \\ &= 2(de^{\alpha\dot{\gamma}} \wedge e^{\beta}_{\dot{\gamma}}) \partial_\alpha \partial_\beta C(x|y, 0) + e^{\alpha\dot{\gamma}} \wedge e^{\beta}_{\dot{\gamma}} D_0 \partial_\alpha \partial_\beta C(x|y, 0) + \text{h.c.} , \end{aligned} \quad (5.145)$$

dove h.c. indica l'hermitiano coniugato. Utilizzando il vincolo di torsione nulla nel primo termine a secondo membro e le formule di contrazione (C.7) nel secondo, si dimostra che

$$\nabla_0 \left(e^{\alpha\dot{\gamma}} \wedge e^{\beta}_{\dot{\gamma}} \frac{\partial}{\partial y^\alpha} \frac{\partial}{\partial y^\beta} C(x|y, 0) + \text{h.c.} \right) = e^{\alpha\dot{\gamma}} \wedge e^{\beta}_{\dot{\gamma}} \frac{\partial}{\partial y^\alpha} \frac{\partial}{\partial y^\beta} \nabla_0 C(x|y, 0) + \text{h.c.} , \quad (5.146)$$

mentre il termine contenente lo \star -commutatore con il vielbein, presente in $D_0 \partial_\alpha \partial_\beta C(x|y, 0)$, non contribuisce, in virtù dell'identità (5.96). In conclusione, l'identità di Bianchi (5.66)

implica l’annullamento dell’ultimo termine della (5.146), un vincolo differenziale sulle 0-forme puramente olomorfe o anti-olomorfe che costituisce il punto di partenza della catena di equazioni (5.75), che si ottiene prendendo successive derivate Lorentz-covarianti del vincolo suddetto, analogamente a quanto fatto per la gravità (ovvero per il settore $|n - m| = 4$) nella sezione 5.2.

Le (5.143) e (5.144) esprimono inoltre tutti i campi ausiliari attraverso derivate di quelli fisici, secondo le (5.98) e (5.99) per quanto riguarda le 0-forme e analogamente per le 1-forme.

Le equazioni (5.143) del *Central On-Mass-Shell Theorem* possono anche esser scritte come

$$R_{\alpha\beta,\gamma_1\gamma_2\dots\gamma_{2s-2}}^1 = C_{\alpha\beta\gamma_1\gamma_2\dots\gamma_{2s-2}} , \quad s = 1, \frac{3}{2}, 2, \dots , \quad (5.147)$$

$$R_{\alpha\beta,\gamma_1\dots\gamma_k\dot{\gamma}_{k+1}\dots\dot{\gamma}_{2s-2}}^1 = 0 , \quad s = \frac{3}{2}, 2, \frac{5}{2}, \dots, \quad k = 0, 1, \dots, 2s - 3 , \quad (5.148)$$

[55, 56] e analogamente per le complesse coniugate. I vincoli di torsione generalizzati (5.148) annullano dunque tutte le componenti delle curvature linearizzate eccetto i tensori di Weyl generalizzati. Il risultato è che soltanto i campi di gauge rappresentati dalle 1-forme $\omega_{\alpha(n)\dot{\beta}(m)}$ con $|n - m| \leq 1$ sono dinamici, mentre quelli con $|n - m| \geq 2$ sono ausiliari, e tutti i tensori che compaiono nel loro sviluppo in rappresentazioni irriducibili di Lorentz possono essere espressi in termini di derivate dei campi fisici o sono pura gauge. Si noti che non esistono campi di gauge ausiliari per spin $s \leq \frac{3}{2}$, mentre i campi ausiliari $\omega_{\alpha(s-2)\dot{\beta}(s)}$, $s = 2, 3, \dots$ possono essere pensati come *connessioni di Lorentz generalizzate*.

I campi di gauge fisici si suddividono in:

- Campo di gauge di spin $s = 1$

$$\omega_\mu , \quad (5.149)$$

reale.

- *Vielbein generalizzati*

$$\omega_{\mu\alpha(n)\dot{\beta}(n)} , \quad n = s - 1 , \quad s = 2, 3, \dots , \quad (5.150)$$

reali anch’essi.

- *Gravitini generalizzati*

$$\omega_{\mu\alpha(n)\dot{\beta}(m)}, \quad n = s - \frac{3}{2}, m = s - \frac{1}{2}, \quad s = \frac{3}{2}, \frac{5}{2}, \dots, \quad (5.151)$$

insieme con i loro complessi coniugati.

I campi di materia sono infine descritti dalle seguenti 0-forme:

- Campo scalare

$$C, \quad s = 0. \quad (5.152)$$

- Campo di spin 1/2

$$C_\alpha \oplus C_{\dot{\alpha}}, \quad s = 1/2. \quad (5.153)$$

È analogamente possibile distinguere tra simmetrie di gauge dinamiche ed ausiliarie. Definiamo *simmetrie di gauge dinamiche* quelle che agiscono in modo non banale su un campo di gauge dinamico, e *simmetrie di gauge ausiliarie* quelle che non agiscono su alcun campo di gauge dinamico. Le prime costituiscono dunque le simmetrie locali delle equazioni del moto dei campi fisici, mentre le seconde giocano il ruolo di simmetrie di Stueckelberg per le componenti tensoriali irriducibili dei campi ausiliari che non vengono determinate in termini dei campi fisici dalle (5.148). Tali componenti indeterminate risultano così pura gauge e possono essere eliminate con opportune scelte dei parametri di gauge ausiliari.

Le simmetrie di gauge ausiliarie corrispondono ai parametri

$$\epsilon_{\alpha(n)\beta(m)}, \quad |n - m| \geq 4 \quad (5.154)$$

ed ai relativi complessi coniugati. Le simmetrie di gauge dinamiche possono essere invece classificate come segue:

- *Trasformazioni di gauge di tipo YM*

$$\epsilon, \quad (5.155)$$

reali.

- *Trasformazioni di Lorentz generalizzate*

$$\epsilon_{\alpha(s-1)\beta(s)} , \quad s = 2, 3, \dots , \quad (5.156)$$

con i loro complessi coniugati.

- *Riparametrizzazioni generalizzate*

$$\epsilon_{\alpha(s-1)\beta(s-1)} , \quad s = 1, 2, \dots , \quad (5.157)$$

reali.

- *Trasformazioni fermioniche locali*

$$\epsilon_{\alpha(s-\frac{5}{2})\beta(s+\frac{1}{2})} , \quad s = \frac{5}{2}, \frac{7}{2}, \dots , \quad (5.158)$$

con i loro complessi coniugati. Sono l’analogo fermionico delle trasformazioni di Lorentz generalizzate.

- *Supersimmetrie locali generalizzate*

$$\epsilon_{\alpha(s-\frac{3}{2})\beta(s-\frac{1}{2})} , \quad s = \frac{3}{2}, \frac{5}{2}, \dots , \quad (5.159)$$

con i loro complessi coniugati.

5.5 Alcune osservazioni

Il *Central On-Mass-Shell Theorem* contiene un’altra importante informazione: le (5.143) e (5.144) legano infatti le derivate rispetto alle coordinate spazio-temporali x^μ e alle coordinate spinoriali interne y_α e $\bar{y}_{\dot{\alpha}}$. Ad esempio, tenendo conto dell’espressione (5.74) per \mathcal{D}_0 , è evidente che le derivate nelle variabili spinoriali interne agiscono sulle 0-forme C come una sorta di radice quadrata delle derivate spazio-temporali,

$$\frac{\partial}{\partial x^\mu} C(x|y, \bar{y}) \sim L^{-1} e_\mu^{\alpha\dot{\beta}} \frac{\partial}{\partial y^\alpha} \frac{\partial}{\partial \bar{y}^{\dot{\beta}}} C(x|y, \bar{y}) , \quad (5.160)$$

e ricordando inoltre l’espressione delle curvature linearizzate data in (5.67), per le 1-forme si ottiene

$$\frac{\partial}{\partial x^\mu} \omega(x|y, \bar{y}) \sim L^{-1} e_\mu^{\alpha\dot{\beta}} \left(\bar{y}_{\dot{\beta}} \frac{\partial}{\partial y^\alpha} \omega(x|y, \bar{y}) + y_\alpha \frac{\partial}{\partial \bar{y}^{\dot{\beta}}} \omega(x|y, \bar{y}) \right). \quad (5.161)$$

Questo risultato è importante, poiché collega la dipendenza dalle variabili interne a quella dalle variabili di spazio-tempo. Abbiamo già notato, commentando la (5.20), come lo \star -prodotto sia non locale negli oscillatori. Alla luce di quanto appena detto, questo significa che la presenza di \star -prodotti nelle equazioni della teoria, ad esempio nei termini di accoppiamento delle derivate covarianti, introduce automaticamente dei termini con un numero arbitrario di derivate spazio-temporali!

Notiamo tuttavia che, nel caso linearizzato finora trattato, le connessioni che compaiono nelle equazioni sono sempre quelle del background AdS , quadratiche negli oscillatori: questo significa che le espressioni come $C \star \omega_0$ non contengono più di due derivate spinoriali e che dunque la teoria, a livello linearizzato, è locale. Naturalmente questa è una conseguenza dell’espansione perturbativa sopra utilizzata, mentre la teoria completa potrebbe facilmente ammettere non località.

Un’altra notevole caratteristica delle teorie di gauge di HS emerge dal *Central On-Mass-Shell Theorem*. Le derivate nelle variabili interne sono infatti collegate dalle (5.143) e (5.144) a quelle spazio-temporali pesate da un fattore $L \sim \frac{1}{\sqrt{\Lambda}}$. Ciò comporta la presenza di potenze inverse della costante cosmologica nei termini alto-derivativi che compaiono nello sviluppo degli \star -prodotti delle interazioni, termini che dunque non hanno senso nel limite piatto $\Lambda \rightarrow 0$.

La teoria di Vasiliev recupera così tutte le caratteristiche di una teoria consistente di HS menzionate nell’introduzione, ivi suggerite dalla richiesta di descrivere interazioni consistenti dei campi di spin arbitrario con il campo gravitazionale. Possiamo aggiungere due ulteriori osservazioni:

1. La formulazione della teoria di HS a partire dal *gauging* di una \star -algebra fa emergere naturalmente e lega tra loro le seguenti caratteristiche:
 - rilevanza del background AdS , che compare come soluzione di vuoto delle equazioni di curvatura nulla della teoria;

- potenziale non località delle interazioni di HS, legata alla presenza di derivate di ordine superiore al secondo dei campi dinamici, a livello non lineare. I termini alto-derivativi sono dimensionalmente permessi grazie alla presenza del raggio di *AdS* o, equivalentemente, della costante cosmologica. Allo stesso tempo, le teorie di gauge di HS restano locali a livello linearizzato.
2. Abbiamo più volte sottolineato che il rappresentare i campi mediante tensori irriducibili di Lorentz, totalmente simmetrici negli indici spinoriali di ciascun tipo, incorpora un vincolo puramente algebrico nella teoria, che è cruciale per recuperare le equazioni del moto dei campi fisici dalla catena di equazioni del *Central On-Mass-Shell Theorem*. Il formalismo di Vasiliev qui presentato conduce dunque ad una formulazione intrinsecamente on-shell! Tuttavia, a livello linearizzato la formulazione qui esposta risulta equivalente a quella di Fronsdal e dunque ammette un'azione quadratica nei campi. Questo però non è più vero a livello non lineare, ove tuttora non si conosce un principio d'azione da cui ricavare la teoria interagente di HS. È chiaro comunque che un primo passo verso questa formulazione a livello *off-shell* richiede opportune modifiche dell'algebra HS in modo da includere in qualche maniera tracce nei generatori.

5.6 Formulazione “unfolded”

La formulazione che abbiamo riassunto, in cui il contenuto fisico dell'equazione del moto di un campo di spin s è, per così dire, dipanato in un sistema formalmente consistente di infinite equazioni, viene denominata nella letteratura formulazione “*unfolded*” [37, 38]. La proprietà fondamentale è la consistenza (o integrabilità) del sistema: essa consente infatti di esprimere infiniti campi ausiliari, cui non sono associati gradi di libertà fisici, in funzione dei campi dinamici, evitando una proliferazione di variabili indipendenti. Tuttavia, come osservato, sono i vincoli algebrici sulle variabili del sistema a far sì si riproducano effettivamente le equazioni del moto del campo di spin s .

Naturalmente, vien da chiedersi quale possa essere il vantaggio di questo modo di procedere rispetto alla formulazione usuale. La risposta è che finché si ha a che fare con la

sola teoria libera la formulazione *unfolded* non rappresenta che un approccio equivalente in grado di contenere, in modo sintetico, tutte le equazioni dei campi di spin arbitrario entro alcune *master equations* di primo ordine, come le (5.143) e (5.144), al prezzo però di introdurre infiniti campi ausiliari, eliminabili attraverso un’accurata analisi dei vincoli. Questo formalismo consente anche una naturale realizzazione dell’algebra infinito-dimensionale di HS: le simmetrie di HS legano tra loro derivate dei campi fisici di ordine arbitrariamente alto, ed è pertanto notevole la presenza di multipletti infinito-dimensionali, in grado di contenere i campi fisici e tutte le loro derivate compatibili con le equazioni del moto. D’altro canto, si è visto sin dall’equazione (5.28) che, per introdurre interazioni consistenti con campi di spin $s \geq 2$, è necessario lavorare con infiniti campi di massa nulla e spin arbitrario. Ma questo non è tutto.

Nella formulazione *unfolded* le equazioni del moto di tutti gli spin sono formulate in termini di condizioni di curvatura nulla (equazioni di Maurer-Cartan) come (5.61) e (5.69) e questo offre la possibilità di esprimere le corrispondenti soluzioni come pura gauge:

$$\Omega(x|y, \bar{y}) = g^{-1}(x|y, \bar{y}) \star dg(x|y, \bar{y}) , \quad (5.162)$$

$$C(x|y, \bar{y}) = g^{-1}(x|y, \bar{y}) \star C_0(y, \bar{y}) \star \bar{\pi}(g)(x|y, \bar{y}) , \quad (5.163)$$

dove $g(x|y, \bar{y})$ è un arbitrario elemento invertibile della \star -algebra \mathcal{A} dipendente dalle coordinate spaziotemporali x e $C_0(y, \bar{y})$ è un’arbitraria funzione delle sole variabili interne. Naturalmente, se la soluzione Ω della (5.61) deve rappresentare un background *AdS*, g dovrà esser fissata in modo tale da riprodurre la (5.58). A questo punto, la (5.163) fornisce la soluzione generale delle equazioni per i campi di massa nulla e spin arbitrario (5.69). Supponendo che $g(x_0|y, \bar{y}) = I$ per qualche $x = x_0$ (il che può sempre essere ottenuto riscaldando i $g(x) \rightarrow g'(x) = g(x) \star g^{-1}(x_0)$ in modo da non modificare la forma della (5.61)), si trova che $C_0(y, \bar{y}) = C(x_0|y, \bar{y})$, sicché, nella (5.163), C_0 fa da condizione iniziale su cui $g(x)$ agisce come una sorta di operatore di evoluzione.

Alla luce di queste osservazioni, la presenza di infiniti campi ausiliari nella teoria acquista un significato più profondo. L’analisi delle equazioni per C ha infatti mostrato come le sue componenti $C_{\alpha(n)\dot{\beta}(m)}$ parametrizzino tutte e sole le combinazioni delle derivate Lorentz-covarianti dei campi fisici non banali on-shell. Questo significa che $C_0(y, \bar{y})$ ha il

ruolo di funzione generatrice per tutte le derivate dei campi fisici che non vengono annulate dalle equazioni del moto nel punto x_0 . Ma allora diventa possibile ricostruire i campi fisici stessi in un intorno di x_0 attraverso un’espansione in serie di Taylor (covariantizzata), e questo è proprio ciò che la (5.163) realizza. Evidentemente, questa procedura richiede di fatto che le 0-forme generino una rappresentazione infinito-dimensionale, perché esse devono contenere tutte le derivate (fino ad ordine arbitrariamente elevato) dei campi fisici compatibili con le equazioni del moto.

Chiariamo queste considerazioni con un esempio semplice, l’analisi delle equazioni *unfolded* che descrivono il campo di Klein-Gordon in uno spazio piatto di dimensione arbitraria d . L’algebra di simmetria della soluzione di vuoto banale della (5.61) corrispondente allo spazio-tempo di Minkowski è l’algebra di Poincaré $iso(d-1, 1)$. Introduciamo la connessione Ω_μ , che, espandendo sui generatori (P_a, M_{ab}) , dà luogo alle componenti $(e_\mu^a, \omega_\mu^{ab})$, $a, b = 0, \dots, d-1$. Le condizioni di curvatura nulla per il vielbein e_μ^a e per la connessione di Lorentz ω_μ^{ab} ,

$$R_{\mu\nu}^a = 0, \quad R_{\mu\nu}^{ab} = 0, \quad (5.164)$$

descrivono uno spazio-tempo piatto, e dalla prima in generale si può ricavare ω . Sullo spazio piatto possiamo identificare gli indici di Lorentz a, b con gli indici di $GL(d, \mathbb{R})$, ovvero possiamo fissare una gauge opportuna in cui

$$e_\mu^a = \delta_\mu^a, \quad \omega_\mu^{ab} = 0. \quad (5.165)$$

In altri termini, possiamo scegliere un riferimento cartesiano globale, la cui esistenza è garantita dalla piatezza dello spazio-tempo, in conformità con il principio di equivalenza di Einstein.

Descriviamo la dinamica del campo di spin 0 $\phi(x)$ introducendo una collezione infinita di 0-forme $\phi_{a_1 \dots a_n}(x)$, legate alle 0-forme $C_{\alpha(n)\dot{\beta}(n)}$ incluse nella *master 0-form* C da

$$\phi_{a_1 \dots a_n} = e_{a_1}^{\alpha_1 \dot{\beta}_1} \dots e_{a_n}^{\alpha_n \dot{\beta}_n} C_{\alpha_1 \dots \alpha_n \dot{\beta}_1 \dots \dot{\beta}_n}. \quad (5.166)$$

Ricordando le (5.81), è evidente che la condizione di totale simmetria negli indici di ciascun tipo delle 0-forme $C_{\alpha(n)\dot{\beta}(n)}$ corrisponde alla condizione di totale simmetria e traccia nulla delle $\phi_{a_1 \dots a_n}$,

$$\eta^{bc} \phi_{bca_3 \dots a_n} = 0. \quad (5.167)$$

Come vedremo, questo è il vincolo algebrico sulle 0-forme che codifica la dinamica nel caso del background piatto. Nel limite piatto, $L^{-1} \rightarrow 0$ e $\nabla_{0\mu} = \partial_\mu$, il sistema (5.68) diventa

$$\partial_\mu \phi_{a_1 \dots a_n}(x) = e_\mu^b \phi_{a_1 \dots a_n b}(x) . \quad (5.168)$$

Tale sistema è consistente, poiché prendendone successive derivate ∂_ν e antisimmetrizzando rispetto allo scambio $\nu \leftrightarrow \mu$ non si ottengono ulteriori condizioni indipendenti, ma soltanto equazioni vuote tipo $0 = 0$, in virtù delle ipotesi fatte. Questo equivale a dire che le $\phi_{a_1 \dots a_n}(x)$ generano una rappresentazione infinito-dimensionale dell'algebra di Poincaré. Le prime due equazioni della catena (5.168) sono

$$\partial_\mu \phi = \phi_\mu , \quad \partial_\mu \phi_\nu = \phi_{\mu\nu} . \quad (5.169)$$

Sostituendo la prima nella seconda, e prendendo la traccia di quest'ultima, si ottiene

$$\square \phi = 0 , \quad (5.170)$$

l'equazione di Klein-Gordon nello spazio-tempo piatto, grazie alla condizione di traccia nulla (5.167). Tutte le altre equazioni della catena non impongono ulteriori condizioni su ϕ , ma si riducono alle identificazioni

$$\phi_{\mu_1 \dots \mu_n} = \partial_{\mu_1} \dots \partial_{\mu_n} \phi , \quad (5.171)$$

automaticamente consistenti con il vincolo di traccia nulla (5.167) in virtù della (5.170).

Costruiamo ora la funzione generatrice delle 0-forme $\phi_{a_1 \dots a_n}(x)$,

$$\Phi(x, u) = \sum_{n=0}^{\infty} \frac{1}{n!} \phi_{a_1 \dots a_n}(x) u^{a_1} \dots u^{a_n} , \quad (5.172)$$

espandendo in una formale serie di potenze nelle coordinate ausiliarie u^a e prendendo convenzionalmente $\Phi(x, 0) = \phi(x)$. La condizione di traccia nulla (5.167) sui coefficienti dello sviluppo si traduce in termini della funzione generatrice in

$$\square_u \Phi(x, u) \equiv \frac{\partial}{\partial u^a} \frac{\partial}{\partial u_a} \Phi = 0 . \quad (5.173)$$

Si noti che le coordinate spinoriali interne y ed \bar{y} delle sezioni precedenti possono essere viste come una sorta di radice quadrata delle coordinate ausiliarie u introdotte per questo

esempio sullo spazio piatto (qualitativamente $u \sim y\bar{y}$). Ricordando le (5.74) e (5.160), non è pertanto sorprendente il fatto che le equazioni (5.168) si possano riscrivere come

$$\frac{\partial}{\partial x^\mu} \Phi(x, u) = \frac{\partial}{\partial u^\mu} \Phi(x, u) . \quad (5.174)$$

Queste equazioni mostrano che, per il multipletto infinito-dimensionale dell'algebra di Poincaré costituito dalle 0-forme $\phi_{a_1 \dots a_n}(x)$, le traslazioni spazio-temporali sono realizzate come traslazioni nelle variabili ausiliarie u^a . In altri termini, le loro soluzioni sono tali che

$$\Phi(x, u) = \Phi(x + u, 0) = \Phi(0, x + u) , \quad (5.175)$$

e dunque, per $u = 0$,

$$\phi(x) = \Phi(0, x) = \sum_{n=0}^{\infty} \frac{1}{n!} \phi_{\mu_1 \dots \mu_n}(0) x^{\mu_1} \dots x^{\mu_n} . \quad (5.176)$$

Tenendo presenti le (5.171), questa è una vera espansione in serie di Taylor, che ricostruisce il campo di Klein-Gordon $\phi(x)$ a partire dal valore di tutte le 0-forme $\phi_{a_1 \dots a_n}$ in $x = 0$, come preannunciato.

Quanto appena detto mostra che, nella formulazione *unfolded*, il problema dinamico è ben definito e risolubile, almeno localmente, una volta assegnati i valori di tutte le 0-forme in un punto dello spazio-tempo. Benché equivalenti nel caso libero, la formulazione *unfolded* e la formulazione canonica di una teoria di campo relativistica sono dunque notevolmente diverse nell'impostazione del problema. Nell'approccio ordinario, infatti, ci si riduce ad un problema di Cauchy, in cui compaiono soltanto i campi fisici ed i loro impulsi, e la dinamica è completamente definita una volta noti i loro valori ad un istante iniziale. La formulazione *unfolded* introduce invece, partendo dal *gauging* di un'algebra di simmetria spazio-temporale, i campi fisici e un'infinità di campi ausiliari, questi ultimi inclusi in una collezione di 0-forme che alcune equazioni vincolano ad esser uguali a derivate di ordine arbitrariamente elevato dei primi: è poi necessario specificare i valori dei campi fisici e di tutte le loro derivate in un singolo punto x_0 dello spazio-tempo, e non su di una ipersuperficie spaziale ad un certo $t = t_0$.

Si noti inoltre il ruolo cruciale svolto dal *twist* $\bar{\pi}$ nel far sì che la (5.69) codifichi una dinamica non banale. Se non ci fosse, quest'ultima equazione si ridurrebbe infatti alla

$$\mathcal{D}_0 C = \nabla_0 C + \frac{i}{2} L^{-1} [e_{0\alpha\dot{\alpha}} y^\alpha \bar{y}^{\dot{\alpha}}, C]_\star = 0 , \quad (5.177)$$

dove l’anticommutatore col vielbein viene rimpiazzato dal commutatore. Ciò ha conseguenze importanti: si può notare infatti fin dalla (5.28) che lo \star -commutatore di un generatore di spin s arbitrario con un generatore di spin 1 non altera lo spin del primo, ovvero si chiude su generatori di spin s , ed in particolare il commutatore col vielbein sostituisce soltanto un oscillatore y con un \bar{y} , come è evidente dall’esempio (5.67) (o dalle formule di contrazione (C.7)). Questo significa che la (5.177) lega tra loro soltanto componenti di C con lo stesso spin, e più in particolare, per ogni $s = \frac{n+m}{2}$, soltanto i coefficienti delle potenze $y^n \bar{y}^m$, $y^{n+1} \bar{y}^{m-1}$ e $y^{n-1} \bar{y}^{m+1}$, che ne costituiscono settori indipendenti. Ma ciascuno di questi contiene dunque un numero finito di elementi, ovvero un numero finito di derivate del campo di spin s , e non è quindi possibile ricostruire, secondo quanto appena esposto, i campi di diverso spin contenuti in C attraverso la loro serie di Taylor nell’intorno di un punto arbitrario dello spazio-tempo. Al contrario, l’anticommutatore presente nella (5.69) non si chiude su ciascuno spin, come visto, e ciò implica che, per ogni spin, i settori indipendenti contengono infiniti tensori, tutti i coefficienti delle potenze $y^n \bar{y}^m$ con $|n - m| = 2s$. In altre parole, la (5.177) ammette soltanto soluzioni “rigide”, con un numero finito di gradi di libertà ⁶, mentre il *twist* $\bar{\pi}$ della (5.69) rende possibile una dinamica non banale, descrivendo sistemi con un numero infinito di gradi di libertà.

In linea di principio, è sempre possibile riformulare la dinamica di un sistema descritto in modo canonico attraverso un *unfolding*, aggiungendo un opportuno insieme di infinite nuove variabili, analoghe ai multispinori $C_{\alpha(n)\dot{\beta}(m)}$, che possa costituire la funzione generatrice per tutte le derivate dei campi fisici che le equazioni del moto non vincolano ad esser nulle [38]. Quest’ultima procedura è tuttavia più generale, ed in questo modo sarà possibile introdurre le interazioni come deformazioni non lineari di questi sistemi che non violino la condizione di consistenza. Di fatto, questo è al momento il solo approccio noto alla teoria interagente dei campi di HS. Nella successiva sezione inquadriamo la formulazione qui esposta nel contesto più generale delle *free differential algebras* o *sistemi integrabili di Cartan*.

⁶Per gradi di libertà si intende qui il numero di condizioni iniziali da fissare per impostare il problema dinamico, vale a dire il numero di componenti della “condizione iniziale” C_0 .

5.7 Free Differential Algebras

Le equazioni di curvatura nulla (5.142) e (5.144) realizzano un particolare esempio di *free differential algebra* (FDA) [57, 58, 59, 60, 62, 61, 38], importanti sistemi introdotti da D’Auria e Fre in supergravità, di cui vogliamo presentare una definizione completamente generale.

Dato un insieme di p -forme differenziali $W^A(x)$, con $p \geq 0$, definiamo le curvature generalizzate $R^A(x)$ come

$$R^A = dW^A + F^A(W) , \quad (5.178)$$

dove $d = dx^\mu \frac{\partial}{\partial x^\mu}$ è, al solito, la derivata esterna. Indichiamo inoltre con $F^A(W)$ una qualsiasi funzione delle p -forme $W^B(x)$, costruita utilizzando il solo prodotto esterno, e tale che

$$F^B \wedge \frac{\delta F^A}{\delta W^B} \equiv 0 , \quad (5.179)$$

dove la derivata funzionale rispetto a W agisce a sinistra, che corrisponde ad una identità di Jacobi generalizzata. Definiamo allora *free differential algebra* qualunque insieme di p -forme che rispettino l’identità (5.179), che è la condizione di consistenza del sistema di equazioni di curvatura nulla

$$R^A = 0 . \quad (5.180)$$

Prendendo la derivata esterna della (5.178) ed imponendo tale identità, è infatti immediato verificare che essa implica l’identità di Bianchi generalizzata

$$dR^A = R^B \wedge \frac{\delta F^A}{\delta W^B} , \quad (5.181)$$

che a sua volta implica la consistenza del sistema (5.180).

L’identità di Jacobi generalizzata garantisce anche l’invarianza delle equazioni (5.180) sotto le trasformazioni di gauge

$$\delta W^A = d\epsilon^A - \epsilon^B \wedge \frac{\delta F^A}{\delta W^B} , \quad p \geq 1 , \quad (5.182)$$

dove $\epsilon^A(x)$ è una $(p-1)$ -forma se W^A è una p -forma. Le 0-forme non introducono invece alcun parametro di gauge e non possono che avere una legge di trasformazione omogenea:

$$\delta W^A = -\epsilon^B \wedge \frac{\delta F^A}{\delta W^B} , \quad p = 0 . \quad (5.183)$$

L'invarianza sotto le (5.182) e (5.183) può essere facilmente verificata notando che le curvature trasformano come

$$\delta R^A = -R^C \wedge \frac{\delta}{\delta W^C} \left(\epsilon^B \wedge \frac{\delta F^A}{\delta W^B} \right) . \quad (5.184)$$

In virtù della (5.179) il sistema di equazioni di curvatura nulla (5.180) che costituisce la FDA ammette dunque la simmetria di gauge (5.182) e (5.183).

Essendo costruite in termini di forme differenziali, inoltre, le (5.180) sono anche esplicitamente invarianti sotto diffeomorfismi. Ritroviamo qui, in ambito più generale, una caratteristica incontrata nel capitolo 3 a proposito della formulazione di Stelle-West della gravità: una delle conseguenze delle equazioni di curvatura nulla, ed una delle caratteristiche delle FDA, è l'automatica inclusione dei diffeomorfismi tra le simmetrie di gauge! L'effetto di un diffeomorfismo infinitesimo $\delta x^\mu = \xi^\mu(x)$, sulla p -forma W^A è dato dalla derivata di Lie agente su W^A , come

$$\delta_\xi W^A = \mathcal{L}_\xi W^A = \{d, i_\xi\} W^A , \quad (5.185)$$

nella quale i_ξ rappresenta l'operatore prodotto interno, che opera su una p -forma sostituendo un differenziale per volta col vettore $-\xi^\mu$. Ad esempio, per una 2-forma $R_{\mu\nu}$ si ha

$$i_\xi R_{\mu\nu} dx^\mu \wedge dx^\nu = -R_{\mu\nu} \xi^\mu dx^\nu + R_{\mu\nu} dx^\mu \xi^\nu . \quad (5.186)$$

Una trasformazione di gauge (5.182) di parametro $\epsilon^A(x) = i_\xi W^A(x)$ dipendente dai campi è equivalente alla variazione sotto diffeomorfismi (5.185) a meno di termini che sono nulli sulle equazioni (5.180):

$$\delta W^A = \delta_\xi W^A - i_\xi R^A . \quad (5.187)$$

Resta dunque dimostrato che l'invarianza sotto diffeomorfismi delle (5.180) è realizzata, in una FDA, come una particolare simmetria di gauge dipendente dai campi.

Se l'insieme delle W^A di una particolare FDA contiene soltanto 1-forme w^i , la funzione $F^A(W)$, che deve allora essere una 2-forma, sarà data dal bilineare

$$F^i = f_{jk}^i w^j \wedge w^k , \quad (5.188)$$

caratteristico delle teorie di Yang-Mills, ove le f_{jk}^i sono le costanti di struttura dell'algebra di simmetria coinvolta. In questo caso, la (5.179) si riduce all'usuale identità di Jacobi per un'algebra di Lie scritta in termini delle costanti di struttura,

$$f_{[jk}^i f_{im]}^l = 0, \quad (5.189)$$

e le (5.180) sono le equazioni di curvatura nulla per le 1-forme di connessione a valori nell'algebra di simmetria g in questione.

Supponendo invece che tra le W^A vi siano anche p -forme C^α ($p \neq 1$), e che le corrispondenti funzioni F^α siano lineari in C^α ,

$$F^\alpha = (t_i)^\alpha_\beta w^i \wedge C^\beta, \quad (5.190)$$

la (5.179) implica allora che le matrici $(t_i)^\alpha_\beta$ corrispondono ad una rappresentazione t dell'algebra di simmetria g . Per stabilire un contatto con le equazioni linearizzate del *Central On-Mass-Shell Theorem* prendiamo ad esempio il caso in cui le C^α siano 0-forme: la (5.179),

$$F^\gamma \wedge \frac{\delta F^\alpha}{\delta C^\gamma} + F^k \wedge \frac{\delta F^\alpha}{\delta w^k} \equiv 0, \quad (5.191)$$

implica infatti le condizioni

$$[(t_i)^\gamma_\beta, (t_j)^\alpha_\gamma] = f_{ij}^k (t_k)^\alpha_\beta. \quad (5.192)$$

Come già messo in evidenza precedentemente, le (5.142) e (5.144) sono esattamente della forma (5.180): le prime sono equazioni di curvatura nulla contenenti termini tipo (5.188), e le seconde equazioni di costanza covariante per i campi C contenenti termini tipo (5.190). Quanto sopra detto mostra, ancora una volta, che la condizione di consistenza (5.179) assicura che i campi C formino una rappresentazione dell'algebra in questione. Si può anzi dire di più, come accennato nella sezione 5.3. Poiché le (5.142) e (5.144) sono formalmente consistenti indipendentemente dalla particolare soluzione di vuoto *AdS* della prima, le 0-forme C generano in effetti una rappresentazione dell'intera algebra $shs(4)$, la rappresentazione *twisted adjoint*.

Capitolo 6

Higher spins: teoria “unfolded” non lineare

6.1 Algebre di HS estese e deformazioni della FDA lineare

Nel capitolo precedente abbiamo definito un'algebra di HS, costruito una teoria di gauge che la ammette come simmetria locale e ottenuto le equazioni del moto della teoria linearizzata attraverso un'espansione attorno ad un vuoto gravitazionale AdS (che, come si è visto, appare naturalmente nelle teorie di gauge di HS come soluzione delle equazioni di curvatura nulla (5.142)), tenendo solo l'ordine lineare delle fluttuazioni attorno ad esso (ovvero, consentendo interazioni dei campi di spin arbitrario soltanto con i campi di background). Resta ancora da sfruttare la natura non abeliana dell'algebra $shs(4)$ per generare interazioni tra i campi di spin arbitrario inclusi nei *master fields* $w_\mu(x|y, \bar{y})$ e $C(x|y, \bar{y})$, definiti nelle (5.38) e (5.59), rispettivamente. Facendo riferimento ad una teoria non lineare ben nota, quella della gravità, possiamo paragonare la situazione in cui ci troviamo a quella in cui volessimo ricostruire la dinamica completa del campo gravitazionale a partire dalle equazioni libere, lineari nel campo $h_{\mu\nu}$ che descrive le deviazioni

dalla geometria piatta,

$$g_{\mu\nu} = \eta_{\mu\nu} + h_{\mu\nu} . \quad (6.1)$$

Sebbene molto laboriosa, questa procedura è stata descritta in [63], ma molti anni dopo che la soluzione completa era stata ottenuta da Einstein con metodi geometrici. In Relatività Generale si giunge direttamente alla forma completa delle equazioni di campo facendo leva sul principio di gauge che sottende alla teoria, l’invarianza per diffeomorfismi, e stabilendo il contatto con la gravitazione newtoniana nel limite non relativistico e di campo debole, ottenendo così, in un sol colpo, tutti i termini non lineari. Qui non abbiamo invece altro punto di partenza che la teoria libera in AdS , cui ci si deve ridurre all’ordine lineare in w_1 . Qual è il giusto criterio guida verso la costruzione di interazioni consistenti? Anzitutto, queste ultime non dovranno alterare il numero di simmetrie di gauge della teoria libera: come accade nelle teorie di Yang-Mills e in Relatività Generale, le interazioni possono deformare le simmetrie di gauge abeliane, ma non romperle. Il formalismo delle FDA ci viene in aiuto, fornendo vincoli sufficienti per determinare la forma dei termini non lineari, a meno di alcune ambiguità che costituiranno l’oggetto della sezione 6.4. Inoltre, come vedremo, sarà cruciale richiedere che le equazioni complete mantengano l’invarianza sotto trasformazioni di Lorentz locali, ovvero che la simmetria di Lorentz locale rimanga una sottoalgebra dell’algebra di HS infinito-dimensionale.

Cerchiamo dunque una deformazione delle equazioni (5.143) e (5.144) del tipo

$$R(w) = F_2(w, C) , \quad \mathcal{D}C = F_1(w, C) , \quad (6.2)$$

dove F_2 ed F_1 sono, rispettivamente, una 2-forma e una 1-forma, R è la curvatura di HS completa e \mathcal{D} la derivata covariante della rappresentazione *twisted adjoint* contenente l’intera connessione di HS w . Tale deformazione deve risultare in una FDA, vale a dire che il sistema di equazioni (6.2) deve essere consistente nel senso di (5.179), e deve riprodurre le equazioni linearizzate (5.143) e (5.144) al primo ordine nell’espansione attorno al vuoto AdS (che appare come soluzione particolare della prima delle (6.2) all’ordine zero), ovvero nell’espansione in potenze di C e w_1 . C appare come il naturale parametro d’espansione della teoria, poiché descrive, come esaminato nel capitolo precedente, le deviazioni dei campi di materia e dei tensori di Weyl generalizzati di spin arbitrario dai loro valori di

vuoto $C = 0$. È chiaro che, trattandosi di una FDA, la deformazione consistente (6.2) si tradurrà automaticamente nella deformazione delle simmetrie di gauge della teoria libera, contenenti la sola covariantizzazione rispetto ai campi gravitazionali di background. La struttura delle equazioni complete, così come delle trasformazioni di gauge, sarà completamente determinata una volta che lo siano le funzioni $F_2(w, C)$ ed $F_1(w, C)$. Per costruzione inoltre il sistema non lineare (6.2) sarà formalmente consistente, invariante per trasformazioni generali di coordinate, e si ridurrà alle equazioni libere del *Central On-Mass-Shell Theorem* “spegnendo” le interazioni.

È la condizione di integrabilità stessa ad implicare che il sistema (6.2) contenga termini non lineari: facendo agire la derivata covariante esterna \mathcal{D} sulla seconda equazione si ottiene infatti

$$\mathcal{D}^2 C \sim RC \sim C^2 + \text{ordini superiori} , \quad (6.3)$$

come risulta dal fatto che l’equazione (5.143) vincola la curvatura linearizzata R_1 ad essere di ordine C . Questo significa che F_1 parte almeno con termini quadratici in C , il che è coerente con la (5.144), la quale implica che, al primo ordine, $F_1(w, C) = 0$ [46].

La consistenza dei vincoli (6.2) assicura inoltre che, note $F_2(w, C)$ ed $F_1(w, C)$, almeno in linea di principio il nostro sistema sarà completamente risolvibile una volta noti i valori delle 0-forme in un punto arbitrario dello spazio-tempo, secondo quanto esposto nella sezione 5.6. La prima equazione fornisce w in funzione di C , a meno di trasformazioni di gauge. Dalla seconda otteniamo poi C in termini di una “condizione iniziale” $C(x_0)$, dove x_0 è un punto nello spazio-tempo.

Nonostante la potenza del formalismo delle FDA, grazie al quale è sufficiente richiedere l’integrabilità del sistema per ottenere automaticamente l’invarianza sotto trasformazioni di gauge di spin arbitrario, ricavare la forma delle $F_2(w, C)$ e $F_1(w, C)$, controllando ordine per ordine che preservino la consistenza delle equazioni, è tutt’altro che semplice. Tuttavia Vasiliev ha sviluppato un formalismo [47, 49, 48, 50] che consente di deformare la FDA linearizzata e ottenere le (6.2) partendo dalle equazioni di una FDA non deformata (analoghe in forma alle (5.180)) ma formulata in uno spazio-tempo esteso $\widehat{\mathcal{M}}$, che ne costituisce la varietà di base, dato dal prodotto dello spazio-tempo ordinario \mathcal{M} per uno spazio complesso di coordinate spinoriali $Z_{\underline{\alpha}} = (z_{\alpha}, -z^{\dot{\alpha}})$ (dove $Z_{\underline{\alpha}}$ è uno spinore di Majorana pu-

ramente immaginario) non commutanti. Definiamo dunque un’immersione $i : \mathcal{M} \hookrightarrow \widehat{\mathcal{M}}$: il sottospazio $Z = 0$ di $\widehat{\mathcal{M}}$ corrisponde allo spazio-tempo ordinario, $\widehat{\mathcal{M}}|_{Z=0} = \mathcal{M}$. Tale procedimento comporta anche il raddoppiamento delle variabili spinoriali ausiliarie y, \bar{y} nella *master 1-form* di connessione e nella *master 0-form* di HS

$$w(x|Y) \rightarrow \hat{w}(x|Y, Z) , \quad C(x|Y) \rightarrow \hat{C}(x|Y, Z) . \quad (6.4)$$

Seguendo le notazioni di Vasiliev, nel resto di questo capitolo denoteremo con $W(x|Y, Z)$ la *master 1-form* estesa $\hat{w}(x|Y, Z)$ e con $B(x|Y, Z)$ la *master 0-form* estesa $\hat{C}(x|Y, Z)$. Ciascun coefficiente dello sviluppo di W e B in potenze degli oscillatori Y ammette a sua volta un’espansione in serie di potenze delle variabili Z , e viceversa ciascun coefficiente di quest’ultima è funzione delle Y . Tale raddoppiamento di variabili ausiliarie consente di immergere equazioni di HS interagenti in semplici condizioni di curvatura nulla per una \star -(super)algebra estesa, rendendone evidente la consistenza [49]. Affinché tali condizioni in $\widehat{\mathcal{M}}$ effettivamente diano luogo ad una FDA deformata nel sottospazio $\widehat{\mathcal{M}}|_{Z=0}$ è cruciale richiedere che le coordinate spinoriali $Z_{\underline{\alpha}}$ siano non commutative. Si tratta quindi di estendere l’algebra associativa \mathcal{A}^* in un’algebra $\hat{\mathcal{A}}^*$, definendo anzitutto l’operazione di composizione di quest’ultima,

$$\begin{aligned} (P \star Q)(Y, Z) = & P \exp \left[i \left(\frac{\overleftarrow{\partial}}{\partial z_{\alpha}} + \frac{\overleftarrow{\partial}}{\partial y_{\alpha}} \right) \left(\frac{\overrightarrow{\partial}}{\partial z^{\alpha}} - \frac{\overrightarrow{\partial}}{\partial y^{\alpha}} \right) \right. \\ & \left. + i \left(\frac{\overleftarrow{\partial}}{\partial \bar{z}_{\dot{\alpha}}} - \frac{\overleftarrow{\partial}}{\partial \bar{y}_{\dot{\alpha}}} \right) \left(\frac{\overrightarrow{\partial}}{\partial \bar{z}^{\dot{\alpha}}} + \frac{\overrightarrow{\partial}}{\partial \bar{y}^{\dot{\alpha}}} \right) \right] Q , \end{aligned} \quad (6.5)$$

manifestamente non locale nelle variabili spinoriali Y e Z . Tale generalizzazione mantiene tutte le proprietà dello \star -prodotto precedentemente definito, in particolare la regolarità¹, e dalla (6.5) discendono, come casi particolari, le di contrazioni

$$z_{\alpha} \star z_{\beta} = z_{\alpha} z_{\beta} - i \varepsilon_{\alpha\beta} , \quad \bar{z}_{\dot{\alpha}} \star \bar{z}_{\dot{\beta}} = \bar{z}_{\dot{\alpha}} \bar{z}_{\dot{\beta}} - i \varepsilon_{\dot{\alpha}\dot{\beta}} , \quad (6.6)$$

$$y_{\alpha} \star z_{\beta} = y_{\alpha} z_{\beta} - i \varepsilon_{\alpha\beta} , \quad \bar{y}_{\dot{\alpha}} \star \bar{z}_{\dot{\beta}} = \bar{y}_{\dot{\alpha}} \bar{z}_{\dot{\beta}} + i \varepsilon_{\dot{\alpha}\dot{\beta}} , \quad (6.7)$$

¹Il fatto che \star sia una legge di prodotto regolare è fondamentale, poiché assicura che tutte le equazioni della teoria che lo contengono hanno senso per i coefficienti dello sviluppo dei *master fields* in potenze degli oscillatori, e dunque per i campi relativistici di spin arbitrario ad essi corrispondenti.

$$z_\alpha \star y_\beta = z_\alpha y_\beta + i\varepsilon_{\alpha\beta} , \quad \bar{z}_\alpha \star \bar{y}_\beta = \bar{z}_\alpha \bar{y}_\beta - i\varepsilon_{\alpha\beta} , \quad (6.8)$$

che danno origine a regole generali analoghe alle (5.26), a parte un ulteriore fattore (-1) per ogni contrazione del tipo $z \star z$, $\bar{z} \star \bar{z}$, $y \star z$ e $\bar{y} \star \bar{z}$. Tutte le altre contrazioni sono nulle. Dati due polinomi $P(Y, Z), Q(Y, Z) \in \hat{\mathcal{A}}^\star$, la realizzazione integrale dello \star -prodotto generalizzato è data da

$$(P \star Q)(Y, Z) = \frac{1}{(2\pi)^4} \int d^4U d^4V P(Y + U, Z + U) Q(Y + V, Z - V) \exp i(u_\alpha v^\alpha + \bar{u}_{\dot{\alpha}} \bar{v}^{\dot{\alpha}}) . \quad (6.9)$$

Per semplicità, nel seguito ci ridurremo alla sottoalgebra $hs(4) \subset shs(4)$ costituita dai soli campi bosonici di spin pari $s = 0, 2, 4, 6, \dots$ (per un’analisi della teoria non lineare completamente generale cfr. [50]). È infatti evidente da (5.28) che l’insieme dei generatori di spin dispari costituisce effettivamente una sottoalgebra, poiché lo \star -commutatore si chiude su di essi. Il modello corrispondente viene detto *modello bosonico minimale*² e può essere definito formalmente facendo riferimento all’insieme dei polinomi negli oscillatori P (vedi (5.19)) che soddisfano le condizioni

$$\tau(P) = -P , \quad P^\dagger = -P , \quad (6.10)$$

dove l’azione della mappa τ è definita da

$$\tau(y_\alpha) = iy_\alpha , \quad \tau(\bar{y}_{\dot{\alpha}}) = i\bar{y}_{\dot{\alpha}} . \quad (6.11)$$

²Naturalmente i soli generatori di spin dispari rendono conto della presenza, nel modello, di campi di gauge ad essi associati di spin s pari e maggiore o uguale a 2. Si può mostrare però [55, 56] che la costruzione di una teoria unitaria basata su $hs(4)$ richiede l’inclusione del campo scalare, di $s = 0$. L’argomento si fonda sulla considerazione che una teoria di gauge basata su $hs(4)$ è fisicamente consistente se lo spettro degli stati fisici che essa coinvolge corrisponde ad una rappresentazione unitaria dell’algebra stessa. Lo spettro del modello bosonico minimale, così come emerge da un’analisi simile a quella della sezione 5.4, contiene esattamente gli stati provenienti dalla decomposizione in rappresentazioni irriducibili di $so(3, 2)$ della parte totalmente simmetrica del prodotto tensoriale di due rappresentazioni unitarie di $so(3, 2)$ dette singlettoni [25, 56]. Si può dimostrare che queste ultime sono rappresentazioni unitarie anche dell’intera algebra $hs(4)$ e che tale è anche il loro prodotto totalmente simmetrizzato. La decomposizione in rappresentazioni irriducibili di quest’ultimo ne include necessariamente una di spin $s = 0$ insieme ad infinite altre di spin $2, 4, 6, \dots$, sicché il settore scalare deve essere incluso per unitarietà.

Dalla definizione segue che τ agisce come un’anti-involuzione della \star -algebra,

$$\tau(F \star G) = \tau(G) \star \tau(F) , \quad F, G \in \mathcal{A}^* . \quad (6.12)$$

Inoltre

$$\tau([F, G]_\star) = -[\tau(F), \tau(G)]_\star , \quad (6.13)$$

sicché la condizione $\tau(P) = -P$ proietta effettivamente su un sottospazio invariante di $shs(4)$, denominato nella letteratura $hs(4)$, costituito da tutti i P della forma

$$P(y, \bar{y}) = \sum_{n+m=2 \bmod 4} \frac{i}{2n!m!} P^{\alpha_1 \dots \alpha_n \dot{\alpha}_1 \dots \dot{\alpha}_m} y_{\alpha_1} \dots y_{\alpha_n} \bar{y}_{\dot{\alpha}_1} \dots \bar{y}_{\dot{\alpha}_m} . \quad (6.14)$$

Così, ad esempio, lo sviluppo (5.38) sui generatori della connessione $w(x|Y)$ si adatta al modello bosonico minimale con

$$\begin{aligned} w(x|y, \bar{y}) &= dx^\mu w_\mu(x|y, \bar{y}) \\ &= \sum_{n+m=2 \bmod 4} \frac{i}{2n!m!} dx^\mu w_\mu^{\alpha_1 \dots \alpha_n \dot{\alpha}_1 \dots \dot{\alpha}_m}(x) y_{\alpha_1} \dots y_{\alpha_n} \bar{y}_{\dot{\alpha}_1} \dots \bar{y}_{\dot{\alpha}_m} , \end{aligned} \quad (6.15)$$

e analogamente per la curvatura di HS. Il campo scalare viene incluso, al solito, nella *master 0-form* C , che ha valori nella rappresentazione *twisted adjoint*. Nell’ambito del modello bosonico minimale essa può esser definita tramite le condizioni [56, 55, 52]

$$\tau(C) = \bar{\pi}(C) , \quad C^\dagger = \pi(C) , \quad (6.16)$$

la cui soluzione generale ha la forma

$$C = c + \pi(c^\dagger) , \quad (6.17)$$

dove c ammette l’espansione

$$c(x|y, \bar{y}) = \sum_{n-m=0 \bmod 4} \frac{1}{n!m!} c^{\alpha_1 \dots \alpha_n \dot{\alpha}_1 \dots \dot{\alpha}_m}(x) y_{\alpha_1} \dots y_{\alpha_n} \bar{y}_{\dot{\alpha}_1} \dots \bar{y}_{\dot{\alpha}_m} , \quad (6.18)$$

e contiene tutte le soluzioni di $\tau(c) = \bar{\pi}(c)$ che hanno $n \geq m$. Per c^\dagger vale la disuguaglianza opposta, ma si noti come il π -*twist* che compare in (6.17) impedisca di scrivere C in modo

compatto cambiando in $|n - m| = 0 \pmod{4}$ il pedice della somma di (6.18). Si noti anche che la condizione $\tau(C) = \bar{\pi}(C)$ implica $\bar{\pi}(C) = \pi(C)$ e che, più in generale, nel modello bosonico minimale vale $\pi(P) = \bar{\pi}(P)$, come conseguenza del fatto che la prima condizione in (6.10) seleziona i soli generatori con $n+m$ pari. Alternativamente, è sufficiente osservare l’azione delle mappe τ e $\pi, \bar{\pi}$ per rendersi conto che $\tau^2(P) = \pi\bar{\pi}(P) = P, \forall P \in hs(4)$.

Si può a questo punto estendere tale algebra di HS bosonica, definendo l’immersione $i : hs(4) \hookrightarrow \widehat{hs}(4)$, prendendo il sottoinsieme di $\widehat{\mathcal{A}}^\star$ corrispondente ai generatori \hat{P} anti-hermitiani, $\hat{P}^\dagger = -\hat{P}$ e tali che $\tau(\hat{P})^\dagger = -\hat{P}$. Naturalmente, tale \star -algebra estesa si riduce ad $hs(4)$ per $Z = 0$,

$$hs(4) = \widehat{hs}(4)|_{Z=0} . \quad (6.19)$$

Estendiamo anzitutto la mappa τ , definendone l’azione sulle variabili spinoriali Z :

$$\tau(z_\alpha) = -iz_\alpha , \quad \tau(\bar{z}_{\dot{\alpha}}) = -i\bar{z}_{\dot{\alpha}} . \quad (6.20)$$

Promuoviamo $\widehat{hs}(4)$ a simmetria locale introducendo in $\widehat{\mathcal{M}}$ la 1-forma di connessione a valori in $\widehat{hs}(4)$ (*master 1-form* estesa totale)

$$\mathcal{W} = W + V = dx^\mu W_\mu + dz^\alpha V_\alpha - d\bar{z}^{\dot{\alpha}} \bar{V}_{\dot{\alpha}} , \quad (6.21)$$

dove V gioca il ruolo di 1-forma di connessione nello spazio Z , la componente puramente spinoriale della connessione totale \mathcal{W} . Naturalmente

$$\tau(\mathcal{W}) = -\mathcal{W} , \quad \mathcal{W}^\dagger = -\mathcal{W} , \quad (6.22)$$

che implica identiche condizioni su W e V . Si noti tuttavia che, in virtù delle (6.20), per la componente V_α si ha $\tau(V_\alpha) = -iV_\alpha$, e analogamente per $\bar{V}_{\dot{\alpha}}$. Introduciamo inoltre la derivata esterna totale sullo spazio prodotto (x,Z) \hat{d} , definita come

$$\hat{d} \equiv dx^\mu \partial_\mu + dz^\alpha \partial_\alpha + d\bar{z}^{\dot{\alpha}} \bar{\partial}_{\dot{\alpha}} \equiv d + \partial + \bar{\partial} \equiv d + d_Z , \quad (6.23)$$

dove $\partial_\alpha = \frac{\partial}{\partial z^\alpha}$, e analogamente per $\bar{\partial}_{\dot{\alpha}}$. È allora possibile definire una 2-forma di curvatura totale come

$$\mathcal{R} = \hat{d}\mathcal{W} + \mathcal{W} \star \mathcal{W} , \quad (6.24)$$

che soddisfa l'identità di Bianchi

$$\hat{D}\mathcal{R} \equiv \hat{d}\mathcal{R} + [\mathcal{W}, \mathcal{R}]_{\star} = 0 . \quad (6.25)$$

Sotto le trasformazioni di gauge di $\widehat{hs}(4)$,

$$\delta_{\hat{\epsilon}}\mathcal{W} = \hat{D}\hat{\epsilon} = \hat{d}\hat{\epsilon} + [\mathcal{W}, \hat{\epsilon}]_{\star} , \quad (6.26)$$

\mathcal{R} trasforma covariantemente,

$$\delta_{\hat{\epsilon}}\mathcal{R} = [\mathcal{R}, \hat{\epsilon}]_{\star} , \quad (6.27)$$

dove $\hat{\epsilon}(x|Y, Z)$ è un parametro locale a valori in $\widehat{hs}(4)$. Conformemente alle assunzioni fatte, la *master 1-form* di connessione $w(x|Y)$ e la *master 0-form* $C(x|Y)$ di $hs(4)$ si ottengono come

$$w(x|Y) = i^*\mathcal{W}(x|Y, Z) \equiv W(x|Y, Z)|_{Z=0} , \quad (6.28)$$

$$C(x|Y) = i^*B(x|Y, Z) \equiv B(x|Y, Z)|_{Z=0} , \quad (6.29)$$

dove con i^* indichiamo il *pull-back* della mappa i ³. Si noti tuttavia che

$$i^*\mathcal{R} = \frac{1}{2}dx^{\mu} \wedge dx^{\nu}\mathcal{R}_{\mu\nu}|_{Z=0} \neq R(x|Y) , \quad (6.30)$$

dove $\mathcal{R}_{\mu\nu}$ denota le componenti puramente spatio-temporali della 2-forma di curvatura totale dell'algebra $\widehat{hs}(4)$ definita in (6.24), ovvero

$$\frac{1}{2}dx^{\mu} \wedge dx^{\nu}\mathcal{R}_{\mu\nu}(x|Y, Z) = dW(x|Y, Z) + W(x|Y, Z) \star W(x|Y, Z) , \quad (6.31)$$

che trasformano covariantemente sotto le componenti puramente spatio-temporali delle (6.26),

$$\delta_{\hat{\epsilon}}W = D\hat{\epsilon} = \hat{d}\hat{\epsilon} + [W, \hat{\epsilon}]_{\star} . \quad (6.32)$$

Si può inoltre definire

$$\hat{D}B = \hat{d}B + \mathcal{W} \star B - B \star \bar{\pi}(\mathcal{W}) , \quad (6.33)$$

³Data l'immersione $i : \mathcal{M} \hookrightarrow \widehat{\mathcal{M}}$, definiamo i^* come la mappa lineare che manda la funzione f definita su $\widehat{\mathcal{M}}$ nella funzione i^*f definita su \mathcal{M} e corrispondente alla funzione il cui valore sul punto $p \in \mathcal{M}$ è il valore di f su $i(p) \in \widehat{\mathcal{M}}$, ovvero $i^*f(p) = f(i(p))$.

dove l'azione delle mappe $\pi, \bar{\pi}$ viene estesa ad $\widehat{hs}(4)$ con

$$\pi(z_\alpha) = -z_\alpha, \quad \bar{\pi}(z_\alpha) = z_\alpha, \quad (6.34)$$

$$\pi(\bar{z}_{\dot{\alpha}}) = \bar{z}_{\dot{\alpha}}, \quad \bar{\pi}(\bar{z}_{\dot{\alpha}}) = -\bar{z}_{\dot{\alpha}}, \quad (6.35)$$

involuzioni dell'algebra estesa. La (6.33) trasforma covariantemente sotto (6.26),

$$\delta_{\hat{\epsilon}} \hat{\mathcal{D}}B = -\hat{\epsilon} \star \hat{\mathcal{D}}B + \hat{\mathcal{D}}B \star \bar{\pi}(\hat{\epsilon}), \quad (6.36)$$

se B , a sua volta, trasforma come

$$\delta_{\hat{\epsilon}} B = -\hat{\epsilon} \star B + B \star \bar{\pi}(\hat{\epsilon}), \quad (6.37)$$

cioè se appartiene alla *twisted adjoint* di $\widehat{hs}(4)$, definita dalle condizioni

$$\tau(B) = \bar{\pi}(B), \quad B^\dagger = \pi(B). \quad (6.38)$$

Si trova che

$$i^* \hat{\mathcal{D}}B = dx^\mu (\hat{\mathcal{D}}_\mu B)|_{Z=0} \neq \mathcal{D}C(x|Y), \quad (6.39)$$

dove $\hat{\mathcal{D}}_\mu B$ corrisponde alla componente puramente spazio-temporale della derivata covariante totale *twisted* definita in (6.33), ovvero

$$\begin{aligned} dx^\mu \hat{\mathcal{D}}_\mu B(x|Y, Z) &= dB(x|Y, Z) + W(x|Y, Z) \star B(x|Y, Z) \\ &\quad - B(x|Y, Z) \star \bar{\pi}(W(x|Y, Z)), \end{aligned} \quad (6.40)$$

mentre

$$\mathcal{D}C(x|Y) = dC(x|Y) + w(x|Y) \star C(x|Y) - C(x|Y) \star \bar{\pi}(w(x|Y)). \quad (6.41)$$

La (5.69) costituisce la linearizzazione di quest'ultima equazione rispetto al background *AdS*.

Le equazioni (6.30) e (6.39) mostrano per quale motivo è necessario che le coordinate ausiliarie Z siano non commutative, al fine di ottenere equazioni di HS non banali nello spazio-tempo ordinario. Se le Z fossero state variabili commutanti, partire da condizioni

di curvatura nulla per una FDA estesa ed imporne la restrizione al sottospazio $Z = 0$ avrebbe automaticamente implicato le condizioni

$$\begin{aligned} i^*\mathcal{R} &= R(x|Y) = dw(x|Y) + w(x|Y) \star w(x|Y) = 0 , \\ i^*\hat{\mathcal{D}}B &= \mathcal{D}C(x|Y) = 0 , \end{aligned} \quad (6.42)$$

senza alcuna deformazione non banale del tipo (6.2) cercato. Viceversa, le relazioni (6.8) fanno sì che $i^*\mathcal{R}$ e $i^*\hat{\mathcal{D}}B$ contengano contributi, provenienti dai termini quadratici, che hanno origine dalle contrazioni dei termini di ordine arbitrariamente elevato dell’espansione in serie di Taylor nelle variabili z e \bar{z} di $W(x|Y, Z)$ e $B(x|Y, Z)$ (in particolare, poiché le Y e le Z soddisfano algebre isomorfe, esistono termini di contrazione non banali anche tra z ed y e tra \bar{z} ed \bar{y} , come abbiamo visto), e ciò si traduce in una dipendenza da tutti i coefficienti di espansione, e non solo da quelli di ordine zero identificabili con $w(x|Y)$ e $C(x|Y)$. Ma come nascono le non linearità in C del sistema (6.2)?

Le equazioni della FDA estesa avranno la forma generale

$$\mathcal{R} = \hat{F}_2(\mathcal{W}, B) , \quad \hat{\mathcal{D}}B = \hat{F}_1(\mathcal{W}, B) , \quad (6.43)$$

e, per definizione, saranno tra loro consistenti sia rispetto alle variabili x che alle Z (ovvero saranno compatibili con la condizione $\hat{d}^2 = 0$). Questo implica che potremo risolvere la prima equazione per $\mathcal{W}(x|Y, Z)$ in termini di $B(x|Y, Z)$, ottenendo poi dalla seconda $B(x|Y, Z)$ in termini della condizione iniziale $B(x_0|Y, 0) = C(x_0|Y)$, a meno di una trasformazione di gauge di $\widehat{hs}(4)$. Si noti che, secondo la discussione della sezione 5.6, è questa proprietà che consente di affermare che la FDA estesa (6.43) è equivalente alla (6.2), poiché entrambe hanno gli stessi dati iniziali.

Si è detto che il raddoppiamento delle variabili spinoriali offre la possibilità di immergere un complicato sistema non lineare come (6.2) in vincoli di curvatura non più complicati, in forma, di quelli linearizzati del *Central On-Mass-Shell Theorem*, ma definiti sullo spazio (x, Z) . Questo perché, come vedremo, tale artificio consente di esprimere complicate espressioni come $F_2(w, C)$ e $F_1(w, C)$ come soluzioni di alcuni semplici vincoli differenziali rispetto alle variabili ausiliarie Z , inclusi nelle componenti spinoriali (quelle che hanno almeno un indice di spazio Z) delle (6.43). La consistenza di queste ultime

implica infatti che si possa anzitutto ottenere la dipendenza dalle Z di W , V e B perturbativamente in termini delle condizioni iniziali $W(x|Y, 0) = w(x|Y)$ e $B(x|Y, 0) = C(x|Y)$, legando in questo modo i coefficienti delle varie potenze di z, \bar{z} ad espressioni contenenti potenze sempre più alte di C , come vedremo in dettaglio nella sezione 6.3. Vedremo inoltre che sarà possibile utilizzare parte della libertà di gauge (6.26) per imporre le condizioni $V_\alpha|_{Z=0} = \bar{V}_{\dot{\alpha}}|_{Z=0} = 0$, preservando l'intera simmetria di gauge $hs(4)$.

Sostituendo le soluzioni ottenute $W = W(w, C)$ e $B = B(C)$ nelle componenti puramente spazio-temporali delle (6.43) si ottiene infine una FDA deformata del tipo (6.2), contenente potenze arbitrariamente elevate di C . Ciò in virtù del fatto che, come evidenziato in precedenza, anche per $Z = 0$ sopravvivono termini provenienti da contrazioni di ordine arbitrariamente elevato, corrispondenti a derivate di ordine arbitrariamente elevato rispetto a z e \bar{z} (cfr. Appendice C) di B e W in $Z = 0$: ma abbiamo detto che le componenti spinoriali dei vincoli di curvatura riesprimono ogni derivata di W o B rispetto alle variabili ausiliarie in termini delle condizioni iniziali, e questo implica le infinite non linearità in C . Da questa discussione segue che deformazioni non lineari consistenti delle equazioni del *Central On-Mass-Shell Theorem* esistono, ed in particolare che

$$\begin{aligned} \frac{1}{2} dx^\mu \wedge dx^\nu \mathcal{R}_{\mu\nu}|_{Z=0} &= R(x|Y) + \dots, \\ dx^\mu (\hat{\mathcal{D}}_\mu B)|_{Z=0} &= \mathcal{D}C(x|Y) + \dots, \end{aligned} \quad (6.44)$$

e

$$\begin{aligned} F_2(w, C) &= \hat{F}_2(w, C) + \dots, \\ F_1(w, C) &= \hat{F}_1(w, C) + \dots, \end{aligned} \quad (6.45)$$

dove con \dots sottintendiamo gli infiniti termini di ordine superiore in C provenienti dalle contrazioni di potenze arbitrariamente alte in z, \bar{z} delle espansioni di Taylor di W e B .

L'estensione tramite coordinate non commutative è quindi un trucco matematico che consente di ottenere complicate equazioni non lineari come restrizione al sottospazio $Z = 0$ di equazioni semplici di una FDA estesa, un po' come un modello sigma non lineare “nasconde” una dinamica altamente non lineare in una lagrangiana identica in forma a quella di campi liberi attraverso un vincolo che restringe questi ultimi su una certa

varietà. Non è chiaro attualmente quale interpretazione ammettano le coordinate Z nella corrispondenza con la Teoria delle Stringhe.

6.2 Equazioni di HS non lineari nello spazio esteso (\mathbf{x}, Z)

Tenendo conto delle (6.44) e (6.45), oltre che delle equazioni linearizzate (5.143) e (5.144) alle quali vogliamo ridurci, possiamo proporre un ansatz sulla forma delle (6.43):

$$\begin{aligned}\mathcal{R} &= i dz^\alpha \wedge dz_\alpha \mathcal{V}(B) + i d\bar{z}^{\dot{\alpha}} \wedge d\bar{z}_{\dot{\alpha}} (\mathcal{V}(B))^\dagger, \\ \hat{D}B &= 0,\end{aligned}\tag{6.46}$$

dove $\mathcal{V}(B)$ è una funzione di B compatibile con la condizione di consistenza del sistema. Daremo tra breve condizioni ulteriori che ne specificheranno la forma, a meno di alcune ambiguità che discuteremo in seguito.

Abbiamo già introdotto i differenziali dz^α e $d\bar{z}^{\dot{\alpha}}$ dello spazio Z , e possiamo aggiungere le condizioni

$$(z^\alpha)^\dagger = \bar{z}^{\dot{\alpha}}, \quad (dz^\alpha)^\dagger = d\bar{z}^{\dot{\alpha}}.\tag{6.47}$$

Tenendo conto delle (6.8) (o delle (C.7)) e del fatto che lo \star -prodotto di un qualsiasi elemento $P \in \hat{\mathcal{A}}^\star$ con dZ^α non dà luogo a contrazioni, dovrebbe essere chiaro che la definizione

$$S_0 \equiv dz^\alpha z_\alpha + d\bar{z}^{\dot{\alpha}} \bar{z}_{\dot{\alpha}} = (S_0)^\dagger\tag{6.48}$$

dà luogo ad una 1-forma rispetto ai differenziali di base dz^α e $d\bar{z}^{\dot{\alpha}}$ che realizza l'azione della derivata esterna d_Z nello spazio Z come

$$S_0 \star F_p - (-1)^p F_p \star S_0 = -2id_Z F_p, \quad d_Z \equiv dz^\alpha \frac{\partial}{z^\alpha} + d\bar{z}^{\dot{\alpha}} \frac{\partial}{\partial \bar{z}^{\dot{\alpha}}},\tag{6.49}$$

dove F_p è una forma di grado totale p nello spazio (\mathbf{x}, Z) a valori in $\widehat{hs}(4)$ e $dx^\mu \wedge dz^\alpha = -dz^\alpha \wedge dx^\mu$, $dx^\mu \wedge d\bar{z}^{\dot{\alpha}} = -d\bar{z}^{\dot{\alpha}} \wedge dx^\mu$. La proprietà associativa dello \star -prodotto implica la validità della regola di Leibniz

$$d_Z(A_p \star B_q) = d_Z A_p \star B_q + (-1)^q A_p \star d_Z B_q.\tag{6.50}$$

Definiamo inoltre l'azione di π sui differenziali $dz^\alpha, d\bar{z}^{\dot{\alpha}}$ attraverso

$$d_Z(\pi(F(Y, Z))) = \pi(d_Z(F(Y, Z))) , \quad (6.51)$$

che implica $\pi(dz^\alpha) = -dz^\alpha$ ed analogamente per $d\bar{z}^{\dot{\alpha}}$ e per $\bar{\pi}$.

Torniamo alla forma delle (6.46). Per confronto con la (5.143) deduciamo che la funzione $\mathcal{V}(B)$ deve possedere una caratteristica singolare: sebbene il suo argomento B sia una funzione di Y^α e Z^β , la sua restrizione al sottospazio $Z = 0$ deve in effetti dipendere soltanto dalle y^α e non dalle $\bar{y}^{\dot{\alpha}}$, e viceversa per l'hermitiano coniugato $(\mathcal{V}(B))^\dagger$. Tali condizioni vengono soddisfatte costruendo $\mathcal{V}(B)$ con la speciale funzione $\kappa(y, z) \in \hat{\mathcal{A}}^\star$, definita come

$$\kappa(y, z) \equiv \exp(iz_\alpha y^\alpha) = \tau(\kappa(y, z)) , \quad (6.52)$$

e $(\mathcal{V}(B))^\dagger$ con il suo hermitiano coniugato

$$\bar{\kappa}(\bar{y}, \bar{z}) \equiv \exp(-i\bar{z}_{\dot{\alpha}} \bar{y}^{\dot{\alpha}}) = (\kappa(y, z))^\dagger = \tau(\bar{\kappa}(\bar{y}, \bar{z})) . \quad (6.53)$$

Usando la (6.9) è possibile verificare le seguenti proprietà:

$$\kappa \star F(z, \bar{z}; y, \bar{y}) = \kappa F(y, \bar{z}; z, \bar{y}) , \quad \bar{\kappa} \star F(z, \bar{z}; y, \bar{y}) = \bar{\kappa} F(z, -\bar{y}; y, -\bar{z}) , \quad (6.54)$$

$$F(z, \bar{z}; y, \bar{y}) \star \kappa = \kappa F(-y, \bar{z}; -z, \bar{y}) , \quad F(z, \bar{z}; y, \bar{y}) \star \bar{\kappa} = \bar{\kappa} F(z, \bar{y}; y, \bar{z}) . \quad (6.55)$$

È immediato controllare che esse implicano

$$\pi(F) = \kappa \star F \star \kappa , \quad \bar{\pi}(F) = \bar{\kappa} \star F \star \bar{\kappa} \quad (6.56)$$

(con $\kappa \star \kappa = 1$ e $\bar{\kappa} \star \bar{\kappa} = 1$), ovvero gli automorfismi involutivi esterni $\pi, \bar{\pi}$ diventano in effetti interni in $\hat{\mathcal{A}}^\star$, essendo generati dal coniugio con $\kappa, \bar{\kappa}$, rispettivamente ⁴. Le (6.55) fanno

⁴In generale, un automorfismo ω di un'algebra di Lie g è detto *interno* se può essere ottenuto come prodotto di automorfismi del tipo $\text{Ad}_x \equiv \exp(\text{ad}_x)$, dove con ad_x si intende la *mappa aggiunta* associata ad un qualsiasi elemento $x \in g$, definita come $y \mapsto \text{ad}_x(y) \equiv [x, y]$, $y \in g$, mentre, data una generica mappa φ , $\exp(\varphi) \equiv \sum_{n=0}^{\infty} \frac{1}{n!} \varphi^n$. Ogni automorfismo che non soddisfi questa condizione si dice *esterno*. Nel nostro caso l'operazione di composizione non è il commutatore ma lo \star -commutatore, e Ad_x corrisponde al coniugio di un generico elemento della \star -algebra con $\kappa(y, z) \equiv \exp(iz_\alpha y^\alpha)$, elemento del corrispondente gruppo.

inoltre si che, almeno a livello linearizzato, κ e $\bar{\kappa}$ agiscono su B come proiettori sulla sua parte anti-chirale (indipendente dalle y) e chirale (indipendente dalle \bar{y}), rispettivamente:

$$\begin{aligned} B(z, \bar{z}; y, \bar{y}) \star \kappa |_{Z=0} &= C(0, \bar{y}) + \dots , \\ B(z, \bar{z}; y, \bar{y}) \star \bar{\kappa} |_{Z=0} &= C(y, 0) + \dots , \end{aligned} \quad (6.57)$$

dove ... indica i termini di ordine superiore al primo in C corrispondenti ai coefficienti delle varie potenze di z, \bar{z} . Per ottenere il vincolo linearizzato (5.143) nello spazio-tempo ordinario è dunque necessario che $\mathcal{V}(B)$ dipenda da B attraverso il costruito $B \star \kappa$, e analogamente $(\mathcal{V}(B))^\dagger$ attraverso $B \star \bar{\kappa}$.

Abbiamo precedentemente introdotto la 1-forma anti-hermitiana $V_\alpha = (V_\alpha, \bar{V}^{\dot{\alpha}})$ di connessione nelle direzioni ausiliarie Z , $V^\dagger = -V$. Si può definire una derivata covariante S nello spazio Z come

$$S = S_0 - 2iV , \quad \tau(S) = -S , \quad S^\dagger = S , \quad (6.58)$$

con S_0 definito in (6.48). Assumiamo che S trasformi nell'aggiunta di $\widehat{shs}(4)$,

$$\delta_\epsilon S = S \star \hat{\epsilon} - \hat{\epsilon} \star S . \quad (6.59)$$

Segue, utilizzando (6.49), che V trasforma effettivamente come una 1-forma di connessione di spazio Z ,

$$\delta_\epsilon V = d_Z \hat{\epsilon} + [V, \hat{\epsilon}]_\star , \quad (6.60)$$

la cui curvatura è data da

$$d_Z V + V \star V = \frac{1}{4} S \star S . \quad (6.61)$$

Siamo a questo punto in grado di scrivere una forma del sistema di equazioni totalmente consistenti di Vasiliev (che mostreremo essere equivalente a quella dell'ansatz (6.46)) nello spazio esteso (x, Z) :

$$dW + W \star W = 0 , \quad (6.62)$$

$$dB + W \star B - B \star \bar{\pi}(W) = 0 , \quad (6.63)$$

$$dS + W \star S + S \star W = 0 , \quad (6.64)$$

$$S \star B - B \star \bar{\pi}(S) = 0 , \quad (6.65)$$

$$S \star S = i dz^\alpha \wedge dz_\alpha (1 + B \star \kappa) + i d\bar{z}^{\dot{\alpha}} \wedge d\bar{z}_{\dot{\alpha}} (1 + B \star \bar{\kappa}) . \quad (6.66)$$

Queste equazioni, che nel seguito chiameremo equazioni di Vasiliev, sono compatibili con le trasformazioni di W , B , S , κ sotto le mappe τ e $\pi, \bar{\pi}$, e con le condizioni di hermiticit  dei medesimi. Esse sono inoltre tra loro consistenti, sicch  l'intero sistema pu  in effetti essere derivato dalla sola (6.66) insieme alla (6.63) oppure (6.64). Eq. (6.62) rappresenta infatti la condizione di consistenza delle (6.63) e (6.64), come si verifica facilmente operando, ad esempio, con d su queste ultime ed imponendo $d^2 = 0$, oppure, il che   lo stesso, prendendone la derivata covariante ed imponendo la condizione $\mathcal{D}^2 = 0$ e $D^2 = 0$, rispettivamente. La (6.65) segue invece dalla (6.66), facendo uso della propriet  associativa $(S \star S) \star S = S \star (S \star S)$ ⁵, e delle identit 

$$\begin{aligned} \bar{\pi}(S) \star \kappa &= \kappa \star S , \\ \bar{\pi}(S) \star \bar{\kappa} &= \bar{\kappa} \star S . \end{aligned} \quad (6.67)$$

Infine, (6.64) segue dalla (6.63) (o viceversa) prendendo la derivata covariante spazio-temporale D della (6.66) ed imponendo (6.63).

In termini di \mathcal{W} , *master 1-form* dello spazio (x, Z) definita nella (6.21), e della derivata esterna totale $\hat{d} = d + d_Z$, il sistema (6.62-6.66) si riscrive in modo compatto come

$$\mathcal{R} = \frac{i}{4} (dz^\alpha \wedge dz_\alpha B \star \kappa + d\bar{z}^{\dot{\alpha}} \wedge d\bar{z}_{\dot{\alpha}} B \star \bar{\kappa}) , \quad (6.68)$$

$$\hat{d}B + \mathcal{W} \star B - B \star \bar{\pi}(\mathcal{W}) = 0 , \quad (6.69)$$

dove \mathcal{R}   la 2-forma di curvatura totale definita in (6.24). Questa forma delle equazioni di Vasiliev   la pi  diretta realizzazione dell'ansatz (6.46). La consistenza del sistema nello

⁵Tenendo conto della (6.49) e della definizione di S ,   chiaro che questa propriet    equivalente all'identit  di Bianchi per la derivata covariante S nelle direzioni ausiliarie Z , sicch  (6.65) gioca effettivamente il ruolo di condizione di consistenza di (6.66). Si noti inoltre che, sebbene κ anticommuti con le potenze dispari di dz^α , S commuta con i termini proporzionali a $B \star \kappa$ di (6.66) in virt  del fatto che $dz^\alpha \wedge dz^\beta \wedge dz^\gamma = 0$, poich  gli indici spinoriali assumono solo due valori (analoghe considerazioni valgono per gli hermitiani coniugati).

spazio (x, Z) si dimostra facilmente notando che la (6.69) è il vincolo differenziale sulla 0-forma B necessario affinché la (6.68) sia compatibile con l'identità di Bianchi (6.25)

$$\hat{D}\mathcal{R} = 0 = \frac{i}{4}(dz^\alpha \wedge dz_\alpha \hat{D}(B \star \kappa)) - \text{h.c.} . \quad (6.70)$$

Si trova infatti che

$$\hat{D}(B \star \kappa) = \hat{D}B \star \kappa + B \star \partial\kappa , \quad (6.71)$$

con $\partial = dz^\alpha \frac{\partial}{\partial z^\alpha}$, ma il secondo termine non contribuisce in (6.70) poiché $dz^\alpha \wedge dz^\beta \wedge dz^\gamma = 0$. La (6.68), a sua volta, è la condizione di compatibilità della (6.69) con l'identità $\hat{D}^2 B = 0$:

$$0 = \hat{D}^2 B = \mathcal{R} \star B - B \star \bar{\pi}(\mathcal{R}) , \quad (6.72)$$

e la consistenza si verifica sostituendo la (6.68) in quest'ultima equazione e usando $\pi(B) = \bar{\pi}(B)$ e $\pi(\mathcal{R}) = \bar{\pi}(\mathcal{R})$. Il vincolo di curvatura (6.68) può essere riscritto in componenti come

$$\mathcal{R}_{\mu\nu} = 0 , \quad (6.73)$$

$$\mathcal{R}_{\alpha\mu} = 0 , \quad (6.74)$$

$$\mathcal{R}_{\dot{\alpha}\mu} = 0 , \quad (6.75)$$

$$\mathcal{R}_{\alpha\dot{\alpha}} = 0 , \quad (6.76)$$

$$\mathcal{R}_{\alpha\beta} = -\frac{i}{2}\epsilon_{\alpha\beta} B \star \kappa , \quad (6.77)$$

$$\mathcal{R}_{\dot{\alpha}\dot{\beta}} = -\frac{i}{2}\epsilon_{\dot{\alpha}\dot{\beta}} B \star \bar{\kappa} , \quad (6.78)$$

evidenziandone più direttamente il contenuto: le componenti xx e xZ della curvatura totale sono annullate dalle equazioni del moto, mentre non lo sono le componenti ZZ , proporzionali alla *master 0-form* proiettata con $\kappa, \bar{\kappa}$. Ricordando le definizioni di W ed S , è chiaro che questa è esattamente l'informazione contenuta nei vincoli di curvatura (6.62), (6.64) e (6.66), mentre (6.63) e (6.65) indicano che la 0-forma B è covariantemente costante sia nelle direzioni spazio-temporali x che in quelle ausiliarie non commutative Z , analogamente a quanto fa (6.69). L'equivalenza dei due sistemi di equazioni si può dimostrare in modo più rigoroso attraverso l'analisi delle (6.68-6.69) e della (6.25) nelle

loro componenti (p, q, r) , dove con p , q ed r si intende il grado nelle direzioni x , z e \bar{z} , rispettivamente, delle forme differenziali che in esse compaiono. Facendo uso di (6.49), si verifica infatti che le componenti $(1, 1, 0)$ e $(1, 0, 1)$ di (6.68) danno

$$dV + d_Z W + W \star V + V \star W = 0 , \quad (6.79)$$

equivalente alla (6.64). Le componenti $(0, 2, 0)$, $(0, 1, 1)$ e $(0, 0, 2)$ forniscono invece la condizione

$$d_Z V + V \star V = \frac{i}{4} (dz^\alpha \wedge dz_\alpha B \star \kappa + d\bar{z}^{\dot{\alpha}} \wedge d\bar{z}_{\dot{\alpha}} B \star \bar{\kappa}) , \quad (6.80)$$

che corrisponde esattamente alla (6.66), come si vede ricordando la definizione di S (6.58). Per definizione di $\mathcal{R}_{\mu\nu}$, le componenti $(2, 0, 0)$ corrispondono alla (6.62). Le componenti $(1, 2, 0)$ dell'identità di Bianchi (6.25) danno inoltre luogo alla (6.69), mentre dalle componenti $(0, 2, 1)$ e $(0, 1, 2)$ scaturisce il vincolo

$$d_Z B + V \star B - B \star \bar{\pi}(V) = 0 , \quad (6.81)$$

equivalente alla (6.65).

La FDA estesa realizzata nei vincoli (6.68-6.69) ammette naturalmente le simmetrie di gauge (6.26) e (6.37). Le prime si traducono, in termini delle variabili W ed S , nelle

$$\delta_{\hat{\epsilon}} W = d\hat{\epsilon} + [W, \hat{\epsilon}]_\star , \quad (6.82)$$

$$\delta_{\hat{\epsilon}} S = [S, \hat{\epsilon}]_\star , \quad (6.83)$$

che insieme alla (6.37) costituiscono le simmetrie di gauge del sistema (6.62-6.66). Come già sottolineato nel caso lineare, le equazioni sono anche manifestamente invarianti sotto diffeomorfismi spazio-temporali, essendo formulate in termini di forme differenziali. Le trasformazioni generali di coordinate $dx^\mu = \xi^\mu$ sono infatti incorporate nel gruppo di gauge, tramite i parametri dipendenti dai campi $\hat{\epsilon}(\xi) = i_\xi W$.

Se nello spazio esteso (x, Z) le (6.62-6.66) realizzano una FDA (tenendo presente che nelle ultime due equazioni del sistema i termini derivativi di spazio Z sono inclusi in S), è altresì evidente che nello spazio-tempo ordinario, considerando le Z come un raddoppiamento delle variabili spinoriali interne Y , le equazioni di Vasiliev hanno la forma

unfolded: la (6.62) è un’equazione di curvatura nulla, le (6.63) e (6.64) stabiliscono che due 0-forme (dal punto di vista spazio-temporale S è infatti una 0-forma) sono covariantemente costanti, e le (6.65) e (6.66) hanno la funzione di vincoli puramente algebrici. Questa osservazione suggerisce la possibilità di esprimere la dipendenza dei campi W , B ed S dalle coordinate x come pura libertà di gauge, risolvendo le (6.62-6.64) in termini delle condizioni iniziali $B(x_0|Y, Z) \equiv b(Y, Z)$ ed $S(x_0|Y, Z) \equiv s(Y, Z)$, secondo la discussione generale della sezione 5.6:

$$W(x|Y, Z) = \hat{g}(x|Y, Z) \star d\hat{g}(x|Y, Z) , \quad (6.84)$$

$$B(x|Y, Z) = \hat{g}^{-1}(x|Y, Z) \star B(x_0|Y, Z) \star \bar{\pi}(\hat{g})(x|Y, Z) , \quad (6.85)$$

$$S(x|Y, Z) = \hat{g}^{-1}(x|Y, Z) \star S(x_0|Y, Z) \star \hat{g}(x|Y, Z) , \quad (6.86)$$

dove $\hat{g}(x|Y, Z)$ è un elemento invertibile di $\widehat{hs}(4)$. Questo implica che le soluzioni gauge-inequivalenti dell’intero sistema (6.62-6.66) sono tutte e sole le soluzioni delle equazioni differenziali di primo ordine nelle coordinate ausiliarie Z che si ottengono sostituendo le (6.84-6.86) nelle rimanenti equazioni (6.65) e (6.66) [56]:

$$\begin{aligned} s \star b &= b \star \bar{\pi}(s) , \\ s \star s &= i dz^\alpha \wedge dz_\alpha (1 + B \star \kappa) + i d\bar{z}^{\dot{\alpha}} \wedge d\bar{z}_{\dot{\alpha}} (1 + B \star \bar{\kappa}) , \end{aligned} \quad (6.87)$$

indipendenti dalle coordinate x e tuttavia contenenti tutta l’informazione sulla dinamica dei campi di spin arbitrario. Incontriamo quindi nuovamente, nell’ambito della teoria non lineare, la peculiarità che alcuni vincoli puramente algebrici codificano interamente la dinamica, a riprova del fatto che il sistema (6.62-6.66) è un esempio di formulazione *unfolded*. Le condizioni (6.84-6.86) sono invarianti sotto trasformazioni di gauge di $\widehat{hs}(4)$ indipendenti dalle coordinate spazio-temporali x , ed il loro studio potrebbe dar luogo a soluzioni di vuoto della teoria differenti dal background AdS , come sottolineato in [56].

6.3 Espansione perturbativa da AdS

Si tratta a questo punto di stabilire un contatto tra le (6.62-6.66) e le equazioni linearizzate trattate nel capitolo precedente, che abbiamo visto corrispondere esattamente alle

equazioni del moto libere dei campi di massa nulla e spin arbitrario in AdS_4 . A tale scopo, come spiegato nella sezione 6.1, sarà necessario seguire una strategia opposta a quella che ci ha condotto alle (6.84-6.86), ottenendo anzitutto, dalle (6.64-6.66), la dipendenza dalle coordinate ausiliarie Z di W , B ed S in termini delle “condizioni iniziali” $w(x|Y)$ e $C(x|Y)$ (0-forme di spazio Z), ed inserendo quindi le espressioni ottenute nelle rimanenti (6.62-6.63). Queste ultime, all’ordine lineare nell’espansione attorno al background AdS , coincideranno con le equazioni (5.143) e (5.144) del *Central On-Mass-Shell Theorem*.

Si può verificare che la scelta

$$\begin{aligned} B_0 &= 0 , \\ S_0 &= dz^\alpha z_\alpha + d\bar{z}^{\dot{\alpha}} \bar{z}_{\dot{\alpha}} , \\ W_0 &= \frac{i}{8} [\omega_{0\alpha\beta} y^\alpha y^\beta + \bar{\omega}_{0\dot{\alpha}\dot{\beta}} \bar{y}^{\dot{\alpha}} \bar{y}^{\dot{\beta}} + 2L^{-1} e_{0\alpha\dot{\alpha}} y^\alpha \bar{y}^{\dot{\alpha}}] = \omega_0 , \end{aligned} \quad (6.88)$$

è una soluzione di vuoto delle (6.62-6.66), e identifica il fondo AdS_4 . Essa rompe la simmetria $\widehat{hs}(4)$ di queste ultime alla sottoalgebra che la stabilizza, corrispondente all’insieme dei parametri $\hat{\epsilon}_0$ che soddisfano le equazioni di Killing generalizzate

$$\delta_{\hat{\epsilon}_0} W_0 = d\hat{\epsilon}_0 + [W_0, \hat{\epsilon}_0]_\star = 0 , \quad (6.89)$$

$$\delta_{\hat{\epsilon}_0} B_0 = -\hat{\epsilon} \star B_0 + B_0 \star \bar{\pi}(\hat{\epsilon}) = 0 , \quad (6.90)$$

$$\delta_{\hat{\epsilon}_0} S_0 = [S_0, \hat{\epsilon}_0]_\star = d_Z \hat{\epsilon}_0 = 0 . \quad (6.91)$$

L’equazione (6.90) è soddisfatta banalmente, la (6.91) implica che $\hat{\epsilon}_0$ sia indipendente dalle Z , mentre la (6.89), come accennato nel capitolo precedente, ammette soluzioni $\epsilon_0 \in hs(4)$. In particolare, quest’ultima corrisponde ad un’equazione di costanza covariante per il parametro ϵ_0 , indipendente da Z , la cui consistenza è garantita dal fatto che W_0 risolve un’equazione di curvatura nulla come la (6.62). Ciò comporta [38] che la (6.89) ammette localmente una soluzione unica del tipo

$$\epsilon_0(x|Y) = g^{-1}(x|Y) \star \epsilon_0(x_0|Y) \star g(x|Y) , \quad (6.92)$$

con $\epsilon_0(x_0|Y) = \epsilon_0(Y)$ elemento arbitrario e costante dell'algebra $hs(4)$, che corrisponde dunque alla simmetria globale della teoria (ovvero al sottoinsieme delle trasformazioni di gauge di $\widehat{hs}(4)$ che lascia invarianti i campi di background (6.88)).

Si procede quindi ad un'analisi perturbativa [50] delle equazioni (6.62-6.66) espandendo in potenze di B , ovvero intorno alla soluzione di vuoto (6.88):

$$\begin{aligned} B &= B_1 + B_2 + \dots , \\ S &= S_0 + S_1 + S_2 + \dots , \\ W &= W_0 + W_1 + W_2 + \dots . \end{aligned} \tag{6.93}$$

Inserendo tali espansioni nelle (6.65-6.66) e ricordando la (6.49), si ottiene

$$d_Z B_n = \frac{i}{2} \sum_{j=1}^{n-1} (B_j \star \bar{\pi}(S_{n-j}) - S_j \star B_{n-j}) , \tag{6.94}$$

$$\begin{aligned} d_Z S_n &= -\frac{1}{2} dz^\alpha \wedge dz_\alpha B_n \star \kappa - \frac{1}{2} d\bar{z}^{\dot{\alpha}} \wedge d\bar{z}_{\dot{\alpha}} B_n \star \bar{\kappa} \\ &\quad - \frac{i}{2} \sum_{j=1}^{n-1} S_j \star S_{n-j} , \quad n = 1, 2, \dots , \end{aligned} \tag{6.95}$$

un sistema di equazioni differenziali lineari di primo ordine nelle variabili spinoriali Z consistente ordine per ordine in teoria delle perturbazioni, come si può verificare applicando d_Z ad ambo i membri di (6.94-6.95) ed imponendo che $d_Z^2 = 0$ e che le equazioni di ordine $i < n$ siano soddisfatte. Avendo dunque integrato tali equazioni fino all'ordine $n - 1$, la soluzione di ordine n si ottiene ricavando anzitutto B_n dalla (6.94),

$$\begin{aligned} B_n(x|Y, Z) &= C_n(x|Y) \\ &\quad + \frac{i}{2} \sum_{j=1}^{n-1} \int_0^1 dt \left\{ z^\alpha (B_j \star \bar{\kappa} \star S_\alpha^{n-j} \star \bar{\kappa} - S_\alpha^j \star B_{n-j})(x|Y, tZ) \right. \\ &\quad \left. - \bar{z}^{\dot{\alpha}} (B_j \star \bar{\kappa} \star \bar{S}_{\dot{\alpha}}^{n-j} \star \bar{\kappa} + \bar{S}_{\dot{\alpha}}^j \star B_{n-j})(x|Y, tZ) \right\} , \end{aligned} \tag{6.96}$$

sostituendolo successivamente in (6.95), e risolvendo per S_n ,

$$S_\alpha^n(x|Y, Z) = \frac{\partial}{\partial z^\alpha} \xi_n(x|Y, Z)$$

$$\begin{aligned}
& + \int_0^1 dt t \left\{ z_\alpha (B_n \star \kappa + \frac{i}{2} \sum_{j=1}^{\lfloor \frac{n-1}{2} \rfloor} [S_j^\beta, S_\beta^{n-j}]_\star)(x|Y, tZ) \right. \\
& \left. + \bar{z}^{\dot{\alpha}} \frac{i}{2} \sum_{j=1}^{n-1} [S_\alpha^j, \bar{S}_\alpha^{n-j}]_\star(x|Y, tZ) \right\}, \tag{6.97}
\end{aligned}$$

$$\begin{aligned}
\bar{S}_\alpha^n(x|Y, Z) &= \frac{\partial}{\partial \bar{z}^{\dot{\alpha}}} \xi_n(x|Y, Z) \\
& + \int_0^1 dt t \left\{ \bar{z}_{\dot{\alpha}} (B_n \star \bar{\kappa} + \frac{i}{2} \sum_{j=1}^{\lfloor \frac{n-1}{2} \rfloor} [\bar{S}_j^{\dot{\beta}}, \bar{S}_{\dot{\beta}}^{n-j}]_\star)(x|Y, tZ) \right. \\
& \left. + z^\alpha \frac{i}{2} \sum_{j=1}^{n-1} [S_\alpha^j, \bar{S}_\alpha^{n-j}]_\star(x|Y, tZ) \right\}, \tag{6.98}
\end{aligned}$$

dove $\lfloor \frac{n-1}{2} \rfloor$ indica la parte intera di $\frac{n-1}{2}$. Per l'integrazione di queste equazioni sono state applicate le formule generali (C.10) e (C.11) date in appendice C. Tutti gli \star -prodotti si intendono calcolati prima che le variabili Z siano riscalate in tZ .

Si noti che, a seguito dell'integrazione, a secondo membro della (6.96) compare la condizione iniziale

$$B_n(x|Y, Z)|_{Z=0} \equiv C_n(x|Y), \quad n = 1, 2, \dots, \tag{6.99}$$

che eredita le proprietà (6.38) di B_n nel sottospazio $Z = 0$ dello spazio esteso, e trasforma quindi nella rappresentazione *twisted adjoint* di $hs(4)$. Anche le (6.97) e (6.98) sono definite a meno di una 1-forma di spazio Z esatta, $d_Z \xi_n(x|Y, Z)$, dove $\xi_n(x|Y, Z)$ è una 0-forma arbitraria a valori in $\widehat{hs}(4)$. Tuttavia quest'ultima è pura gauge, come risulta chiaro osservando l'ordine n della trasformazione di gauge di S (6.83), di parametro $\hat{e} = \hat{e}_1 + \hat{e}_2 + \dots$,

$$\delta S_n = -2id_Z \hat{e}_n + \sum_{j=1}^{n-1} [S_j, \hat{e}_{n-j}]_\star, \quad n = 1, 2, \dots, \tag{6.100}$$

e può sempre essere posta uguale a zero, scegliendo opportunamente \hat{e}_n . In altri termini, ordine a ordine in B si fissa

$$\xi_n = 0, \quad n = 1, 2, \dots, \tag{6.101}$$

e le simmetrie di gauge che preservano tale scelta sono tutte e sole quelle di parametro $\hat{\epsilon}_i(x|Y, Z) = \epsilon_i(Y, Z)$, $i = 1, \dots, n$, indipendenti da Z e a valori in $hs(4)$. Come conseguenza, ordine per ordine il campo S può essere interamente espresso in termini di B , sicché resta dimostrato, come preannunciato nella sezione 6.1, che esso non descrive gradi di libertà fisici, ma ha il ruolo di un compensatore.

Avendo risolto le (6.65-6.66) per B ed S , si passa a ricavare la dipendenza dalle Z di W integrando la (6.64), che all'ordine n fornisce

$$d_Z W_n = -\frac{i}{2} dS_n - \frac{i}{2} \sum_{j=0}^{n-1} (W_j \star S_{n-j} + S_{n-j} \star W_j), \quad n = 1, 2, \dots \quad (6.102)$$

Introducendo la condizione iniziale

$$W_n(x|Y, Z)|_{Z=0} \equiv w_n(x|Y), \quad n = 1, 2, \dots, \quad (6.103)$$

ed applicando (C.10), si ottiene

$$\begin{aligned} W_n(x|Y, Z) &= w_n(x|Y) \\ &+ \frac{i}{2} \int_0^1 dt \left\{ z^\alpha \left(\sum_{j=0}^{n-1} [W_j^\beta, S_\alpha^{n-j}]_\star \right) (x|Y, tZ) \right. \\ &\left. + \bar{z}^{\dot{\alpha}} \left(\sum_{j=0}^{n-1} [W_j^\beta, \bar{S}_\alpha^{n-j}]_\star \right) (x|Y, tZ) \right\}, \end{aligned} \quad (6.104)$$

dove il termine proporzionale a $z^\alpha dS_\alpha^n$ ed il complesso coniugato, a priori inclusi nell'integrando, sono nulli grazie alle (6.97) e (6.98) con $\xi_n = 0$, tenendo conto del fatto che $z^\alpha z_\alpha = \bar{z}^{\dot{\alpha}} \bar{z}_{\dot{\alpha}} = 0$.

A questo punto abbiamo ricavato W e B completamente in termini delle condizioni iniziali indipendenti

$$\begin{aligned} C(x|Y) &= B(x|Y, Z)|_{Z=0} = C_1(x|Y) + C_2(x|Y) + \dots, \\ w(x|Y) &= W(x|Y, Z)|_{Z=0} = w_0(x|Y) + w_1(x|Y) + w_2(x|Y) + \dots, \end{aligned} \quad (6.105)$$

e non resta che sostituire le espressioni ottenute nelle (6.62-6.63). Possiamo limitarci a studiare queste ultime nel sottospazio $Z = 0$, come conseguenza della consistenza delle

equazioni (6.64-6.65), che garantisce la validità delle condizioni

$$[S, dW + W \star W]_{\star} = 0 , \quad (6.106)$$

$$S \star \mathcal{D}B + \mathcal{D}B \star \bar{\pi}(S) = 0 , \quad (6.107)$$

se si tengono presenti le (6.64-6.65) stesse. Ma tali condizioni implicano che le (6.62-6.63) sono covariantemente costanti, ovvero che la loro dipendenza da Z può essere assorbita in una trasformazione di gauge di $\widehat{h}s(4)$ (in modo analogo a quanto accadeva, in un contesto diverso, per la dipendenza dalle x nelle (6.84-6.86)), sicché le (6.62-6.63) sono soddisfatte per ogni Z se lo sono per $Z = 0$.

Possiamo dunque verificare che all’ordine lineare in B si ottengano effettivamente le equazioni del *Central On-Mass-Shell Theorem*. Anzitutto, trascurando i termini di ordine superiore al primo, le (6.96),(6.97), (6.98) e (6.104) forniscono

$$B_1(x|Y, Z) = C(x|Y) , \quad (6.108)$$

$$S_1(x|Y, Z) = \int_0^1 dt t (dz^\alpha z_\alpha C(x|tz, \bar{y}) \kappa(tz, y) + d\bar{z}^{\dot{\alpha}} \bar{z}_{\dot{\alpha}} C(x|y, t\bar{z}) \bar{\kappa}(t\bar{z}, \bar{y})) , \quad (6.109)$$

$$W_1(x|Y, Z) = \omega(x|Y) + \Omega_1(x|Y, Z) , \quad (6.110)$$

dove, con un leggero abuso di notazione, abbiamo posto $C_1 \rightarrow C$ e $w_1 \rightarrow \omega$, e abbiamo definito

$$\Omega_1(x|Y, Z) = -\frac{1}{2} \int_0^1 dt' \int_0^1 dt t \left\{ \left(itt' \omega_0^{\alpha\beta} z_\alpha z_\beta + e_0^{\alpha\dot{\beta}} z_\alpha \bar{\partial}_{\dot{\beta}} \right) C(x|tt'z, \bar{y}) \kappa(tt'z, y) + \left(itt' \omega_0^{\dot{\alpha}\dot{\beta}} \bar{z}_{\dot{\alpha}} \bar{z}_{\dot{\beta}} - e_0^{\alpha\dot{\beta}} \bar{z}_{\dot{\beta}} \partial_\alpha \right) C(x|y, tt'z) \bar{\kappa}(tt'\bar{z}, \bar{y}) \right\} , \quad (6.111)$$

dove $\partial_\alpha = \frac{\partial}{\partial y^\alpha}$. Inseriamo ora B_1 e W_1 nelle (6.62-6.63) linearizzate e calcolate in $Z = 0$. La prima diventa

$$R_1 = -\{\omega_0, \Omega_1\}_{\star}|_{Z=0} , \quad (6.112)$$

dove R_1 è la curvatura linearizzata rispetto al background *AdS* definita nelle (5.65) e (5.67). Si noti che, sebbene $\Omega_1|_{Z=0} = 0$, il secondo membro della (6.112) è diverso da zero,

a causa della presenza di contrazioni non banali tra le Y e le Z . La (6.63) linearizzata fornisce invece

$$\mathcal{D}_0 C = dC + \omega_0 \star C - C \star \bar{\pi}(\omega_0) = 0, \quad (6.113)$$

che coincide evidentemente con la (5.144). Sostituendo le definizioni di ω_0 ed Ω_1 nel secondo membro della (6.112), calcolando gli \star -prodotti e prendendo infine $Z = 0$ si ottiene

$$R_1 = \frac{i}{4} \left[e_0^{\alpha\dot{\beta}} \wedge e_0^{\gamma\dot{\beta}} \partial_\alpha \partial_\gamma C(x|y, 0) + e_0^{\beta\dot{\alpha}} \wedge e_0^{\dot{\gamma}\beta} \partial_\alpha \partial_\gamma C(x|y, 0) \right], \quad (6.114)$$

ovvero la (5.143), come preannunciato.

Ciò dimostra che il sistema (6.62-6.66), totalmente consistente e, di conseguenza (secondo lo schema delle FDA), invariante sotto le trasformazioni di gauge di HS oltre che esplicitamente invariante sotto diffeomorfismi, contiene tutta l’informazione fisica del *Central On-Mass-Shell Theorem* e generalizza la dinamica dei campi di massa nulla e spin arbitrario a tutti gli ordini nelle loro mutue interazioni. Ciononostante, estrarre delle equazioni del moto interagenti che coinvolgano i soli campi fisici (la generalizzazione delle (5.133)), eliminando tutti i campi ausiliari attraverso gli appropriati vincoli di curvatura contenuti nelle (6.62-6.66) stesse (o, equivalentemente, nel sistema (6.68-6.69)) secondo la procedura esaminata nel caso lineare, è una questione altamente non banale e tuttora oggetto di indagine (si veda, ad esempio, [52] per uno studio della struttura dei termini quadratici).

6.4 Unicità dei termini non lineari

La richiesta di consistenza e la necessità di riprodurre la corretta dinamica a livello linearizzato non fissano univocamente la forma delle equazioni non lineari. È dunque interessante esaminare fino a che punto ulteriori vincoli “naturali” possano ridurre l’arbitrarietà dei termini del sistema (6.62-6.66) e in quali casi esista una effettiva ambiguità nei vertici di interazione dei campi di gauge inclusi nei *master fields* W_μ , B ed S_α . Concentreremo la nostra analisi sul vincolo di curvatura (6.66), che dà luogo ad interazioni non banali

decretando che la curvatura ZZ sia proporzionale ad un termine di sorgente dipendente da B . Analoga funzione svolge la sua generalizzazione [38]

$$\begin{aligned} S \star S &= i dz^\alpha \wedge dz_\alpha (F(B) + \mathcal{V}(B \star \kappa)) + i d\bar{z}^{\dot{\alpha}} \wedge d\bar{z}_{\dot{\alpha}} (\bar{F}(B) + \bar{\mathcal{V}}(B \star \bar{\kappa})) \\ &\quad - i dz^\alpha \wedge dz^{\dot{\beta}} H_{\alpha\dot{\beta}}(B) , \end{aligned} \quad (6.115)$$

dove $F(X)$ e $\mathcal{V}(X)$ sono funzioni complesse arbitrarie, la seconda delle quali costruita attraverso lo \star -prodotto come $\mathcal{V}(X) = b_0 + b_1 X + b_2 X \star X + \dots$, mentre $H_{\alpha\dot{\beta}}(X)$ è una funzione hermitiana, $(H_{\alpha\dot{\beta}})^\dagger = H_{\dot{\beta}\alpha}$, anch'essa espandibile in serie di \star -potenze del suo argomento. La (6.115) è compatibile con le identità di Bianchi, sia di spazio x che di spazio Z , del primo membro, se si assume la validità delle rimanenti equazioni (6.62-6.65), sicché tale generalizzazione non rovina la consistenza del sistema.

Notiamo anzitutto che, purché $F(0) \neq 0$, $F(B)$ può sempre essere riassorbita in una ridefinizione dei campi ausiliari inclusi in S

$$S \rightarrow S' = [F(B)]^{-\frac{1}{2}} dz^\alpha S_\alpha + [\bar{F}(B)]^{-\frac{1}{2}} d\bar{z}^{\dot{\alpha}} \bar{S}_{\dot{\alpha}} , \quad (6.116)$$

del tutto innocua per le (6.62-6.65). Ciò implica che è sempre possibile porre $F(B) = 1$ e che, di conseguenza, non c'è alcuna ambiguità in questo termine.

Si può inoltre dimostrare [55] che la possibilità di ridefinire B attraverso una funzione reale $B \rightarrow B' = f(B)$ fa sì che $\mathcal{V}(X)$ sia definito a meno della relazione di equivalenza

$$\mathcal{V} \sim \mathcal{V}' \quad \text{se} \quad \mathcal{V}(X) = \mathcal{V}'(f(X)) , \quad f(-X) = -f(X) , \quad (6.117)$$

e che, come conseguenza, assumendo che $\mathcal{V}(X)$ parta con termini lineari in X , si può in generale prendere

$$|b_1| = 1 , \quad b_1 = e^{i\theta_1} , \quad (6.118)$$

ridefinendo $B \rightarrow |b_1|^{-1} B$. Vedremo nel seguito che la richiesta di simmetria sotto trasformazioni di Lorentz locali vincolerà $\mathcal{V}(X)$ ad essere una funzione dispari del suo argomento,

$$\mathcal{V}(X) = b_1 X + b_3 X \star X \star X + \dots \quad (6.119)$$

sicché l'ipotesi $b_0 = 0$ è verificata. Abbiamo visto in questo capitolo che anche la scelta più semplice, $\mathcal{V}(X) = b_1 X$, dà origine ad infiniti termini non lineari e ad una dinamica

altamente non banale, mentre gli ordini superiori di $\mathcal{V}(B \star \kappa)$ introdurrebbero correzioni alle interazioni di ordine più alto, senza alterare il primo ordine in B , che riproduce le corrette equazioni del moto dei campi di gauge di spin arbitrario in AdS_4 . I parametri liberi inclusi in $\mathcal{V}(X)$ costituiscono dunque delle vere ambiguità, non eliminabili attraverso alcuna ridefinizione dei campi. Resta inoltre del tutto indeterminata la funzione $H_{\alpha\dot{\beta}}(X)$.

Tuttavia, come anticipato, esiste una richiesta piuttosto naturale ma molto restrittiva che specifica ulteriormente la forma della (6.115): si tratta di imporre che le trasformazioni di Lorentz locali siano una simmetria delle equazioni interagenti (6.62-6.66), ovvero che le correzioni non lineari legate all’evoluzione lungo le direzioni non commutative Z non deformino la simmetria di Lorentz locale. Tale richiesta trova giustificazione nel fatto che è proprio questa simmetria locale che garantisce l’equivalenza della formulazione di Einstein (metrica) e di quella del formalismo del vielbein della Relatività Generale, assicurando che i parametri in più del tensore fondamentale non simmetrico $e_\mu^a(x)$ rispetto al tensore simmetrico $g_{\mu\nu}(x)$ (6, in $d = 4$) possano sempre essere riassorbiti in un’opportuna trasformazione di gauge di $so(3, 1)$, di parametro $\Lambda^{ab}(x)$ antisimmetrico (contenente dunque esattamente 6 parametri liberi, in $d = 4$). Ciò consente anche di introdurre gli spinori, come rappresentazioni a due valori del gruppo di Lorentz locale, nel contesto di una teoria invariante sotto diffeomorfismi, e appare quindi ragionevole richiedere che tale simmetria non venga rotta nel passaggio alla teoria non lineare di HS.

Una trasformazione di Lorentz locale infinitesima di parametro $\Lambda^{\alpha\beta}(x)$ agisce su una generica funzione $F(y, \bar{y}) \in \mathcal{A}^\star$ come

$$\delta F(y, \bar{y}) = [F(y, \bar{y}), (\frac{1}{4i}\Lambda^{\alpha\beta}(x)M_{\alpha\beta}) - \text{h.c.}]_\star, \quad (6.120)$$

dove il generatore $M_{\alpha\beta} = -y_\alpha y_\beta$ e l’hermitiano coniugato ruotano gli indici spinoriali interni di F attraverso lo \star -commutatore come $\delta y_\alpha = \Lambda_\alpha^\beta y_\beta$ e analogamente per $\bar{y}_{\dot{\alpha}}$. Avendo introdotto nuove direzioni z, \bar{z} , per avere invarianza di Lorentz locale delle equazioni (6.62-6.66) dobbiamo anzitutto estendere i generatori di Lorentz definiti nelle prime due equazioni della (5.29), poiché è ora necessario ruotare anche queste nuove variabili spinoriali. Tenendo conto del fatto che le Z soddisfano un’algebra identica a quella delle Y ma

con il segno della contrazione opposto, è chiaro che il generatore

$$\widehat{M}_{\alpha\beta} = z_\alpha z_\beta - y_\alpha y_\beta \quad (6.121)$$

ruota correttamente le funzioni $\widehat{F}(Y, Z) \in \widehat{\mathcal{A}}^\star$ mediante lo \star -commutatore con il parametro

$$\hat{\epsilon}_0(\Lambda) = \frac{1}{4i} \Lambda^{\alpha\beta} \widehat{M}_{\alpha\beta} - \text{h.c.} . \quad (6.122)$$

In particolare

$$\delta y_\alpha = \Lambda_\alpha^\beta y_\beta , \quad \delta z_\alpha = \Lambda_\alpha^\beta z_\beta , \quad (6.123)$$

e analogamente per gli hermitiani coniugati.

Le trasformazioni di Lorentz locali generate dal parametro (6.122) sono effettivamente una simmetria delle equazioni (6.62-6.66), ma non della loro soluzione di vuoto! La forma della (6.66) mostra infatti che $S_{\underline{\alpha}}$ deve avere un valore di vuoto non banale, $S_{0\underline{\alpha}} \sim Z_{\underline{\alpha}}$, evidentemente non invariante sotto lo \star -commutatore con (6.122). In altri termini, la simmetria delle equazioni non lineari sotto trasformazioni di Lorentz locali è spontaneamente rotta dalla loro soluzione di vuoto, poiché il parametro (6.122) non soddisfa la (6.91). Si tratta quindi di trovare, se esistono, trasformazioni di Lorentz locali che siano una simmetria delle equazioni non lineari ma non alterino il vuoto. Mantenendo la notazione S_0 per la soluzione di vuoto (6.88), tenendo presente la definizione di S (6.58) e ricordando che nella sezione precedente abbiamo trovato che, a meno di una trasformazione di gauge, V è completamente esprimibile in termini di B , e dunque è almeno di primo ordine nell’espansione perturbativa attorno al background AdS , possiamo riformulare il problema chiedendoci se esista una generalizzazione dei generatori (6.122) della simmetria di Lorentz locale che non alteri la scelta di gauge (6.101), ovvero $V_\alpha|_{Z=0} = \bar{V}_\alpha|_{Z=0} = 0$, ovvero $V_0 = 0$. Facendo uso di (6.60) si trova infatti che, sotto (6.122),

$$\delta V_\alpha = -\frac{1}{2i} \Lambda_\alpha^\beta z_\beta + [V_\alpha, \hat{\epsilon}_0(\Lambda)]_\star , \quad (6.124)$$

il cui termine non omogeneo altera evidentemente il valore di vuoto. È necessario quindi che le trasformazioni di Lorentz locali generalizzate ruotino in modo corretto anche l’indice spinoriale libero di V , dando luogo ad una legge di trasformazione omogenea. Riscriviamo

anzitutto la (6.124) in termini di S ,

$$\delta V_\alpha = -\frac{1}{2i}\Lambda_\alpha{}^\beta S_\beta - \Lambda_\alpha{}^\beta V_\beta + [V_\alpha, \hat{\epsilon}_0(\Lambda)]_\star, \quad (6.125)$$

e notiamo che a secondo membro abbiamo già la trasformazione di V che cerchiamo, a parte un termine proporzionale ad S , che deve scomparire. L’osservazione cruciale è che ciò è possibile se $H_{\alpha\dot{\beta}}(X) = 0$! In questo caso infatti il vincolo di curvatura (6.66), che, esplicitando gli indici e guardando la sola parte olomorfa, si scrive

$$S_\alpha \star S_\beta - S_\beta \star S_\alpha = -2i\varepsilon_{\alpha\beta}(1 + B \star \kappa), \quad (6.126)$$

ha la forma di un’algebra di Heisenberg deformata,

$$[\hat{y}_\alpha, \hat{y}_\beta] = 2i\varepsilon_{\alpha\beta}(1 + \nu k), \quad \{\hat{y}_\alpha, k\} = 0, \quad k^2 = 1, \quad (6.127)$$

dove ν è un numero reale. La proprietà importante di quest’algebra è che, per ogni ν , è possibile costruire gli operatori

$$T_{\alpha\beta} = -\frac{1}{2}\{\hat{y}_\alpha, \hat{y}_\beta\}, \quad (6.128)$$

che soddisfano l’algebra di Lorentz

$$[T_{\alpha\beta}, T_{\gamma\delta}] = -2i(\varepsilon_{\alpha\gamma}T_{\beta\delta} + \varepsilon_{\beta\delta}T_{\alpha\gamma} + \varepsilon_{\alpha\delta}T_{\beta\gamma} + \varepsilon_{\beta\gamma}T_{\alpha\delta}), \quad (6.129)$$

$$[T_{\alpha\beta}, \hat{y}_\gamma] = -2i(\varepsilon_{\alpha\gamma}\hat{y}_\beta + \varepsilon_{\beta\gamma}\hat{y}_\alpha). \quad (6.130)$$

Con l’aiuto di (6.65), che implica

$$S_\alpha \star B \star \kappa + B \star \kappa \star S_\alpha = 0, \quad (6.131)$$

otteniamo dunque immediatamente, a condizione che $H_{\alpha\dot{\beta}}(X) = 0$, che il generatore che ruota nel modo corretto l’indice spinoriale di S è dato da

$$\hat{\epsilon}_{\text{extra}}(\Lambda) = \frac{1}{8i}\Lambda^{\alpha\beta} \{S_\alpha, S_\beta\}_\star - \text{h.c.} . \quad (6.132)$$

Si noti inoltre che questa conclusione resta valida anche nel caso in cui si generalizzi il termine di sorgente in $\mathcal{V}(B \star \kappa)$, purché $\mathcal{V}(X)$ sia una funzione dispari del suo argomento, come anticipato, in modo tale che la (6.65) continui ad implicare

$$S_\alpha \star \mathcal{V}(B \star \kappa) + \mathcal{V}(B \star \kappa) \star S_\alpha = 0, \quad (6.133)$$

il che non sarebbe verificato se $\mathcal{V}(X)$ fosse pari, per le proprietà delle mappe $\pi, \bar{\pi}$. Il segno opposto del secondo membro della (6.126) rispetto alla (6.127) fa sì che il generatore $-\frac{1}{2}\{S_\alpha, S_\beta\}_\star$ ruoti l'indice spinoriale libero di S con un fattore (-1) in più,

$$\left[-\frac{1}{2}\{S_\alpha, S_\beta\}_\star, S_\gamma\right] = +2i(\varepsilon_{\alpha\gamma}S_\beta + \varepsilon_{\beta\gamma}S_\alpha), \quad (6.134)$$

da cui segue che

$$\delta_{\text{extra}}V_\alpha = [V_\alpha, \hat{\epsilon}_{\text{extra}}(\Lambda)]_\star = \frac{1}{2i}\Lambda_\alpha{}^\beta S_\beta, \quad (6.135)$$

che cancella il termine proporzionale ad S della (6.125). Concludiamo dunque che il generatore della vera simmetria di Lorentz locale delle equazioni dei campi di HS non lineari, a tutti gli ordini nelle interazioni, è

$$L_{\alpha\beta} = \widehat{M}_{\alpha\beta} - \frac{1}{2}\{S_\alpha, S_\beta\}_\star, \quad (6.136)$$

insieme all'hermitiano coniugato, con il quale dà luogo alla trasformazione

$$\hat{\epsilon}_L(\Lambda) = \hat{\epsilon}_0(\Lambda) - \hat{\epsilon}_{\text{extra}}(\Lambda) = \frac{1}{4i}\Lambda^{\alpha\beta}L_{\alpha\beta} - \text{h.c.} . \quad (6.137)$$

Esaminiamone l'azione sui *master fields* della teoria nello spazio esteso. La variazione di B sotto (6.137) è data da

$$\delta_L B = B \star \bar{\pi}(\hat{\epsilon}_L) - \hat{\epsilon}_L \star B, \quad (6.138)$$

che, tenendo conto della (6.65) e del fatto che $\hat{\epsilon}_L$ è bilineare nelle Y nelle Z , fornisce

$$\delta_L B = [B, \hat{\epsilon}_0(\Lambda)]_\star. \quad (6.139)$$

Su V_α abbiamo ottenuto

$$\delta_L V_\alpha = -\Lambda_\alpha{}^\beta V_\beta + [V_\alpha, \hat{\epsilon}_0(\Lambda)]_\star, \quad (6.140)$$

sicché la scelta di gauge $V_0 = 0$ resta preservata e con essa, come sopra spiegato, la soluzione di vuoto delle equazioni (6.62-6.66). Equivalentemente si può mostrare [38] che $L_{\alpha\beta}$ ruota soltanto i termini di S contenenti B ,

$$\delta_L S_\alpha = \frac{\delta S_\alpha}{\delta B} \delta B, \quad (6.141)$$

lasciando dunque intatto il valore di vuoto S_0 . Infine, l'azione su W_μ è

$$\begin{aligned}\delta_L W_\mu &= D_\mu \hat{\epsilon}_L(\Lambda) \\ &= [W_\mu, \hat{\epsilon}_0(\Lambda)]_\star + \frac{1}{4i} (\partial_\mu \Lambda^{\alpha\beta}) L_{\alpha\beta} - \text{h.c.} ,\end{aligned}\quad (6.142)$$

dove si è tenuto conto della (6.64). I vincoli di curvatura che realizzano la FDA non lineare nello spazio-tempo ordinario, vale a dire le (6.62-6.63) in cui siano stati sostituiti $W(w, C)$ e $B(C)$ ottenuti risolvendo la dipendenza dalle Z di W , B ed S dalle rimanenti equazioni e si sia posto $Z = 0$, sono dunque invarianti sotto le trasformazioni di Lorentz locali

$$\delta_L C = [C, \epsilon_0(\Lambda)]_\star , \quad (6.143)$$

$$\delta_L w_\mu = [w_\mu, \epsilon_0(\Lambda)]_\star + \frac{1}{4i} (\partial_\mu \Lambda^{\alpha\beta}) [y_\alpha y_\beta - 4 (V_\alpha \star V_\beta)_{Z=0}] - \text{h.c.} , \quad (6.144)$$

dove

$$\epsilon_0(\Lambda) = \frac{1}{4i} \Lambda^{\alpha\beta} y_\alpha y_\beta - \text{h.c.} . \quad (6.145)$$

Si vede dunque che tutti i campi inclusi in C sono tensori di Lorentz, ovvero hanno trasformazioni di Lorentz locali omogenee. Le trasformazioni di w_μ non sono invece omogenee, e vi compaiono termini complicati, dipendenti dai campi. Questi termini vengono tuttavia naturalmente assorbiti in una ridefinizione della connessione di Lorentz $\omega_{L\mu}^{\alpha\beta}$, che, per definizione, trasforma in modo non omogeneo,

$$\delta_L \omega_{L\mu}^{\alpha\beta} = \partial_\mu \Lambda^{\alpha\beta} + \Lambda^\alpha_\gamma \omega_{L\mu}^{\gamma\beta} + \Lambda^\beta_\gamma \omega_{L\mu}^{\gamma\alpha} . \quad (6.146)$$

Seguendo [52], mostriamo infatti che, tenendo conto delle (6.140) e (6.146), la quantità $\omega_{L\mu} + K_\mu$, con

$$\omega_{L\mu} = \frac{1}{4i} \omega_{L\mu}^{\alpha\beta} y_\alpha y_\beta - \text{h.c.} , \quad (6.147)$$

$$K_\mu = i \omega_{L\mu}^{\alpha\beta} (V_\alpha \star V_\beta)_{Z=0} - \text{h.c.} , \quad (6.148)$$

trasforma come

$$\delta_L (\omega_{L\mu} + K_\mu) = [\omega_{L\mu} + K_\mu, \epsilon_0(\Lambda)]_\star + \frac{1}{4i} \partial_\mu \Lambda^{\alpha\beta} [y_\alpha y_\beta - 4 (V_\alpha \star V_\beta)_{Z=0}] - \text{h.c.} , \quad (6.149)$$

sicché

$$\delta_L(w_\mu - \omega_{L\mu} - K_\mu) = [w_\mu - \omega_{L\mu} - K_\mu, \epsilon_0(\Lambda)]_\star, \quad (6.150)$$

ovvero tutti i campi di spin arbitrario contenuti in w_μ diversi da $\omega_{L\mu}^{\alpha\beta}$ trasformano come tensori di Lorentz, mentre, come diretta conseguenza della generalizzazione (6.137), la connessione di Lorentz viene ridefinita con un termine non lineare legato alla curvatura di spazio Z . Tuttavia, la conclusione notevole che possiamo trarre da questi risultati è che *la simmetria di Lorentz locale resta indeformata*, nel passaggio alla teoria non lineare: come abbiamo visto, infatti, tutti i campi hanno trasformazioni omogenee sotto un generatore che, utilizzando le equazioni del moto (6.64-6.66), si riduce a quello della teoria linearizzata (6.145), mentre l’effetto delle interazioni viene completamente riassorbito nella connessione di Lorentz. Questo è un fatto assolutamente singolare, dato che, anche in un modello non minimale, la sola altra simmetria locale che resta indeformata è quella di Yang-Mills [48], mentre tutte le altre vengono ridefinite mediante termini dipendenti dalle curvature. Tale risultato comporta inoltre che la simmetria di Lorentz locale resta una sottoalgebra dell’algebra infinito-dimensionale di HS, il che non sarebbe potuto accadere se il generatore di Lorentz avesse subito una ridefinizione in termini di curvature di HS, con componenti sui generatori di spin $s > 1$.

Appendice A

Il teorema di Coleman-Mandula

Dopo la scoperta della simmetria di sapore $SU(3)$, che spiegava in modo sorprendente le relazioni tra adroni di identico spin, ci si chiese se esistesse un modo non banale di combinare le simmetrie interne e quelle spazio-temporali di una teoria di campo all'interno di un gruppo di simmetria più ampio. In altri termini, detta g un'algebra di simmetria interna e \mathcal{P} l'algebra di Poincaré, le teorie di campo “ordinarie” sono invarianti sotto la somma diretta $\mathcal{P} \oplus g$, il che significa che i generatori delle simmetrie interne commutano con i generatori delle traslazioni e delle trasformazioni di Lorentz P_μ e $J_{\mu\nu}$ dell'algebra di Poincaré, e non connettono quindi stati corrispondenti a diversi autovalori di impulso e spin. L'idea era cercare un'algebra di simmetria G più ampia che includesse $\mathcal{P} \oplus g$ come sottoalgebra propria, in modo tale che, in una base opportuna, i suoi elementi fossero rappresentati mediante matrici diagonali a blocchi,

$$G \supset \mathcal{P} \oplus g \ni m = \left(\begin{array}{c|c} * & 0 \\ \hline 0 & * \end{array} \right), \quad (\text{A.1})$$

dove $*$ sottintende gli elementi di generiche sottomatrici appartenenti a \mathcal{P} o g .

Il teorema di Coleman e Mandula [20] mostrò invece che, sotto ipotesi piuttosto naturali per qualsiasi teoria di campo “ordinaria” (ma, come sottolineato nell'Introduzione e nel capitolo 5, sistematicamente evitate nell'ambito delle teorie di gauge di HS), questo non è possibile, e la più generale algebra di Lie di operatori di simmetria deve consistere della somma diretta dell'algebra di Poincaré e di un'algebra di simmetria interna, i cui

elementi sono diagonali sugli autostati di P_μ e $J_{\mu\nu}$ e indipendenti dalle variabili di impulso e spin, vale a dire

$$G = \mathcal{P} \oplus g . \quad (\text{A.2})$$

Per effettuare un'analisi il più possibile generale, Coleman e Mandula lavorarono nell'ambito della teoria della matrice S di scattering, i cui elementi corrispondono alle ampiezze di transizione ${}_{\text{out}}\langle p_1 p_2 \dots | k_1 k_2 \dots \rangle_{\text{in}}$ tra stati fisici, in generale a molte particelle, di impulso definito e asintotici, ovvero definiti in regioni di "ingresso" e di "uscita" lontane dalla regione di interazione. La matrice S contiene quindi tutta l'informazione sull'evoluzione degli stati fisici nel tempo. Prima di dare la precisa formulazione del teorema è conveniente rivedere alcune definizioni fondamentali.

Anzitutto, lo spazio di Hilbert \mathcal{H} degli stati rilevanti per la teoria dello scattering si decompone nella somma diretta infinita

$$\mathcal{H} = \bigoplus_{n=1}^{\infty} \mathcal{H}^{(n)} , \quad (\text{A.3})$$

dove $\mathcal{H}^{(n)}$ è il sottospazio degli stati ad n particelle. Quest'ultimo è a sua volta un sottospazio, determinato dalle simmetrizzazioni o antisimmetrizzazioni legate alla relazione spin-statistica, del prodotto diretto di n spazi di Hilbert a singola particella, ciascuno isomorfo ad $\mathcal{H}^{(1)}$. La matrice S è un operatore unitario su \mathcal{H} , che collega stati fisici etichettati da impulsi sul *mass-shell*. Si dice che l'operatore hermitiano A_α su \mathcal{H} è un *generatore di simmetria* se:

1. A_α commuta con S , per ogni α ;
2. A_α trasforma stati ad una particella in stati ad una particella;
3. l'azione di A_α sugli stati a molte particelle corrisponde alla somma diretta dell'azione sugli stati a singola particella;
4. i commutatori di due operatori A_α sono a loro volta generatori di simmetria.

Il gruppo di trasformazioni generato dagli A_α definisce quindi il gruppo di simmetria della teoria di campo in questione. La matrice S si dice *invariante di Lorentz* se possiede

un'algebra di simmetria una cui sottoalgebra è isomorfa a \mathcal{P} . Si può quindi introdurre una base per $\mathcal{H}^{(1)}$ in termini degli stati $|p m\rangle$, dove p è l'impulso dello stato ed m un indice discreto collettivo, che comprende sia la componente z dello spin che il tipo di particelle di massa definita $\sqrt{-p_\mu p^\mu}$ (e dunque contiene, ad esempio, gli indici di sapore, nell'ipotesi di una simmetria di sapore esatta, ovvero di degenerazione in massa delle diverse generazioni di quarks). Una simmetria si dice inoltre *interna* se commuta con i generatori dell'algebra di Poincaré, e dunque se i corrispondenti generatori agiscono in modo non banale soltanto sugli indici che etichettano il tipo di particella, mentre non hanno elementi di matrice tra stati con diverso quadrimpulso o diverso spin. Infine, si separa la parte banale della matrice S , che tiene conto dell'eventualità che nessuna interazione abbia luogo, come

$$S = 1 + (2\pi)^4 \delta^4(p - p') T , \quad (\text{A.4})$$

dove $\delta^4(p - p')$ impone la conservazione del quadrimpulso tra stato iniziale e finale, e gli elementi di matrice di T corrispondono a genuine ampiezze di scattering.

Siamo a questo punto in grado di enunciare il

Teorema 1 Se G è un'algebra di simmetria della matrice S , e se valgono le condizioni:

1. G contiene una sottoalgebra isomorfa a \mathcal{P} (invarianza di Lorentz).
2. Per ogni M finito, esiste soltanto un numero finito di tipi di particelle con massa minore di M .
3. La matrice S è non banale, nel senso che qualsiasi stato a due particelle $|p, p'\rangle$ subisce uno scattering,

$$T|p, p'\rangle \neq 0 , \quad (\text{A.5})$$

per quasi tutti i valori della variabile di Mandelstam s , ovvero per tutti i valori dell'energia nel sistema del centro di massa escluso, eventualmente, un insieme di misura nulla.

4. Le ampiezze di scattering elastico ¹ a due corpi sono funzioni analitiche di s e del

¹Si intende per scattering elastico il processo di diffusione nel quale sia la massa delle particelle che l'energia cinetica totale vengono conservate.

momento trasferito invariante t , ovvero dell'energia e dell'angolo di scattering θ , per quasi tutti i valori dell'energia e dell'angolo di scattering stessi.

5. *Supponendo che l'azione più generale dei generatori di G sugli stati a singola particella $|pn\rangle$ sia data da*

$$A_\alpha|pn\rangle = \sum_{n'} \int d^4p' (\mathcal{A}_\alpha(p,p'))_{n,n'} |p' n'\rangle , \quad (\text{A.6})$$

dove i nuclei integrali (kernels) $\mathcal{A}(p,p')$ sono non nulli soltanto se p e p' sono sul mass shell, si assume che tali nuclei siano distribuzioni, ovvero che contengano al più un numero finito D_α di derivate di $\delta^4(p-p')$ ².

Segue allora la tesi,

$$G \sim \mathcal{P} \oplus g , \quad (\text{A.7})$$

ovvero segue che la più generale algebra di simmetria della matrice S è isomorfa alla somma diretta dell'algebra di Poincaré e di un'algebra di simmetria interna.

Riportiamo nel seguito la dimostrazione del teorema, seguendo in gran parte la versione data da Weinberg in [22], in alcuni passaggi più esplicita di quella originale di Coleman e Mandula. Poiché la dimostrazione è piuttosto elaborata, è opportuno presentarne anzitutto lo schema, per poi sviluppare i singoli passi in dettaglio.

- A Si dimostra il teorema per la sottoalgebra di G costituita dai generatori di simmetria B_α che commutano con i generatori delle traslazioni P_μ . Questo viene fatto nei seguenti passi:

- i Si dimostra che l'azione dei B_α sugli stati ad n particelle, realizzata attraverso l'azione di matrici hermitiane $b_\alpha(p)$ di dimensione finita agenti sugli stati a singola particella (per definizione di operatore di simmetria e per l'ipotesi 2), definisce un isomorfismo $I : B_\alpha \rightarrow b_\alpha$.

²Il motivo per cui questa ipotesi è necessaria diverrà chiaro nel corso della dimostrazione. Sottolineiamo inoltre che la richiesta che i *kernels* di integrazione siano non nulli solo se gli impulsi da cui dipendono sono sul *mass shell* segue dalla definizione della matrice S come operatore che collega stati iniziali e finali asintotici entrambi sul *mass shell*, ovvero stati fisici rivelabili in un esperimento.

- ii Si può quindi applicare alle matrici $b_\alpha(p)$ (o meglio alle corrispondenti matrici a traccia nulla) il teorema generale secondo cui qualsiasi algebra di Lie di matrici hermitiane di dimensione finita è una somma diretta $\mathcal{C} \oplus u(1)$, dove \mathcal{C} è un'algebra di Lie semisemplice e compatta (o, più in generale, di \mathcal{C} e di più algebre $u(1)$), ed estenderlo ai generatori di simmetria B_α in virtù dell'isomorfismo I . Ci si riduce in tal modo ad analizzare un'algebra di simmetria $\mathcal{C} \oplus u(1)$.
- iii Si dimostra che i generatori di $u(1)$ commutano con i generatori $J_{\mu\nu}$ del gruppo di Lorentz, sicché commutano con tutti i generatori dell'algebra di Poincaré \mathcal{P} .
- iv Si dimostra che i generatori di \mathcal{C} commutano con i generatori di Lorentz $J_{\mu\nu}$, e quindi con tutti i generatori di \mathcal{P} . Resta a questo punto dimostrato che i $B_\alpha \in G$ tali che $[B_\alpha, P_\mu] = 0$ generano una simmetria interna o sono combinazioni lineari dei P_μ , ovvero il teorema è dimostrato per la sottoalgebra generata dai B_α .

B Si considerano tutti i generatori di simmetria A_α , e si dimostra che quelli che non commutano con P_μ (ovvero quelli con $D_\alpha \geq 1$, contenenti almeno una derivata di $\delta^{(4)}(p - p')$) o sono nulli ($D_\alpha \geq 2$) o si riducono ad una combinazione lineare dei generatori di Lorentz $J_{\mu\nu}$ e dei generatori B_α trattati nei passi precedenti ($D_\alpha = 1$), completando in tal modo la dimostrazione.

Per compattezza, segnaleremo con commenti in nota i passaggi in cui svolgono un ruolo cruciale le ipotesi che sono evitate nelle teorie di gauge di HS: in particolare, in quel contesto l'ipotesi 1 è invalidata, poiché l'algebra di simmetria spazio-temporale della teoria non è più quella di Poincaré ma quella di AdS , $so(d - 1, 2)$, così come l'ipotesi 2, dal momento che si introducono simultaneamente infiniti campi di massa nulla, e corrispondenti generatori, di spin arbitrariamente elevato.

Iniziamo quindi dal passo A, mostrando l'azione dei generatori di simmetria B_α sugli stati a molte particelle, data per definizione da

$$\begin{aligned}
 B_\alpha |p m, q n, \dots\rangle &= \sum_{m'} (b_\alpha(p))_{m'm} |p m', q n, \dots\rangle \\
 &+ \sum_{n'} (b_\alpha(q))_{n'n} |p m, q n', \dots\rangle + \dots, \quad (A.8)
 \end{aligned}$$

dove le matrici b_α sono matrici hermitiane di dimensione finita che definiscono l'azione dei generatori di simmetria sugli stati a singola particella. La (A.8) definisce una mappa $I : B_\alpha \rightarrow b_\alpha(p)$, per ogni p fissato, che preserva la struttura dell'algebra generata dai B_α , poiché implica che le relazioni di commutazione

$$[B_\alpha, B_\beta] = i \sum_\gamma C_{\alpha\beta}^\gamma B_\gamma \quad (\text{A.9})$$

si traducano in identiche relazioni soddisfatte dalle matrici $b_\alpha(p)$ in ciascun sottospazio $\mathcal{H}^{(1)}$,

$$[b_\alpha(p), b_\beta(p)] = i \sum_\gamma C_{\alpha\beta}^\gamma b_\gamma(p) , \quad (\text{A.10})$$

ovvero implica che la mappa I sia un *omomorfismo*. Tuttavia, per poter inferire da questa osservazione che l'algebra generata dai B_α sia del tipo $\mathcal{C} \oplus u(1)$ si deve dimostrare che I è un *isomorfismo*, vale a dire un omomorfismo iniettivo e suriettivo, ovvero si deve dimostrare che, se esistono dei coefficienti c^α e un impulso p tali che $\sum_\alpha c^\alpha b_\alpha(p) = 0$, deve necessariamente essere $\sum_\alpha c^\alpha B_\alpha = 0$, che significa $\sum_\alpha c^\alpha b_\alpha(k) = 0$, $\forall k$ in virtù della definizione (A.8).

Coleman e Mandula considerarono l'omomorfismo tra i B_α e le matrici finito-dimensionali $b_\alpha(p, q)$ che ne definiscono l'azione sugli stati a due particelle. In termini delle $b_\alpha(p)$ si ha

$$b_\alpha(p, q) = [b_\alpha(p) \otimes 1_q] \oplus [1_p \otimes b_\alpha(q)] , \quad (\text{A.11})$$

dove 1_k denota la matrice identità agente nel sottospazio $\mathcal{H}^{(1)}(k)$. L'invarianza della matrice S sotto le trasformazioni rappresentate dalle $b_\alpha(p, q)$,

$$\begin{aligned} \langle p' m', q' n' | p m, q n \rangle &= \langle p' m', q' n' | b_\alpha(p', q') | p m, q n \rangle \\ &= \langle p' m', q' n' | b_\alpha(p, q) | p m, q n \rangle , \end{aligned} \quad (\text{A.12})$$

implica che

$$b_\alpha(p', q') T(p' q', p q) = T(p' q', p q) b_\alpha(p, q) , \quad (\text{A.13})$$

come si può verificare inserendo un set completo di stati asintotici ad ambo i membri della (A.12). $T(p' q', p q)$ è una matrice della stessa dimensionalità delle $b_\alpha(p, q)$ e legata all'elemento di matrice $T(p m, q n \rightarrow p' m', q' n')$, corrispondente all'ampiezza di scattering

elastico o quasi elastico di due particelle con quadrimpulso p e q in due particelle con quadrimpulso p' e q' sullo stesso *mass-shell*, ovvero con masse $\sqrt{-p_\mu p^\mu} = \sqrt{-p'_\mu p'^\mu}$ e $\sqrt{-q_\mu q^\mu} = \sqrt{-q'_\mu q'^\mu}$, da

$$T(pm, qn \rightarrow p'm', q'n') = \delta^4(p' + q' - p - q) (T(p' q', p q))_{m'n', mn} . \quad (\text{A.14})$$

Il teorema ottico, che segue dall'unitarietà della matrice S , implica che la parte immaginaria dell'ampiezza di scattering in avanti (con angolo di scattering nullo, e stato iniziale $|i\rangle$ uguale allo stato finale $|f\rangle$) è proporzionale alla sezione d'urto totale,

$$\sum_n |\langle n|T|i\rangle|^2 = 2 \text{Im} \langle i|T|i\rangle , \quad (\text{A.15})$$

dove la somma corre su tutti i possibili stati finali. L'ipotesi 3 assicura che il primo membro è non nullo, e di conseguenza è non nulla l'ampiezza di probabilità di scattering in avanti. Ma allora l'ipotesi 4 di analiticità della matrice S in θ garantisce, per continuità, che la matrice $T(p' q', p q)$ è non singolare per quasi tutti i valori di p' e q' che soddisfano la condizione di conservazione del quadrimpulso $p' + q' = p + q$ e sono sugli stessi iperboloidi di massa degli stati iniziali. In questo caso la (A.13) è un coniugio tramite T , e questo comporta che, se $\sum_\alpha c^\alpha b_\alpha(p, q) = 0$, per quasi tutti i p e q fissati, allora $\sum_\alpha c^\alpha b_\alpha(p', q') = 0$, per quasi tutti i p' e q' che rispettano le condizioni appena indicate. Non è tuttavia lecito da qui concludere che $\sum_\alpha c^\alpha b_\alpha(p) = 0$ e $\sum_\alpha c^\alpha b_\alpha(q) = 0$ separatamente, ma al più, come suggerisce la (A.11), che sono proporzionali alla matrice identità, e con coefficienti opposti.

È quindi conveniente estrarre preventivamente le tracce dai generatori di simmetria e dai loro rappresentativi $b_\alpha(p)$ sugli stati ad una particella e $b_\alpha(p, q)$ sugli stati a due particelle. Poiché la traccia è invariante per coniugio, dalla (A.13) segue che

$$\text{Tr} b_\alpha(p', q') = \text{Tr} b_\alpha(p, q) , \quad (\text{A.16})$$

che, utilizzando la (A.11) e tenendo presente l'ipotesi di elasticità dell'urto, fornisce

$$\begin{aligned} & N(\sqrt{-q_\mu q^\mu}) \text{tr} b_\alpha(p') + N(\sqrt{-p_\mu p^\mu}) \text{tr} b_\alpha(q') \\ &= N(\sqrt{-q_\mu q^\mu}) \text{tr} b_\alpha(p) + N(\sqrt{-p_\mu p^\mu}) \text{tr} b_\alpha(q) , \end{aligned} \quad (\text{A.17})$$

dove $N(m)$ è la molteplicità dei tipi di particelle con massa m , e distinguiamo la traccia sugli stati a due particelle "Tr" dalla traccia sugli stati a singola particella "tr". Ma la

(A.17) può essere soddisfatta per tutti i p, q, p', q' che soddisfino $p' + q' = p + q$ soltanto se $\text{tr } b_\alpha(p)$ è una funzione lineare di p ,

$$\text{tr } b_\alpha(p) = N(\sqrt{-p_\mu p^\mu}) a_\alpha^\mu p_\mu , \quad (\text{A.18})$$

dove gli a_α^μ sono coefficienti costanti, indipendenti da p ³.

Si possono ora definire nuovi generatori di simmetria, a traccia nulla, sottraendo ai B_α termini lineari nell'impulso, come

$$B_\alpha^* \equiv B_\alpha - a_\alpha^\mu P_\mu , \quad (\text{A.19})$$

che agiscono sugli stati a singola particella come le matrici

$$(b_\alpha^*(p))_{n'n} = (b_\alpha(p))_{n'n} - \frac{\text{tr } b_\alpha(p)}{N(\sqrt{-p_\mu p^\mu})} \delta_{n'n} , \quad (\text{A.20})$$

a traccia nulla anch'esse. I generatori B_α^* ed i loro rappresentativi $b_\alpha^*(p)$ soddisfano evidentemente le stesse relazioni di commutazione dei B_α e $b_\alpha(p)$, (A.9) e (A.10), dal momento che la matrice identità commuta banalmente con B_α e $[B_\alpha, P_\mu] = 0$ per ipotesi. Quindi, ad esempio,

$$[B_\alpha^*, B_\beta^*] = i \sum_\gamma C_{\alpha\beta}^\gamma [B_\gamma^* + a_\gamma^\mu P_\mu] , \quad (\text{A.21})$$

e

$$[b_\alpha^*(p), b_\beta^*(p)] = i \sum_\gamma C_{\alpha\beta}^\gamma [b_\gamma^*(p) + a_\gamma^\mu p_\mu] . \quad (\text{A.22})$$

Ma per l'ipotesi 2 le matrici $b_\alpha^*(p)$ hanno dimensione finita, e il commutatore di due matrici di dimensione finita ha traccia nulla⁴, sicché anche il secondo membro della (A.22) deve

³Non si include un termine costante in (A.18) perché può sempre essere riassorbito in un cambiamento dell'azione delle simmetrie interne sugli stati fisici.

⁴Si noti che le teorie di gauge di HS contraddicono l'ipotesi 2 (si veda il cap. 5), non consentendo quindi il passaggio a generatori a traccia nulla. Inoltre, il teorema di Coleman e Mandula prende in considerazione soltanto algebre di Lie, chiuse sotto il commutatore, e trascura la possibilità di algebre di simmetria più generali, come le superalgebre, o algebre di Lie graduate, chiuse sotto il supercommutatore

$$t_a t_b - (-1)^{\pi_a \pi_b} t_b t_a = i \sum_c C_{ab}^c t_c , \quad (\text{A.23})$$

essere a traccia nulla, ovvero $C_{\alpha\beta}^\gamma a_\gamma^\mu = 0$, e

$$[B_\alpha^*, B_\beta^*] = i \sum_\gamma C_{\alpha\beta}^\gamma B_\gamma^* , \quad (\text{A.24})$$

Ciò mostra che è lecito prendere i B_α^* come nuovi generatori dell'algebra G di simmetria. Ripetendo passaggi identici a quelli fatti in precedenza si arriva alla (A.13)

$$b_\alpha^*(p', q') T(p' q', p q) = T(p' q', p q) b_\alpha^*(p, q) , \quad (\text{A.25})$$

con le matrici a traccia nulla $b_\alpha^*(p)$ al posto delle $b_\alpha(p)$, e l'invertibilità di T implica nuovamente che $\sum_\alpha c^\alpha b_\alpha^*(p, q) = 0 \Rightarrow \sum_\alpha c^\alpha b_\alpha^*(p', q') = 0$, per quasi tutti i p', q' sugli stessi iperboloidi di massa dei p, q , rispettivamente, e che soddisfano $p' + q' = p + q$. Ma ora abbiamo a che fare con matrici a traccia nulla, e ciò permette di concludere che

$$\sum_\alpha c^\alpha b_\alpha^*(p') = \sum_\alpha c^\alpha b_\alpha^*(q') = 0 , \quad (\text{A.26})$$

almeno per p' e $q' = p + q - p'$ sugli iperboloidi di massa di p e q . Per generalizzare tale risultato a tutti i quadrimpulsi k sui suddetti iperboloidi, si consideri l'insieme $K(p, q)$ di tutti gli elementi dell'algebra $\sum_\alpha c^\alpha B_\alpha$, tali che

$$\sum_\alpha c^\alpha b_\alpha^*(p, q) = 0 . \quad (\text{A.27})$$

Dall'eq. (A.11) segue evidentemente che

$$K(p, q) = K(p) \cap K(q) , \quad (\text{A.28})$$

dove $\pi_\alpha = 0, 1$ per i generatori bosonici e fermionici, rispettivamente. È chiaro che un anticommutatore non ha traccia nulla, e quindi il teorema di Coleman-Mandula non esclude, come è ben noto, la possibilità di combinare simmetrie interne e spazio-temporali in modo non banale mediante superalgebre di simmetria, su cui si basano le teorie supersimmetriche. La generalizzazione del teorema al caso supersimmetrico, dovuta ad Haag, Lopuszanski e Sohnius [21], è di notevole importanza, perché le corrispondenti cariche centrali sono alla base della definizione dei multipletti BPS saturati. Le teorie supersimmetriche sono inoltre inglobate in modo naturale nelle teorie di gauge di HS, come esposto nel capitolo 5, che si fondano su una generalizzazione ulteriore delle algebre di simmetria prese in considerazione da Coleman e Mandula: queste ultime coinvolgono infatti soltanto generatori di spin 0 e 1, mentre le teorie di gauge di HS richiedono l'introduzione simultanea di tutti gli spin, violando l'ipotesi 2 del teorema.

ed abbiamo già ricavato che, per quasi tutti i p', q' sugli stessi iperboloidi di massa dei p, q , e che soddisfano $p' + q' = p + q$,

$$K(p, q) = K(p', q') . \quad (\text{A.29})$$

Ma dalla (A.28) segue

$$K(p) \supset K(p, q) , \quad (\text{A.30})$$

e

$$K(p') \supset K(p', q') = K(p, q) , \quad (\text{A.31})$$

sicché

$$K(p, p') \supset K(p, q) , \quad (\text{A.32})$$

dove $p + p' \neq p + q$! Iterando questo procedimento si deve quindi ammettere che

$$K(k) \supset K(p, q) , \quad (\text{A.33})$$

per ogni k soddisfacente le condizioni di *mass shell*. Di conseguenza, se $\sum_{\alpha} c^{\alpha} b_{\alpha}^{*}(p, q) = 0$ per alcuni p e q , allora $\sum_{\alpha} c^{\alpha} b_{\alpha}^{*}(k) = 0$, per ogni k sugli stessi iperboloidi. Questo è ciò che si voleva dimostrare, e si può infine concludere che la mappa I definisce effettivamente un isomorfismo tra i generatori B_{α} ed i loro rappresentativi finito-dimensionali sugli stati a due particelle $b_{\alpha}^{*}(p, q)$.

Questo risultato ha due conseguenze. Anzitutto, poiché il numero di $b_{\alpha}^{*}(p, q)$ non può superare la loro dimensione, pari a $N(\sqrt{-p_{\mu}p^{\mu}})N(\sqrt{-q_{\mu}q^{\mu}})$, per ipotesi un numero finito, ci può essere al più un numero finito di generatori di simmetria B_{α} indipendenti, dal momento che questi ultimi sono in corrispondenza biunivoca con le prime tramite I . Non è dunque necessario imporre come ipotesi indipendente che l'algebra di simmetria generata dai B_{α} sia finito-dimensionale.

Inoltre, come preannunciato, possiamo concludere che tale algebra di simmetria è la somma diretta di un'algebra di Lie compatta e semisemplice e di una o più algebre di Lie abeliane, $\mathcal{C} \oplus u(1)$, oltre all'algebra generata da combinazioni lineari dei P_{μ} incluse nelle tracce dei B_{α} .

Prendiamo anzitutto in esame il comportamento dei B_{α}^{*} che generano \mathcal{C} sotto una trasformazione di Lorentz $x^{\mu} \rightarrow \Lambda^{\mu}_{\nu} x^{\nu}$. Quest'ultima agisce sullo spazio di Hilbert della

teoria mediante l'operatore unitario $U(\Lambda)$, e il trasformato $U(\Lambda)B_\alpha U^{-1}(\Lambda)$, che è ancora un generatore hermitiano e commuta con P_μ , deve quindi essere una combinazione lineare dei B_α ,

$$U(\Lambda)B_\alpha U^{-1}(\Lambda) = \sum_{\beta} D^{\beta}_{\alpha}(\Lambda) B_{\beta} , \quad (\text{A.34})$$

dove i coefficienti reali $D^{\beta}_{\alpha}(\Lambda)$ definiscono una rappresentazione del gruppo di Lorentz omogeneo,

$$D(\Lambda_1)D(\Lambda_2) = D(\Lambda_1\Lambda_2) . \quad (\text{A.35})$$

In effetti, il gruppo di Lorentz definisce un automorfismo dell'algebra \mathcal{C} , poiché i trasformati dei generatori $U(\Lambda)B_\alpha U^{-1}(\Lambda)$ soddisfano le relazioni di commutazione (A.9), e ciò implica che le costanti di struttura siano tensori invarianti,

$$C^{\gamma}_{\alpha\beta} = \sum_{\alpha'\beta'\gamma'} D^{\alpha'}_{\alpha}(\Lambda) D^{\beta'}_{\beta}(\Lambda) D^{\gamma}_{\gamma'}(\Lambda^{-1}) C^{\gamma'}_{\alpha'\beta'} . \quad (\text{A.36})$$

La contrazione di quest'equazione con la corrispondente per $C^{\alpha}_{\gamma\delta}$ mostra che la metrica di Cartan-Killing

$$g_{\beta\delta} = \sum_{\alpha\gamma} C^{\gamma}_{\alpha\beta} C^{\alpha}_{\gamma\delta} \quad (\text{A.37})$$

è anch'essa un tensore invariante del gruppo di Lorentz,

$$g_{\beta\delta} = \sum_{\beta'\delta'} D^{\beta'}_{\beta}(\Lambda) D^{\delta'}_{\delta}(\Lambda) g_{\beta'\delta'} . \quad (\text{A.38})$$

Suddividendo i generatori come $B_\alpha = (P_\mu, B_A)$, dove i B_A corrispondono ai generatori a traccia nulla B_α^* , e ricordando che tutti commutano con P_μ , si ottiene che $C^{\alpha}_{\gamma\mu} = 0 = -C^{\alpha}_{\mu\gamma}$ e $g_{\mu\alpha} = g_{\alpha\mu} = 0$. Ne segue che è non nulla solo la metrica di \mathcal{C} , $g_{AB} = \sum_{CD} C^D_{AC} C^C_{BD}$. Quest'ultima, in quanto metrica di un'algebra di Lie semisemplice e compatta, è definita positiva, e può dunque essere invertita per costruire le matrici $g^{1/2}D(\Lambda)g^{-1/2}$, che costituiscono una rappresentazione ortogonale (sia g che $D(\Lambda)$ sono ortogonali, $\det(g^{1/2}D(\Lambda)g^{-1/2}) = 1$ e $g^{1/2}D(\Lambda_1)g^{-1/2}g^{1/2}D(\Lambda_2)g^{-1/2} = g^{1/2}D(\Lambda_1\Lambda_2)g^{-1/2}$) e finito-dimensionale del gruppo di Lorentz. Ma quest'ultimo è un gruppo non compatto, e come tale non può ammettere rappresentazioni unitarie non banali di dimensione finita, sicché $D(\Lambda) = 1$, e i generatori B_α^* commutano con $U(\Lambda)$ per ogni trasformazione di

Lorentz. Osservando l'azione (A.8), segue che le matrici $b_\alpha^*(p)$, commutando con i *boosts*, devono essere indipendenti da p , e analogamente, commutando con le rotazioni tridimensionali, devono agire come matrici diagonali sugli indici di spin. Resta quindi dimostrato che i generatori di \mathcal{C} danno luogo a simmetrie interne.

Lo stesso si può dimostrare per le algebre $u(1)$. Si noti, per prima cosa, che per ogni coppia di impulsi p, q esiste un generatore di Lorentz J che li lascia invariati entrambi: se sono infatti di tipo luce e paralleli, basta prendere J come il generatore delle rotazioni attorno all'asse comune a \vec{p} e \vec{q} , mentre se sono di tipo tempo J sarà il generatore delle rotazioni attorno all'asse comune di \vec{p} e \vec{q} nel sistema di riferimento del centro di massa, dove $\vec{p} = -\vec{q}$. J si diagonalizza in tal modo sulla base di stati a due particelle $|p m, q n\rangle$,

$$J|p m, q n\rangle = \sigma(m, n)|p m, q n\rangle . \quad (\text{A.39})$$

Denotiamo con B_i^* i particolari B_α^* che generano le algebre abeliane. Per ipotesi i B_α^* commutano con i P_μ , e poiché $[J, P_\mu] \sim P_\mu$, l'identità di Jacobi implica che P_μ commuta con $[J, B_\alpha^*]$, che si può quindi scrivere come combinazione lineare dei B_β , e anzi dei B_β^* , dal momento che il commutatore ha traccia nulla. Ma i B_i^* , generando un'algebra abeliana, commuteranno con tutti i B_α^* , ed in particolare

$$[B_i^*, [J, B_i^*]] = 0 . \quad (\text{A.40})$$

Prendendone il valore di aspettazione sulla base $|p m, q n\rangle$ si ottiene

$$0 = \sum_{m', n'} (\sigma(m', n') - \sigma(m, n)) \left| (b_i^*(p, q))_{m' n', mn} \right|^2 , \quad (\text{A.41})$$

per ogni m ed n . Gli indici m, n, m', n' corrono su un insieme finito di valori, e se esistesse quindi un σ tale che, per opportuni m, n ed m', n' , $\sigma(m, n) = \sigma \neq \sigma(m', n')$ e $(b_i^*(p, q))_{m' n', mn} \neq 0$, dovrebbe esistere anche il più piccolo di tali σ , per il quale il secondo membro della (A.41) sarebbe definito positivo. Il solo modo per garantire che quest'ultima sia sempre soddisfatta consiste dunque nell'ammettere che

$$\forall m, n, m', n' : \quad \sigma(m, n) \neq \sigma(m', n') \Rightarrow (b_i^*(p, q))_{m' n', mn} = 0 , \quad (\text{A.42})$$

il che significa che J e le $b_i^*(p, q)$ sono diagonali sulla stessa base, ovvero che $[J, B_i^*] = 0$, in virtù dell'isomorfismo I . Ma $p + q$ può essere scelto in qualunque direzione di tipo tempo, sicché i generatori abeliani B_i^* devono commutare con tutti i generatori di Lorentz,

$$[J_{\mu\nu}, B_i^*] = 0 , \quad (\text{A.43})$$

e ciò dimostra che anche i B_i^* corrispondono a simmetrie interne. Il passo A è così completato.

Estendiamo questi risultati a generatori A_α che non commutino, per ipotesi, con i generatori delle traslazioni P_μ , e che agiscano quindi sugli stati ad una particella “ruotando” anche l'indice continuo p , come nell'eq. (A.6). Mostriamo anzitutto che i nuclei $(\mathcal{A}(p, p'))_{n'n}$, non nulli soltanto se p e p' sono entrambi sul *mass shell* (per definizione di operatore di simmetria), sono anzi non nulli soltanto se $p' = p$. Per farlo, si osservi preliminarmente che, se A_α è un operatore di simmetria, lo è anche

$$A_\alpha^f \equiv \int d^4x e^{iP \cdot x} A_\alpha e^{-iP \cdot x} f(x) , \quad (\text{A.44})$$

dove $f(x)$ è una funzione qualsiasi, poiché la sua azione sugli stati ad una particella,

$$A_\alpha^f |p n\rangle = \sum_{n'} \int d^4p' \tilde{f}(p' - p) (\mathcal{A}_\alpha(p, p'))_{n, n'} |p' n'\rangle , \quad (\text{A.45})$$

è identica a quella di A_α a meno del riscaldamento dei nuclei di integrazione tramite la trasformata di Fourier della funzione $f(x)$,

$$\tilde{f}(p' - p) \equiv \int d^4x e^{i(p' - p) \cdot x} f(x) . \quad (\text{A.46})$$

Supponiamo ora che esista un $\Delta \neq 0$ tale che p e $p + \Delta$ siano sullo stesso *mass shell*, in modo tale che $\mathcal{A}(p, p + \Delta) \neq 0$. L'ipotesi 2 restringe ad un numero finito i possibili iperboloidi di massa su cui vivono stati ad una particella legati da un processo di scattering, sicché, se gli impulsi q, p', q' sono fissati su alcuni iperboloidi e sono tali che $p + q = p' + q'$, in generale $q + \Delta, p' + \Delta, q' + \Delta$ non saranno sugli stessi iperboloidi. Questo significa che, prendendo $\tilde{f}(k)$ non nulla solo in un piccolo intorno di Δ , gli A_α^f annullano qualsiasi stato ad una particella con impulso q, p', q' , ma non lo stato con impulso p . Ma allora lo

scattering $p q \rightarrow p' q'$ sarebbe proibito per simmetria, in contrasto con le ipotesi 3 e 4 del teorema. Ne segue che i nuclei integrali $\mathcal{A}(p, p')$ devono essere nulli se $p' \neq p$.

Questo tuttavia non ci riporta automaticamente al caso trattato nel passo A, poiché esiste ancora la possibilità che i nuclei integrali contengano non solo $\delta^4(p' - p)$, ma anche derivate di $\delta^4(p' - p)$. Questo è il motivo per cui Coleman e Mandula aggiunsero l'ipotesi 5, assumendo che tali nuclei contenessero al più un ordine finito D_α di derivate di $\delta^4(p' - p)$, ovvero assumendo che l'azione degli $\mathcal{A}(p, p')$ sugli stati ad una particella fosse quella di un polinomio di ordine finito D_α nelle derivate $\partial/\partial p^\mu$,

$$\mathcal{A}(p, p') = \sum_{n=0}^{D_\alpha} \mathcal{A}^{(n)}(p)_{\mu_1 \dots \mu_n} \frac{\partial}{\partial p_{\mu_1}} \dots \frac{\partial}{\partial p_{\mu_n}}, \quad (\text{A.47})$$

con coefficienti matriciali dipendenti da p . Per utilizzare i risultati del passo A, è conveniente costruire l'operatore

$$B_\alpha^{\mu_1 \dots \mu_{D_\alpha}} \equiv [P^{\mu_1}, [P^{\mu_2}, \dots [P^{\mu_{D_\alpha}}, A_\alpha] \dots]], \quad (\text{A.48})$$

che commuta con P_μ , come si può verificare calcolando l'elemento di matrice di $[B_\alpha^{\mu_1 \dots \mu_{D_\alpha}}, P_\mu]$ tra stati di impulso p' e p , che è infatti proporzionale a $D_\alpha + 1$ fattori di $(p' - p)$ su cui agiscono D_α derivate rispetto all'impulso: il tutto viene calcolato a $p' = p$, e dà quindi un risultato nullo. Ma allora, in base a quanto ottenuto in precedenza, i generatori $B_\alpha^{\mu_1 \dots \mu_{D_\alpha}}$ devono agire sugli stati ad una particella con matrici della forma

$$b_\alpha^{\mu_1 \dots \mu_{D_\alpha}}(p) = b_\alpha^{*\mu_1 \dots \mu_{D_\alpha}} + a_\alpha^{\mu_1 \dots \mu_{D_\alpha}} p_\mu 1, \quad (\text{A.49})$$

dove gli $a_\alpha^{\mu_1 \dots \mu_{D_\alpha}}$ sono coefficienti costanti, mentre le matrici $b_\alpha^{*\mu_1 \dots \mu_{D_\alpha}}$, indipendenti da p e a traccia nulla, generano una simmetria interna, ed entrambi sono simmetrici, per costruzione, negli indici $\mu_1 \dots \mu_{D_\alpha}$. La richiesta che i nuclei non portino gli stati su cui agiscono fuori dal *mass shell* si traduce nella condizione

$$[A_\alpha, -P_\mu P^\mu] = 0, \quad (\text{A.50})$$

la quale implica che, per $D_\alpha \geq 1$,

$$0 = [P^{\mu_1} P_{\mu_1}, [P^{\mu_2}, \dots [P^{\mu_{D_\alpha}}, A_\alpha] \dots]] = 2P_{\mu_1} B_\alpha^{\mu_1 \dots \mu_{D_\alpha}}, \quad (\text{A.51})$$

ovvero, in termini delle matrici agenti sugli stati ad una particella,

$$p_{\mu_1} b_{\alpha}^{\mu_1 \dots \mu_{D_\alpha}}(p) = 0 , \quad (\text{A.52})$$

per ogni p di tipo tempo sul *mass shell*. Ma questo significa che, per $D_\alpha \geq 1$,

$$b_{\alpha}^{* \mu_1 \dots \mu_{D_\alpha}} = 0 , \quad (\text{A.53})$$

e

$$a_{\alpha}^{\mu \mu_1 \dots \mu_{D_\alpha}} = -a_{\alpha}^{\mu_1 \mu \dots \mu_{D_\alpha}} , \quad (\text{A.54})$$

dove è stata usata la relazione $[P_\mu, P_\nu] = 0$ ⁵. Per $D_\alpha \geq 2$, l'ultima equazione è inconsistente con la simmetria negli indici $\mu_1 \dots \mu_{D_\alpha}$ (poiché utilizzando entrambe le condizioni si otterrebbe $a_{\alpha}^{\mu \mu_1 \dots \mu_{D_\alpha}} = -a_{\alpha}^{\mu \mu_1 \dots \mu_{D_\alpha}}$), sicché $a_{\alpha}^{\mu \mu_1 \dots \mu_{D_\alpha}} = 0$, e restano soltanto da esaminare i casi $D_\alpha = 0, 1$. Ma per $D_\alpha = 0$ si ritorna nel caso trattato nel passo A, mentre per $D_\alpha = 1$ le (A.48) e (A.49), forniscono

$$[P^\nu, A_\alpha] = a_{\alpha}^{\mu \nu} P^\mu , \quad (\text{A.55})$$

dove $a_{\alpha}^{\mu \nu}$ è antisimmetrico in μ e ν . Poiché $[P^\nu, J^{\rho \sigma}] = i\eta^{\nu \sigma} J^\rho - i\eta^{\nu \rho} J^\sigma$, questo significa che

$$A_\alpha = -\frac{i}{2} a_{\alpha}^{\mu \nu} J_{\mu \nu} + B_\alpha , \quad (\text{A.56})$$

dove B_α commuta con P_μ , ed è anch'esso un generatore di simmetria, perché sia A_α che $J_{\mu \nu}$ lo sono. Ma il passo A garantisce che i B_α sono combinazioni lineari di generatori di una simmetria interna e di P_μ , sicché l'equazione (A.56) completa la dimostrazione del teorema.

Un'ulteriore sottigliezza compare se si considerano particelle a massa nulla, poiché in tal caso $p_\mu p^\mu = 0$, e la (A.54) non segue necessariamente dalla (A.52), ma si può anche avere

$$a_{\alpha}^{\mu \mu_1 \dots \mu_{D_\alpha}} + a_{\alpha}^{\mu_1 \mu \dots \mu_{D_\alpha}} \propto \eta^{\mu \mu_1} . \quad (\text{A.57})$$

⁵Si noti che tale relazione, valida nello spazio piatto, non lo è più su uno spazio a curvatura costante non banale come *AdS* (si veda il cap. 3).

Tuttavia, se questo caso è verificato, la tesi del teorema si generalizza ammettendo che l'algebra di simmetria G consista di un'algebra di simmetria interna più l'algebra *conforme*, che include l'algebra di Poincaré come sottoalgebra propria, ed accoglie come ulteriori generatori di simmetria i K^μ , che danno luogo alle trasformazioni conformi speciali ($\delta x^\mu = \rho^\mu(x \cdot x) - x^\mu u \cdot x$), e D , generatore delle dilatazioni ($\delta x^\mu = \lambda x^\mu$), con le relazioni di commutazione

$$[P^\mu, D] = i P^\mu, \quad [K^\mu, D] = -i K^\mu, \quad (\text{A.58})$$

$$[P^\mu, K^\nu] = 2i\eta^{\mu\nu} D + 2iJ_{\mu\nu}, \quad [K^\mu, K^\nu] = 0, \quad (\text{A.59})$$

$$[J^{\rho\sigma}, K^\mu] = i\eta^{\mu\rho} K^\sigma - i\eta^{\mu\sigma} K^\rho, \quad [J^{\rho\sigma}, D] = 0, \quad (\text{A.60})$$

oltre alle usuali relazioni che definiscono l'algebra di Poincaré.

Appendice B

Formalismo a due componenti

Definiamo gli spinori come rappresentazioni irriducibili del gruppo delle matrici complesse 2×2 unimodulari $SL(2, C)$, ricoprimento universale del gruppo di Lorentz proprio $SO(3, 1)$, nello stesso modo in cui nella teoria non relativistica gli spinori entrano in gioco come rappresentazioni irriducibili del gruppo $SU(2)$, ricoprimento universale del gruppo delle rotazioni spaziali $SO(3)$.

Come è ben noto, il gruppo di Lorentz $O(3, 1)$ corrisponde al gruppo delle trasformazioni spazio-temporali $x^a \rightarrow x'^a = \Lambda^a_b x^b$, con $a, b = 0, \dots, 3$ indici di spazio tangente, che lasciano invariante la forma $x_a \eta^{ab} x_b$, dove η^{ab} è la metrica minkowskiana quadridimensionale, che prendiamo con segnatura $(-, +, +, +)$. Questa richiesta impone la condizione di pseudo-ortogonalità

$$\Lambda^a_c \Lambda^b_d \eta^{cd} = \eta^{ab}, \quad (\text{B.1})$$

che a sua volta comporta $(\det \Lambda)^2 = 1$, ed il gruppo di Lorentz proprio $SO(3, 1)$ corrisponde alla scelta $\det \Lambda = 1$. Quest'ultimo è un gruppo continuo e connesso, ma non semplicemente connesso (cfr., ad esempio, [64]), ed un teorema generale assicura che, dato un gruppo non semplicemente connesso, esiste uno e un solo gruppo semplicemente connesso che possiede la stessa algebra del primo (ovvero con la stessa struttura infinitesimale, ovvero localmente isomorfo), del quale viene quindi detto *ricoprimento universale*. Il ricoprimento universale di $SO(3, 1)$ è $SL(2, C)$, e le matrici $\mathcal{M} \in SL(2, C)$ agiscono naturalmente in uno spazio complesso bidimensionale di elementi ψ_α , $\alpha = 1, 2$, detti spinori

di Weyl, che ne costituisce la rappresentazione fondamentale. L'idea alla base del formalismo a due componenti è quella di costruire tutte le rappresentazioni del gruppo di Lorentz partendo dalla rappresentazione fondamentale del suo ricoprimento universale. Uno spinore di Weyl trasforma sotto l'azione di un elemento $\mathcal{M} \in SL(2, C)$ come

$$\psi_\alpha \rightarrow \psi'_\alpha = \mathcal{M}_\alpha{}^\beta \psi_\beta . \quad (\text{B.2})$$

La rappresentazione complessa coniugata, inequivalente, viene di solito denotata con indici puntati, $\bar{\psi}_{\dot{\alpha}}$, $\dot{\alpha} = 1, 2$, e trasforma come

$$\bar{\psi}_{\dot{\alpha}} \rightarrow \bar{\psi}'_{\dot{\alpha}} = (\mathcal{M}^*)_{\dot{\alpha}}{}^{\dot{\beta}} \bar{\psi}_{\dot{\beta}} , \quad (\text{B.3})$$

sicché $\bar{\psi}_{\dot{\alpha}} = (\psi_\alpha)^*$. ψ_α corrisponde alla rappresentazione irriducibile $(1/2, 0)$ di $su(2) \times su(2)$ ¹, mentre $\bar{\psi}_{\dot{\alpha}}$ corrisponde alla rappresentazione $(0, 1/2)$, irriducibile anch'essa.

Come η_{ab} per $SO(3, 1)$, esistono tensori invarianti a due indici anche per $SL(2, C)$, $\varepsilon_{\alpha\beta}$ e $\varepsilon_{\dot{\alpha}\dot{\beta}}$,

$$\varepsilon_{\alpha\beta} = \varepsilon_{\dot{\alpha}\dot{\beta}} = \begin{pmatrix} 0 & 1 \\ -1 & 0 \end{pmatrix} , \quad (\text{B.4})$$

antisimmetrici, proprietà cruciale per l'invarianza,

$$\varepsilon'_{\alpha\beta} = \mathcal{M}_\alpha{}^\rho \mathcal{M}_\beta{}^\sigma \varepsilon_{\rho\sigma} = \det \mathcal{M} \varepsilon_{\alpha\beta} = \varepsilon_{\alpha\beta} , \quad (\text{B.5})$$

e analogamente per la rappresentazione coniugata. Introduciamo inoltre i corrispondenti tensori con gli indici alti, $\varepsilon^{\alpha\beta}$ e $\varepsilon^{\dot{\alpha}\dot{\beta}}$, tramite la definizione $\varepsilon^{\alpha\beta} \varepsilon_{\gamma\beta} = \delta_\gamma^\alpha$, che implica $\varepsilon^{\alpha\beta} = \varepsilon^{\dot{\alpha}\dot{\beta}} = \varepsilon_{\alpha\beta} = \varepsilon_{\dot{\alpha}\dot{\beta}}$. Questi tensori vengono usati per alzare ed abbassare gli indici spinoriali, secondo le convenzioni

$$\psi^\alpha = \varepsilon^{\alpha\beta} \psi_\beta , \quad \psi_\alpha = \psi^\beta \varepsilon_{\beta\alpha} , \quad \bar{\psi}^{\dot{\alpha}} = \varepsilon^{\dot{\alpha}\dot{\beta}} \bar{\psi}_{\dot{\beta}} , \quad \bar{\psi}_{\dot{\alpha}} = \bar{\psi}_{\dot{\beta}} \varepsilon^{\dot{\beta}\dot{\alpha}} , \quad (\text{B.6})$$

che è necessario stabilire dal momento che i tensori ε sono antisimmetrici. Le trasformazioni degli spinori di Weyl con indici alti sono

$$\psi'^\alpha = \psi^\beta (\mathcal{M}^{-1})_\beta{}^\alpha , \quad \bar{\psi}'^{\dot{\alpha}} = \bar{\psi}^{\dot{\beta}} (\mathcal{M}^{*-1})_{\dot{\beta}}{}^{\dot{\alpha}} . \quad (\text{B.7})$$

¹L'algebra di Lorentz e quella di $su(2) \times su(2)$ sono infatti isomorfe, e siamo quindi in grado di costruire rappresentazioni (non unitarie) di dimensione finita di $so(3, 1)$ tramite quelle di $su(2) \oplus su(2)$.

Utilizzando la matrice identità 2×2 e le matrici di Pauli

$$\sigma^1 = \begin{pmatrix} 0 & 1 \\ 1 & 0 \end{pmatrix}, \quad \sigma^2 = \begin{pmatrix} 0 & -i \\ i & 0 \end{pmatrix}, \quad \sigma^3 = \begin{pmatrix} 1 & 0 \\ 0 & -1 \end{pmatrix}, \quad (\text{B.8})$$

possiamo definire i simboli di van der Waerden $(\sigma^a)_{\alpha\dot{\beta}}$ ($a = 0, 1, 2, 3$) come

$$(\sigma^a)_{\alpha\dot{\beta}} \equiv (1, \sigma^1, \sigma^2, \sigma^3), \quad (\text{B.9})$$

da cui discendono

$$(\bar{\sigma}^a)^{\dot{\alpha}\beta} \equiv (1, -\sigma^1, -\sigma^2, -\sigma^3) = \varepsilon^{\dot{\alpha}\delta} \varepsilon^{\beta\gamma} (\sigma^a)_{\gamma\delta}, \quad (\text{B.10})$$

con le proprietà di hermiticità

$$\left((\sigma^a)_{\alpha\dot{\beta}} \right)^\dagger = (\bar{\sigma}^a)^{\dot{\alpha}\beta} = (\sigma^a)_{\beta\dot{\alpha}}, \quad \left((\sigma^a)^{\alpha\dot{\beta}} \right)^\dagger = (\bar{\sigma}^a)^{\dot{\alpha}\beta} = (\sigma^a)^{\beta\dot{\alpha}}. \quad (\text{B.11})$$

I simboli di van der Waerden soddisfano le relazioni

$$\begin{aligned} (\sigma^a)_{\alpha\dot{\alpha}} (\bar{\sigma}^a)^{\dot{\beta}\beta} &= -2\delta_\alpha^\beta \delta_{\dot{\alpha}}^{\dot{\beta}}, \\ (\sigma^a)_{\alpha\dot{\alpha}} (\bar{\sigma}^b)^{\dot{\alpha}\beta} &= \eta^{ab} \delta_\alpha^\beta + (\sigma^{ab})_{\alpha\dot{\alpha}}{}^\beta, \\ (\bar{\sigma}^a)^{\dot{\alpha}\alpha} (\sigma^b)_{\alpha\dot{\beta}} &= \eta^{ab} \delta_{\dot{\alpha}}^{\dot{\beta}} + (\bar{\sigma}^{ab})^{\dot{\alpha}\beta}, \end{aligned} \quad (\text{B.12})$$

dove $(\sigma^{ab})_{\alpha\beta} = -(\sigma^{ba})_{\alpha\beta} = (\sigma^{ab})_{\beta\alpha}$ e analogamente per le $(\bar{\sigma}^{ab})_{\dot{\alpha}\dot{\beta}}$. Simmetrizzando la seconda delle (B.12) in $a \leftrightarrow b$ si vede che i simboli di van der Waerden soddisfano l'algebra di Clifford,

$$(\sigma^a \bar{\sigma}^b + \sigma^b \bar{\sigma}^a)_{\alpha\dot{\alpha}}^\beta = 2\eta^{ab} \delta_\alpha^\beta \quad (\text{B.13})$$

(e un analogo risultato si ottiene simmetrizzando la terza relazione in (B.12), con i ruoli di σ e $\bar{\sigma}$ scambiati), mentre l'antisimmetrizzazione negli stessi indici fornisce le definizioni

$$\begin{aligned} (\sigma^{ab})_{\alpha\dot{\alpha}}{}^\beta &= \frac{1}{2} \left[(\sigma^a)_{\alpha\dot{\alpha}} (\bar{\sigma}^b)^{\dot{\alpha}\beta} - (a \leftrightarrow b) \right], \\ (\bar{\sigma}^{ab})^{\dot{\alpha}\beta} &= \frac{1}{2} \left[(\bar{\sigma}^a)^{\dot{\alpha}\alpha} (\sigma^b)_{\alpha\dot{\beta}} - (a \leftrightarrow b) \right]. \end{aligned} \quad (\text{B.14})$$

Ulteriori utili identità sono

$$(\sigma^a)_{\alpha\dot{\alpha}} (\sigma^b)_{\beta\dot{\beta}} - (a \leftrightarrow b) = -(\sigma^{ab})_{\alpha\beta} \varepsilon_{\dot{\alpha}\dot{\beta}} - (\sigma^{ab})_{\dot{\alpha}\dot{\beta}} \varepsilon_{\alpha\beta} \quad (\text{B.15})$$

e le proprietà di dualità delle matrici σ^{ab} e $\bar{\sigma}^{ab}$

$$\frac{1}{2}\varepsilon_{abcd}(\sigma^{cd})_{\alpha\beta} = i(\sigma^{ab})_{\alpha\beta} , \quad \frac{1}{2}\varepsilon_{abcd}(\bar{\sigma}^{cd})_{\dot{\alpha}\dot{\beta}} = -i(\bar{\sigma}^{ab})_{\dot{\alpha}\dot{\beta}} , \quad (\text{B.16})$$

dove ε_{abcd} è il tensore totalmente antisimmetrico quadridimensionale, definito con la convenzione $\varepsilon^{0123} = -\varepsilon_{0123} = 1$.

La connessione tra il gruppo di Lorentz e il suo ricoprimento universale è resa manifesta rappresentando, mediante i simboli di van der Waerden, un quadrivettore V_a arbitrario di $SO(3, 1)$ con la matrice hermitiana 2×2 $V_a\sigma^a$,

$$V_a \rightarrow V_a\sigma^a = \begin{pmatrix} -V_0 + V_3 & V_1 - iV_2 \\ V_1 + iV_2 & -V_0 - V_3 \end{pmatrix} \equiv V . \quad (\text{B.17})$$

il cui determinante corrisponde, a parte un segno, alla norma minkowskiana del quadrivettore,

$$\det V = -V_a\eta^{ab}V_b . \quad (\text{B.18})$$

Ma V trasforma come $V' = \mathcal{M}V\mathcal{M}^{-1}$, con $\mathcal{M} \in SL(2, C)$, e per definizione le trasformazioni di $SL(2, C)$ preservano il determinante di V , $\det V' = \det V$. Ciò implica, in virtù della (B.18), che la trasformazione $V' = \mathcal{M}V\mathcal{M}^{-1}$ induce sulle componenti V_a una trasformazione di Lorentz propria, la cui forma esplicita in componenti spinoriali è

$$V'_{\alpha\dot{\beta}} = \mathcal{M}_\alpha{}^\gamma(\mathcal{M}^*)_{\dot{\alpha}}{}^\delta V_{\gamma\dot{\delta}} , \quad (\text{B.19})$$

che mostra quindi che ad ogni quadrivettore V_a che trasforma sotto $SO(3, 1)$ come $V'^a = \Lambda^a{}_b V^b$ resta associata la matrice hermitiana $V_a(\sigma^a)_{\alpha\dot{\beta}} = V_{\alpha\dot{\beta}}$ che trasforma sotto $SL(2, C)$. La (B.19) dà anche ragione del fatto che i simboli di van der Waerden siano naturalmente definiti con un indice non puntato e uno puntato, come è anche chiaro dal fatto che, per semplice composizione dei momenti angolari, $V_{\alpha\dot{\beta}}$, che trasforma come la rappresentazione irriducibile $(1/2, 1/2)$, ha esattamente lo stesso numero di componenti di un quadrivettore. Osserviamo tuttavia che la corrispondenza tra trasformazioni di $SO(3, 1)$ e del suo ricoprimento universale $SL(2, C)$, che si esprime come

$$V' = V_a\mathcal{M}\sigma^a\mathcal{M}^\dagger = \Lambda^a{}_b V^b\sigma^a , \quad (\text{B.20})$$

ovvero

$$\mathcal{M}\sigma^a\mathcal{M}^\dagger = \Lambda^b{}_a\sigma^b, \quad (\text{B.21})$$

non è una corrispondenza biunivoca, poiché trasformazioni indotte da \mathcal{M} e da $-\mathcal{M}$ danno luogo alla stessa $\Lambda^a{}_b$, sicché, come è ben noto, gli spinori sono rappresentazioni a due valori di $SO(3, 1)$.

Dal momento che ad ogni indice di $SO(3, 1)$ resta associata, nel formalismo a due componenti, una coppia di indici $\alpha\dot{\alpha}$, secondo le relazioni

$$V_{\alpha\dot{\alpha}} = (\sigma^a)_{\alpha\dot{\alpha}}V_a, \quad V_a = -\frac{1}{2}(\sigma^a)^{\alpha\dot{\alpha}}V_{\alpha\dot{\alpha}}, \quad (\text{B.22})$$

possiamo associare ad un tensore di Lorentz di rango arbitrario $V_{a_1\dots a_n}$ il multispinore $V_{\alpha_1\dots\alpha_n,\dot{\alpha}_1\dots\dot{\alpha}_n}$ tenendo però conto della fondamentale proprietà che qualsiasi oggetto antisimmetrico in due indici spinoriali dello stesso tipo è proporzionale al tensore ε appropriato. Ad esempio,

$$A_{\alpha\beta} - A_{\beta\alpha} = -\varepsilon_{\alpha\beta}A_\gamma^\gamma, \quad (\text{B.23})$$

il cui coefficiente è in accordo con la $\varepsilon^{\alpha\beta}\varepsilon_{\alpha\beta} = 2$. Un tensore antisimmetrico J_{ab} ammette quindi la decomposizione

$$J_{ab}(\sigma^a)_{\alpha\dot{\alpha}}(\sigma^b)_{\beta\dot{\beta}} = \varepsilon_{\alpha\beta}\bar{J}_{\dot{\alpha}\dot{\beta}} + \varepsilon_{\dot{\alpha}\dot{\beta}}J_{\alpha\beta}, \quad (\text{B.24})$$

dove

$$J_{\alpha\beta} = -\frac{1}{2}J_{ab}(\sigma^{ab})_{\alpha\beta}, \quad \bar{J}_{\dot{\alpha}\dot{\beta}} = -\frac{1}{2}J_{ab}(\bar{\sigma}^{ab})_{\dot{\alpha}\dot{\beta}}, \quad (\text{B.25})$$

entrambi simmetrici negli indici spinoriali, mentre

$$J_{ab} = -\frac{1}{4}(\sigma_{ab})^{\alpha\beta}J_{\alpha\beta} - \frac{1}{4}(\bar{\sigma}_{ab})^{\dot{\alpha}\dot{\beta}}\bar{J}_{\dot{\alpha}\dot{\beta}}. \quad (\text{B.26})$$

Appendice C

★-prodotto e integrazione simplettica

Riportiamo anzitutto alcune formule utili:

$$\partial_\alpha y_\beta = \varepsilon_{\alpha\beta} , \quad \partial^\alpha y^\beta = \varepsilon^{\alpha\beta} , \quad (\text{C.1})$$

$$\partial_\alpha y^\beta = \delta_\alpha^\beta , \quad \partial^\alpha y_\beta = -\delta_\beta^\alpha , \quad (\text{C.2})$$

dove si intende $\partial_\alpha = \frac{\partial}{\partial y^\alpha}$, e analogamente per le variabili spinoriali z . Utilizzando la definizione generale (6.5) o (6.9) si possono provare le (6.8), da cui notiamo, in particolare, che $[z_\alpha, y_\beta]_\star = [\bar{z}_\alpha, \bar{y}_\beta]_\star = 0$. Inoltre, dalle regole di contrazione sopra definite si deriva la formula generale

$$y_{\alpha(n)} \star y_{\beta(m)} = \sum_{k=0}^{\min(n,m)} i^k k! \binom{n}{k} \binom{m}{k} y_{\alpha(n-k)} y_{\beta(m-k)} \varepsilon_{\alpha(k)\beta(k)} , \quad (\text{C.3})$$

che abbiamo scritto in forma estesa in (5.26), con la definizione

$$\varepsilon_{\alpha(k)\beta(k)} = \frac{1}{k!} \sum_P \varepsilon_{\alpha_1 \beta_{P(1)}} \cdots \varepsilon_{\alpha_k \beta_{P(k)}} . \quad (\text{C.4})$$

Consideriamo ad esempio il prodotto di due bilineari negli oscillatori Y ,

$$\begin{aligned} y_{\alpha(2)} \star y_{\beta(2)} &= y_{\alpha_1} y_{\alpha_2} y_{\beta_1} y_{\beta_2} + i(y_{\alpha_1} y_{\beta_2} \varepsilon_{\alpha_2 \beta_1} + y_{\alpha_1} y_{\beta_1} \varepsilon_{\alpha_2 \beta_2} \\ &+ y_{\alpha_2} y_{\beta_2} \varepsilon_{\alpha_1 \beta_1} + y_{\alpha_2} y_{\beta_1} \varepsilon_{\alpha_1 \beta_2}) \\ &- (\varepsilon_{\alpha_1 \beta_1} \varepsilon_{\alpha_2 \beta_2} + \varepsilon_{\alpha_1 \beta_2} \varepsilon_{\alpha_2 \beta_1}) , \end{aligned} \quad (\text{C.5})$$

da cui risulta evidente che il commutatore cancella i termini con un numero pari di contrazioni e raddoppia quelli contenenti un numero dispari di contrazioni, e viceversa l'anticommutatore cancella i termini con un numero dispari e raddoppia quelli con un numero pari di contrazioni. In particolare, si dimostra in questo modo che i generatori di spin $s \leq 1$ formano la sottoalgebra finita massimale dell'algebra infinito-dimensionale di HS, secondo la (5.28).

Tenendo conto delle (C.1) e (6.8) si può scrivere, ad esempio,

$$[y_\alpha, y_\beta]_\star = 2i \frac{\partial}{\partial y_\alpha} y_\beta, \quad (\text{C.6})$$

e le seguenti regole di contrazione più generali:

$$\begin{aligned} y_\alpha \star F(Y, Z) &= y_\alpha F(Y, Z) + \left[-i \frac{\partial}{\partial z^\alpha} + i \frac{\partial}{\partial y^\alpha} \right] F(Y, Z), \\ z_\alpha \star F(Y, Z) &= z_\alpha F(Y, Z) + \left[-i \frac{\partial}{\partial z^\alpha} + i \frac{\partial}{\partial y^\alpha} \right] F(Y, Z), \\ F(Y, Z) \star y_\alpha &= y_\alpha F(Y, Z) + \left[-i \frac{\partial}{\partial z^\alpha} - i \frac{\partial}{\partial y^\alpha} \right] F(Y, Z), \\ F(Y, Z) \star z_\alpha &= z_\alpha F(Y, Z) + \left[i \frac{\partial}{\partial z^\alpha} + i \frac{\partial}{\partial y^\alpha} \right] F(Y, Z), \\ \bar{y}_{\dot{\alpha}} \star F(Y, Z) &= \bar{y}_{\dot{\alpha}} F(Y, Z) + \left[i \frac{\partial}{\partial \bar{z}^{\dot{\alpha}}} + i \frac{\partial}{\partial \bar{y}^{\dot{\alpha}}} \right] F(Y, Z), \\ \bar{z}_{\dot{\alpha}} \star F(Y, Z) &= \bar{z}_{\dot{\alpha}} F(Y, Z) + \left[-i \frac{\partial}{\partial \bar{z}^{\dot{\alpha}}} - i \frac{\partial}{\partial \bar{y}^{\dot{\alpha}}} \right] F(Y, Z), \\ F(Y, Z) \star \bar{y}_{\dot{\alpha}} &= \bar{y}_{\dot{\alpha}} F(Y, Z) + \left[i \frac{\partial}{\partial \bar{z}^{\dot{\alpha}}} - i \frac{\partial}{\partial \bar{y}^{\dot{\alpha}}} \right] F(Y, Z), \\ F(Y, Z) \star \bar{z}_{\dot{\alpha}} &= \bar{z}_{\dot{\alpha}} F(Y, Z) + \left[i \frac{\partial}{\partial \bar{z}^{\dot{\alpha}}} - i \frac{\partial}{\partial \bar{y}^{\dot{\alpha}}} \right] F(Y, Z), \end{aligned} \quad (\text{C.7})$$

dove $F(Y, Z)$ è un'arbitraria funzione a valori in $\hat{\mathcal{A}}^\star$.

Nella sezione 6.3 abbiamo incontrato alcune equazioni differenziali lineari nelle variabili Z , del tipo

$$d_Z f = g = dz^\alpha g_\alpha + d\bar{z}^{\dot{\alpha}} \bar{g}_{\dot{\alpha}}, \quad (\text{C.8})$$

$$d_Z(dz^\alpha f_\alpha + d\bar{z}^{\dot{\alpha}} \bar{f}_{\dot{\alpha}}) = h = \frac{1}{2} dz^\alpha \wedge dz_\alpha h + \frac{1}{2} d\bar{z}^{\dot{\alpha}} \wedge d\bar{z}_{\dot{\alpha}} \bar{h} + dz^\alpha \wedge d\bar{z}^{\dot{\alpha}} h_{\alpha\dot{\alpha}}. \quad (\text{C.9})$$

Supponendo che $d_Z g = 0$, la prima ammette la soluzione generale [50, 56]

$$f(z, \bar{z}) = f(0, 0) + \int_0^1 dt [z^\alpha g_\alpha(tz, t\bar{z}) + \bar{z}^{\dot{\alpha}} \bar{g}_{\dot{\alpha}}(tz, t\bar{z})] , \quad (\text{C.10})$$

in cui compare il parametro reale $t \in (0, 1)$, ed $f(0, 0)$ è una costante di integrazione, mentre la seconda si risolve come

$$\begin{aligned} f_\alpha(z, \bar{z}) &= \frac{\partial}{\partial z^\alpha} k(z, \bar{z}) - \int_0^1 dt t [z_\alpha h(tz, t\bar{z}) + \bar{z}^{\dot{\alpha}} h_{\alpha\dot{\alpha}}(tz, t\bar{z})] , \\ f_{\dot{\alpha}}(z, \bar{z}) &= \frac{\partial}{\partial \bar{z}^{\dot{\alpha}}} k(z, \bar{z}) - \int_0^1 dt t [\bar{z}_{\dot{\alpha}} \bar{h}(tz, t\bar{z}) - z^\alpha h_{\alpha\dot{\alpha}}(tz, t\bar{z})] , \end{aligned} \quad (\text{C.11})$$

dove $k(z, \bar{z})$ è una funzione arbitraria. Per ottenere queste formule di integrazione si utilizza, in entrambi i casi, l'identità

$$t \frac{d}{dt} h(tz) = z^\alpha \frac{\partial}{\partial z^\alpha} h(tz) . \quad (\text{C.12})$$

È quindi essenziale, nel risolvere le equazioni (6.94), (6.95) e (6.102) secondo le (C.10) e (C.11), calcolare gli \star -prodotti prima di mandare z, \bar{z} in $tz, t\bar{z}$, poiché le contrazioni modificano la dipendenza da z e \bar{z} , e dunque fa differenza operare con $t \frac{d}{dt}$ su $A(tZ) \star B(tZ)$ o su $(A(Z) \star B(Z))_{Z \rightarrow tZ}$. Nel primo caso, in particolare, la (C.12) non vale, e si ha invece

$$\begin{aligned} t \frac{d}{dt} A(tz, t\bar{z}) \star B(tz, t\bar{z}) &= \left[z^\alpha \frac{\partial}{\partial z^\alpha} + \bar{z}^{\dot{\alpha}} \frac{\partial}{\partial \bar{z}^{\dot{\alpha}}} \right] (A \star B) \\ &- 2i\varepsilon^{\alpha\beta} \frac{\partial}{\partial z^\alpha} A \star \frac{\partial}{\partial z^\beta} B - 2i\varepsilon^{\dot{\alpha}\dot{\beta}} \frac{\partial}{\partial \bar{z}^{\dot{\alpha}}} A \star \frac{\partial}{\partial \bar{z}^{\dot{\beta}}} B . \end{aligned} \quad (\text{C.13})$$

Bibliografia

- [1] P. A. M. Dirac, “Relativistic Wave Equations,” Proc. Roy. Soc. Lond. **155A** (1936) 447.
- [2] M. Fierz and W. Pauli, “On Relativistic Wave Equations For Particles Of Arbitrary Spin In An Electromagnetic Field,” Proc. Roy. Soc. Lond. A **173** (1939) 211.
- [3] W. Rarita and J. S. Schwinger, “On A Theory Of Particles With Half Integral Spin,” Phys. Rev. **60** (1941) 61.
- [4] L. P. S. Singh and C. R. Hagen, “Lagrangian Formulation For Arbitrary Spin. 1. The Boson Case,” Phys. Rev. D **9** (1974) 898.
- [5] L. P. S. Singh and C. R. Hagen, “Lagrangian Formulation For Arbitrary Spin. 2. The Fermion Case,” Phys. Rev. D **9** (1974) 910.
- [6] F. Riccioni, “Alcune proprietà dei campi di gauge di spin arbitrario,” Tesi di Laurea in Fisica, Università di Roma “Tor Vergata” (1995) [<http://people.roma2.infn.it/~stringhe>].
- [7] C. Fronsdal, “Massless Fields With Integer Spin,” Phys. Rev. D **18** (1978) 3624.
- [8] J. Fang and C. Fronsdal, “Massless Fields With Half Integral Spin,” Phys. Rev. D **18** (1978) 3630.
- [9] C. Fronsdal, “Singletons And Massless, Integral Spin Fields On De Sitter Space (Elementary Particles In A Curved Space Vii),” Phys. Rev. D **20** (1979) 848.

- [10] J. Fang and C. Fronsdal, "Massless, Half Integer Spin Fields In De Sitter Space," *Phys. Rev. D* **22** (1980) 1361.
- [11] B. de Wit and D. Z. Freedman, "Systematics Of Higher Spin Gauge Fields," *Phys. Rev. D* **21** (1980) 358.
- [12] D. Francia and A. Sagnotti, "Free geometric equations for higher spins," *Phys. Lett. B* **543** (2002) 303 [arXiv:hep-th/0207002].
- [13] D. Francia and A. Sagnotti, "On the geometry of higher-spin gauge fields," *Class. Quant. Grav.* **20** (2003) S473 [arXiv:hep-th/0212185].
- [14] D. Z. Freedman, P. van Nieuwenhuizen and S. Ferrara, "Progress Toward A Theory Of Supergravity," *Phys. Rev. D* **13** (1976) 3214.
- [15] S. Deser and B. Zumino, "Consistent Supergravity," *Phys. Lett. B* **62** (1976) 335.
- [16] J. Scherk and J. H. Schwarz, "Dual Models For Nonhadrons," *Nucl. Phys. B* **81** (1974) 118.
- [17] J. Scherk and J. H. Schwarz, "Dual Model Approach To A Renormalizable Theory Of Gravitation," <http://www.slac.stanford.edu/spires/find/hep/www?irn=1499840>, SPIRES entry
- [18] T. Yoneya, "Quantum Gravity And The Zero Slope Limit Of The Generalized Virasoro Model," *Lett. Nuovo Cim.* **8** (1973) 951.
- [19] T. Yoneya, "Connection Of Dual Models To Electrodynamics And Gravidynamics," *Prog. Theor. Phys.* **51** (1974) 1907.
- [20] S. R. Coleman and J. Mandula, "All Possible Symmetries Of The S Matrix," *Phys. Rev.* **159** (1967) 1251.
- [21] R. Haag, J. T. Lopuszanski and M. Sohnius, "All Possible Generators Of Supersymmetries Of The S Matrix," *Nucl. Phys. B* **88** (1975) 257.

- [22] S. Weinberg, “The Quantum Theory Of Fields, Volume III,” Cambridge University Press, Cambridge (2000)
- [23] J. M. Maldacena, “The large N limit of superconformal field theories and supergravity,” *Adv. Theor. Math. Phys.* **2** (1998) 231 [*Int. J. Theor. Phys.* **38** (1999) 1113] [arXiv:hep-th/9711200].
- [24] A. Sagnotti and M. Tsulaia, “On higher spins and the tensionless limit of string theory,” *Nucl. Phys. B* **682** (2004) 83 [arXiv:hep-th/0311257].
- [25] M. Flato and C. Fronsdal, “One Massless Particle Equals Two Dirac Singletons: Elementary Particles In A Curved Space. 6,” *Lett. Math. Phys.* **2** (1978) 421.
- [26] E. Bergshoeff, A. Salam, E. Sezgin and Y. Tanii, “Singletons, Higher Spin Massless States And The Supermembrane,” *Phys. Lett. B* **205** (1988) 237.
- [27] S. W. Hawking and G. F. R. Ellis, “The large scale structure of space-time”, Cambridge University Press, Cambridge (1973).
- [28] S. W. MacDowell and F. Mansouri, “Unified Geometric Theory Of Gravity And Supergravity,” *Phys. Rev. Lett.* **38** (1977) 739 [Erratum-ibid. **38** (1977) 1376].
- [29] K. S. Stelle and P. C. West, “Spontaneously Broken De Sitter Symmetry And The Gravitational Holonomy Group,” *Phys. Rev. D* **21** (1980) 1466.
- [30] N. Marcus and A. Sagnotti, “Tree Level Constraints On Gauge Groups For Type I Superstrings,” *Phys. Lett. B* **119** (1982) 97.
- [31] N. Marcus and A. Sagnotti, “Group Theory From ‘Quarks’ At The Ends Of Strings,” *Phys. Lett. B* **188** (1987) 58.
- [32] C. Angelantonj and A. Sagnotti, “Open strings,” *Phys. Rept.* **371** (2002) 1 [Erratum-ibid. **376** (2003) 339] [arXiv:hep-th/0204089].
- [33] A. K. H. Bengtsson, I. Bengtsson and L. Brink, “Cubic Interaction Terms For Arbitrary Spin,” *Nucl. Phys. B* **227** (1983) 31.

- [34] A. K. H. Bengtsson, I. Bengtsson and L. Brink, “Cubic Interaction Terms For Arbitrarily Extended Supermultiplets,” Nucl. Phys. B **227** (1983) 41.
- [35] F. A. Berends, G. J. H. Burgers and H. Van Dam, “On Spin Three Selfinteractions,” Z. Phys. C **24** (1984) 247.
- [36] F. A. Berends, G. J. H. Burgers and H. van Dam, “On The Theoretical Problems In Constructing Interactions Involving Higher Spin Massless Particles,” Nucl. Phys. B **260** (1985) 295.
- [37] M. A. Vasiliev, “Higher-spin gauge theories in four, three and two dimensions,” Int. J. Mod. Phys. D **5** (1996) 763 [arXiv:hep-th/9611024].
- [38] M. A. Vasiliev, “Higher spin gauge theories: Star-product and AdS space,” arXiv:hep-th/9910096.
- [39] M. A. Vasiliev, “Progress in higher spin gauge theories,” arXiv:hep-th/0104246.
- [40] E. S. Fradkin and M. A. Vasiliev, “Cubic Interaction In Extended Theories Of Massless Higher Spin Fields,” Nucl. Phys. B **291** (1987) 141.
- [41] E. S. Fradkin and M. A. Vasiliev, “On The Gravitational Interaction Of Massless Higher Spin Fields,” Phys. Lett. B **189** (1987) 89.
- [42] E. S. Fradkin and M. A. Vasiliev, “Superalgebra Of Higher Spins And Auxiliary Fields,” Int. J. Mod. Phys. A **3** (1988) 2983.
- [43] S. E. Konstein and M. A. Vasiliev, “Massless Representations And Admissibility Condition For Higher Spin Superalgebras,” Nucl. Phys. B **312** (1989) 402.
- [44] S. E. Konstein and M. A. Vasiliev, “Extended Higher Spin Superalgebras And Their Massless Representations,” Nucl. Phys. B **331** (1990) 475.
- [45] M. A. Vasiliev, “Consistent Equations For Interacting Massless Fields Of All Spins In The First Order In Curvatures,” Annals Phys. **190** (1989) 59.

- [46] M. A. Vasiliev, “Dynamics Of Massless Higher Spins In The Second Order In Curvatures,” *Phys. Lett. B* **238** (1990) 305.
- [47] M. A. Vasiliev, “Consistent Equation For Interacting Gauge Fields Of All Spins In (3+1)-Dimensions,” *Phys. Lett. B* **243** (1990) 378.
- [48] M. A. Vasiliev, “Properties Of Equations Of Motion Of Interacting Gauge Fields Of All Spins In (3+1)-Dimensions,” *Class. Quant. Grav.* **8** (1991) 1387.
- [49] M. A. Vasiliev, “Algebraic Aspects Of The Higher Spin Problem,” *Phys. Lett. B* **257** (1991) 111.
- [50] M. A. Vasiliev, “More on equations of motion for interacting massless fields of all spins in (3+1)-dimensions,” *Phys. Lett. B* **285** (1992) 225.
- [51] K. I. Bolotin and M. A. Vasiliev, “Star-product and massless free field dynamics in AdS(4),” *Phys. Lett. B* **479** (2000) 421 [arXiv:hep-th/0001031].
- [52] E. Sezgin and P. Sundell, “Analysis of higher spin field equations in four dimensions,” *JHEP* **0207** (2002) 055 [arXiv:hep-th/0205132].
- [53] E. Sezgin and P. Sundell, “Massless higher spins and holography,” *Nucl. Phys. B* **644** (2002) 303 [Erratum-ibid. *B* **660** (2003) 403] [arXiv:hep-th/0205131].
- [54] E. Sezgin and P. Sundell, “On curvature expansion of higher spin gauge theory,” *Class. Quant. Grav.* **18** (2001) 3241 [arXiv:hep-th/0012168].
- [55] E. Sezgin and P. Sundell, “Higher spin $N = 8$ supergravity in AdS(4),” arXiv:hep-th/9903020.
- [56] E. Sezgin and P. Sundell, “Higher spin $N = 8$ supergravity,” *JHEP* **9811** (1998) 016 [arXiv:hep-th/9805125].
- [57] R. D’Auria and P. Fre, “Geometric Supergravity In $D = 11$ And Its Hidden Supergroup,” *Nucl. Phys. B* **201** (1982) 101 [Erratum-ibid. *B* **206** (1982) 496].

- [58] L. Castellani, P. Fre, F. Giani, K. Pilch and P. van Nieuwenhuizen, “Gauging Of $D = 11$ Supergravity?,” *Annals Phys.* **146** (1983) 35.
- [59] L. Castellani, P. Fre, F. Giani, K. Pilch and P. van Nieuwenhuizen, “Beyond $D = 11$ Supergravity And Cartan Integrable Systems,” *Phys. Rev. D* **26** (1982) 1481.
- [60] R. D’Auria and P. Fre, “Cartan Integrable Systems, That Is Differential Free Algebras, In Supergravity,” *Print-83-0689 (TURIN) Lectrues given at September School on Supergravity and Supersymmetry, Trieste, Italy, Sep 6-18, 1982*
- [61] R. D’Auria, P. Fre, P. K. Townsend and P. van Nieuwenhuizen, “Invariance Of Actions, Rheonomy And The New Minimal $N=1$ Supergravity In The Group Manifold Approach,” *Annals Phys.* **155** (1984) 423.
- [62] P. Fre, “Comments On The Six Index Photon In $D = 11$ Supergravity And The Gauging Of Free Differential Algebras,” *Class. Quant. Grav.* **1** (1984) L81.
- [63] S. Deser, “Gravity From Selfinteraction In A Curved Background,” *Class. Quant. Grav.* **4** (1987) L99.
- [64] R. Gilmore, “Lie groups, Lie algebras, and some of their applications”, John Wiley & Sons (1974).